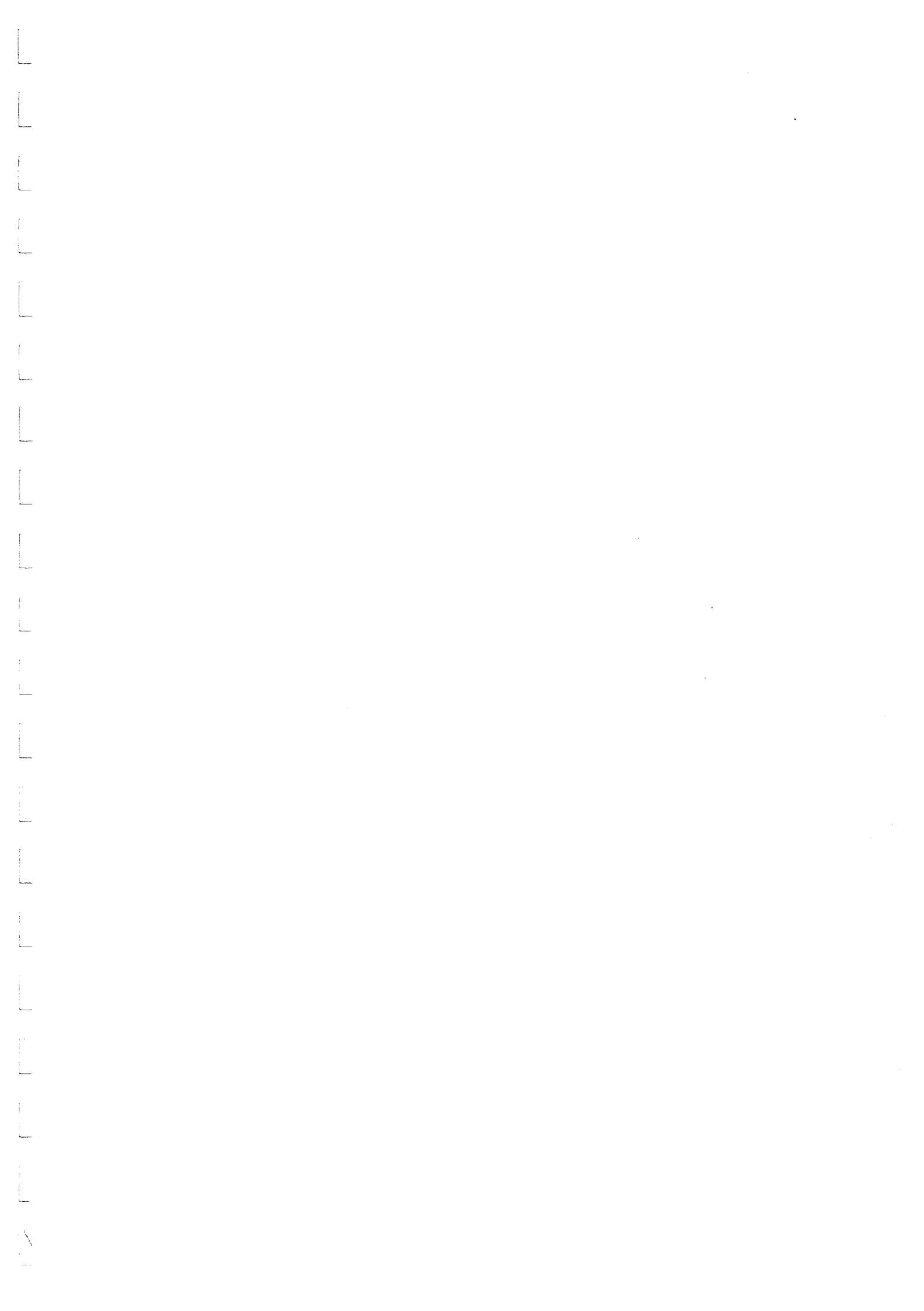


سازمان برنامه و پژوهش

طرح و محاسبه

قابلی شیدار و قوسی فلزی





استفاده از قاب های شیب دار فلزی در پوشش دهانه های بزرگ در سالهای اخیر به سرعت رواج یافته است و در بسیاری از ساختمانهای صنعتی ترجیح داده میشود که بجای سیستم خرپا از این پوشش استفاده شود ولی متأسفانه استفاده از این نوع ساختمانها در کشور ما چندان رضایتبخش نبوده است و در سالهای اخیر خرابیهای چندی در این نوع ساختمانها مشاهده شده است که تعداد و تنوع آنها غیر قابل قبول میباشد .

رواج قابهای شیب دار فلزی بیگمان بدون دلیل نیست . ظاهر زیبا ، استفاده بیشتر از فضای زیرپوشش ، امکان ساخت کارخانه ای و سرعت در ساخت و نصب ، از مزایای غیر قابل انکار اینگونه پوشش ها است ولی طرح و محاسبه و ساخت آنها بسادگی سیستم خرپا سازی نمیباشد ، در اینجا مهندس محاسب با مسائل ایستائی پیچیده تری سروکار دارد که در مقایسه با پوششهای ساده خرپائی نیاز به آنالیز و محاسبه مفصل تری دارد و محاسبه کننده باید آشنائی کامل به روش های آنالیز و محاسبه خاص داشته و در عین حال تخصص کافی در تهیه جزئیات مهاربندی و حصول اطمینان در پایداری دستگاه ها داشته باشد .

باتوجه به نتایج تاسف آوری که خصوصا " پس از هر بررف سنگین در تعدادی از قاب های فلزی شیب دار در ایران حاصل شده است و با توجه باینکه چنانچه این نوع ساختمانها با بینش صحیح طرح و محاسبه و اجراء گردند بدون شک دارای مزایای میباشد ، ضرورت تدوین نشریه راهنمای و دستورالعملی احساس گردید و از آقای آرک مگردیچیان درخواست گردید که با دفتر تحقیقات و معیارهای فنی همکاری نموده و نسبت به تدوین این نشریه اقدام نمایند .

مشارالیه با تجربه سالها تدریس درس " ساختمانهای فلزی " در دانشکده صنعتی (پلی تکنیک تهران ) و با سوابق طولانی عملی که در این باره داشتند با صرف وقت زیاد طی مدت یکسال اقدام به تدوین این نشریه نمودند که اقدام ایشان در خورتشکر و قدردانی است .

در تدوین این نشریه سعی شده است که تنها به ذکر نکاتی که صورت دستورالعمل خشکدارد قناعت نشود و نشریه در عین حال جنبه راهنمایی و آموزش طرح و محاسبه را داشته باشد که با کاربرد آن از تکرار حوادث نامطلوب جلوگیری گردد ، امیدوار است این نشریه مورد استفاده مشاورین و مهندسان محاسب قرار گیرد و چنانچه نظر اصلاحی نسبت به مفاد آن دارند باین دفتر اعلام فرمایند .



## فهرست مطالب

### الف و ب

### پیش‌گفتار

### کلیات

#### صفحه

۱	حدود کاربرد	۱
۱	قابهای شبید ارد رسا ختمانهای صنعتی	۲
۱	ابعاد ساختمان	۳
۲	بارگذاری محاسباتی	۴
۴	فرغیات محاسبه	۵
۶	محاسبه لاپه ها	۶
۸	روشهای محاسباتی قابهای فلزی	۷

### آنالیز و طرح و محاسبه استیک

۱۰	آنالیز استیک قاب دومنصف	۸
۱۲	روشن کار مجازی	۱۸
۱۳	ضرائب اطمینان و تنشهای مجاز در محاسبه ابعاد	۲۸
۱۴	تنش مجاز فشاری در خمین	۱۶
۱۰	طرح و محاسبه زانوئی	۹
۱۰	زانوئی بدون ماہیچه	۱۹
۱۰	ماهیچه خطی	۲۹
۱۶	زانوئی دایره‌ای شکل	۳۹
۱۹	طرح و محاسبه تیرروپاییه قاب	۱۰
۱۹	محاسبه پایه قاب	۱۱
۱۹	۱-۱-۱- تعیین تأثیر موثر پایه در درجه حرارت	۱۰
۲۱	۱-۱-۲- محاسبه پایه	۱۰



## صفحه ۵

۲۶	محاسبه تیرقاپ	۱۰-۲-
۲۴	نکات مربوط به صفحه جان تیروپیا یه	۱۰-۳-
۲۴	حداقل ضخامت جان	۱۰-۳-۱-
۲۴	جلوگیری از کمانش قطری در صفحه جان	۱۰-۳-۲-
۲۰	جلوگیری از کمانش قائم موضعی در صفحه جان	۱۰-۳-۳-
۲۶	عوامل ثانوی در تعیین (H)	۱۱-
۲۷	مهااربندی و باد بندی	۱۲-
۳۰	جزئیات پای قاب	۱۳-
۳۰	محاسبه عفده تقسیم پای سترن	۱۳-۱-
۳۰	محاسبه کش بین دو پاییه	۱۳-۲-
۳۰	وصله های کارگاهی	۱۴-
۳۱	قاب با تیرقوسی	۱۰-
۳۳	مثال : طرح و محاسبه شماره ۱ قاب با گوشه ساده	
۴۱	مثال : طرح و محاسبه شماره ۲ قاب با ما هیچه دایره	
۴۷	مثال : طرح و محاسبه شماره ۳ قاب با ما هیچه خطی	

## آنالیز و طرح و محاسبه پلاستیک

۰۰	ضرائب بار	۱۶-
۰۰	آنالیز پلاستیک	۱۷-
۰۰	روشن مکانیزم با استفاده از کارمزدی	۱۷-۱-
۰۷	مرکز آنی دوران	۱۷-۱-۱-
۶۰	روابط محاسباتی	۱۷-۲-
۶۴	بنیقه ترمیمی با استفاده از روشن تعادل	۱۸-
۶۶	تناسبات مقابله در طرح و محاسبه پلاستیک	۱۹-
۶۶	اثریارم حوری در مقاومت خمشی	۲۰-

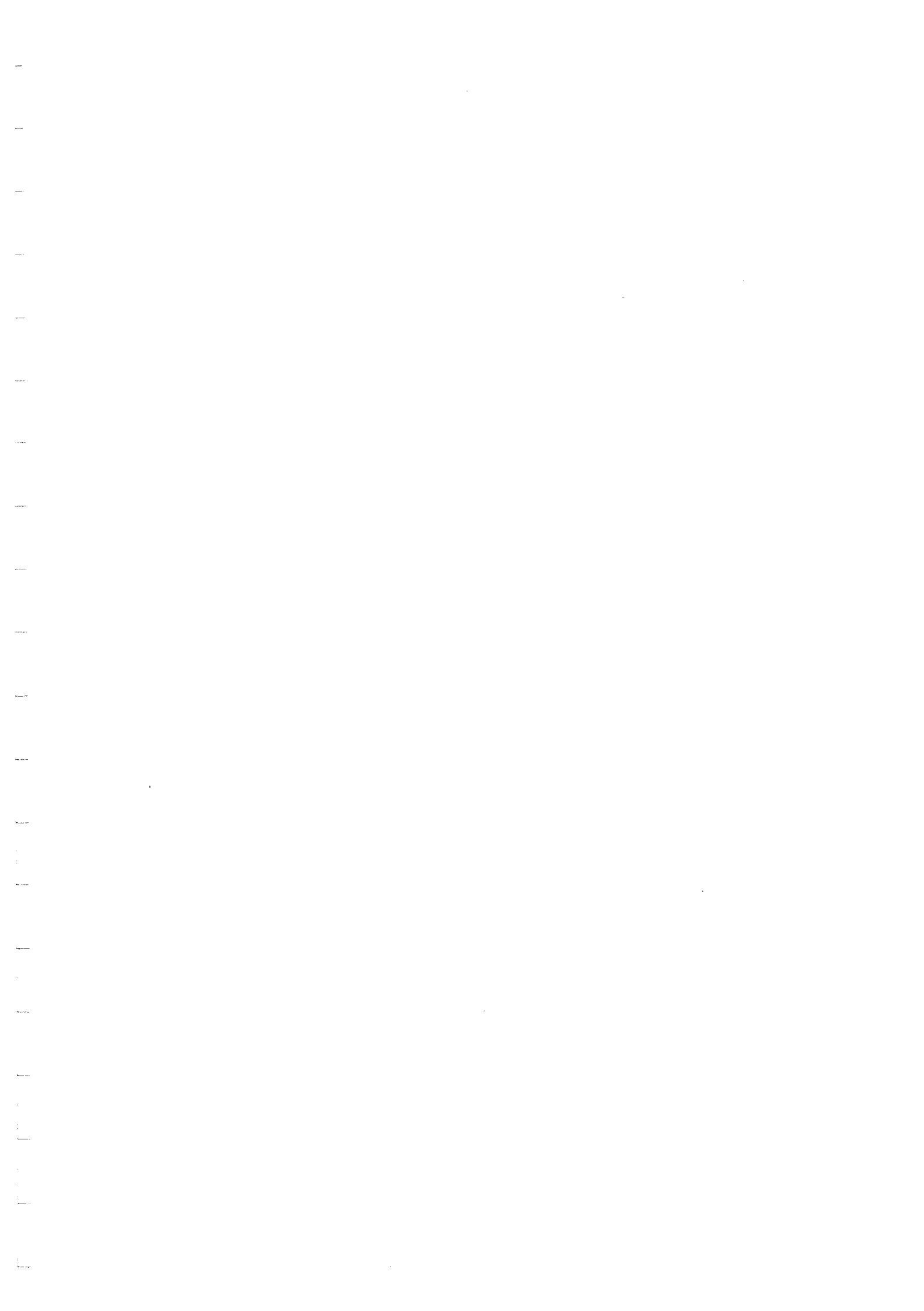


صفحه ۵

۶۹	نکات مربوط به مهاربندی	۲۱
۷۱	نکات مربوط به طرح و محاسبات اتصال تیروپایه	۲۲
۷۱	اتصال گوشه ساده	۲۲-۱
۷۲	تقویت گوشه	۲۲-۱-۱
۷۶	زانوئی بالاتصالات ما هیچه ای	۲۲-۲

۸۱	مثال : طرح و محاسبه شماره ۴ قاب با گوشه ساده (به روش پلاستیک)
۸۲	مثال : طرح و محاسبه شماره ۵ قاب با ما هیچه دایره (به روش پلاستیک)
۹۳	مثال : طرح و محاسبه شماره ۶ قاب با ما هیچه خطی (به روش پلاستیک)

۱۰۳	پیوست ها (جداول و نمودارها)
۱۳۴	فهرست منابع و مراجع



## پیش‌گفتار

طرح مسئله قابهای فلزی در قالبی که نه جنبه آئین‌نامه فنی دارد و نه جنبه کتاب درسی، خالی از اشکال نمی‌باشد. بنابراین برای رسیدن به هدف مورد نظر در تهیه این مجموعه، فرض شده است که خوانندگان استفاده کنند، با معلومات اولیه و اصول کلی طرح و محاسبه ساختمانهای فلزی و آئین‌نامه‌های معروف محاسباتی (نظیر آئین‌نامه AISC) آشنائی دارند.

در این چهارچوب، کوشش شده است آنچه که بعنوان معلومات لازم در مسئله تخصصی طرح و محاسبه قابهای فلزی مطرح است، بصورت مجموعه کاملی به اختصار گفته شود ونتیجه گیری نهایی ضمن مثالهای عددی روشن گردید و بدین ترتیب از طرح مباحث مقدماتی اینگونه محاسبات خودداری شده است.

بطورکلی مسئله طرح و محاسبه قابهای فلزی با "دو برد اشت کاملاً" متفاوت

مطற می‌شود:

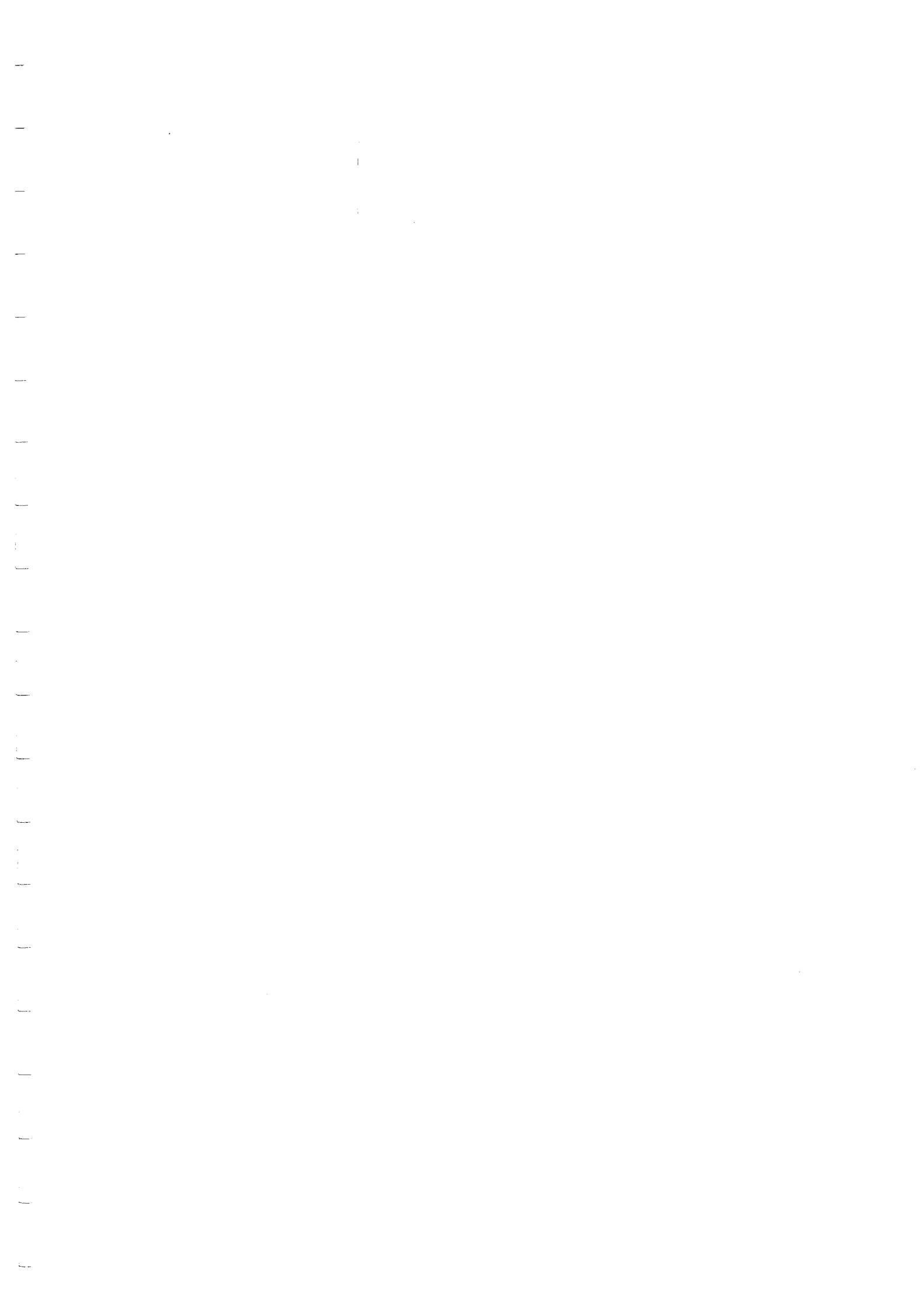
(۱) الف - روش طرح و محاسبه الاستیک

(۲) ب - روش طرح و محاسبه پلاستیک

نتایج حاصل از این روش‌ها در عین اینکه متفاوت است هر دو صحیح و قابل اطمینان می‌باشد، زیرا تفاوت اصلی در تعریف حالت حدی و بعبارت دیگر درکی است که از مفهوم خرابی و درجه اطمینان نسبت به این حالت اختیارگردیده است.

طرح مسئله در محوطه ارجاعی با معتبردانستن اصل تناسب‌تنش - تغییرشکل و استفاده از تنشهای مجاز محاسباتی که در اصطلاح به روش محاسبه الاستیک معروف است، موضوع جدیدی نمی‌باشد. این روش، را محل کلاسیک محاسبه اینگونه قابهای سالیان گذشته بوده است و تعداد زیادی ساختمانهای حاصل از چنین محاسباتی در گوشش و کنار چنان وجود دارد که گواه برنتایج مطمئن روش الاستیک می‌باشد.

در مقابل، روش طرح و محاسبه پلاستیک با دید کاملاً متفاوتی یعنی با توجه به خارجیت باربری نهایی دستگاه و مکانیزم خرابی مسئله را بررسی مینماید. روش محاسبه پلاستیک هنوز در مورد بعضی از مسائل در مرحله تحقیق پژوهش است و آئین‌نامه‌های محاسباتی مربوط نیز به تورکلی کامل و جامع نمی‌باشند و در پاره‌ای از مسائل



مسکوت اند . همچنین اغلب کتابها و تالیفاتی که طی سالهای اخیر این روش را رائیه نموده اند ، بیشتر جنبه معرفی کلی موضوع دارند تا نتیجه گیری عملی در طرح و محاسبات ساختمانی .

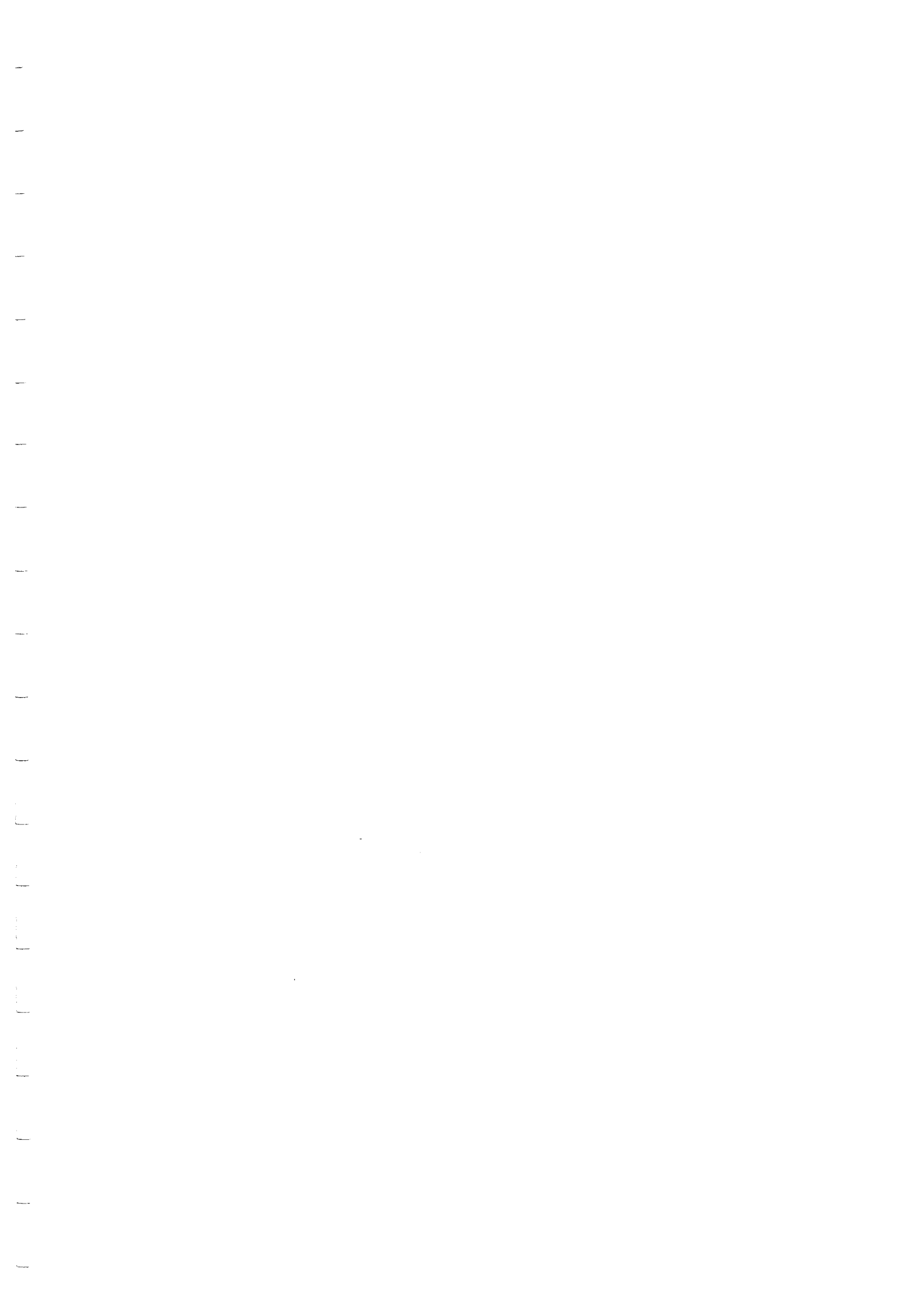
با این همه روش پلاستیک با مزایای مسلمی که دارد روز بروز بیشتر در محاسبه ساختمانهای فلزی رواج پیدا میکند و اگر از نظر طرح و محاسبه عملی نارسائی هایی بتوان برای آن برشمرد ، حداقل باید قبول کرد که در مورد حالت مخصوص قابهای تک دهانه این روش بسیار مناسب و مزایای آن نسبت به روش الاستیک چشمگیر است .  
باتوجه به مطالب فوق بنظر رسید که بیان هر دو روش الاستیک و پلاستیک ضروری است و این مجموعه با ذکر کمی و بد و ن دیگری کامل نخواهد بود .

نکته دیگری که طرح آن در اینجا مناسب میباشد موضوع پایداری و جلوگیری از پدیده کمانش در اینگونه قابه ها است .

شاید بتُسوان گفت که خرابی ساختمانهای فلزی بطورکلی ، و بوبیزه خرابی قابهای فلزی کمتر بعلت عامل تنفس و بابعبارت بهتر ، بعلت کمی مقاومت مصالح فولادی اتفاق افتاده است . در اینگونه ساختمانهای فلزی که معمولاً "دهانه ها بزرگ ، قطعات مقاوم سبیک و ابعاد قطعات ظرفی ولا غر است گرایش به انواع ناپایداری و کمانش وجود دارد و بسته به میدان تنفس در نقاط مختلف عضو باربر ، این ناپایداری ممکنست بصورت کمانش ساده یک بعدی (کمانش میله ای) یا کمانش جانبی در خمشو و پیچش و یا کمانش صفحه ای و نظائر آن باشد و مسئله پایداری کلی ساختمان در مقابل بارهای وارد معمولاً "حالت نسبتاً" پیچیده ای از ترکیب این ناپایداری ها میباشد .  
باتوجه به این نکته ، سعی گردیده است موضوع مهاربندی و باد بندی با تأکید بیشتری بیان شود و نتایج تجربی بصورت دستورالعملی که برای موندسان محاسب مفید باشد ذکر گردد .

در آخر این مجموعه جدا اول و نمودارهای خمیمه گردیده است که کاربرد آنها عملیات محاسبه را آسان میسازد .

آرک مگرد یچیان



## کلیات

### ۱— حدود کاربرد

در این نظریه خطوط اصلی طرح و محاسبه قابهای شیبدار<sup>(۱)</sup> و قابهای قوسی<sup>(۲)</sup> فلزی معین شده است و فرض میشود که خوانند و استفاده کنند و از آن با معلومات اولیه طرح و محاسبه ساختمانهای فلزی آشنائی دارد.

### ۲— قابهای شیبدار در ساختمانهای صنعتی

قابهای فلزی شیبدار در پوشش دهانه های بزرگ در ساختمانهای صنعتی مانند کارخانه ها— انبارها— آشیانه های هواپیما— سالنهای ورزش وغیره به تعداد زیاد مورد استفاده قرار میگیرد.

این نوع پوشش دارای مزایای چندی نسبت به انواع خرپاسازی است که مهمترین آنها عبارتست از:

صرفه جوئی در مصالح و در مدت ساخت و نصب، نمای زیباتر و رواستفاده بیشتر از فضای زیرپوشش.

بنابراین قابهای شیبدار در مهندسی مدرن اهمیت بخصوصی کسب کرد و است و بتدربیج جای ساختمانهای سیستم خرپائی را گرفته و میگیرد.

قابهای شیبدار را میتوان به اشكال مختلف طرح نمود. شکلهای شماره (۱) انواع مختلف قابهای شیبدار را نشان میدهد.

این قابهای را میتوان از نیمرخهای نورده شده، مقاطع مرکب و پا ترکیب این دو ساخت.

قابهای شیبدار ساخته شده از نیمرخهای نورده شده تا در هانه های حدود ۳۰

مترا سادگی و صرفه جوئی مختص بخود، طرفداران زیادی دارد.

از طرفی دیگر اتصال جوش از نظر ساخت شکلهای مرکب با ارتفاع متغیر در مقاطع و پایه های منحنی در گوش، تسهیلات خوبی فراهم مینماید.

همچنین اتصال جوش در این گونه قابهای بقدار زیادی به ظرافت و زیبائی ظاهر آنها کمک میکند. بنابراین توصیه میشود در ساخت قابهای شیبدار از اتصال جوش استفاده گردد.

### ۳— ابعاد ساختمان

قابهای فلزی را میتوان با صرفه جوئی در در هانه های حدود ۸ تا ۷۵ متر پیشتر برداشت. فاصله قابهای زیکدیگر حسب مقدار بار ورود هانه، معمولاً "بین ۵/۴ تا ۰/۱ متراست و میتوان ارقام زیر را بعنوان راهنماد رطرح ساختمان در نظر داشت:

### فاصله قابها به مترا

### دهانه به مترا

٤/٠

١٢ تا ٩

٥/٠

١٨ تا ١٦

٦/٠

٣٠ تا ١٨

د هانه  
١ تا ١  
٥

بیش از ٣٠

در قابهای که در تماس با دیوارهای مصالح بنائی قرار میگیرند در ساختمانهای که طول آنها بیش از ٥ متر باشد، بسته به طول ساختمان و تغییرات درجه حرارت محیط، تعبیه درزانبساط لازم است .

٦

برای محاسبات، ضریب انبساط و انقباض برابر  $10 \times 11 / 72$  بازه هر درجه سانتیگراد و تغییرات درجه حرارت ،  $20^{\circ}$  درجه سانتیگراد در نظر گرفته میشود که انبساط و انقباض ساختمان را بطور تقریب برابر  $35 / 20^{\circ}$  میلیمتر بازه هر متر طول بدست خواهد داد .

### ۴- بارگذاری محاسباتی

بارهای محاسباتی عبارت خواهد بود از :

بار مرده پوششو لاپه ها و قطعات قاب - سربار برف - سربار باد و اثر زلزله -

ترکیبیهای بارگذاری برای محاسبه بشرح زیر در نظر گرفته میشود :

#### الف - بارگذاری سرویس (۱) و باعادی

(DL+SL)

۱- بار مرده + سربار برف در تام دهانه

(۲)

(DL+Drf. L)

۲- بار مرده + سربار برف بصورت نامتقارن در نصف دهانه

(۳)

ب - بارگذاری فوق العاده

(DL+WL)

۱- بار مرده + اثر باد

(DL+SL +  $\frac{1}{3}$  WL)

۲- بار مرده + تمام سربار برف +  $\frac{1}{3}$  اثر باد

(DL +  $\frac{1}{2}$  SL + WL)

۳- بار مرده +  $\frac{1}{3}$  سربار برف + تمام اثر باد

(DL+Drf. L+WL)

۴- بار مرده + سربار برف نامتقارن در نصف دهانه + تمام اثر باد

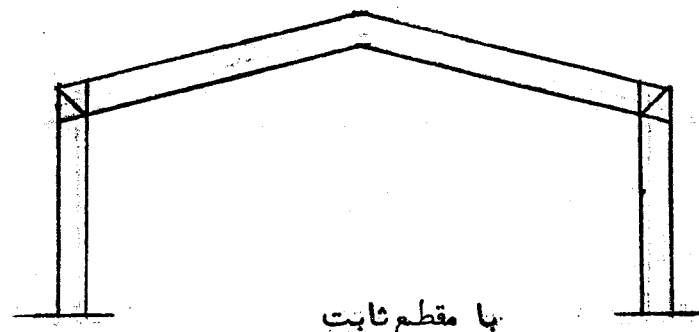
۱) - Purlins

۲ - Service Loading

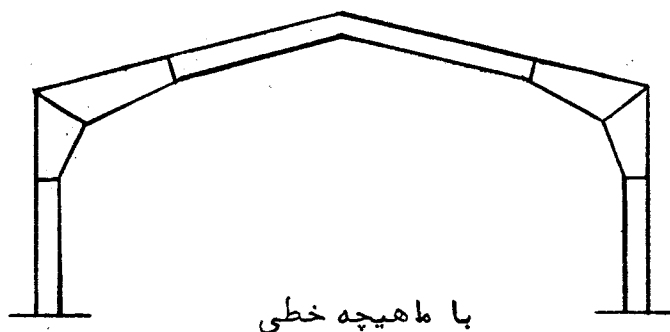
۳ - Drift Loading

۴ - Emergency Loading

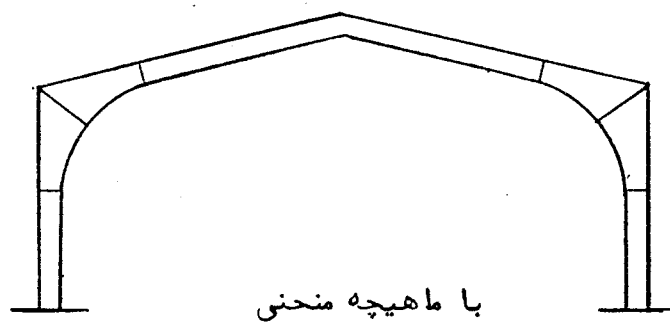
(۴)



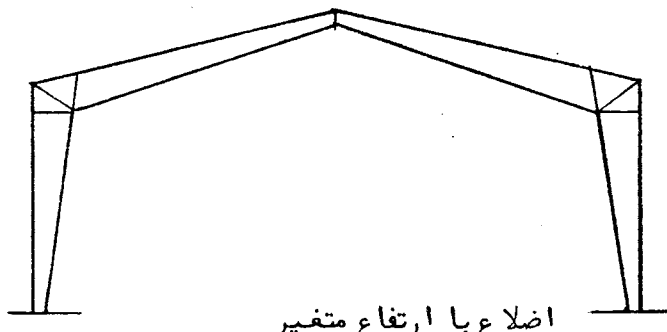
با مقطع ثابت



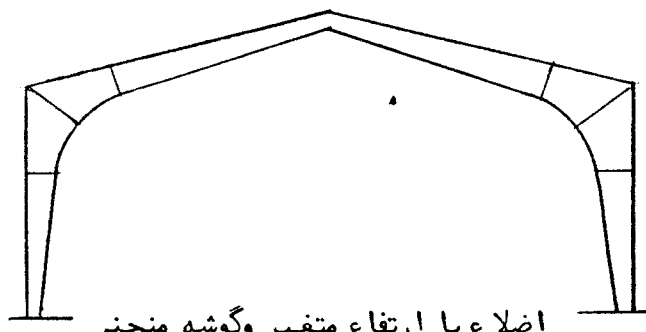
با ماهیچه خطی



با ماهیچه منحنی



اضلاع با ارتفاع متغیر



اضلاع با ارتفاع متغیر و گوشه منحنی

شکل های (۱)

(۲)

مقادیر بارهاى فوق الذکر مطابق استاندارد شماره ۰۱۹ موسسه استاندارد و تحقیقات صنعتی ایران انتخاب میگردد .

برای سادگی در محاسبه ، معمولاً " میتوان اثربانی باد را با یک بار متتمرکز  $T$  در گوشه ، جانشین کرد بطوریکه لنگر واژگونی معادل اثرباد را بدست دهد .  
یعنی مطابق شکل (۲)  $T$  را بشرح زیر محاسبه نمود :

$$(1) \quad T = q \frac{(h + f)^2}{2h}$$

بکاربردن  $T$  در آنالیز قاب بجای بارگستردۀ نظیر باد ، دارای تقریب قابل قبولی میباشد .

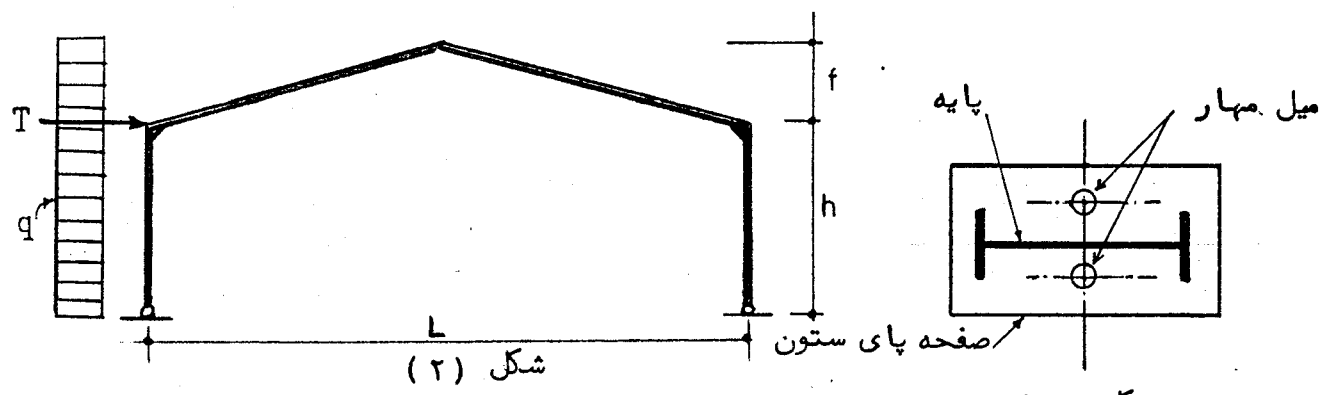
اثر موضعی باد در محاسبه اتصالات ورقهای پوشش روی سقف شبیدارویا دیوارهاى کناری (در صورتیکه در این قسمت هم از ورقهای موجود استفاده شود ) مهم است و باید مطابق ارقام مندرج در استاندارد شماره ۰۱۹ موسسه استاندارد و تحقیقات صنعتی ایران در محاسبه منظور گردد .

## ۵- فرضیات محاسبه

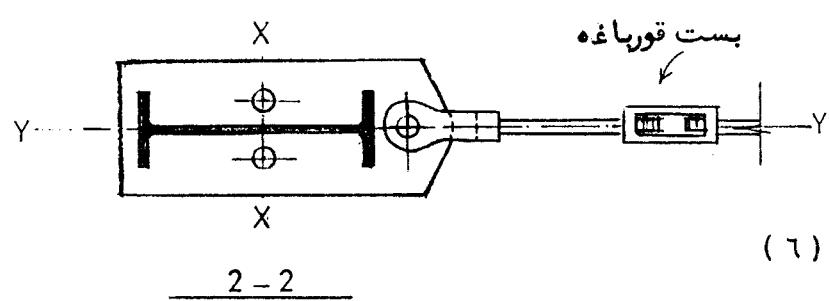
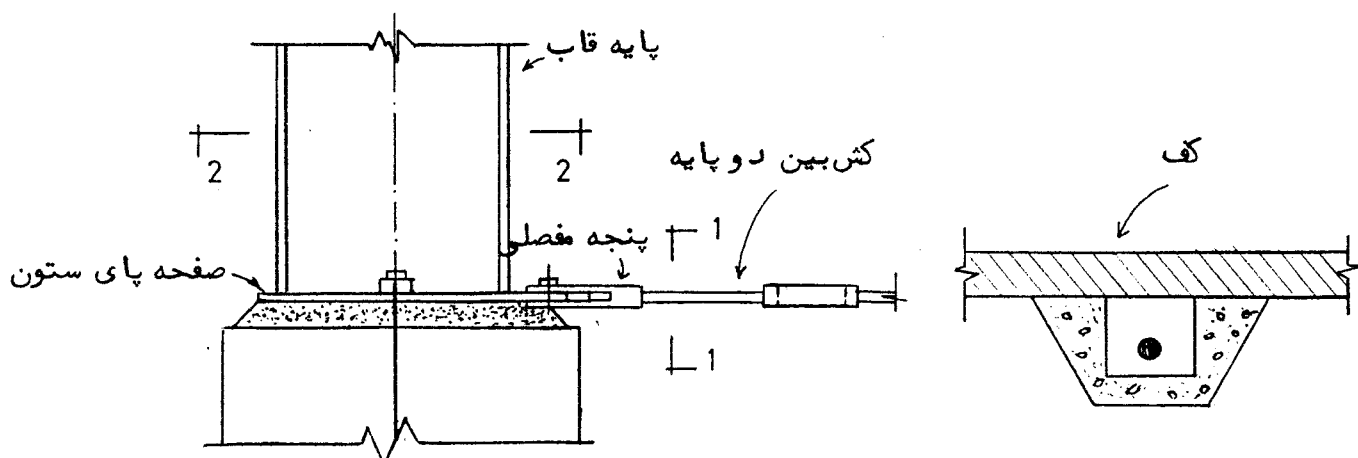
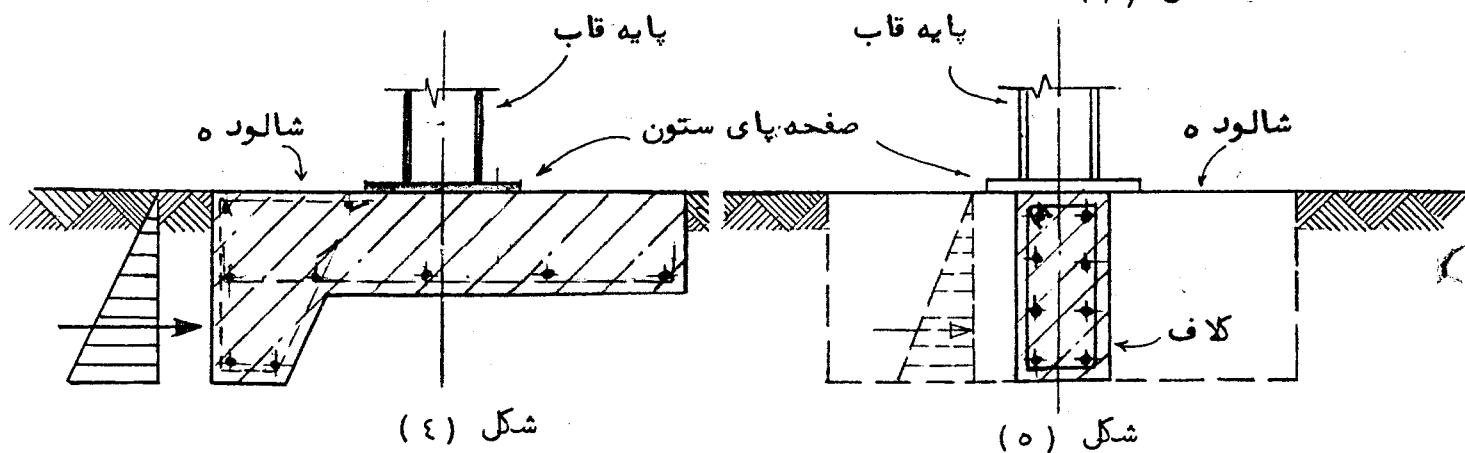
تکیه گاه پایه های قاب میتواند مفصلی یا گیردار باشد . عملاً " در بیشتر موارد فرض تکیه گاه مفصلی ملک محاسبه قرار میگیرد . زیرا تعییه گیرداری کامل در پایی ستون و در شالوده اغلب غیرعملی است .

در قابهایی که با پای مفصلی محاسبه میشود نیازی به تهییه مفصل کامل وجود نیست و کافیست که پای قاب بصورت تخت با صفحه تقسیم فشار خود بر روی شالوده قرار گیرد و با یک ردیف میل مهارکه بر روی محیر مار بر مرکز پایه و در امتداد عمود بر دهانه قرار دارد ، به شالوده بتنی متصل گردد ( شکل ۳ ) .

وقتیکه دهانه قاب بیش از ۱۵-۲۰ متر است و یا در مواردی که نسبت ارتفاع پایه به طول دهانه کوچک است ، رانش افقی پایه ها که بر شالوده تاثیر مینماید بزرگ میشود و در نتیجه برای مقابله با آن ، استفاده از شالوده های منفرد معمولی غیر عملی است .



شکل (۳)



در چنین حالاتی در صورتیکه جنس زمین خوب و رانش پایه چندان بزرگ نباشد

میتوان از چند راه حل استفاده نمود :

الف - طرح شالوده های منفرد با شکل هندسی مخصوص بنحوی که با فشار پاسیو خاک (۱)

د روپشت شالوده ، رانش در پای ستون را جوابگوئی نموده (شکل ۴) .

ب - بستن شالوده های منفر ب تیرکلافی با ارتفاع نسبتاً " زیاد بشکل یک تیغه قائم بنحوی که فشار پاسیو در پشت تیرکلافه ، عکس العمل لازم در مقابل رانش در شالوده های دوسر را بوجود آورد (شکل ۵)

از این تیرکلاف میتوان بعنوان شالوده دیوار محیطی ساختمان نیز استفاده نمود .

آهن گذاری لازم در این تیر - مطابق روش محاسبه تیرهای بتن آرمه و با توجه به بارهای موشوفشار پاسیو خاک در پشت آن - در سطوح افقی و قائم بعمل می‌آید .

ج - از دال بتن آرمه کف ساختمان ، با آهن گذاری لازم بعنوان کش بین دو پایه استفاده نمود .

در حالت کلی و در دهانه های بزرگ ، رانش بین دو پایه ، با گذاردن کش فلزی در بین دو پایه باید گرفته شود . این کشها برای تمام رانش بین دو پایه محاسبه می‌شود و با اتصال پنجه مفصلی (۲) به صفحه پای ستون متصل می‌گردند و اغلب احتیاج هست که با گذاردن بست قورباغه (۳) آنها را بحال تثبیت نمود (شکل ۶)

وقتیکه کشنده محل صحیح خود قراپ گرفت و به اندازه لازم تثبیت شد میتوان برای جلوگیری از زنگ زدگی ، تمام آنرا در بین قرارداد . پیش تثبیتی کش را در کارهای کم اهمیت ، میتوان با چشم مشخص نمود ولی در کارهای مهم خوب است با نیروسنجه این پیش تثبیتی را به حد لازم کنترل نمود .

#### ۶ - محاسبه لاپه ها

لاپه های میتوانند بصورت دهانه های ساده بطول فاصله قابها ، یا بصورت تیرهای یکسره و پاتیرهای طرهای (۵) (با برش تیر یکسره در نقاط لنگر صفر و مفصلی نمودن در این نقاط) محاسبه و ساخته شوند .

۱ - Passive Earth Pressure ۲ - Clevis ۳ - Turnbuckle ۴ - Purlin

۵ - Cantilever

محاسبات مربوط به تعیین لنگر خمشی در هر کدام از حالات فوق، مطابق متد های

کلاسیک مربوطه بعمل می آید.

در محاسبه لاپه ها استفاده از هر دو روش محاسبه الاستیک و یا پلاستیک مجاز

می باشد.

استفاده از روش پلاستیک در محاسبه لاپه موقعی مجاز است که تیرلاپه شرائط

(۱) مقطع فشرده با تکیه گشته چانبی را برآورده ننماید و تحت اثر خمش در وجهت قرار نگیرد.

لاپه ها در روی قابهای شبیدار - که نیمرخ آنها بر حسب شب تیرقاپ دارای زاویه تمايلی نسبت به افق خواهد بود - برای خمش در وجهت طرح و محاسبه می شوند.

فرض می شود که پوشش روی لاپه ها در تحمیل مولفه چانبی بارلاپه کمک نمی کند و تمام این مولفه چانبی، توسط میل مهارهای عرضی <sup>(۲)</sup> گرفته می شود. شکل (۷)

میل مهارهای عرضی برای پوششها سبک (مانند ورقهای موجود آهن گالوانیزه و یا آزیست سیمان) معمولاً " تادهانه ۶ متریک ردیف در وسط دهانه و برای دهانه های بزرگتر ۲ ردیف در  $\frac{1}{3}$  دهانه و یا ۳ ردیف در فواصل  $\frac{1}{6}$  دهانه خواهد بود.

شکل (۸) طرز بستن لاپه هارانشان میدهد.

در محاسبه این میل مهارها سطح زیر دنده پیچ ملاک تعیین قطر مقطع قرار می گیرد.

این میل مهارها باید بصورت تک دهانه وحداقل در یک سر برای بستن مهره حدیده شود.

بکار بردن مهارهای یکسره که با اتصال جوش به لاپه ها متصل گردید مجاز نمی باشد.

تغییر شکل تیرلاپه تحت اثر بارهای مربوطه باید محاسبه و کنترل گردد و سعی شود که تغییر مکان حد اکثر در وسط دهانه برای مجموع بار مرده و سربار برف از  $\frac{1}{350}$  طول دهانه و در حالات استثنایی از  $\frac{1}{2}$  دهانه تجاوز ننماید. مقدار تغییر شکل حد اکثر از روش های کلاسیکی که برای محاسبه تغییر شکل در تیرهای تک دهانه و یا تیرهای یکسره وجود دارد بدست می آید.

معمولاً "مسئله" تغییر شکل فقط در لایه های تک دهانه (بادهانه ساده) قابل توجه و تعیین کنند است و برای کم کردن تغییر شکل در اینگونه لایه ها، میتوان مقداری گیرداری در اتصال تکیه گاه آنها بوجود آورد برای این منظور میتوان از اتصال با پیچ دوبله شکل (۹) استفاده نمود. در این صورت اگر لنگر مقاوم اتصال نامبرده  $M_R$  باشد، تغییر مکان حد اکثر در وسط دهانه از رابطه (۲) محاسبه خواهد شد.

$$(2) \Delta_{\max} = \frac{5}{384} \times \frac{\rho L^4}{EI} - \frac{1}{8} \times \frac{M_R L^2}{EI}$$

در این رابطه  $\rho$  بارهموارگستردگی بر واحد طول،  $L$  طول دهانه و  $EI$  معانی اینرسی مقطع نسبت به محور نظیر خمش و  $M_R$  ضریب ارجاعی مصالح لایه است.

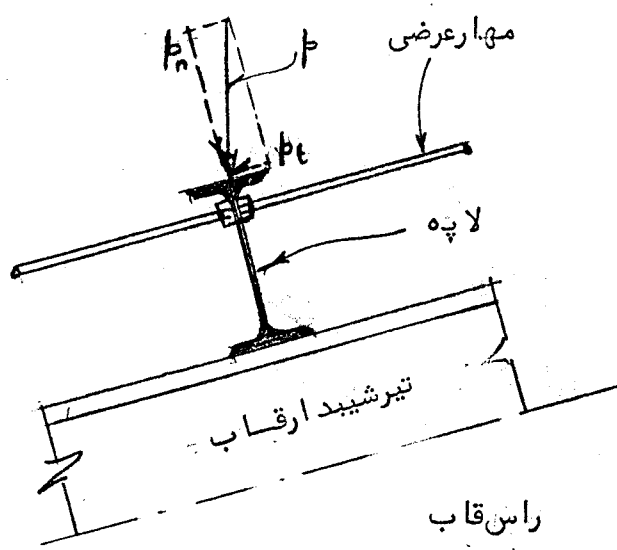
مقدار  $M_R$  برابر  $R \cdot e$  در نظر گرفته میشود که در آن  $R$  مقاومت مجاز پیچ و  $e$  بازوی زوج مقاوم مطابق شکل (۹) میباشد.

## ۷- روش‌های محاسباتی قابهای فلزی

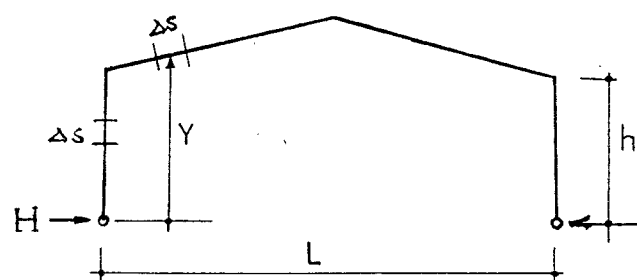
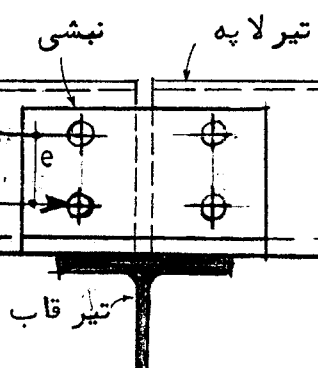
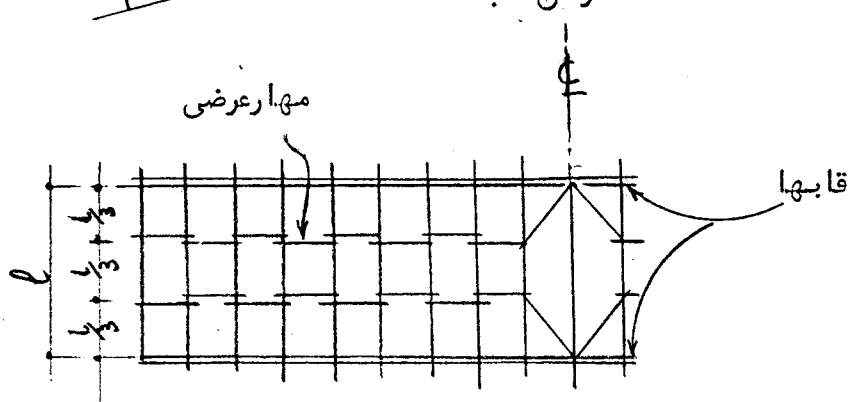
تا چند سال قبل روش محاسباتی منحصر بفرد در این قابهای فلزی عبارت بود از روش طرح و محاسبه الاستیک<sup>(۱)</sup> و یا روش استفاده از تنشهای مجاز. طرح و محاسبه پلاستیک<sup>(۲)</sup> که از تحقیقات سالیان اخیر حاصل شده است، نتایج برتری از نظر صرفه جوئی و اطمینان یکنواخت در این نوع قابهای بدست میدهد.

در طرح و محاسبه قابهای شبیدار استفاده از هر دو روش الاستیک و پلاستیک مجاز میباشد.

شكل (٧)



شكل (٨)



شكل (٩)

شكل (١٠)

(٩)

## آنالیز و طرح و محاسبه الاستیک (۱)

روش طرح و محاسبه الاستیک بر مبنای توزیع الاستیک لنگرهای خمشی در طول قاب و تنشهای مجاز محاسباتی بعمل می‌آید. توزیع الاستیک لنگرهای خمشی با فرض اصل تناسب تنش-تغییرشکل (قانون هوك) انجام می‌گیرد و تنشهای مجاز از تقسیم تنشهای حدی بر ضریب اطمینان بدست می‌آید.

### ۸- آنالیز الاستیک قاب دو مفصل

در محاسبه به روش الاستیک از متد های کلاسیکی که برای آنالیز دستگاههای هیپراستیک موجود است استفاده می‌شود. معمولاً "روش Column Analogy" (ویا کار مجازی ) (Virtual Work Method) نتایج سریعتری بدست میدهد.

در قابهای ساده که قطعات تیروستون آنها منشوری شکل و دارای ممان اینرسی ثابت باشند، میتوان از روابط آمدهای که برای این منظور موجود است استفاده نمود. نمودارها و روابط پیوست (۱) و (۲) برای تغییرات مختلف دهانه، ارتفاع پایه، خیزو شرایط مختلف بارگذاری تنظیم شده و وسیله خوبی است برای محاسبات سریع اولیه. تعداد کافی منحنی در این نمودارهای داده شده است و برای مقادیر بین این منحنی‌ها میتوان با تقریب‌کمی به روش انترپولاسیون عمل کرد. مقادیر حاصل از روابط پیوست (۱) و (۲) دارای دقت زیاد می‌باشد ولی در مقابل عملیات محاسبه پرکارتر است.

همین ضرائب از نمودارهای نیزقابل استخراج است و دقت ارقام محاسبه بستگی به دقت قرائت نمودار دارد و درین محاسبه سریع اولیه چه بسیار تقریب حاصل چندان تعیین کنند و نمی‌باشد.

در این اشکال دیاگرام لنگر رهمه جاده‌طرف کششی مقطع قاب نشان داده شده است. مثالهای عددی از صفحه (۳۳) طرز استفاده از این نمودارهای اشاره شان میدهد. باید در نظرداشت که توزیع لنگرهای در طول قاب تابع صلبیت (۲) است. بعارت دیگر در شروع هر محاسبه‌ای، طول دهانه ( $L$ ) ارتفاع پایه ( $h$ ) و خیزو قاب ( $\epsilon$ ) معلوم آند و تنها پارامترها قیمانته شده که در توزیع لنگرهای تاثیر دارد نسبت ممان اینرسی‌ها تیروپایه یعنی  $\frac{I_2}{I_1}$  می‌باشد. مقدار دقیق این پارامترهای می‌باشد که بده می‌باشد که مقاطع قاب محاسبه و تعیین شده باشند. بنابراین برای رسیدن به ابعاد محاسباتی لازم است احتیاج به تکرار عملیات آزمون و خطاست (۳) یعنی آنالیز لنگر کنترل مقاطع چند بار تکرار شود تا مناسب‌ترین ابعاد برای حالت مورد نظر بدست آید.

ولی با این همه، خوشبختانه، اثربارا متر  $\frac{I_2}{I_1}$  در توزیع نهایی لنگرها چندان بزرگ نمیباشد. جدول های پیوست (۲۴) و پیوست (۲۵) حدود تاثیراین پارامتر را روشن میسازد.

یک مطالعه کلی در این قابها با پارامترهای مختلف  $\frac{h}{L}$  و  $\frac{f}{h}$  نشان میدهد، در صورتیکه در تقریب اول محاسبه مقدار  $\frac{I_2}{I_1}$  برابر واحد رناظرگرفته شود خطای حاصل در توزیع لنگرها بارگاه و بارافقی نسبت به حالاتیکه  $\frac{I_2}{I_1}$  از  $\frac{1}{3}$  تا  $\frac{2}{3}$  تغییر نماید ناچیز است.

مثلاً "در قابهای کوتا  $\frac{h}{L} < \frac{1}{4}$ " حد اکثر خطای رلنگرها را برابر  $\frac{1}{4}$  در حدود ۱۲٪ و در قابهای بلند  $(\frac{h}{L} = \frac{1}{2})$  تا ۲۰٪ میرسد.

در مورد بارافقی این خطای کمتر نمیباشد و حد اکثر آن از ۵٪ تجاوز نمینماید.

بنابراین شروع محاسبه را میتوان با نسبت  $\frac{I_2}{I_1} = 2$  بعمل آورد و در بین "به مقدار لازم رسید".

در قابهای باتیروپاییه با مقطع و ممان اینرسی متغیر، مسئله آنالیز ال استیک مشکل تراست و عملای راه حل کوتاه و کم کاری وجود ندارد. شرایط معماری تقریباً همیشه قابهای بالارتفاع مقطع متغیر را (که معمولاً "از گوش" به پای ستون واژگوش به میان دهانه کم میشود) دیکته مینماید. اینگونه قابها از نظر مصرف مصالح هم با صرفه ترند. در سیاری از قابها - حتی در دهانه های کوچک و بامان اینرسی ثابت در طول تیروستون - احتیاج هست که گوش تیروستون - یعنی زانوئی<sup>(۱)</sup> - با مقطع بزرگتر ساخته شود و این منظور با منحنی کردن داخل زانوئی و پادادن ما هیچه های خطی بعمل میآید.

در تمام این حالات تغییرات ممان اینرسی باعث میشود که لنگرد رگوش - نسبت به حالت ممان اینرسی ثابت - افزوده شود و در نتیجه رانش دریای قاب (H) نیز بزرگتر شود. افزایش H بعلت متغیر بودن مقطع تیروپاییه و با وجود ما هیچه در گوش تابع عوامل متعددی است و مقدار آن را نمیتوان به آسانی طی رابطه ای بیان کرد.

ولی در محاسبات تقریبی ابتدائی، برای انتخاب ابعاد مقطع قاب میتوان رانش افقی H حاصل از بارگاه را نسبت به حالت تیروستون منشوری شکل، طی ارقام تقریبی نیز افزایش داد تا اثر ما هیچه و انحنای رگوش و با متغیر بودن مقاطع تیروستون جیزران شود:

الف - در صورتیکه نسبت  $\frac{h}{L}$  برابر  $\frac{1}{5}$  و بیشتر است ۰٪ افزایش

ب - در صورتیکه نسبت  $\frac{h}{L}$  برابر  $\frac{1}{10}$  است  
 ج - بین دو حد  $\frac{h}{L} = \frac{1}{10}$  افزایش  $H$  بین دو حد بالا بصورت خطی در نظر گرفته شود .

در قابها ایکه ما هیچه در گوش و ممان اینرسی متغیرد رتیروپایه را با هم دارند  
 این افزایش احتمالا " بیشتر خواهد بود ."

پس از آنکه ابعاد تیروستون وزانوئی تخمین زده شد آنالیزدقيق تعیین لنگرهای در طول قاب را طبق یکی از روش‌های متداول مثلاً " روش توزیع لنگر<sup>(۱)</sup>" معروف به متدهار دیکراس<sup>(۲)</sup> (بابکاربردن منحنی های پیوست<sup>(۸)</sup>) تا <sup>(۱۹)</sup> برای تعیین لنگرهای گیرداری<sup>(۳)</sup> و ضرائب توزیع<sup>(۴)</sup> و ضرائب انتقال<sup>(۵)</sup> و یا آنکه استفاده از روش کار مجازی<sup>(۶)</sup> با آنتگراسیون ترسیمی انجام داد .

#### ۸ - ۱ - روش کار مجازی

مقدار نامعین رانش در پای قاب (H) از رابطه زیر تعیین میگردد :

$$H = \frac{\int \frac{M_s \cdot m \cdot ds}{EI}}{\int \frac{m^2 \cdot ds}{EI}}$$

دراین رابطه :  $M_s$  - لنگر ساده حالت استاتیک ( در اصطلاح لنگر معین<sup>(۷)</sup> ) در هر نقطه قاب حاصل از بارهای موثر .

iii - لنگر دار رهمن نقطه حاصل از بار واحد مفروض که در نقطه پای ستون در امتداد H وارد شود .

I - ممان اینرسی مقطعي که  $M_s$  و iii برای آن محاسبه میشود .

E - ضریب ارتیجاعی مصالح قاب

آنلتگره کرد ن H در طول قاب اغلب مشکل و غیر عملی است و ساده ترمیتوان بطريق ترسیمی عمل کرد و علامت آنتگرال را با علامت  $\int$  و مقدار ds را با مقدار معین  $\Delta s$  جانشیزی کرد .

طول  $\Delta s$  را میتوان در محاسبات عملی - بسته بطول دهانه قاب و درجه یکنواخت بود ن مقاطع و دقت مورد نظر - بین  $\frac{1}{3}$  متر تا ۳ متر اختیار نمود .

با رواحد مفروض ، بصورت افقی در پای ستون وارد میگردد بنابراین لنگر مربوطه (m)

- 
- |                                 |                        |                         |
|---------------------------------|------------------------|-------------------------|
| ۱ - Moment Distribution         | ۲ - Hardy Cross        | ۳ - Fixed End Moments   |
| ۴ - Distribution Factors        | ۵ - Carry-over factors | ۶ - Virtual Work Method |
| ۷ - Staticly determinate Moment |                        |                         |

در هر نقطه روی قاب برابر  $\gamma$  خواهد بود . همچنین در صورتیکه مصالح قاب در تمام طول یکسان باشد ،  $E$  مقدار ثابتی خواهد بود و رابطه بالا بصورت رابطه (۲) نوشته میشود .

شكل (۱۰) .

$$(2) \quad H = \frac{\sum \frac{M_s \cdot Y \cdot \Delta S}{I}}{\sum \frac{Y^2 \cdot \Delta S}{I}}$$

معادله بالا در حل ترسیمی به روش زیربکار میرود :

قاب را در طول خود به تعداد معینی قطعه  $\Delta$  (عموماً ۱۰ عدد در هر نصف دهانه ) تقسیم مینماییم بنحوی که تقسیمات  $\Delta$  نسبت به وسط دهانه دارای تقارن باشد . مراکز این تقسیمات با اعدادی از دست چپ به راست شماره گذاری میشود . معمول است که شماره ها از دست چپ به راست تا وسط دهانه گذارد همیشود و برای قطعات قرینه آنها در طرف دیگر دهانه ، همان شماره با پریم در نظر گرفته میشود .

جدولی تنظیم میشود که برای هر کدام از این تقسیمات ، قسمتهای تشکیل دهنده رابطه (۲) برای نقاط شماره (نقاط مرکز قطعه ) تعیین و پرمیشورد . این جدول مقادیر لازم برای تعیین صورت و مخرج رابطه (۲) را بدست میدهد . دوستون در جدول یکی ای این جدول برای صورت و دیگری برای مخرج رابطه - در نظر گرفته میشود و مقادیر آنها پرمیشود . جمع مقادیر این ستونها ، مقدار  $H$  را مشخص مینماید .

البته برای بارهای مرد و باربرف در تمام دهانه که متقارن است کافیست نصف دهانه محاسبه شود و برای بارهای باد و باربرف نامتقارن ارقام تمام تقسیمات دهانه باید معین شود .

#### ۴- ضرائب اطمینان و تنشهای مجاز در محاسبه ابعاد

ضرائب اطمینان و تنشهای مجاز در محاسبات بارگذاری عادی ، مطابق استاندارد شماره ۵۱۹ موسسه استاندارد و تحقیقات صنعتی ایران در نظر گرفته میشود . در محاسبات بارگذاری فوق العاده مینوان این تنشهای مجاز را  $\frac{1}{3} - ۳۳\%$  افزایش داد و باد ر مقابل ، در صورت بکار بردن تنشهای مجاز مربوط به بارگذاری عادی ، مقادیر بارگذاری فوق العاده دریند  $4$  را با ضریب  $\frac{3}{4}$  در محاسبه وارد نمود .

در قطعاتیکه طول آزاد بال فشاری آنها طوری است که احتمال کمانش جانبی در خمش (۱) وجود دارد یعنی ضریب  $\frac{Ld}{bt}$  بزرگتر از ۶۰۰ است، تنش مجاز فشاری در محاسبه خمش، متناسب " کا هش داده میشود.

در ضریب بالا  $L$  طول آزاد بال فشاری (فاصله بین مهارندی های عرضی)،  $a$  ارتفاع مقطع،  $b$  پهنای بال و  $t$  ضخامت بال است.

تنش مجاز کا هش یافته بزرگترین یکی ازد و مقدار حاصل از روابط (۴) و (۵) در نظر گرفته میشود:

$$(4) \quad F_{b1} = \frac{840000}{\frac{Ld}{bt}}$$

$$(5) \quad F_{b2} = \left[ 1 - \frac{\left( \frac{L}{r} \right)^2}{2C_c^2 C_b} \right] 0.6 \sigma_y$$

دراین روابط  $r$  عبارتست از شعاع چهارسیون قسمتی از نیم رخ که بشكل T میباشد که بال آن بال فشاری نیم رخ و تیغه آن  $\frac{1}{6}$  سطح جان نیم رخ باشد، نسبت به محور مارپیچ مرکز جان نیم رخ.

$C_c$  و  $C_b$  بر حسب روابط زیر تعیین میگردند:

$$C_c = \sqrt{\frac{2\pi^2 E}{\sigma_y}}$$

$$C_b = 1.75 - 1.05i \left( \frac{M_1}{M_2} \right) + 0.3 \left( \frac{M_1}{M_2} \right)^2$$

که در آنها  $E$  و  $\sigma_y$  ضریب ارجاعی وحدت جاری شدن فولاد مصرفی و  $M_1$  و  $M_2$  به ترتیب لنگرهای کوچک و بزرگ (از نظر قد رمطلق) درد و سرقطعه مورد بحث میباشند. حد اکثر مقدار  $C_b$  حاصل از رابطه فوق بطورکلی بیش از ۳، ۲ در نظر گرفته نمیشود و هنگامیکه  $M_1$  و  $M_2$  برابراند و بارهای آند و لنگر بزرگتری از  $M_1$  و  $M_2$  وجود دارد  $C_b = \frac{M_1}{M_2}$  در نظر گرفته میشود. نسبت  $\frac{M_1}{M_2}$  برای لنگرهای مختلف العلامه منفی خواهد نمود.

## ۹- طرح و محاسبه زانوئی

زانوئی گوشه تیرو ستون حساسترین و مهمترین قسمت قاب است و محاسبات آن باید برای مجموع لنگر خمی و نیروی محوری و تلاش برشی موجود، مطابق یکی از آثین نامه های محاسباتی مورد قبول بعمل آید.

بعد از اینکه ارتفاع مقطع تیروپایه معین شد شکل زانوئی را میتوان طرح نمود. زانوئی

ممکن است به سه شکل زیر دقت را داشته باشد:

۱- بدون ماهیچه شکل (۱۱)

۲- با ماهیچه های خطی شکل (۱۲)

۳- با ماهیچه دایره ای شکل شکل (۱۳)

### ۹- ۱- بدون ماهیچه، شکل (۱۱)

زانوئی به این شکل که ممکن است در قابهای با تیروپایه با ارتفاع یکنواخت و یا با مان ایزسی متغیر بکار رود باید حتماً "در گوشه با قطعات تقویتی تقویت گردد".

لنگر خمی حد اکثر مربوط به تیرشیبدار، در مقطع  $xx$  - بفاصله  $s$  از گوشه  $B$  بوجود می آید خط  $xx$  عمود بر محور طولی تیرشیبدار را زنقشه گوشه تقاطع محصور تیر با پایه میگذرد. فاصله  $s$  با محاسبه ساده مربوط به هندسه شکل گوشه بدست می آید. لنگر خمی حد اکثر مربوط به پایه در مقطع  $zz$  حاصل میگردد.

### ۹- ۲- ماهیچه خطی، شکل (۱۲)

در این نوع زانوئی در صورت استفاده از مقطع نورد شده معمولاً "جان نیمرخ تیروپایه را در امتداد طول بریده و با خم کردن بال، شکل ماهیچه را میسازند. فاصله بوجود آمد  $h$  در جان (در هر کدام از تیروپایه) با ورقی مثلث شکل پرمیشود که بوسیله جوش لب به لسب متصل میگردد.

در قابهاییکه بجای استفاده از نیمرخ نورد شده، بصورت نیمرخ مرکب با سه ورق با جوشکاری ساخته میشوند، برای بوجود آوردن ماهیچه، میتوان ورق جان را با ارتفاع متغیر با شکل ماهیچه مورد نظر انتخاب نمود.

در زانوئی با ماهیچه خطی، معمولاً "فاصله  $\rho$  آنچنان اختیار می‌شود که لنگرخمش منفی مربوط به این نقطه برابر لنگر مثبت حد اکثر داخل دهانه باشد و مقطع لا زم در دو سر قطعه تیرقاب با ارتفاع ثابت، یکسان گردد.

در مقطع  $xx$  در داخل زانوئی، ارتفاع مقطع بزرگتر است تا جوابگوی لنگر گوشی مربوط به این محل باشد نیروهای  $V_A$  و  $H$  انتهای پایه اکه بترتیب عکس العمل قائم وافقی در پایی ستون (اند) در نقطه  $B$  به دومولفه  $P$  و  $T$  تجزیه می‌گردد. شکل (۱۶).

$P$  نیروی محوری در تیراد را متداد  $BC$  و  $T$  نیروی برشی عمود بر امتداد  $BC$  می‌باشد.

بنابراین عوامل موثر برای محاسبه مقطع  $xx$  بشرح زیر خواهد بود:

لنگرخمش در مقطع  $xx$

نیروی محوری "

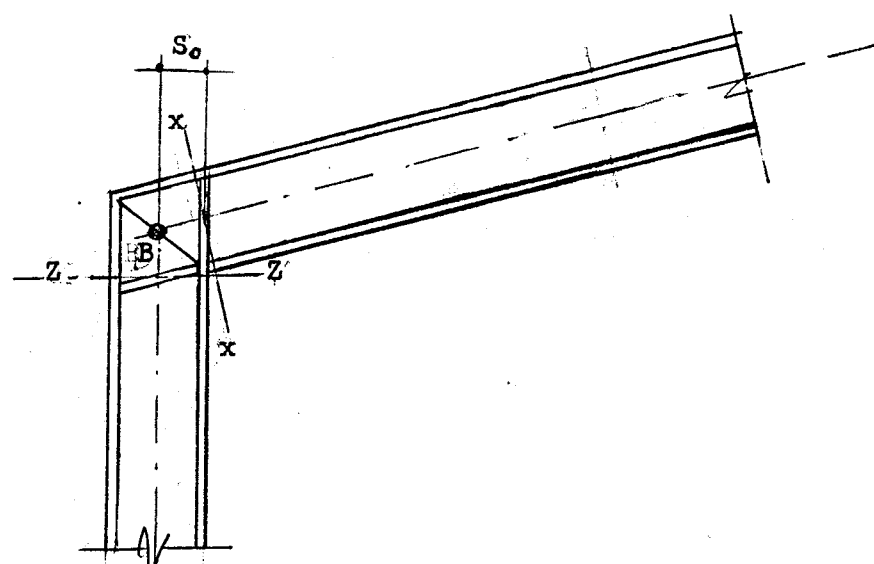
تلاش برشی "

### ۳-۹ - زانوئی دایره ای. شکل (۱۳)

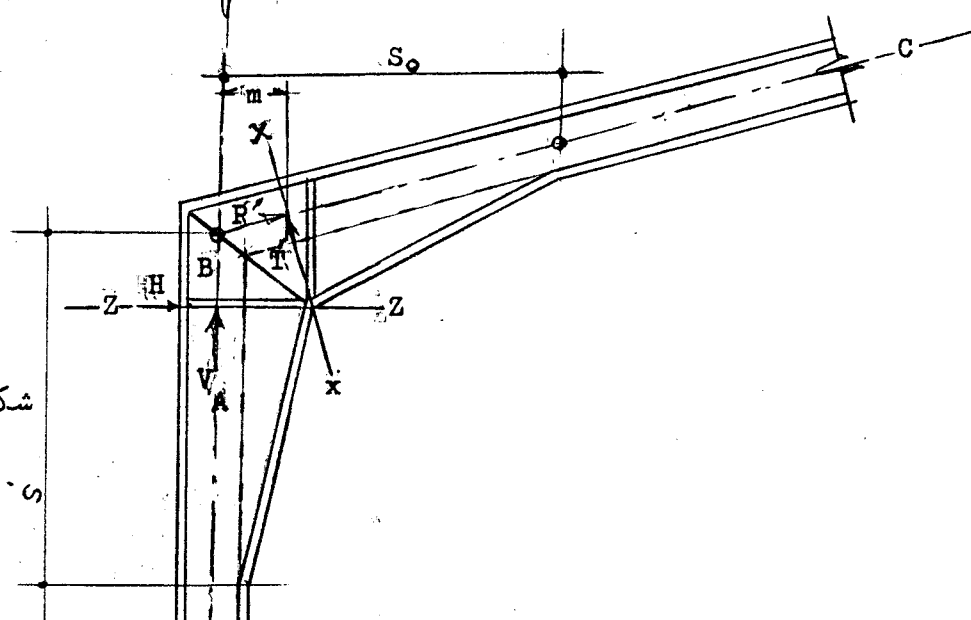
این نوع ماهیچه ممکن است با تیرپایه با ارتفاع مقطع ثابت و یا متغیر بکار رود. اغلب یکی از شرائط تعیین کننده در انتخاب شعاع دایره، تناسب و زیبائی شکل قاب و سرگیر نبودن گوشی آنست. در موقعیکه ارتفاع مقطع تیر در طول خود ثابت است شعاع زانوئی را میتوان آنچنان انتخاب کرد که لنگرخمش منفی در انتهای ماهیچه برابر لنگرخمش مثبت حد اکثر داخل دهانه قاب گردد مشروط برآنکه چنین شعاعی از نظر شرائط زیبائی قابل قبول باشد.

از نظر محاسبه، زانوئی دایره ای یک تیرمنحنی است و آنرا نمیتوان با تئوری خمسش معمولی آنالیز کرد.

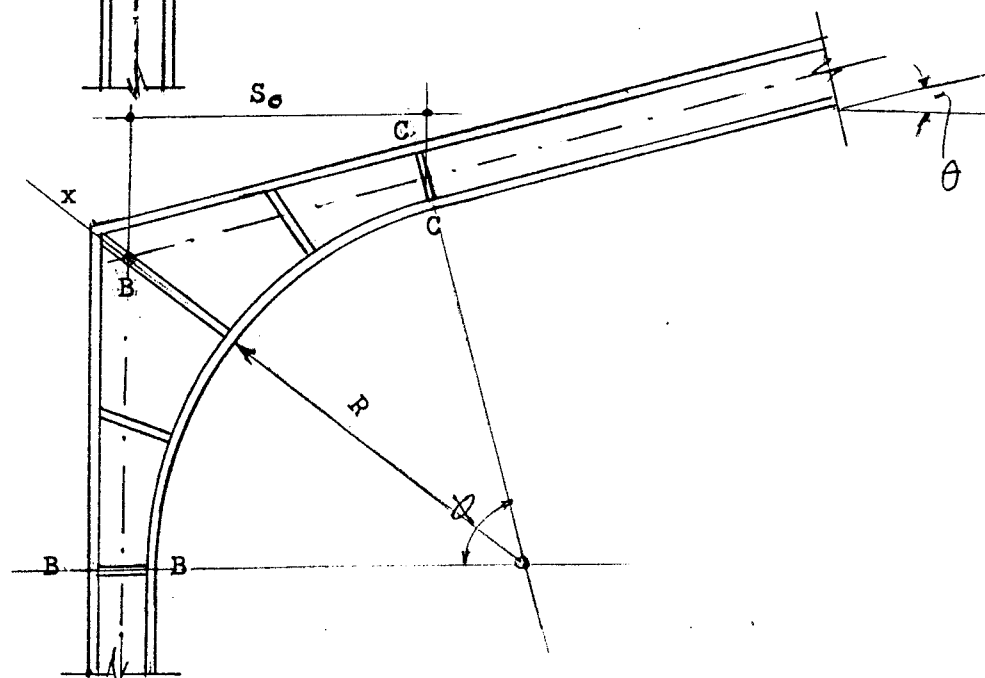
محاسبه آزمایشاتی که روی زانوئی های فلزی با مقیاس  $1_1$  و همچنین تحقیقاتی که بصورت آنالیز فتوالاستیک مدل ها بعمل آمد. است نشان میدهد که تارخنشی خمش بطرف داخل زانوئی منتقل می‌شود و در حدود ۴۵٪ ارتفاع مقطع از بال پائین زانوئی قرار می‌گیرد و بطور کلی میدان تنش نسبتاً "پیچیده ای در مقاطع زانوئی وجود دارد.



شكل (١١)



شكل (١٢)



شكل (١٣)

(١٤)

از نظر طرح و محاسبه عملی، آنالیز دقیق ریاضی و تعیین توزیع تنشهای در زانوئی کمتر مورد پیدا میکند و میتوان از چنین محاسباتی صرف نظر کرد مشروط برآنکه شعاع دایره زانوئی را چنان تعیین نمود که تنشهای حداکثر در زانوئی، در مقاطع تماس با نیمرخ تیروپایه (مقاطع C-C، B-B در شکل ۱۳) بوجود آید. یا بعبارت دیگر هرچند لنگرهای خمی از مقاطع تماس فوق الذکر رو بداخل زانوئی افزایش می یابد ولی شعاع زانوئی (ودرنتیجه ارتفاع مقاطع زانوئی) چنان تعیین میشود که سرعت افزایش ممان ایزسی مقاطع بیش از سرعت افزایش لنگرهای خمی رو بداخل زانوئی است. در نتیجه با اختیار چنین شعاعی برای زانوئی، تنشهای بریال زانوئی از دو انتهای آن رو بداخل کاهش میباید و تنشهای تعیین کننده همان تنشهای مربوط به مقاطع تماس زانوئی با تیروپایه خواهد بود که توسط تئوری معمول خمی قابل محاسبه است.

بنابراین شعاع (R) انتخاب شده برای زانوئی باید دو شرط زیر را برآورد نماید:

الف - R چنان اختیار گردد که نسبت  $\frac{R}{d}$  بر حسب زاویه  $\phi$ ، از مقداری که از منحنی پیوست (۲۰) بدست آید کمتر نگردد. R شعاع داخلی زانوئی و d متوسط ارتفاع مقطع تیروپایه است.

ب - R چنان اختیار گردد که  $\frac{b^2}{2R \cdot t_f} \ll 1$  باشد.

در این رابطه b و t<sub>f</sub> به ترتیب پهنا و خامت بال زانوئی است.

اگر بعلت شرایط معماری وزیبا سازی، شعاع انتخاب گردد که هر کدام ازد و شرط بالا را نقض کند، در آن صورت محاسبه گوشده بدون توجه به ارتفاع اضافه زانوئی بعمل می آید یعنی در محاسبه فرض میگردد که زانوئی وجود ندارد و تنشهای تیر و یاستون برای لنگرهای در مقاطع xx یا zz (در شکل ۱۱) کنترل میگردد.

۹-۱-۱- ترسیم شکل زانوئی: در طرح شکل زانوئی دیده میشود که

که در آن  $\theta$  زاویه شبیه تیر قاب با افق است و طول a بر حسب مقدار R وزاویه  $\phi$  بشرح زیر خواهد بود. (شکل پیوست ۲۰)

$$a = R \tan \frac{\phi}{2}$$

با محاسبه طول a نقاط تماس قوس با اضلاع داخلی تیروپایه بدست می آید و مرکز دایره بارسم عمود های بر اضلاع در این نقاط مشخص میگردد.

گزاردن قطعات تقویتی جان در امتداد شعاعی و روی زانوئی ، برای جلوگیری از کمانش جان و فشار شعاعی بال زانوئی لازمت . توصیه میشود که این قطعات تقویتی در فواصل حد اکثر  $\frac{1}{3}$  تا  $\frac{2}{3}$  برابر پهناى بال (در طول محیط زانوئی) و روی جان نیمرخ قرارداده شوند و انتهاى آنها با بال زانوئی نیز جوش شود . تعداد قطعات تقویتی جان بحسب ابعاد زانوئی و همیت مسئله در نظر گرفته شود . شکل (۱۲)

#### ۱۰- طرح و محاسبه تیر و پایه قاب

قطعات تیرو پایه قاب باید در مقابل لنگر خمی میباشد ، نیروی محوری و تلاش برش محاسبه شود .

اثر لنگر خمی البته مهمترین میباشد و غالب عامل اصلی تعیین کننده ابعاد است . اثر نیروی محوری در مقابل لنگر خمی کوچکتر است . این اثر در پایه قاب معمولاً "کوچک" و در تیر قاب بسیار ناچیز است .  
بطورکلی اثر مشترک لنگر خمی و نیروی محوری تعیین کننده ابعاد مقاطع قاب خواهد بود .

چون نیروی محوری کوچک است کمانش تحت اثر نیروی محوری در تیرو پایه معمولاً "به تنها" دارای اثربزرگی نیست . گراینکه پایه و تیرها بطور غیرعادی لا غربود ه و بآنها رادرجهت محور ضعیف خود (امتداد طول ساختمان) مهاربندی نکرد ه و تکیه گاههای جانبی باندازه کافی موجود نباشد .

#### ۱۰- محاسبه پایه قاب

لنگر خمی ( $M$ ) در پایه بین صفر تا مقدار حد اکثر در گوشه متغیر است . نیروی محوری در پایه برابر عکس العمل قائم تکیه گاه ( $V_A$ ) و تلاش برش مربوطه برابر رانش افقی ( $H$ ) در پای قاب میباشد .

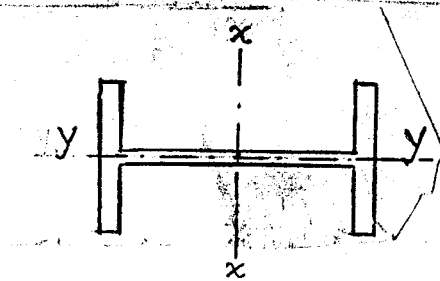
مقادیر  $M$  و  $H$  و  $V$  برای هر بارگذاری ، جداگانه معین شده و مطابق قانون اجتماع قوا ، با هم جمع میشوند .

#### ۱۰-۱- تعیین طول موثر پایه در درجهت

طول موثر پایه بصورت  $Kh$  در نظر گرفته میشود که  $K$  ضریبی است که بشرح زیر انتخاب میگردد :

الف - برای جهت در صفحه قاب (لا غری نظیر محور xx) شکل (۱۴)، ضریب  $K_x$  از نمودگراف پیوست (۲۱)، (حالت کماش توازن با انتقال جانبی پایه<sup>(۱)</sup>) اختیار میگرد دد راین صورت بافرض شرائط زیر معین خواهد شد :

$$G_B = \frac{\frac{I_c}{h}}{\frac{I_r}{2m}} \quad \text{در بالای پایه}$$



شکل (۱۴)

مقادیر  $I_c$  و  $I_r$  بترتیب ممان اینرسی پایه و تیر، نظریجهت مورد نظر و  $m$  طول تیرشیبدار میباشد .

البته از آنجاییکه اثربنیروی محوری در مقابل لنگرخمشی ناچیز است ، در تقریب اول محاسبه ، حتی اگر  $K_x$  برابر يك به حساب آید درنتیجه نهائی محاسبه تقریب ناچیزی خواهد داشت . ضریب لا غری مربوط به این جهت  $\lambda_x = \frac{K_x \cdot h_x}{I_x}$  خواهد بود که در آن  $h_x$  و  $I_x$  به ترتیب طول و شعاع ثیراسیون پایه نسبت به جهت مورد نظر است .

در صورتیکه ممان اینرسی پایه در طول آن متغیر باشد . ضریب لا غری معادل ، طبق رابطه (۶) تعیین خواهد شد .

$$(6) \quad \lambda_x = \frac{K_x \cdot h_x}{\sqrt{I_x^2 + \frac{h_x^2}{4}}}$$

در این رابطه  $I_x$  ضریبی است که از جدول پیوست (۲۲) بر حسب تناسبات دوسر پایه استخراج میگردد و  $h_x$  شعاع ثیراسیون نظریانهای کوچک پایه است .

ب - برای جهت عمود بر صفحه قاب (لا غری نظیر محور YY) در صورتیکه باد بندی (۲) طولی بین پایه های قاب موجود باشد . شکل (۱۷) .

$$K_y = 1 \quad \text{در نظر گرفته میشود .}$$

توصیه میشود که باد بندی طولی بین پایه ها (در امتداد طول ساختمان) در هر حال گذارد ه شود و از راه حل بوجود آوردن پایداری بوسیله عمل قاب بندی (۳) بین پایه هادر امتداد طول ساختمان ، تاحد امکان صرف نظر شود .

۱ - Side Sway

۲ - Bracing

۳ - Stability

۴ - Framing

د رصوريکه بعلت شرائط بخصوص معماري، استفاده از قاب بندی طولي بين ستونها برای پايداري طولي ساختمان، اجتناب ناپذير باشد درايinصورت جزئيات شكل (۱۸) را هنمائي برای اين حالت خواهد بود و ضريب  $K$  ازنموگراف پيوست (۲۱) برای ستون با شرائط زير

تعيین ميگردد :

$$\left. \begin{array}{l} G_A = \infty \\ G_B = \frac{I_{cy}}{\frac{h}{l}} \end{array} \right| \quad \begin{array}{l} \text{تكيه گاه پائين کاملاً مفصل} : \\ \text{تكيه گاه بالا گيردارنسبي} : \end{array}$$

حداقل ضريب  $K$  برای اين حالت كمتراز ۲ به حساب نخواهد آمد.  
در رابطه اخیر  $I_c$  و  $I_b$  بترتيب ممان اينرسى ستون و تير طولي و فاصله قابها از يك يگر درامتداد طول ساختمان ميباشد.

ضريب لا غري اين جهت بصورت  $\lambda_y = \frac{K_y \cdot h_y}{f_y}$  تعيین ميگردد د رصوريکه مهاربندی طولي درين پايه ها موجود باشد، پايه در اين جهت فقط برای نيروي فشاري محوري (۷) محسبه ميگردد. تنشهاي مجاز رفشار طبق جدول پيوست (۲۳) برحسب مقادير  $\lambda$  درنظر گرفته ميشود.

#### ۱-۱-۶- محسبه پايه

معمول "مسئله ناپايداري بعلت نيروي محوري" د ريايه ها تعيین کننده نميباشد و نسبت تنش فشاري موجود به تنش مجاز نظير، کوچك و كمتراز ۱۰٪ است در اينصورت از رابطه ساده (۷) برای کنترل اثر مشترك خمش و فشار استفاده خواهد شد.

$$(۷) \quad \frac{f_a}{F_a} + \frac{f_b}{F_b} \leq 1$$

در اين رابطه :

$f_a$  - تنش موجود حاصل از نيروي محوري يعني  $\frac{V}{A_c}$  سطح مقطع پايه برحسب کيلوگرم بر سانتيمترمربع.

$f_b$  - تنش موجود حداچره حاصل از لنگرخمش برحسب کيلوگرم بر سانتيمترمربع.

$F_a$  - تنش مجاز در فشار محوري که برحسب ضريب لا غري حد اکثر و نسبت به محور ضعيف پايه

مطابق پيوست (۲۳) تعيین ميگردد برحسب کيلوگرم بر سانتيمترمربع.

۶ - تنش مجاز در خمش بر حسب کیلوگرم برسان نتیمترمربع، با توجه به فاصله تکیه گاههای جانبی مطابق بند های ۲-۸ و ۲-۱ میباشد.

در صورتیکه در یک حالت استثنائی  $\frac{f_a}{F_a} > 0.15$  باشد، باید اثر مشترک نیروی محوری و لنگرخمش از رابطه (۸) کنترال گردد.

$$(8) \quad \frac{f_a}{F_a} + \frac{0.85 f_b}{(1 - \frac{f_a}{F_a}) F_b}$$

در این رابطه  $f_a$  و  $F_a$  و  $f_b$  و  $F_b$  معانی قبلی را دارند و مقدارهای برحسب کیلوگرم برسان نتیمترمربع از رابطه (۹) محاسبه میگردد.

$$(9) \quad F_e' = \frac{10475000}{(K_x h_x / r_x)^2}$$

که در آن  $K_x$  و  $r_x$  و  $h_x$  مقادیری است که قبلاً بیان گردید.

## ۱۰-۲-محاسبه تیر قاب

ارتفاع متوسط تیرقاب معمولاً " بین  $\frac{1}{30}$  تا  $\frac{1}{50}$  دهانه بدست میآید. عوامل اصلی در تعیین ابعاد در تیرقاب عبارتند از:

الف - لنگرخمش مطابق دیاگرام تغییرات مربوطه و مخصوصاً " در مقطع تماس قیر با زانوئی

ب - نیروی محوری در تیرکه برابر رابطه (۱۰) تعیین میشود. شکل (۱۵)

$$(10) \quad P = \sum H \cdot \cos \theta + \sum V \cdot \sin \theta$$

ج - تلاش برشی در تیرکه برابر رابطه (۱۱) معین میگردد. شکل (۱۶)

$$(11) \quad S = \sum V \cdot \cos \theta - \sum H \cdot \sin \theta$$

در این رابطه

- نیروی محوری در امتداد عمود بر مقطع عرضی تیر  $P$

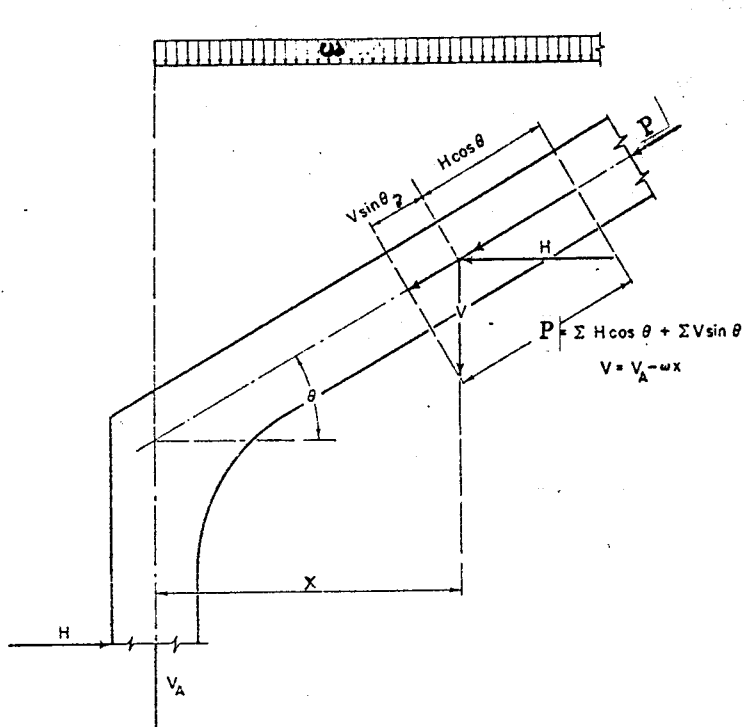
- نیروی برش قائم یا  $V_A - w_x$   $V$

- رانش افقی در پای قاب که در صورت وجود مقاطع با ممان ایزسی متغیر، مطابق ارقام بند ۸ تصحیح شده است "  $H$

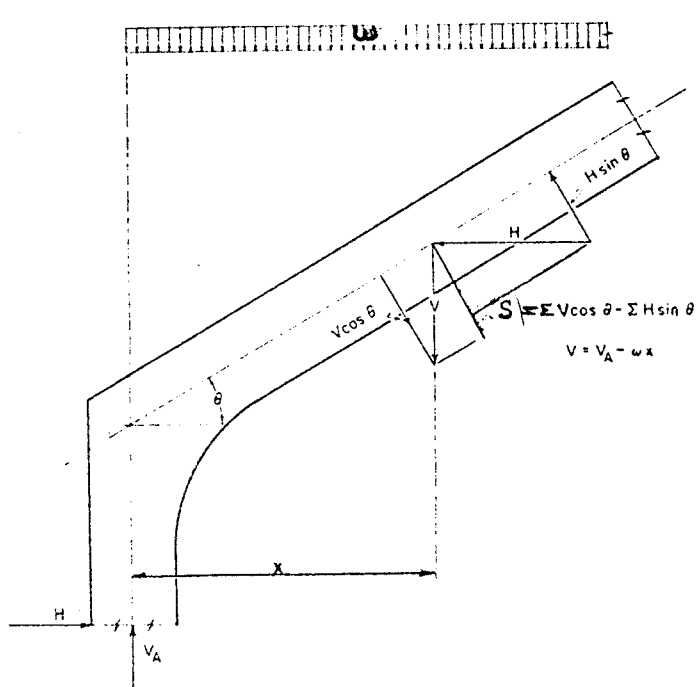
- تلاش برش در مقطع  $S$

- زاویه بین امتداد تیر و خط افق  $\theta$

مجموع دو یا چند نوع بارگذاری مختلف، مقادیر  $M$  و  $P$  و  $S$  را بدست میدهد. مقادیر  $H$  و  $V$  برای هر بارگذاری جداگانه معین شده، و مطابق قانون اجتماع اثر قوا، با هم جمع میشوند.



شكل (١٥)



شكل (١٦)

## ۱۰-۳-۱- نکات مربوط به صفحه جان تیروپایه

### ۱۰-۳-۱- حداقل ضخامت ورق جان

الف - از نظر خوردگی (۱)  $t_w \geq 7\text{ mm.}$  (ضخامت جان)

ب - از نظر تحمل برش موجود  $t_w \geq \frac{v}{\sqrt{\frac{E}{2} \cdot h}}$

د - رابطه ۷ نیروی برشی عمود بر سیانتار در مقاطع و پیچ تنش مجاز برشی فولاد

و - ارتفاع جان (فاصله داخل به داخل بالها) میباشد.

ج - از نظر جلوگیری از کمانش طولی (۲) ناشی از تنشهای فشاری حاصل از لنگر خمینی

$$t_w \geq \frac{1}{170}$$

### ۱۰-۳-۲- جلوگیری از کمانش قطری (۳) در صفحه جان

علاوه بر شرائط فوق، ورق جان باید در مقابل کمانش قطری حاصل از فشار ناشی

از نیروی برشی بشرح زیر مقاوم باشد:

الف - در صورتیکه  $\frac{h}{t_w} \leq 70$  است مسئله کمانش قطری مطرح نمیباشد.

ب - در صورتیکه  $\frac{h}{t_w} > 70$  است:

$$\frac{h}{t_w} < \frac{4.5 \times 10^6}{(\frac{h}{t_w})^2}$$

احتیاج به اضافه کردن قطعات تقویتی جان (۴) نمیباشد

ج - در صورتیکه  $\frac{h}{t_w} > 70$  و  $\frac{h}{t_w} < \frac{4.5 \times 10^6}{(\frac{h}{t_w})^2}$  است در این صورت باید

قطعات تقویتی قائم بصورت تسمه های دوبله، در تمام منطقه ای که دو شرط بالا برقرار است قرارداد.

فواصل این قطعات تقویتی از یکدیگر از رابطه زیر تعیین میگردند:

$$d = \frac{2900 t_w}{\sqrt{2}}$$

۱ - Corrosion | ۲ - Longitudinal Buckling | ۳ - Diagonal Buckling

۴ - Web Stiffeners

ج) عبارتست از تنش موجود بر روی برشی بر حسب کیلوگرم بر سانتیمتر مربع که از تقسیم کردن نیروی برشی در مقطع به سطح مقطع جان بدست آید یعنی  $\frac{V}{t_w h} = J$  در این روابط عبارتست از فواصل قطعات تقویتی از یکدیگر بر حسب سانتیمتر،  $t$  بر حسب سانتیمتر و  $h$  ارتفاع جان بر حسب سانتیمتر است.

حد اکثرهقداره نباید از ارتفاع جان ( $h$ ) تجاوز نماید.

قطع قطعات تقویتی باید چنان انتخاب شود که ممان اینرسی آنها شرط زیر را برآورد نماید:

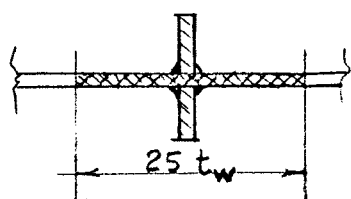
$$I_s \geqslant \left( \frac{h_0}{50} \right)^4$$

در این رابطه  $I_s$  ممان اینرسی یک جفت قطعه تقویتی نسبت به مرکز جان و  $h$  ارتفاع کل مقطع میباشد.

#### ۱۰-۳-۳- جلوگیری از کماش قائم موضعی (۱۱) در صفحه جان

علاوه بر شرائط گفته شده، ورق جان باید در مقابل بارهای متتمرکز سنگین وارد درامتداد عمود بر محور طولی عضو باگذاردن قطعات تقویتی موضعی مقاوم گرد داین قطعات تقویتی بانضم ورق جان، "کلا" بصورت ستونی در مقاومت در مقابل با مرکز درنظرگرفته میشوند. فرضیات محاسبه این ستون بشرح زیر میباشد:

قطع ستون عبارتست از مقطع قطعات تقویتی باضافه طولی از ورق جان برابر  $25t_w$ .



طول موثر ستون برابر  $\frac{3}{4}h$  در نظر گرفته میشود. حد اکثر تنش فشاری بر مقطع ستون فرضی فوق الذکر تحت اثربار مرکزه نباید از مقادیری که در پیوست (۲۲) داده شده است تجاوز نماید.

بارهای مرکز بسیار سبک مانند عکس العملهای لایه ها احتمالاً "احتیاجی به این نوع تقویت نخواهد داشت.

## ۱۱- عوامل ثانوی در تعیین $H$

مقداری که از روابط مربوط به تعیین  $H$  بدست می آید در واقع مقدار  $H$  حاصل از تغییر شکل‌های قاب تحت اثربارهای خارجی است . البته این مقدار اصلی را نشان داری قاب می‌باشد و در قابهای با دهانه نسبتاً "کوچک" می‌توان آنرا بعنوان نتیجه قطعی محاسباتی تلقی کرد . ولی در هر حال عوامل دیگری نیز ممکن است در قطعات قاب و پیش‌بین پایه ها تغییر شکل و تغییر طول پدید آورند که این نوع تغییر شکل‌ها بنویسید خود در مقدار  $H$  و در نتیجه در تنشهای در طول قاب موثرخواهند بود .  
اثر عوامل ثانوی در قابهای دهانه آنها بیش از ۵۰ متر است در نظر گرفته می‌شود .

عوامل ثانوی موثر عبارتند از :

الف - تغییر طول دهانه بعلت انقباض حرارتی

ب - تغییر شکل‌های حاصل از افت طول اقطعات بعلت تنشهای تولید شده

ج - تغییر طول کش پایه ها بعلت نیروی کششی موثر

هر سه این عوامل دارای اثری در عکس جهت بارگذاری می‌باشد یعنی از مقدار رانش  $H$  در پای قاب می‌کاهند و برلنگر خمی می‌دانند .

در محاسبه اثراًین عوامل و اصلاح مقدار  $H$  احتیاجی به تئوری‌های پیچیده و دقیق بسیار زیاد نمی‌باشد و کافی است که مقدار رانش  $H$  در پای قاب را با تقریبی مطابق مقدار حاصل از رابطه (۱۶) اصلاح نمود .

$$(16) \quad H' = \frac{E \cdot C \cdot t L + \frac{H L}{A} + \frac{H L}{A t}}{\sum y^2 \cdot \frac{\Delta s}{I}}$$

دراين رابطه :

$C$  - ضریب انبساط و انقباض حرارتی است که برای فولاد برابر  $10^{-6} \times 11,7$  به ازای هر درجه سانتیگراد در نظر گرفته می‌شود .

$t$  - تغییر درجه حرارت بر حسب سانتیگراد

$L$  - طول دهانه قاب

$H$  - رانش پای قاب مربوط به بارگذاری قاب

$A$  - متوسط سطح مقطع تیر قاب

$A_t$  - مقطع کل کش‌بین پایه ها

$y$  و  $\Delta s$  مطابق شکل (۱۰) در نظر گرفته می‌شود .

در رابطه (۱۶) + نزول درجه حرارت بین زمان نصب وحداقل مفروض محاسباتی است . از دیدار درجه حرارت اثر محسوسی در ارقام محاسبه نخواهد داشت زیرا اثر آن با دو عامل ثانوی بعدی خلثی خواهد شد .

### (۱۶) - مهاربندی و بادبندی

مهاربندی ساختمنهای باقابهای شبیدار باید با دقت مطالعه واجرا شود . محاسبه کننده باید همیشه بخاطر داشته باشد که خرابی این نوع ساختمنها تقریبا " فقط معلوم ناپایداری کلی دستگاه بود . منحصر است به حالاتی که مهاربندی نقش خود را الجام ندهد .

مهاربندی باید دو عمل اصلی انجام دهد : ۱- در مقابل اثرباد را متداد طول ساختمان ( فشاروارد بر سطوح انتهای ساختمان ) پایداری دستگاه را تامین کند و مانع خوابیدن قابها روی هم گردد ۲- تکیه گاههای جانبی مطمئن برای مقاطع تیروپایه و گوش زانویی بوجود آورد و از کمانش حول محور ضعیف و یا از کمانش جانبی در خم و بیچش و همچنین از غلتیدن مقاطع لاغر و بلند جلوگیری نماید .

مهاربندی در در و روش طرح و محاسبه ال استیک و پلاستیک ، تقریبا " در محله ای مشابهی گذارد . میشود . مشخصات زیر را بعنوان راهنمایی در مهاربندی میتوان در نظر داشت :

الف - بادبندی طولی در دیوارهای طولی ساختمان - برای مقابله با اثرباد - در امتداد عمود بر سطح قابها قرارداد . میشود . این نوع بادبندی معمولا " عمارت خواهد بود از چپ و راستهای از میل گرد که در چند دهانه جانبی ساختمان قرار داد . میشود و آنها را با بست قورباغه تثبیت . مینمایند ، شکل (۱۷) ، و در صورتیکه بعلت طرح معماری بخصوص نتوان این نوع دهانه ها را اشغال کرد ، اجبارا " باید از مهار زانویی استفاده نمود . شکل (۱۸) .

همچنین بادبندی چپ و راست در سطح سقف شبیدار که معمولا " در دو چشم اول و آخر ساختمان اجرا میشود برای افزایش صلوبیت سطوح شبیدار لازم است . شکل (۱۷) . ب - در قابهای بادهانه بسیار کوچک ( نا ۱۶ متر دهانه ) در صورتیکه از تیرهای لا په<sup>(۲)</sup> در روی قابها استفاده شود ( و این تیرهای لا په با قابها اتصال کامل و مستحکم داشته باشند ) این نوع اتصال بانضم ام بادبندی چپ و راست در دهانه های جانبی ( بشرحی که در بالا ذکر شد ) عملای " پایداری دستگاه را بوجود میآورد و احتیاجی

به قطعات اضافی نخواهد بود مگراینکه تنشهای فشاری بزرگی درگوشه زانوئی قاب موجود باشد دراینصورت میتوان از یک سری تیراطولی که نیمروخ آنها درامتداد نیمسازگوشه قرار گیرد بعنوان مهاردرین قابها استفاده نمود .

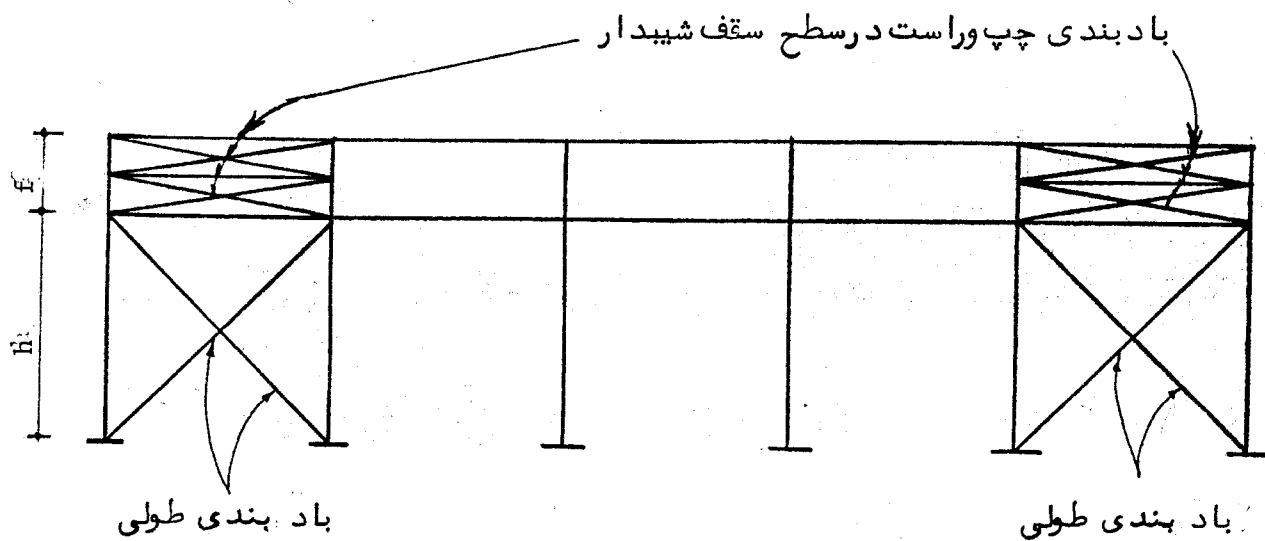
ج — دردهای درحدود ۱۲ تا ۲۰ مترعلووه بریادبندی سطوح جانبی ساختمان، باید پل زدن با تیرهای مشبك طولی در راس قاب و در محل نیمساز زانوئی هادرد و طرف دهانه اجرا شود و همچنین بال فشاری تیرهای درفواصل لازم درامتداد جانبی نگاهداری شود .

(۵) استفاده از دستکهای مورب (اغلب ۴۵ درجه) که بنام پشت بندیا سینه بند نامیده میشود، بین لاپه ها و قاب برای تثبیت بال فشاری تیرقاب، شکل شماتیک (۱۹-a) و (۱۹-b) و بین تیرکهای افقی و پایه برای تثبیت بال داخلی پایه، شکل شماتیک (۱۹-c)، در قابهای کوچک راه حل مناسب است . ولی محاسبه کنند و باید بخوبی طرز عمل وحدود موثر بودن این نوع مهاربندی را بشناسد و آنرا در دهانه هائیکه عمل تثبیت و جلوگیری از کمانش و غلت، از عهد و سینه بند خارج است بکاربرد . مخصوصاً "درلاپهای نوع سبک (سرد خم شده ازورق) با توجه به طول دهانه لاپه و عدم تقارن در مقطع آن واستعداد خمش و کمانش درلاپه باید مطمئن گردید که لاپه در انتهای دیگر سینه بند قادر به تولید عکس العمل مفروض در نقش مهار بندی باشد .

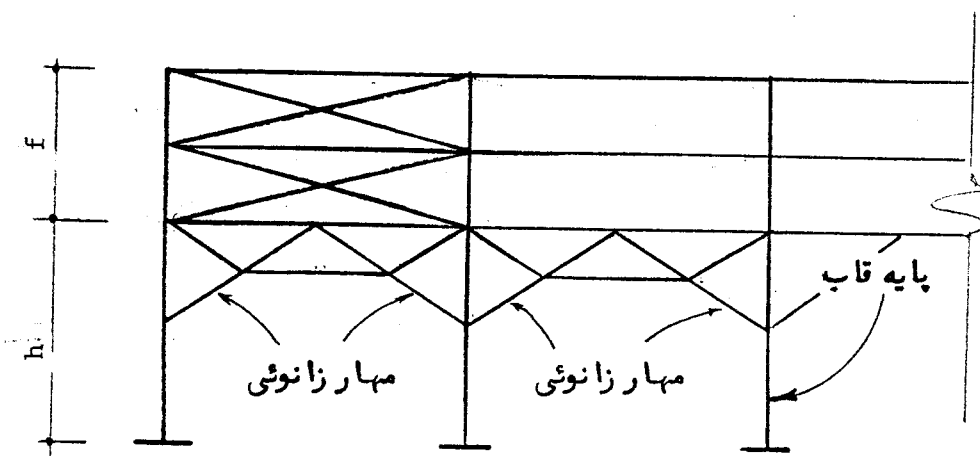
ترجمیح دارد اتصال این قطعات با جوش به عمل آید . در صورت استفاده از پیچ، بکاربردن سوراخهای بیضی در اتصال پیچ (که گاهی برای نصب و تنظیم سینه بند مورد نیاز است) بهیچوجه مجاز نمیباشد و این نوع لقی‌ها چه بسا نقش‌چاشنی را در شروع خرابی بازی میکند .

همچنین استفاده از اتصالات کشوئی و یا آلام وزیانه‌ای (بدون اتصال مستقیم جوش یا پیچ و پایچ) که در آنها انتقال نیرو فقط از طریق فشار تماشی بعمل می‌آید توصیه نمیگردد .

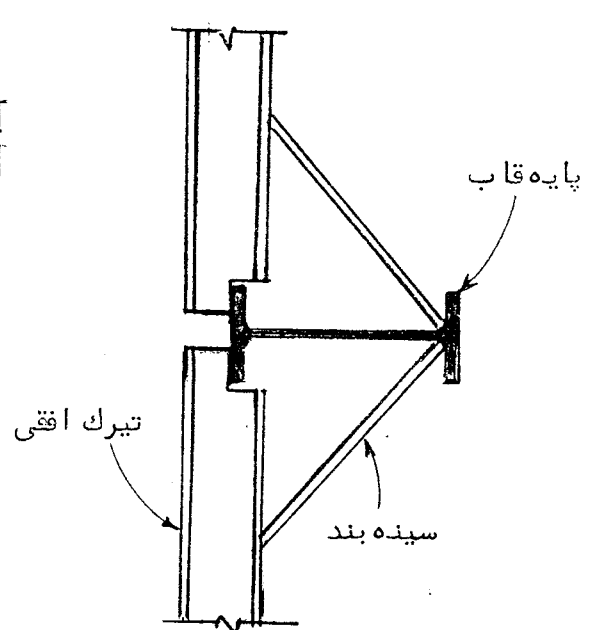
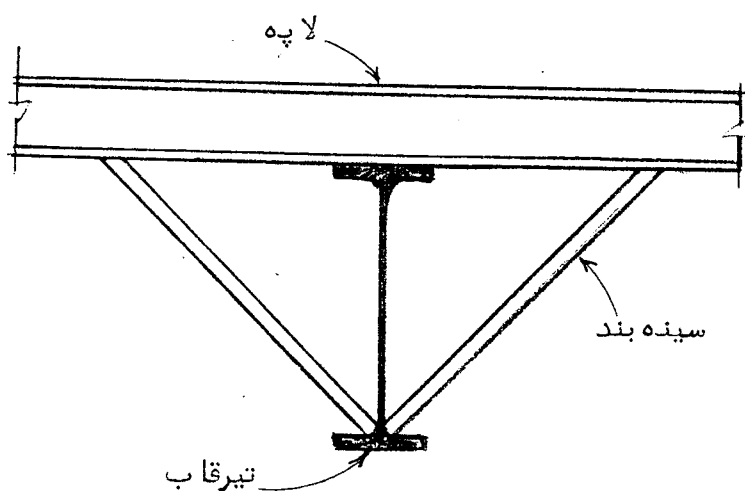
د — دردهای بیش از ۲۰ مترخوب است که پل زدن نامبرده — علووه بر محل راس قاب وزانوئی‌ها — در فواصل بطول ۱۰۰ برابر شعاع ژیراسیون حداقل مقطع نیم‌رخ (شعاع ژیراسیون نسبت به محور ۷-۷) نیز اجرا شود و علاوه بر آن تکیه گاه شای اضافی در فواصل لازم، با سینه بند بوجود آید .



شکل (۱۷) - مهار بندی طولی



شکل (۱۸)



شکل (۱۹-۵)

شکل (۱۹-۶)

هـ - در طرح و محاسبه پلاستیک، باید حتماً "در محل مفصلهای پلاستیک احتمالی یک ردیف پل زدن بین قابها پیش‌بینی شود و علاوه بر آن تکیه‌گاههای جانبی مطمئنی و برای بال فشاری مقطع بوجود آید.

### ۱۲- جزئیات پای قاب

#### ۱۲-۱- محاسبه صفحه تقسیم فشار پای ستون (۱)

در محاسبه این صفحات تنشهای فشاری مجاز بین صفحه و بتون شالوده مطابق استاندارد شماره ۱۰۱۹ اداره استاندارد و تحقیقات صنعتی در نظر گرفته می‌شود.  
تش مجاز در محاسبه خمینه دار صفحه برابر  $\frac{1}{20}$  بحسب می‌آید که در این رابطه حد جاری شدن فولاد صفحه می‌باشد.

#### ۱۲-۲- محاسبه کش بین دوپایه

کش بین دوپایه برای کششی برابر  $\frac{\pi}{2}$  محاسبه می‌گردد سطح لازم برای کشش حاصل از این محاسبه، برابر سطح زیر داده های پیچ بحسب می‌آید.  
خوبیست مقطع انتخاب شده برای کش راقد ری بزرگتر از مقدار محاسباتی قرارداد تا جوابگوی اثربورده باشد ( در صورت عدم حفاظت کامل ) باشد.

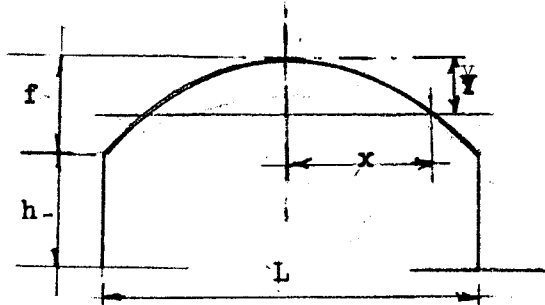
#### ۱۴- وصله‌های کارگاهی (۲)

تعداد و محل وصله‌های قطعات قاب که در محل کار باید انجام شود، تابع ابعاد قاب، وزن قطعات و وسائل حمل و نصب می‌باشد.  
قابهای شبیدار کوچک معمولاً " درد و قطعه" به محل ارسال می‌گردند و با اجرای یک وصله کارگاهی در راس قاب در محل نصب می‌شوند.  
در قابهای بزرگ معمول براین است که دو وصله کارگاهی در نقاط عطف منحنی تغییر شکل تیرقا ب قرار دهد و در صورتی که از نظر شرائط حمل و نصب به تعداد بیشتری وصله نیاز باشد وصله‌های اضافی رابطه‌مناسب در محلهایی که لنگر در آنها کوچک است قرار نماید هند.

(۱)

حل قاب با تیرقوسی ببینید رمود تیربا منحنی سهمی مطرح میشود و رانش افقی  $H$  دریای ستون، برای تیربا معادله سهمی آنالیز و محاسبه میشود.  
فرمولها و نمودارهای پیوست (۴) و (۵) نتایج چنین محاسبه‌ای را نشان میدهد.

معادله سهمی را بشرح زیر میتوان معین کرد: طبق شکل مقابل



$$\frac{Y}{x^2} = \frac{f}{\left(\frac{1}{2}L\right)^2}$$

$$Y = \frac{4fx}{L^2}$$

مقدار  $\frac{4f}{L^2}$  برای قوس سهمی—بادهانه و خیز مورد نظر—مقدار ثابتی است و به این ترتیب منحنی سهمی به آسانی رسم میشود.

البته شکل سهمی برای بوجود آوردن سقف قوسی بسیار مناسب است و روابط حاصل نیز خیلی ساده تراز روابطی است که برای منحنی دایره میتوان بدست آورد ولی در عرض پیاده کردن و اجرای قوس دایره آسانتر و عملی تر است.

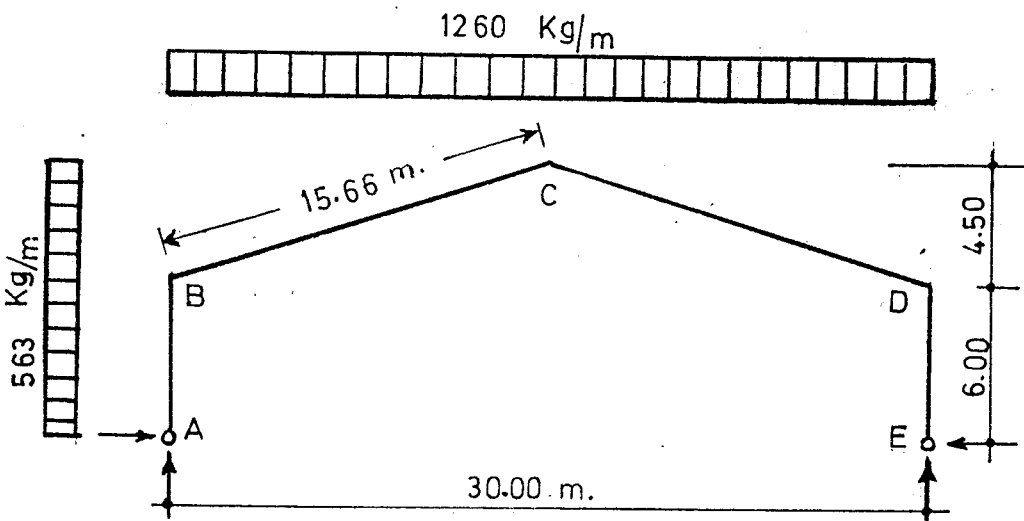
برای قوس‌های نسبتاً "تخت که مثلاً" نسبت خیز به دهانه  $\left(\frac{f}{L}\right)$  در آنها کوچک تراز ۰.۲ است (که این نسبت شامل بسیاری از قوس‌هایی که در عمل بکار میروند خواهد بود) تفاوت سقفی که با منحنی سهمی و بادایر ساخته شده باشد آنقدر کوچک است که احتمالاً "چشم قادر به تشخیص آن خواهد بود و همچنین تفاوت تنشهای تولید شده در دونوع قوس نیز بسیار کم است".  
بدین طریق میتوان شکل هندسی یکی را جانشین دیگری نمود و بعد از مقطعی که از آنالیز قوس سهمی بدست آید برای قوس دایره نظیر بکار برد بدون آنکه احتیاج به محاسبه مجدد باشد.

برای خیزهای بیشتر البته تقریب بتدربیج بزرگتر میشود و تنشهای دونوع قوس با هم تفاوت قابل توجهی خواهند داشت.

در حالت حدی که خیز قوس بمقدار نصف طول دهانه برسد و قوس دایره بر پایه های دو طرف مماس باشد، عکس العمل افقی مربوط به قوس سهمی نظیر در حدود ۱۰٪ بزرگتر از آن دایره با همان خیز خواهد بود. در اینجا لنگرخمشی در تاج (راس) قوس ممکنست چندین برابر لنگر نظیر رقوس سهمی نظیر باشد و این تفاوت با کوتاه شدن ستونها بتد ریج کمتر میشود و در مورد حالت حدی که طول ستونها صفر باشد (حالتی که قوس مستقیماً "روی مفصلهای تکیه گاه قرار گیرد") مقدار این تفاوت در مورد باره موارگسترده به صفر خواهد رسید.

بنابراین برای قوس نیم دایره و همچنین برای قوسهای دایره تک مرکز (با مرکز بر روی محور دهانه) که نسبت خیز به طول دهانه در آنها بزرگتر از ۰.۲ باشد باید آنالیز دقیق مربوط به حالت مورد نظر را جدأگانه انجام داد ولی در حالت اخیر نیز میتوان نتایج آنالیز سهمی را بکاربرد و ضمن اجرا، قوس سهمی را با قوس مرکب دایره ای (یعنی قوس مرکب از سه دایره با مرکز مشاعهای متفاوت معروف به قوس مقرنس) چنان جانشین کرد که نتایج محاسباتی آن با قوس سهمی تفاوت چندانی نداشته باشد.

## طرح و محاسبه شماره ۱



مشخصات قاب :

- ۱— ابعاد مطابق شکل بالا .
- ۲— فاصله مرکز به مرکز قابها از یکدیگر ۶ متر .
- ۳— مقطع در طول قاب ثابت و از نیم رخ بال پهن IPB وورق ساخته میشود .
- ۴— بار قائم کلا " 210 کیلوگرم بر متر مریع .
- ۵— بارافقی افزاید  $75 \times 1.25$  کیلوگرم بر متر مریع .
- ۶— زانوئی قاب بدون ماهیچه ساخته میشود .

: بارهای قائم

: بارگذاری

برف	L.L.	=	147	Kg/m <sup>2</sup>	رقم کا هش یا فته روی شب
وزن ورق آزیست سیمان	D.L.	=	25	"	
وزن لایه	D.L.	=	13	"	
وزن قاب (تخمینی)	D.L.	=	$\frac{25}{210}$	"	
$W = 210 \times 6 = 1260 \text{ Kg/m} .$					

$$75 \times 1.25 \times 6.0 = 563 \text{ Kg/m} .$$

توضیح: در مثال‌های بعدی بعمل نیاز بسیار به رعایت اختصار، چند تقریب اضافی (با اطمینان بیشتر) نسبت به ارقام بارگذاری (بند ۴) درنظر گرفته شده است و آن ترکیب تمام سرباربرف با تمام سربار باد و حذف محاسبات مربوط به حالاتی از بارگذاری است که تعیین کنند، نمی‌باشد.

$$Q = \frac{4.5}{6.00} = 0.75$$

$$K = \frac{1}{1} \times \frac{6}{15.66} = 0.38$$

$$\frac{I_2}{I_1} = 1 \quad \text{با فرض}$$

از نمودار شماره (۱) پیوست (۲)

$$C_1 = 0.059$$

$$C_6 = 0.525$$

از نمودار شماره (۵) پیوست (۳)

$$H_E = 0.059 \times 1260 \times \frac{30^2}{6} = 11151 \quad \text{Kg.}$$

$$H_E = 0.525 \times 563 \times 6 = 1774 \quad \text{Kg}$$

$$\text{جمع } H_E = 12925 \quad \text{Kg.}$$

استفاده از روابط:

: بارقائم

$$H_A = H_E = \frac{\omega L^2}{8hN} (8 + 5Q) \quad \text{از حالت ۱ پیوست (۷)}$$

$$Q = 0.75 \quad K = \frac{I_2}{I_1} \frac{h}{m} = \frac{1}{1} \times \frac{6}{15.66} = 0.383$$

$$N = 4(K + 3 + 3Q + Q^2) = 4(0.383 + 3 + 3 \times 0.75 + 0.75^2) = 24.782$$

$$H_A = H_E = \frac{1260 \times 30^2}{8 \times 6 \times 24.782} (8 + 5 \times 0.75) = 11201 \quad \text{Kg}$$

از حالت (۰) پیوست (۷)

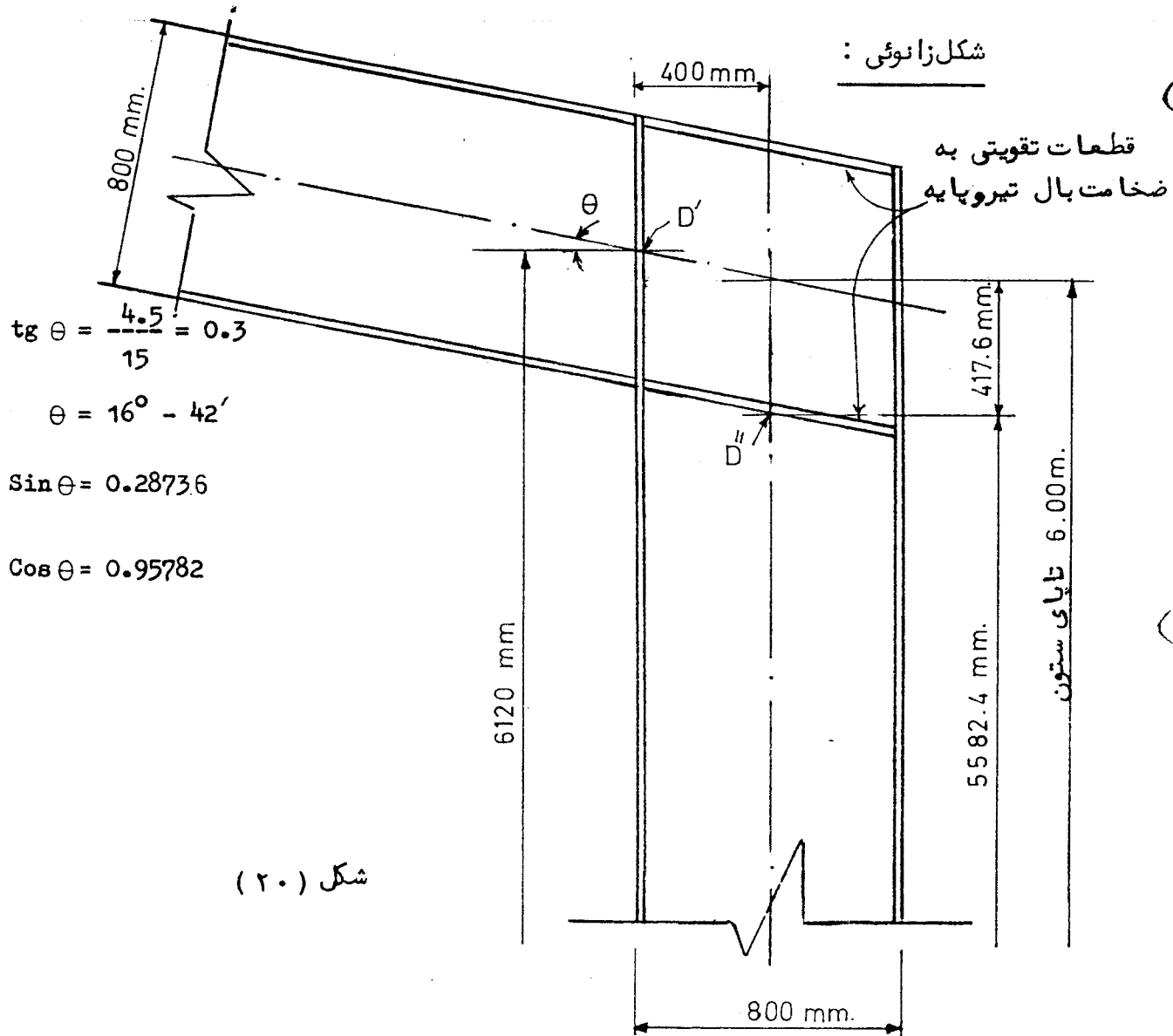
: باد

$$H_E = \frac{\omega h}{4N} (5K + 12 + 8KQ + 30Q + 20Q^2 + 5Q^3)$$

$$H_E = \frac{563 \times 6}{4 \times 24.782} ( 5 \times 0.383 + 12 + 8 \times 0.383 \times 0.75 + 30 \times 0.75 + 20 \times (0.75)^2 + 5 \times (0.75)^3 ) = 1775 \text{ Kg}$$

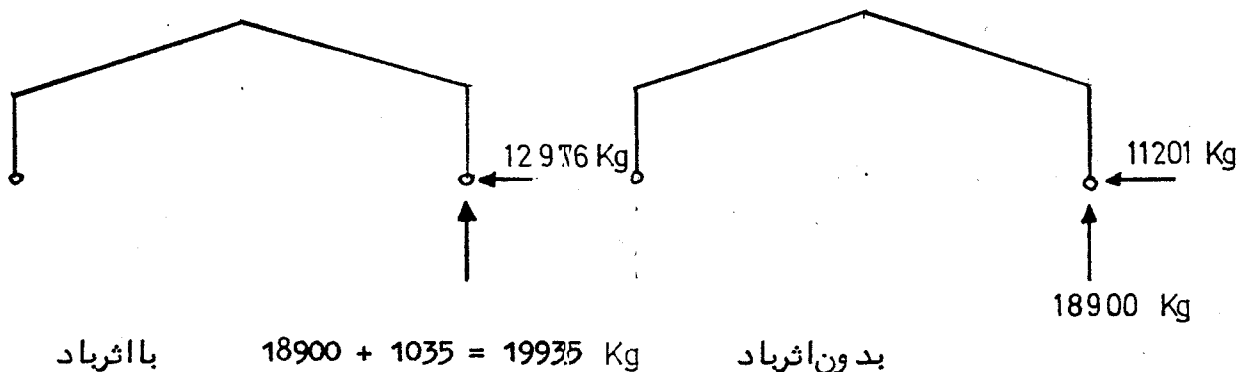
جمع  $H_E = 12976 \text{ Kg}$

که مقدار نزدیک به نتیجه حاصل از نمودارهاست.



محاسبه تیرقا ب :

لنگرد نقطه D'



$$12976 \times 6.12 = - 79413 \text{ m-kg}$$

$$1260 \times \frac{(0.4)^2}{2} = - 101 \text{ "}$$

$$19935 \times 0.4 = + 7974 \text{ "}$$

$$\underline{-71540 \text{ m-kg}}$$

$$11201 \times 6.12 = - 68550 \text{ m-kg}$$

$$1260 \times \frac{0.4^2}{2} = - 101 \text{ "}$$

$$18900 \times 0.4 = + 7560 \text{ "}$$

$$\underline{-61091 \text{ m-kg}}$$

$$\frac{71540}{1.33} < \frac{61091}{1.33}$$

حالت بحرانی بدون اثرباد است زیرا :

نیروی محوری D'

$$P = 11201 \times \cos \theta + 18900 \times \sin \theta = 10728 + 5430.9 = 16160 \text{ Kg}$$

بال پهن 28 باضافه ورق در جان  
ارتفاع کسی مقطع 80 سانتیمتر

$$\left\{ \begin{array}{l} IPB = 28 + R \\ H_1 = 80 \text{ cm} \end{array} \right.$$

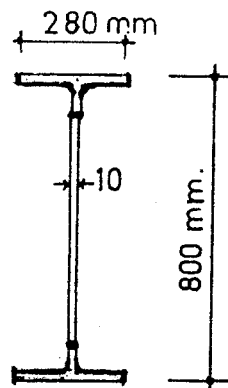
قطع

$$A = 183 \text{ cm}^2$$

$$G = 144 \text{ Kg/m}$$

$$W_x = 4980 \text{ cm}^3$$

$$r_y = 6.0 \text{ cm}$$



فواصل مهاربندی عرضی حد اکثر 40.5 متر فرض میشود.

$$\frac{K \cdot L}{r} = \frac{1 \times 450}{6} = 75$$

$$F_a = 1046 \text{ Kg/cm}^2$$

$$\frac{L \cdot d}{bt} = \frac{450 \times 80}{28 \times 1.8} = 715$$

$$F_b = \frac{840000}{715} = 1175 \text{ Kg/cm}^2$$

رابطه دوم کماش جانبی هم کنترل میشود.

$$F_b = \left[ 1 - \frac{\left( \frac{L}{r} \right)^2}{\frac{2c_c^2}{c_b}} \right] 0.6 F_y$$

$$I_{yo} = 1.8 \times \frac{28^3}{12} = 3292 \text{ cm}^4$$

: محاسبه r

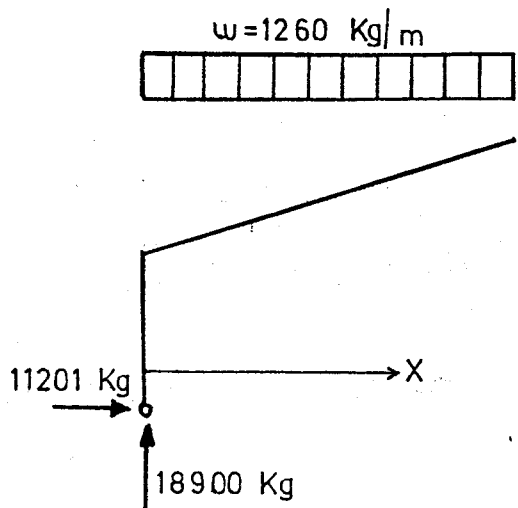
$$A_f = \frac{183}{2} - \frac{1}{3} \times 76.4 \times 1 = 66.03 \text{ cm}^2$$

$$c_c^2 = \frac{2\pi^2 E}{2300} \quad ; \quad r_{yo} = \sqrt{\frac{3292}{66.03}} = 7.06 \text{ cm.}$$

$$c_c^2 = \frac{2\pi^2 E}{F_y} = \frac{2\pi^2 \times 2.1 \times 10^6}{2300} \approx 18020$$

برای محاسبه ضریب  $c_c^2$  احتیاج به معادله لنگرخمشی و تعیین نقطه صفر میباشد.

معادله لنگرخمشی :



$$M_x = 18900x - 1260 \cdot \frac{x^2}{2} - 11201(6 + 0.3x)$$

$$M_x = -630x^2 + 15539.7x - 67206$$

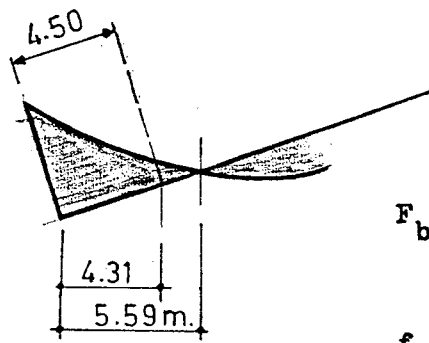
$$M_x = 0 \quad x = 5.59$$

$$M_1 = M_x = 4.31 = -11933 \text{ m-Kg}$$

$$M_2 = M_{x=0} = -67206 \text{ "}$$

$$C_b = 1.75 - 1.05 \left( \frac{M_1}{M_2} \right) + 0.3 \left( \frac{M_1}{M_2} \right)^2$$

$$C_b = 1.75 - 1.05 \frac{11933}{67206} + 0.3 \left( \frac{11933}{67206} \right)^2$$



$$1.75 - 0.189 + 0.0097 = 1.57$$

$$F_b = \left[ 1 - \frac{\left( \frac{450}{7.06} \right)^2}{2 \times 18000 \times 1.57} \right] \times 1400 = 1299 \text{ Kg/cm}^2$$

$$f_a = \frac{16160}{183} = 89 \text{ Kg/cm}^2$$

$$f_b = \frac{6109100}{4980} = 1227 \text{ Kg/cm}^2$$

$$\frac{f_a}{F_b} = \frac{89}{1046} = 0.085 < 0.15$$

$$\frac{f_a}{F_a} + \frac{f_b}{F_b} = 0.085 + \frac{1227}{1299} = 1.029 = 1$$

مقدار بسیار کمی ضعیف است احتمالاً "اتکای عرضی نزد یکترویاما هیچه اید رگوشه این عیب را رفع مینماید.

$$1260 \times \frac{30^2}{8} = + 141750 \text{ m-Kg}$$

لنگر رأس قاب :

$$11201 \times 10.5 = - \frac{117610}{+ 24140} \text{ m-Kg}$$

مقطوع موجود کافی است

محاسبه ستون:

لنگر در  $D''$

$$11201 \times 5.5824 = 62528 \text{ m-Kg.}$$

نیروی محوری در  $D''$

$$P = 18900 \text{ Kg.}$$

مقطع موجود راکنترل میکنیم :

با فرض اینکه ستون در وسط ارتفاع دارای تبکیه گاه جانبی است:

$$\frac{KL}{r} = \frac{1 \times 300}{6} = 50 \rightarrow F_a = 1194 \text{ Kg/cm}^2$$

$$\frac{Ld}{bt} = \frac{300 \times 80}{28 \times 1.8} = 476 < 600 \rightarrow F_b = 1400 \text{ Kg/cm}^2$$

$$f_a = \frac{18900}{183} = 103 \text{ Kg/cm}^2$$

$$f_b = \frac{6252800}{4980} = 1255 \text{ Kg/cm}^2 \quad \frac{f_a}{F_a} = \frac{103}{1194} = 0.086 < 0.15$$

$$\frac{f_a}{F_a} + \frac{f_b}{F_b} = 0.086 + \frac{1255}{1400} = 0.982 < 1 \quad \text{oK}$$

برش در جان تیر:

برش در  $D'$

$$18900 \times \cos \theta - 11201 \times \sin \theta = 18102 - 3218 = 14884 \text{ Kg}$$

$$C = \frac{14884}{76.4} = 189 \text{ Kg/cm}^2$$

$$\frac{h}{t_w} = \frac{76.4}{1} = 76.4 > 70$$

برش مجاز در جان لاغر :

$$\frac{C}{W} = \frac{4.5 \times 10^6}{\left(\frac{h}{t_w}\right)^2} = \frac{4.5 \times 10^6}{(76.4)^2} = 770 > 189 \text{ Kg/cm}^2$$

که البته قبل از چنین محاسبه‌ای هم دیده میشد که برش در تیری که ابعاد جان آن در این حدود باشد مسئله‌ای نخواهد بود.

#### محاسبه وزن قاب بدون صفحه و اتصالات پای ستون و قطعات تقویتی

وزن متر طول  $144 \text{ Kg/m}$  (در تخمین اولیه مترمربعی  $25 \text{ Kg}$  و در متر طول تیر قاب بحساب آمد است)  $6 \times 25 = 150 \text{ K/m}$

$$G \approx (2 \times 15.66 + 2 \times 6.00) \times 144 \approx 6238 \text{ Kg}$$

وزن قاب برابر خواهد بود :

## طرح و محاسبه شماره ۲

### مشخصات قاب:

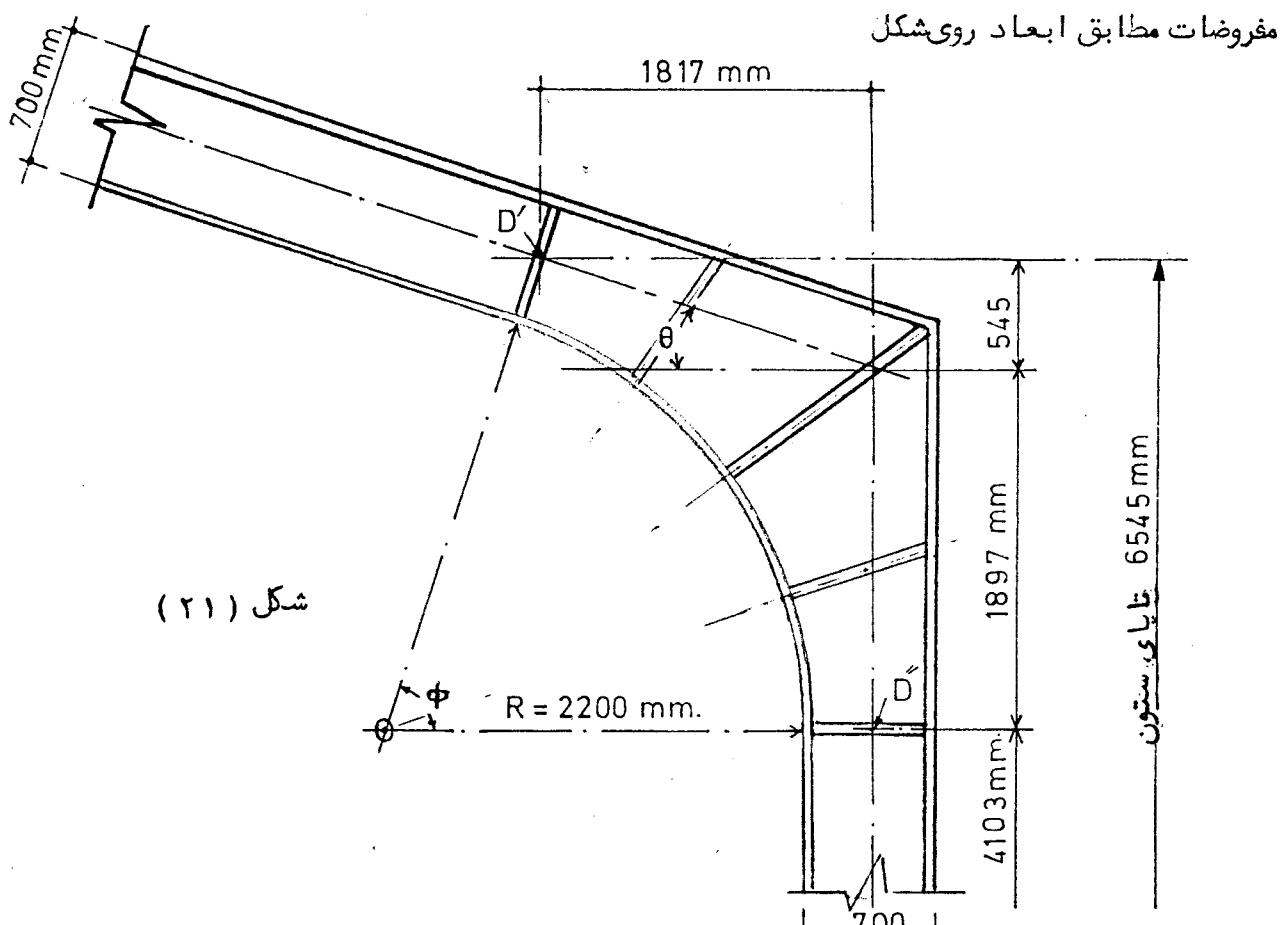
مشخصات مطابق طرح و محاسبه شماره (۱) است با این تفاوت که در زانوی قاب ما هیچه دایره‌ای شکل باشعاع  $R = 2.20^{m}$  ایجاد نمی‌شود.

### عکس العملها:

- ۱- مراجعه شود به ارقام طرح و محاسبه شماره (۱)
- ۲- حالت بارگذاری فوق العاده (که در آن اثرباد منظور است) تعیین کنند و نمایند.
- ۳- مقدار  $H_E$  را مطابق ارقامی که در بنده (۸) ذکر نمودیم افزایش میدهیم افزایش دراینمورد برابر ۵٪ خواهد بود.

$$H_E = 1.05 \times 11201 = 11761 \text{ Kg}$$

### شكل ما هیچه گوشه:



حداقل شعاع :

$$\phi = \frac{\pi}{2} - \theta = 90^\circ - (16^\circ - 42') = 73^\circ - 18'$$

طبق منحنی پیوست (۲۰)

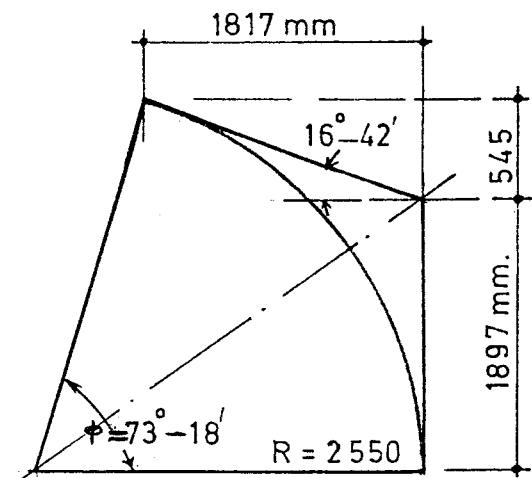
$$\left(\frac{R}{d_{\min}}\right) = 2.4$$

$$R_{\min} = 70 \times 2.4 = 168 \text{ cm}$$

و در صورتیکه ابعاد بال برابر اندازه های مثال قبل فرض شود شرط دوم تناسبات ما هیچه  
({بند ۹ - ۳}) بصورت زیرخواهد بود :

$$\frac{b^2}{2Rt} < 1$$

$$R_{\min} = \frac{28^2}{2 \times 1.8} = 218 \text{ cm}$$



شعاع ما هیچه  $R = 220 \text{ cm}$  فرض خواهد شد.

محاسبه ابعاد هندسی

$$2550 \times \tan\left(\frac{73^\circ - 18'}{2}\right) = 2550 \times 0.7440$$

$$= 1897 \text{ mm}$$

$$1897 \times \cos(16^\circ - 42') = 1897 \times 0.95782 \\ = 1817 \text{ mm}$$

$$1897 \times \sin(16^\circ - 42') = 1897 \times 0.28735 = 545 \text{ mm}$$

محاسبه تیرقا ب:

:  $D'$  لنگردر

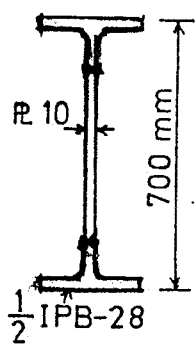
$$11761 \times 6.545 = - 76976$$

$$1260 \times \frac{(1.817)^2}{2} = - 2080$$

$$18900 \times 1.817 = + 34341 \\ - 44715 \text{ m-Kg}$$

نیروی محوری در  $D'$

$$11761 \cdot \cos \theta + (18900 - 1260 \times 1.817) \sin \theta = 11265 + 4773 = 16038 \text{ Kg}$$



قطعه IPB - 28 + ۲ مطابق نیمروز شکل مقابل راکنترل میکنیم.  
فرض شد ه تکیه گاههای جانبی در فواصل ۴۰.۵ متر قرار دارند.

$\frac{1}{2}$  IPB-28

$$\frac{KL}{r} = \frac{1 \times 450}{6.17} = 73 \quad F_a = 1059 \text{ Kg/cm}^2$$

$$\frac{I_d}{bt} = \frac{450 \times 70}{28 \times 1.8} = 625 \quad F_b = \frac{840000}{625} = 1344 \text{ Kg/cm}^2$$

$$I_{y_0} = 1.8 \times \frac{28^3}{12} = 3292 \text{ cm}^4$$

$$A_F = 28 \times 1.8 + \frac{1}{6} 66.4 \times 1 = 504 + 11.06 = 61.46 \text{ cm}^2$$

$$r_{y_0} = \sqrt{\frac{3292}{61.46}} = \sqrt{53.56} = 7.32 \text{ cm}$$

با محاسبه ای شبیه مثال قبلی برای  $F_b$

$$F_b = \left[ 1 - \frac{(450)^2}{2 \times 18020 \times 1.53} \right] \times 1400 = 1305 \text{ Kg/cm}^2$$

تعیین کنند و تنش ۱۳۴۴ Kg/cm<sup>2</sup> میباشد.

$$f_a = \frac{16038}{173} = 93 \text{ Kg/cm}^2$$

$$f_b = \frac{4471500}{4210} = 1062 \text{ Kg/cm}^2$$

$$\frac{f_a}{F_a} = \frac{93}{1059} = 0.0878 < 0.15$$

$$\frac{f_a}{F_a} + \frac{f_b}{F_b} = 0.0878 + \frac{1062}{1344} = 0.876 < 1$$

محاسبه ستون:

: لنگرد  $D''$

$$11761 \times 4.103 = 48255 \text{ m - Kg}$$

نیروی محوری در  $D''$  :

18900 Kg

فرض میشود که ستون درمیان ارتفاع مهاربندی شده است  
 $L = 3.00 \text{ m.}$

$$\frac{KL}{r} = \frac{1 \times 300}{617} = 49 \implies F_a = 1200 \text{ Kg/cm}^2$$

$$\frac{Ld}{bt} = \frac{300 \times 70}{28 \times 1.8} = 417 < 600 \Rightarrow F_b = 1400 \text{ Kg/cm}^2$$

$$f_a = \frac{18900}{173} = 110 \text{ Kg/cm}^2$$

$$f_b = \frac{4825500}{4210} = 1146 \text{ Kg/cm}^2$$

$$\frac{f_a}{F_a} = \frac{110}{1200} = 0.0916 < 0.15$$

$$\frac{f_a}{F_a} + \frac{f_b}{F_b} = 0.0916 + \frac{1146}{1400} = 0.0916 + 0.878 = 0.91 < 1 \quad \text{OK}$$

### محاسبه ما هیچه زانوئی :

تنش برشی در جان ما هیچه مقدار کوچکی است و ورق جان ما هیچه با رضامت ۱۰ میلیمتر یعنی برابر رضامت جان تیرد رنظرگرفته می شود که برای این تنش کافی خواهد بود فقط از نظرنا پایداری و کمانش باید احتیاط شود .

بال داخلى ما هیچه بصورت یک ورق خم شده با ابعادی در حدود  $R=280 \text{ mm}$   $18 \text{ mm}$  تیروپایه در نظرگرفته می شود یعنی یک ورق دراین صورت شرط دوم تناسبات ما هیچه ارجاعه شود به بند ۹-۲) علی شد هاست

$$\frac{b^2}{2Rt} = \frac{(28)^2}{2220 \times 1.8} = 0.99 < 1$$

پنج ردیف قطعه تقویتی یکی در نیمسازگوش و د عدد در محاذات نقاط تفاس دایره با تیروپایه و د عدد درین آنها اقرار مید هیم که فاصله آنها روی قوس ما هیچه تقریبا " مساوی  $\frac{1}{4} \times \frac{(73^\circ - 18^\circ)}{180^\circ} \times \pi \times 220 = 70.3$ " برابر پهنای بال خواهد بود آنالیز دقیق قاب با توجه با شرمن اینرسی متغیر در گوشش :

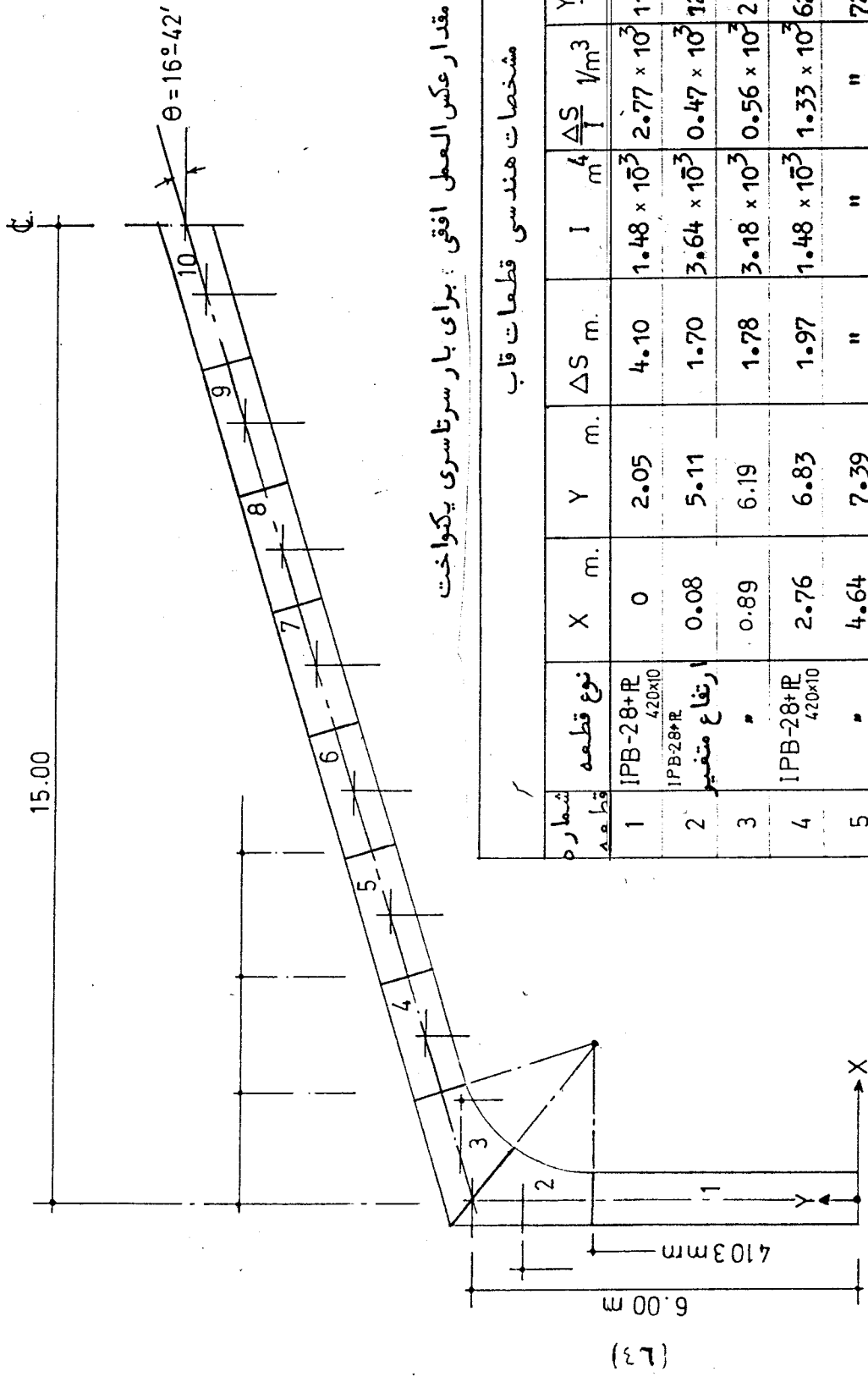
مقدار عکس العمل افقی  $H$  را برای حالت بارگذاری عادی باروش ذکر شده در صفحات ۱۳۹۱۲ محاسبه مینمائیم .

از آنجاییکه لنگر حاصل از بارها قائم نسبت به محور قاب متقابن است جمع مقادیر  $\frac{Y^2 \cdot \Delta s}{I}$  و  $\frac{M_s \cdot Y_{\Delta s}}{I}$  را برای نصف قاب محاسبه مینمائیم .

شکل وجد ول صفحه (۴۶) این محاسبه را نشان مید هد .

نتیجه بدست آمد ه خیلی نزدیک به محاسبه تقریبی گذشته است

15.00



جدول تعیین مقدار عکس العمل افقی برای بار سرتاسری یکنواخت

با مردمه + با رف

مشخصات هندسی قطعات ثابت

شماره قطعه	نوع قطعه	X m.	Y m.	$\Delta S$ m.	I	$\frac{\Delta S}{I}$	$\frac{Y^2 \Delta S}{I}$ 1/m <sup>3</sup>	$M_S$ t-m	$\frac{M_S Y \Delta S}{I}$ t/m <sup>4</sup>
1	IPB-28+P 420x10	0	2.05	4.10	$1.48 \times 10^3$	$2.77 \times 10^3$	$11.64 \times 10^3$	0	0
2	IPB-28+P ارتفاع متغیر	0.08	5.11	1.70	$3.64 \times 10^3$	$0.47 \times 10^3$	$12.27 \times 10^3$	1.50	$0.34 \times 10^4$
3	"	0.89	6.19	1.78	$3.18 \times 10^3$	$0.56 \times 10^3$	$21.46 \times 10^3$	16.32	$5.66 \times 10^4$
4	IPB-28+P 420x10	2.76	6.83	1.97	$1.48 \times 10^3$	$1.33 \times 10^3$	$62.04 \times 10^3$	47.37	$43.03 \times 10^4$
5	"	4.64	7.39	"	"	"	$72.63 \times 10^3$	74.13	$72.86 \times 10^4$
6	"	6.53	7.96	"	"	"	$84.27 \times 10^3$	96.55	$102.22 \times 10^4$
7	"	8.41	8.52	"	"	"	$96.54 \times 10^3$	114.39	$129.62 \times 10^4$
8	"	10.29	9.09	"	"	"	$109.90 \times 10^3$	127.77	$154.47 \times 10^4$
9	"	12.18	9.65	"	"	"	$123.85 \times 10^3$	136.74	$175.50 \times 10^4$
10	"	14.06	10.22	"	"	"	$138.92 \times 10^3$	141.20	$191.92 \times 10^4$

$$H_E = \frac{875.62}{73.35} = 11.937 \text{ T.}$$

جمع:  $733.52 \times 10^3$   $875.62 \times 10^4$

### طرح و محاسبه شماره (۲)

مشخصات مانند طرح و محاسبه شماره (۱) است با این تفاوت که درگوشش، ماهیچه خطی مطابق شکل (۲۲) در نظر گرفته میشود.

$$\frac{h}{L} = \frac{6}{30} = \frac{1}{5}$$

دراین قاب:

$$\frac{f}{h} = \frac{4.5}{6} = 0.75$$

از جدول پیوست (۴) دیده میشود که نسبت لنگرهای وسط دهانه به گوشه باید در

حدود ۲۰٪ باشد.

$$\frac{M_C}{M_D} \simeq 0.25$$

یعنی لنگر مثبت در حدود  $\frac{1}{4}$  لنگرگوش میباشد.

بنابراین میتوان تیرقاب را برای لنگری در حدود  $\frac{1}{4} M_D$  طرح نمود و ما هیچه خطی را تامقطعی که لنگر آن برابر لنگر وسط دهانه است ادامه داد.

به این طریق صرفه جویی قابل ملاحظه ای در مصالح قاب نتیجه میشود.

### محاسبه عکس العملها

$$K = \frac{1}{2} \times \frac{6}{15.66} = 0.19 \quad \text{با فرض}$$

از نمودار شماره (۱) در پیوست (۶) بدست میآید:

$$c_1 = 0.061$$

$$H_E = 0.061 \times 1260 \times \frac{30^2}{6} = 11529 \text{ Kg}$$

طبق مطالعه صفحه (۱۱) ۰٪ براین مقدار افزوده میشود.

$$5\% \times 11529 = H_E = \frac{576}{12105} \text{ Kg}$$

از نمودار شماره (۵) پیوست (۳)

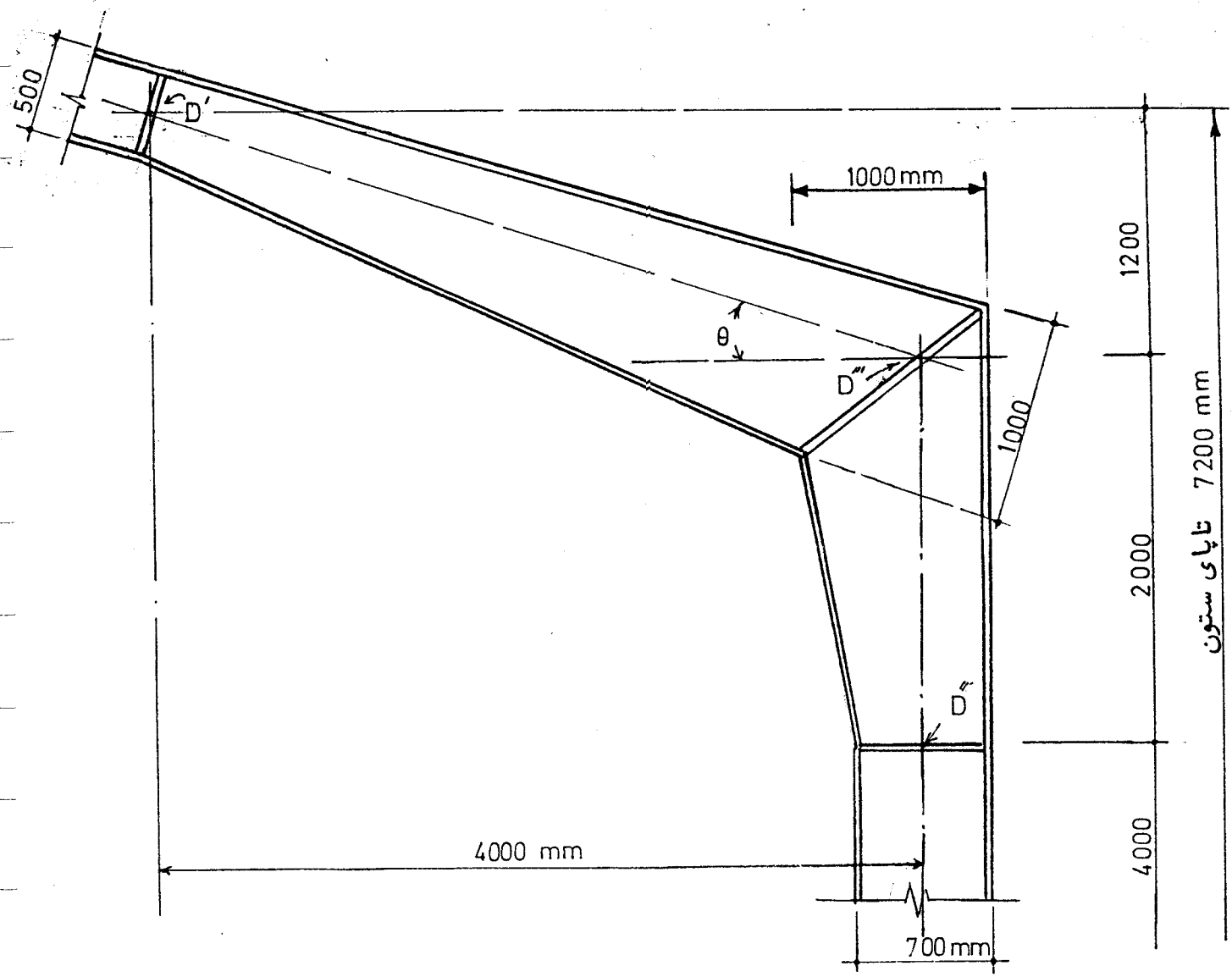
$$c_6 = 0.52$$

$$H_E = 0.52 \times 563 \times 6 = 1757 \text{ Kg}$$

$$H_E = 13862 \text{ Kg} \quad \text{جمع}$$

عکس العملهای قائم مانند مسئله شماره ۱ میباشد.

شکل زانوئی



شکل (۲۲)

محاسبه تیزقا ب

بدون اثرباد

لنگدر D

$$13862 \times 7.20 = - 99807$$

$$12105 \times 7.20 = - 87156 \text{ m-Kg}$$

$$1260 \times \frac{(4)^2}{2} = - 10080$$

$$1260 \times \frac{(4)^2}{2} = - 10080 \text{ "}$$

$$19935 \times 4 = + \frac{79740}{- 30147 \text{ m-Kg}}$$

$$18900 \times 4 = + \frac{75600}{- 21636 \text{ m-Kg}} \text{ "}$$

دیده میشود که بارگذاری فوق العاده (با اثربار) حالت بحرانی است.

: نیروی محوری در نقطه D

$$13862 \times \cos \theta + (19935 - 4 \times 1260) \sin \theta = 13277 + 4280 = 17557 \text{ Kg}$$

با ارتفاع ۵ سانتیمتر را امتحان میکنیم با فرض فاصله  
مهاربندی های عرضی برابر ۰/۴ متر

قطع IPB - 28  
+ IP 220

$$\frac{KL}{r} = \frac{1 \times 4.50}{6.56} = 69 \quad F_a = 1084 \times 1.33 = 1441 \text{ Kg/cm}^2$$

$$\frac{Ld}{bt} = \frac{450 \times 50}{28 \times 1.8} = 447 < 600 \quad F_b = 1400 \times 1.33 = 1862 \text{ Kg/cm}^2$$

$$f_a = \frac{17557}{153} = 115 \text{ Kg/cm}^2$$

$$f_b = \frac{-3014700}{2780} = 1085 \text{ "}$$

$$\frac{f_a}{F_a} = \frac{115}{1441} = 0.08 < 0.15$$

$$\frac{f_a}{F_a} + \frac{f_b}{F_b} = 0.08 + \frac{1085}{1862} = 0.080 + 0.583 = 0.663 < 1 \quad \text{OK}$$

حالت بارگذاری عادی (بدون اثرباد) تعیین گنده است.

لنگردر :  $D^4$

$$12105 \times 4.0 = 48420 \text{ m-Kg}$$

$$18900 \text{ Kg}$$

نیروی محوری :

فرض میشود مهارندی در وسط ارتفاع پایه است:

$$\frac{KL}{r} = \frac{1 \times 300}{6.17} = 49 \Rightarrow F_a = 1200 \text{ Kg/cm}^2$$

$$\frac{Ld}{bt} = \frac{300 \times 70}{28 \times 1.8} = 417 < 600 \Rightarrow F_b = 1400 \text{ Kg/cm}^2$$

$$f_a = \frac{18900}{173} = 110 \text{ Kg/cm}^2$$

$$f_b = \frac{48420}{4210} = 1146 \quad //$$

$$\frac{f_a}{F_a} = \frac{110}{1200} = 0.0916 < 0.15$$

$$\frac{f_a}{F_a} + \frac{f_b}{F_b} = 0.0916 + \frac{1146}{1400} = 0.91 < 1 \quad \text{OK}$$

$$\frac{I_2}{I_1} = \frac{69620}{147400} = 0.472 \quad : \quad \frac{I_2}{I_1} \quad \text{تصحیح برای}$$

(٥٠)

که در حدود  $0.5 = \frac{I_2}{I_1}$  است که در این محاسبه تقریبی، فرض گردید.

لنگرحداکثر در داخل دهانه :

با اشرباد

$$13862 \times 10.5 = - 145551$$

$$1260 \times \frac{15^2}{2} = - 141750$$

$$19935 \times 15 = \frac{+ 299025}{+ 11724 \text{ m-Kg}}$$

بدون اشرباد

$$1260 \times \frac{30^2}{8} = + 141750$$

$$12105 \times 10.5 = - \frac{127102}{+ 14648 \text{ m-Kg}}$$

که تعیین کنند و نمایا شد و همان مقطع کافی میباشد .

محاسبه ماهیچه خطی

لنگر در (") کوچکتر است از مقدار

ارتفاع معادل  $d = 100 \text{ cm}$

$I = 330300 \text{ cm}^4$

$w_x = 6610 \text{ cm}^3$

$$f_b = \frac{72630.00}{6610} = 1099 \text{ Kg/cm}^2$$

$$f_a = \frac{18900}{203} = 94 \quad //$$

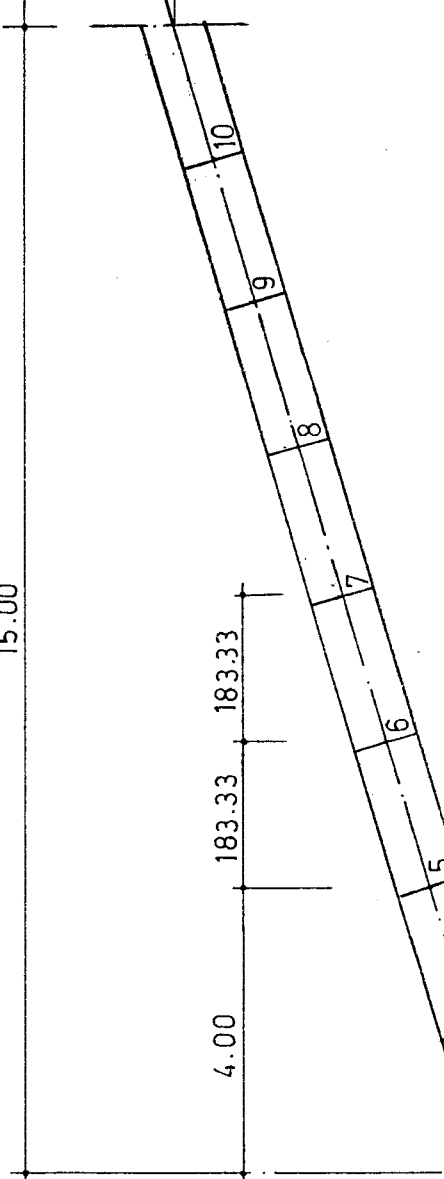
یاتوجه به آنکه این نقطه محل مهاربندی است میتوان با اطمینان نوشت نم

$$1099 + 94 < 1400 \text{ Kg / cm}^2 \text{ O.K.}$$

آنالیز دقیق لگر با روش تقسیم قاب به قطعات (شکل و جدول صفحات (۵۲) و (۵۳) برای دو حالت بارگذاری عادی و فوق العاده انجام شده که مقدار  $\text{H}$  را برابر  $12537 \text{ Kg}$  بجای  $12105 \text{ Kg}$  نشان میدهد که خطای در حدود  $3/0$  درصد و در حالت بارگذاری فوق العاده  $14,214$  بجای  $13,862$  که خطای در حدود  $3/0$  درصد میباشد هرچند خطای فوق العاده کوچک است ولی برای دقت بیشتر میتوان محاسبات را با ارقام اخیر تکرار نمود.

15.00

ج.



جدول تعیین مقدار عکس العمل افقی برای بار سرتاسری یکنواخت

## مشخصات هندسی قطعات قاب

شماره قطعه	نوع قطعه	X m.	Y m.	$\Delta S$ m.	$1^4 m$	$\frac{\Delta S}{1} / m^3$	$\frac{Y^2 \Delta S}{1} / m^3$	$M_s t - m$	$\frac{M_s Y \Delta S}{1} / m^4$
1	IPB-28+R <sub>220x10</sub>	0	2.00	4.00	$1.48 \times 10^3$	$2.07 \times 10^3$	$10.8 \times 10^3$	0.00	0.00
2	IPB-28+R <sub>220x10</sub> ارتفاع متغیر	0.06	4.91	1.77	$2.9 \times 10^3$	$0.61 \times 10^3$	$14.71 \times 10^3$	1.13	$0.34 \times 10^4$
3	"	1.12	6.34	2.09	$3.55 \times 10^3$	$0.59 \times 10^3$	$23.71 \times 10^3$	20.38	$7.57 \times 10^4$
4	"	3.04	6.91	2.09	$1.21 \times 10^3$	$1.73 \times 10^3$	$82.60 \times 10^3$	51.63	$61.72 \times 10^4$
5	IPB-28+R <sub>220x10</sub>	4.92	7.48	1.91	$0.70 \times 10^3$	$2.73 \times 10^3$	$152.74 \times 10^3$	77.74	$158.75 \times 10^4$
6	"	6.75	8.03	"	"	"	$176.0 \times 10^3$	98.87	$216.74 \times 10^4$
7	"	8.58	8.58	"	"	"	$200.97 \times 10^3$	115.78	$271.2 \times 10^4$
8	"	10.40	9.12	"	"	"	$227.07 \times 10^3$	128.42	$319.73 \times 10^4$
9	"	12.25	9.68	"	"	"	$255.81 \times 10^3$	137.06	$362.2 \times 10^4$
10	"	14.07	10.22	"	"	"	$285.14 \times 10^3$	141.21	$394. \times 10^4$
جمع									
$1429.55 \times 10^3$									
$1792.26 \times 10^4$									
$1429.55 \times 10^4 = 12.537$									

تن

$$H_E = \frac{1792.26 \times 10^4}{1429.55 \times 10^3} = 12.537$$

ج

جدول تعيين مقادير عكس العمليات المبني على باوسوناسوري يكتواحت ببارجاتين (ياد)

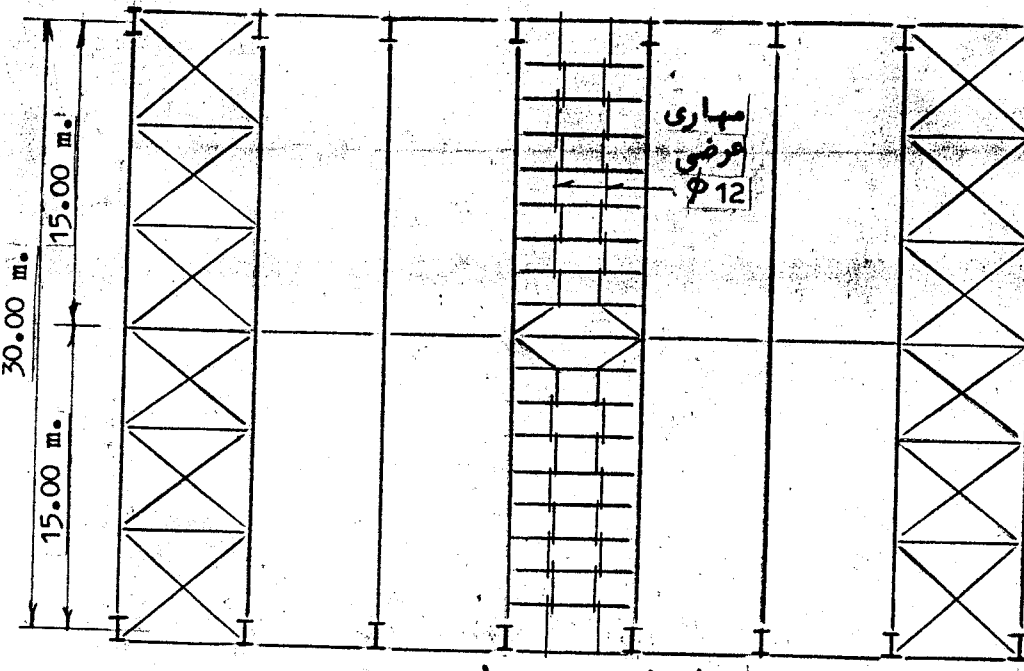
ارقام معمولية قطعات										
شماره قطعه	نوع قطعه	X m	Y m	ΔS m	I m <sup>4</sup>	$\frac{\Delta S}{I}$ 1/m <sup>3</sup>	$\frac{Y \cdot \Delta S}{I}$ 1/m	M <sub>s</sub> t.m	$\frac{M_s \cdot Y \cdot \Delta S}{I}$ t/m	
1	IPB-28+PL 420x10	0.00	2.00	4.00	$1.48 \times 10^3$	$2.70 \times 10^3$	$10.80 \times 10^3$	-1.13	$-6.1 \times 10^4$	
2	IPB-28+PL 10 ارتفاع متغير	.06	4.91	1.77	$2.90 \times 10^3$	$0.61 \times 10^3$	$14.71 \times 10^3$	-5.72	$-1.71 \times 10^4$	
3	"	1.12	6.34	2.09	$3.55 \times 10^3$	$0.59 \times 10^3$	$23.72 \times 10^3$	+7.90	$+2.96 \times 10^4$	
4	"	3.04	6.91	2.09	$1.21 \times 10^3$	$1.73 \times 10^3$	$82.60 \times 10^3$	+35.05	$+41.90 \times 10^4$	
5	IPB-28+RL 220x10	4.92	7.48	1.91	$.70 \times 10^3$	$2.73 \times 10^3$	$152.74 \times 10^3$	+56.90	$+116.19 \times 10^4$	
6	"	6.75	8.03	1.91	"	"	$176.03 \times 10^3$	+73.73	$+150.56 \times 10^4$	
7	"	8.58	8.58	1.91	"	"	$200.97 \times 10^3$	+86.18	$+201.86 \times 10^4$	
8	"	10.24	9.13	1.91	"	"	$227.56 \times 10^3$	+94.29	$+235.02 \times 10^4$	
9	"	12.25	9.68	1.91	"	"	$255.81 \times 10^3$	+97.93	$+258.79 \times 10^4$	
10	"	14.08	10.23	1.91	"	"	$285.70 \times 10^3$	+97.18	$+271.40 \times 10^4$	
10'	"	15.92	10.23	1.91	"	"	$285.70 \times 10^3$	+95.30	$+266.15 \times 10^4$	
9'	"	17.75	9.68	1.91	"	"	$255.81 \times 10^3$	+92.43	$+244.26 \times 10^4$	
8'	"	19.58	9.13	1.91	"	"	$227.56 \times 10^3$	+85.33	$+212.68 \times 10^4$	
7'	"	21.42	8.58	1.91	"	"	$200.97 \times 10^3$	+73.93	$+173.17 \times 10^4$	
6'	"	23.25	8.03	1.91	"	"	$176.03 \times 10^3$	+58.37	$+127.96 \times 10^4$	
5'	"	25.08	7.48	1.91	"	"	$152.74 \times 10^3$	+38.60	$+78.82 \times 10^4$	
4'	IPB-28+RL 10 ارتفاع متغير	26.96	6.91	2.09	$1.21 \times 10^3$	$1.73 \times 10^3$	$82.60 \times 10^3$	+15.92	$+16.64 \times 10^4$	
3'	"	28.88	6.34	2.09	$3.55 \times 10^3$	$0.59 \times 10^3$	$23.72 \times 10^3$	-15.96	$-5.97 \times 10^4$	
2'	"	29.94	4.91	1.77	$2.90 \times 10^3$	$0.61 \times 10^3$	$14.71 \times 10^3$	-27.85	$-8.34 \times 10^4$	
1'	IPB-28+E 420x10	30.00	2.00	4.00	$1.48 \times 10^3$	$2.70 \times 10^3$	$10.80 \times 10^3$	-11.84	$-6.39 \times 10^4$	

$$\sum \rightarrow 2861.28 \times 10^3 \quad 2375.34 \times 10^4$$

$$H_A = \frac{2375.34 \times 10^4}{2861.28 \times 10^3} = 8.302^T$$

$$H_E = .563 \times 10.5 + 8.302 = 14.214^T$$

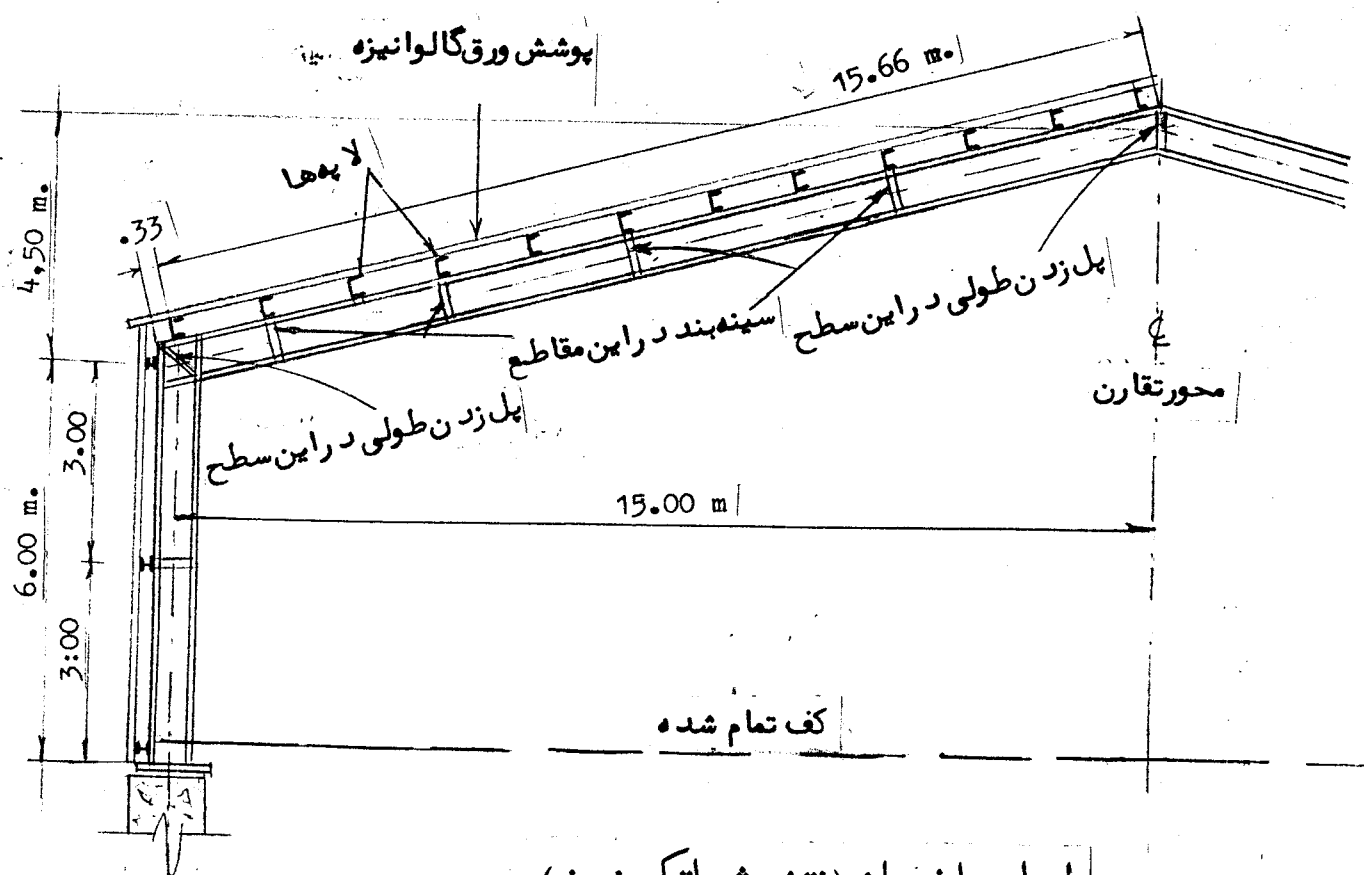
$$7 \times 6.00 = 42.00 \text{ m}$$



ø32 mm.

باد بندی طولی در دهانه های آخر

### پلان تهریزی سقف



ابعاد ساختمان (نقشه شماتیک نمونه)



### (۱) آنالیز و طرح و محاسبه پلاستیک

روش طرح و محاسبه پلاستیک بر مبنای بارهای حدی و لنگرخمشی حدی انجام میگیرد . بارهای حدی از ضرب کردن بارهای سرویس در ضریب بارید است می‌آید .

### (۲) ضرائب بار :

ضرائب بار در محاسبه بشرح زیر رنظر گرفته می‌شود .

برای بارگذاری‌های عادی ۱/۸۵

برای بارگذاری‌های فوق العاده ۱/۴۰

### ۱۷ آنالیز پلاستیک :

لنگرهای در قالب حاصل از بارهای حدی ، توسط یکی از روش‌های آنالیز پلاستیک محاسبه می‌گردد .

روش‌های آنالیز پلاستیک با توجه به سه اصل زیر گرفته می‌شوند :

۱- سیستم با در نظر داشتن بارهای حدی و عکس العملها مربوطه در حال تعادل است .

۲- سیستم در حد خرابی و تبدیل به مکانیزم می‌باشد .

۳- در هیچ نقطه‌ای از سیستم لنگر وجود آمد و از بارگذاری ، از لنگر پلاستیک تجاوز نمینماید .

### ۱۸- روش مکانیزم با استفاده از کار مجازی

در حالت کلی برای آنالیز قابهای فلزی ، این روش را " ساده‌ای بدست میدهد . فرض می‌شود که سیستم به حالت مکانیزم رسیده است ، اگر در این لحظه تغییر مکان مجازی کوچکی په سیستم داده شود ، طبق روش کار مجازی ، کارهای داخلی که توسط مفصل‌های پلاستیک <sup>(۵)</sup> انجام خواهد شد برابر خواهد بود با کارهایی که توسط بارهای خارجی در چنین تغییر مکانی انجام می‌گیرد .

۱ - Plastic Analysis and Design ۲ - Load Factors

۳ - Mechanism of Failure ۴ - Virtual Work Method ۵ - Plastic Hinges

کارهای داخلی در مفصل‌های پلاستیک عبارتست از جمع حاصلضرب های لنگر پلاستیک در هر مفصل در چرخش زاویه‌ای نظیر آن در مفصل کارهای نیروهای خارجی عبارت خواهد بود از جمع حاصلضرب های هر نیرو در تغییر مکان نقطه اثر آن در امتداد نیرو.

مثالاً، با توجه به شکل نمونه شماره (۲۳) دیده می‌شود که مکانیزم نشان داده شده با خطوط نقطه چین از سه قطعه مرتبط (۱) تشکیل می‌شود.

۱- ستون AB ۲- قطعه E ۳- قطعه B

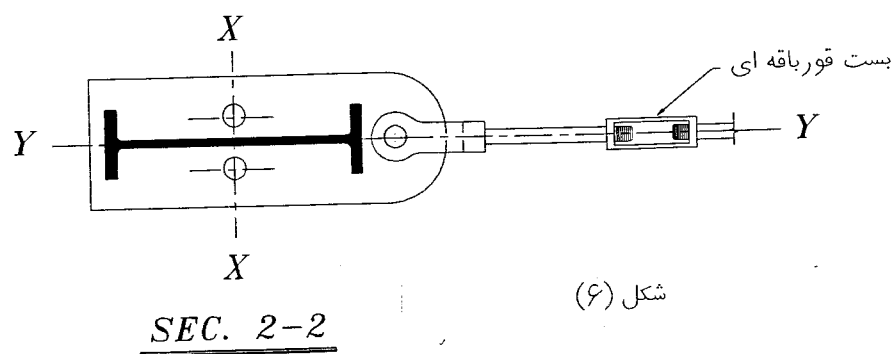
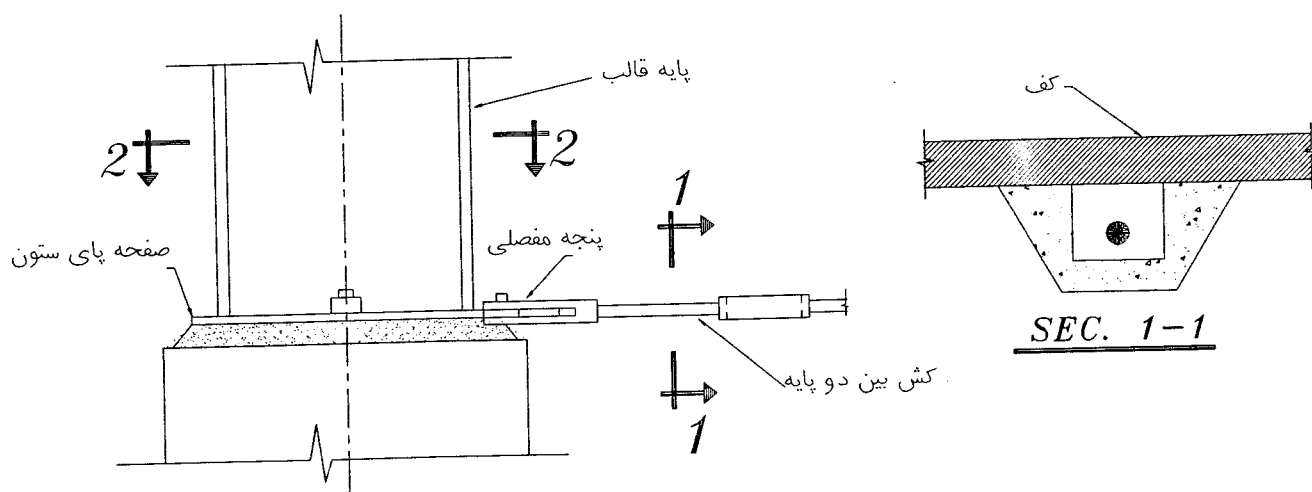
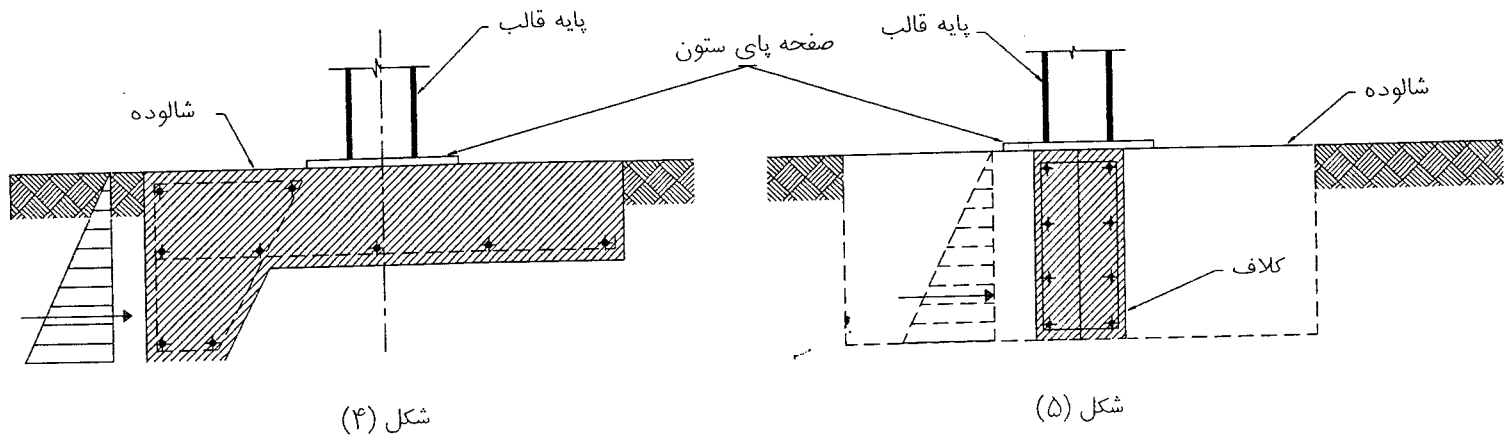
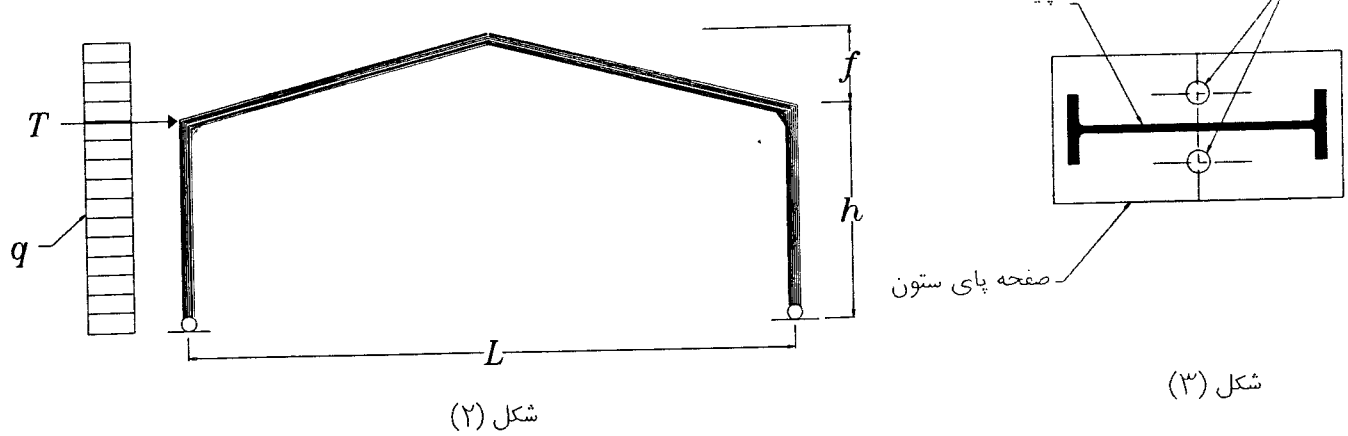
قطعات AB و E (۳) حول پای ستونهای دوران مینمایند. تغییر مکان قطعه B (۳) بطرف چپ و عمدلاً نتیجه دوران حول نقطه‌ای در خارج از قاب می‌باشد.

(۱۷-۱-۱)- مرکز آنی دوران

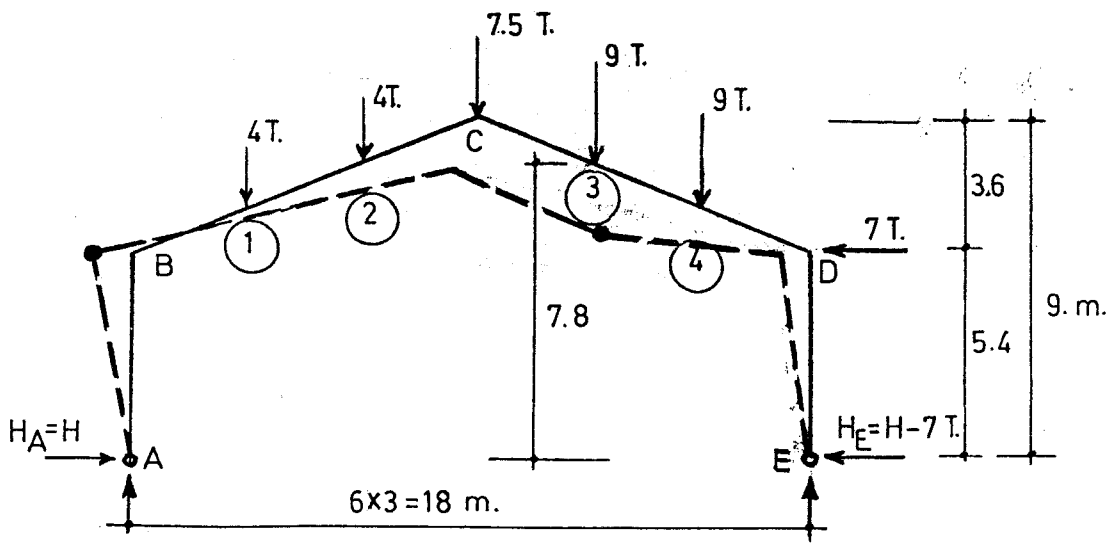
برای آسان کردن محاسبات مربوط به چرخش زاویه‌ای مجازی در مکانیزم (که برای هر مفصل پلاستیک باید انجام گیرد) باید اول مرکز دوران قطعات مرتبط تعیین شود.

در شکل (۲۴) قاب مورد بحث و مکانیزم مربوطه نشان داده شده است. اگر خط رسم شود که از نقاط E و (۳) عبور کند و ادامه داده شود تا امتداد AB را تلقی نماید نقطه O (۲) یعنی مرکز دوران B (۳) بدست خواهد آمد. نقطه O بنام مرکز آنی دوران نامیده می‌شود.

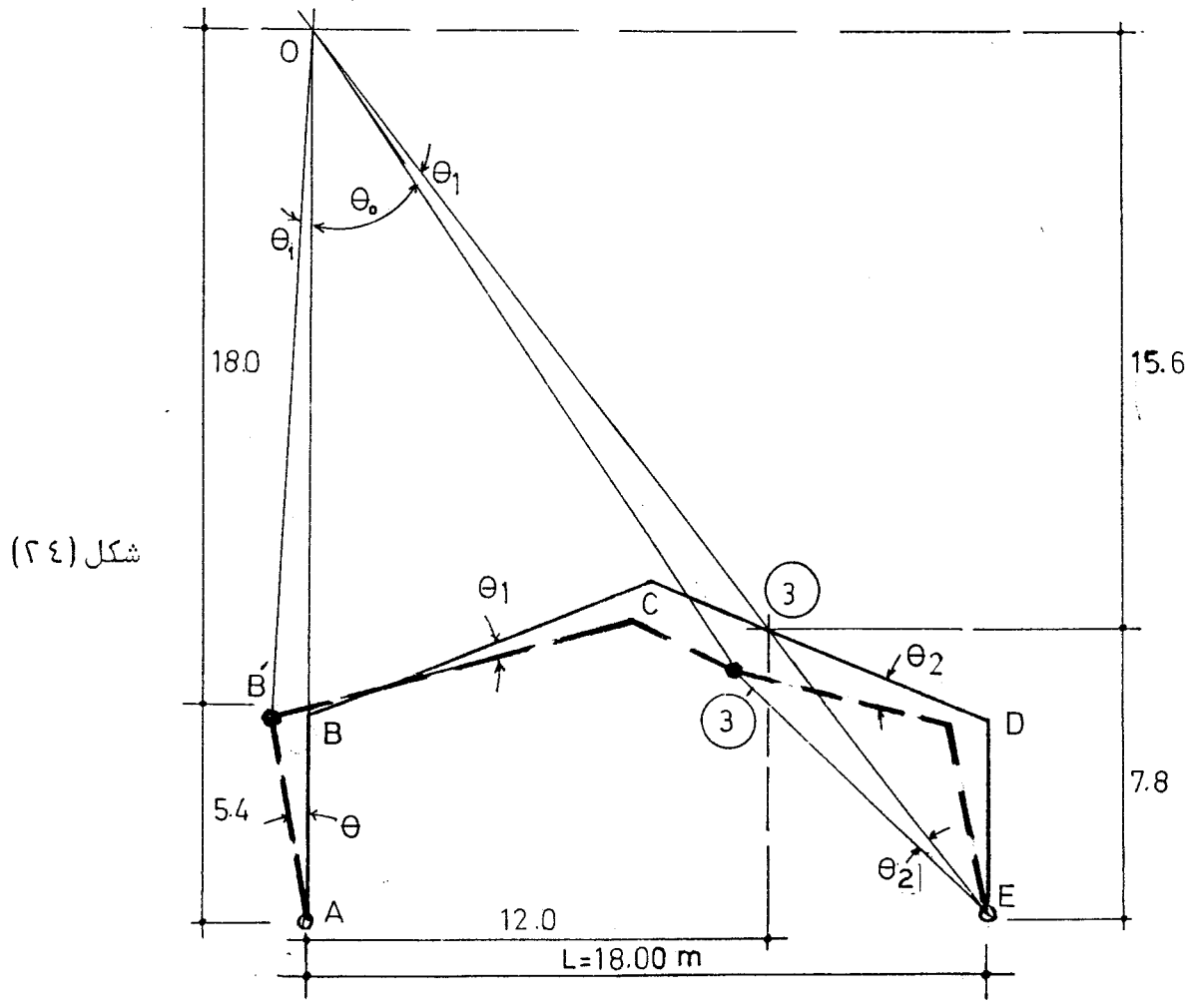
از آنجاییکه حرکات مربوط به مکانیزم بین نهایت کوچک است خطوط A' B' و E' (۳) معادل خطوط مانند A B و E (۳) می‌باشند که از میان مفصل‌های پلاستیک در سیستم بدون تغییر شکل عبور داده شوند. تغییر مکان فوق العاده کوچک BB' را می‌توان بصورت یک قطعه خط مستقیم و عمود بر امتداد AB فرض نمود که ماس برد و ایری مرکز A و O و به شعاع های AB و OB می‌باشد. همچنین تغییر مکان (۳) (۳) نیز دارای دونقطه E و O بصورت مرکز دوران می‌باشد. بنابراین با توجه به تشابه مثلثات می‌توان نوشت:







شكل (٢٣)



شكل (٢٤)

$$\frac{OA}{L} = \frac{7.8}{L - 12}$$

$$L = 18 \text{ m.}$$

$$OA = 23.4 \text{ m.}$$

$$OB = 23.4 - 5.4 = 18 \text{ m.}$$

وازانجا

$$\theta_1 = \frac{5.4}{18} \cdot \theta = 0.3\theta$$

وازانجائيكه

$$OA = 7.8 = 15.6$$

پس :

$$\theta_2 = \frac{15.6}{7.8} \cdot \theta_1 = 0.6\theta_1$$

دوران کلی در  $B$  برابر است با :

$$\theta + \theta_1 = 1.3\theta$$

دوران کلی در  $(3)$  :

$$\theta_1 + \theta_2 = 0.9\theta$$

کار داخلی کلی برابر است با :

$$M_p (1.3\theta + 0.9\theta) = 2.2 M_p \theta$$

کارکلی خارجی در جد و لزیم حسابه شده است :

نقطه اثربار	تغییر مکان	بار بر حسب	کار خارجی بر حسب تن متر
	به متر	تن	
①	$3\theta_1 = 0.9\theta$	4	$3.6\theta$
②	$6\theta_1 = 1.8\theta$	4	$7.2\theta$
c	$9\theta_1 = 2.7\theta$	7.5	$20.25\theta$
③	$12\theta_1 = 3.6\theta$	9	$32.4\theta$
④	$3\theta_2 = 1.8\theta$	9	$16.2\theta$
D	$5.4\theta_2 = 3.24\theta$	7	$22.68\theta$
			$\underline{102.33\theta}$

با مساوی قراردادن کارهای داخلی و خارجی خواهیم داشت :

$$2.2 M_p = 108.33$$

$$M_p = 46.51 \text{ T.m.}$$

برای هر حالت بارگذاری میتوان مکانیزم های مختلف را بعنوان مکانیزم خرابی احتمالی در نظر گرفت و بادادن تغییر مکان مجازی، کارهای خارجی و داخلی را محاسبه کرد و بالاخره لنگر پلاستیک ( $M_p$ ) مربوطه را نتیجه گرفت. ازین این مکانیزم های احتمالی، مکانیزم واقعی آن خواهد بود که زودتر از دیگران یعنی در کوچکترین مقدار بارحدی بوجود آید.

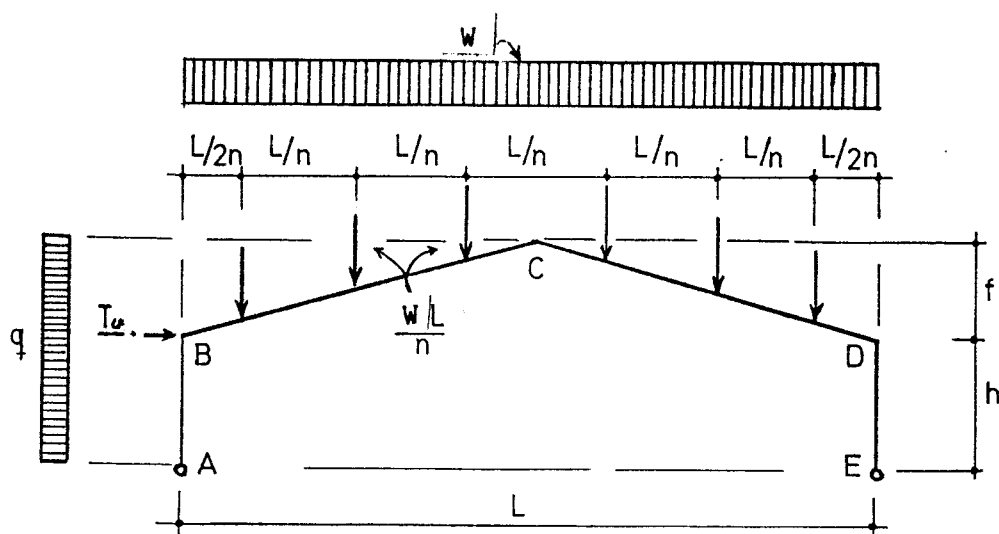
در حل مسائلی که در آنها باره موарگسترد وارد میشود، معمولاً "آسانتر است که باره موارگسترد و رابات عددی بارهای منفرد همسنگ آنها جانشین نمود. با این عمل، محل تشکیل مفصلهای پلاستیک احتمالی کم و بیش معلوم و منحصر میباشد به محل تاثیر بارهای منفرد و عکس العملهای مربوطه. در مورد بارگسترد و قائم، خوبست که در بارگذاری معادل، بارگسترد را حداقل به ۶ عدد بار منفرد در طول دهای قاب تقسیم نمود. بدین ترتیب تقریب در نتیجه محاسبه بسیار ناچیز خواهد بود.

مطابق شکل (۲۵) اگر  $n$  تعداد بارهای منفرد جانشین بازگسترد ه باشد ، باز منفرد اول و آخر رفاقت  $\frac{1}{2n}$  ازیایه ها و فواصل میانی بارها برابر  $\frac{1}{n}$  خواهد بود و هر بار منفرد به مقدار  $\frac{W_1}{n}$  در نظر گرفته میشود . همچنین در صورتیکه بارها قائمی حاصل از اثر باد با یک بار منفرد افقی (T) در گوشه تیروپایه قاب جانشین شود ، آنالیز پلاستیک ساد ه تر خواهد گردید . مقدار این بار مطابق رابطه (۱) در نظر گرفته میشود .

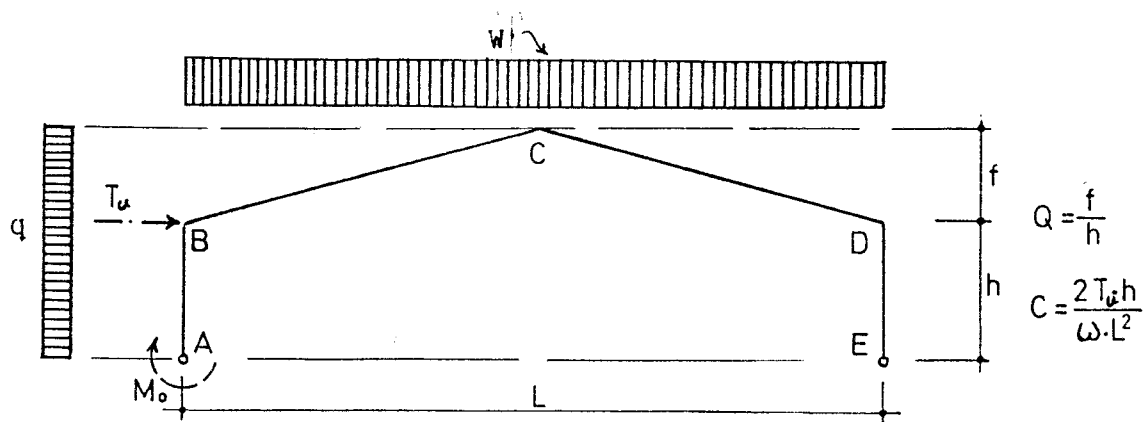
## ۱۷- روابط محاسباتی

حل مسئله قابهای تحت اثر بار قائم گسترد ه - در صورتیکه نخواهیم بازگسترد ه را به بارهای منفرد معادل تبدیل نمائیم - منجر به تعیین دو مجھول میگردد یکی لنگر پلاستیک ( $M_p$ ) مربوط به مکانیزم خرابی و دیگری محل مفصلهای پلاستیک در روی تیرقا ب برای بوجود آورد ن لنگر پلاستیک مذکور .

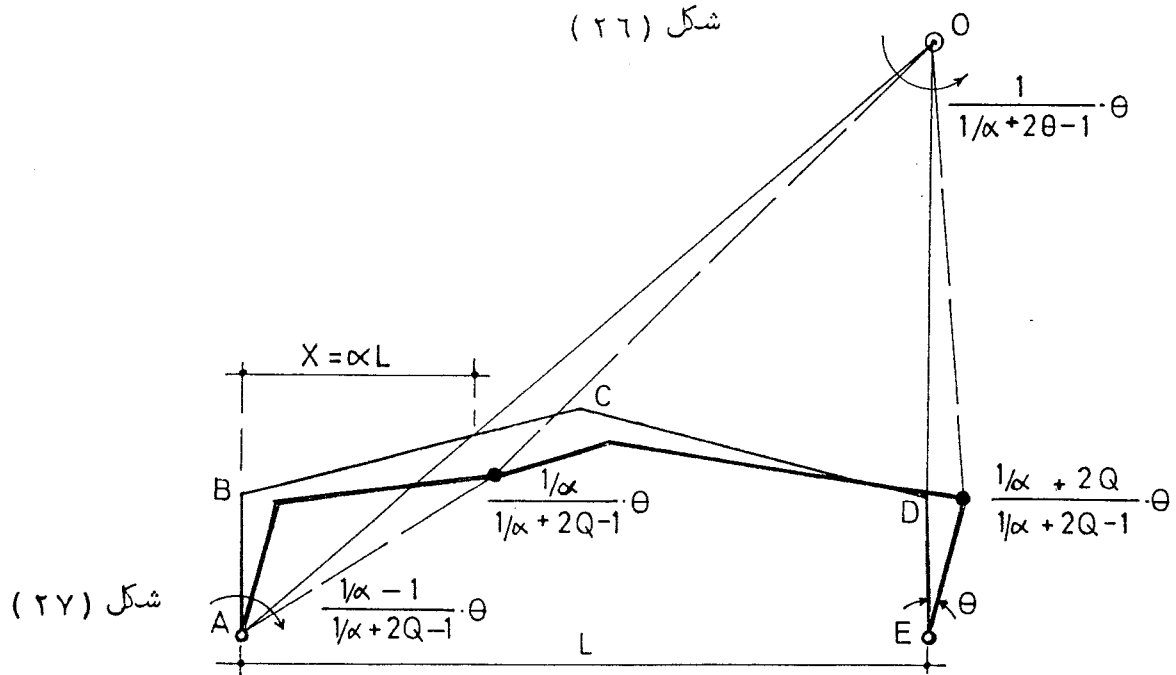
در صورتیکه فاصله این نوع مفصلهای پلاستیک ازیایه نزدیک خود برابر  $L$  درنظر گرفته شود میتوان دوران مجازی در مفصلهای پلاستیک را بحسب ابعاد قاب و پارامتر  $\alpha$  محاسبه نمود . با برابر قراردادن مقادیر کارهای داخلی و خارجی میتوان رابطه ای برای ( $M_p$ ) برای هر مکانیزم دلخواه و بازاء مقدار  $\alpha$  و بارهای حدی و شکل هندسی قاب بدست آورد . با محاسبه مشتق تابع  $M_p$  بحسب متغیر  $\alpha$  و قراردادن این مشتق برابر صفر ، مقدار  $\alpha$  نظیر بزرگترین مقدار  $M_p$  بدست میآید . با بردن این مقدار  $\alpha$  در رابطه  $M_p$  جواب مسئله حاصل میشود .



شكل (٢٥)



شكل (٢٦)



شكل (٢٧)

شکل (۲۶) یک قاب شیبدار را با برگسترد و قائم واقعی نشان میدهد، برای سادگی محاسبات، بارافقی گسترد و، با بارمنفردی درگوشه مطابق رابطه (۱) جانشین میشود.

$$T = q \cdot \frac{(h+f)^2}{2h}$$

$$\frac{f}{h} = Q$$

$$(13) \quad T = q \cdot \frac{(1+Q)^2 h}{2}$$

برای ساده نمودن روابط، ضریب بی بعد  $C$  بشرح زیروارد محاسبه میشود:  
فرض گرد که لنگروواژگونی (۱۱) بارافقی نسبت به  $A$ ،  $C$  برابر لنگروواژگونی بارقائم نسبت به همین نقطه است، بنابراین:

$$M_o = T_u \cdot h = \frac{CWL^2}{2}$$

$$(14) \quad C = \frac{2T_u h}{WL^2}$$

$$W_u = WL \quad \text{بافرض}$$

$$(10) \quad C = \frac{2T_u h}{W_u \cdot L} \quad \text{داریم}$$

باد رنظرداشتن مکانیزم شکل (۲۷)\* و با بکاربردن مرکز آنی دوران و محاسبه دوران در مفصلهای پلاستیک واستفاده از روشن کارمجازی، لنگر پلاستیک  $M_p$  بر حسب  $W_u$  و  $L$  و  $Q$  و  $C$  و  $\alpha$  بشرح زیربندست میآید:

### 1— Overturning Moment

\* البته مکانیزمهای احتمالی دیگری هم وجود دارند ولی در مسیاری از حالات عملی، مکانیزم نشان داده شده در شکل (۲۷) تعیین کنند و خواهد بود.

$$(17) \quad M_p = \frac{WL^2}{4} \left[ \sqrt{\frac{(1-\alpha)(C+\alpha)}{(1+Q)(1-QC)}} \right]$$

$$(18) \quad \alpha = \frac{1}{Q} \left[ \sqrt{(1+Q)(1-QC)} - 1 \right] \quad \leftarrow Q > 0 \quad \text{در صورت} \quad \text{که در این رابطه}$$

$$(18) \quad \alpha = \frac{1-C}{2} \quad \leftarrow Q = 0 \quad \text{ود رصوت}$$

میباشد

روابط و نمودارهای پیوست (۲۶) و (۲۷) مقادیر  $\alpha$  و  $M_p$  را حاصل از چنین محاسباتی برای حالات: ۱- قاب با پایه مفصلی ۲- قاب با پایه گیردار برای هر دو حالت بارگذاری عادی (بارقائم تنها) و بارگذاری فوق العاده (بارقائم توان با پارافی) نشان میدهد.

این روابط و نمودارها، عملیات آنالیز پلاستیک را بسیار ساده و مختصر مینماید و در طرح و محاسبه قابها بروش پلاستیک بکار خواهد رفت.

## ۱۸- طریقه ترسیمی با استفاده از روش تعادل (۱)

در قابهای شبیداریاما هیچه درگوشه و تحت اثر بارهای قائم، در انجام عملیات آزمون و خطای<sup>(۲)</sup> برای یافتن محل مفصلها پلاستیک و لنگرپلاستیک مربوطه، این روش ساده و سریع است.

فرض کنیم پایه های قاب را باز کرد و قاب را بصورت تیریکسره ای دراورد <sup>۱۴</sup>

(شکل و بارگذاری نمونه شماره (۲۸))

میدانیم لنگرها ای بر قاب حاصل جمع جبری دودیاگرام لنگرخواهد بود. یک دیاگرام لنگر قاب فرض که یک پایه آن برغلتک قرار گرفته و دستگاه بصورت تیز ساده ای کار میکند (که آنرا دیاگرام لنگرها معین<sup>(۳)</sup> خواهیم نامید). شکل (۲۸-۵) و دیگری دیاگرام لنگر قاب فرض که برآن لنگرها گیرداری<sup>(۴)</sup> حاصل از راش افقی پای قاب وارد میگردد. شکل (۲۸-۶).

جمع دیاگرام لنگرها معین و لنگرها گیرداری، لنگرها در هر نقطه را بدست میدهد.

اگر دیاگرام لنگرها گیرداری در تیرشیدار قاب ادامه داده شود خط افقی A-E را در نقطه ای مانند E بفاصله x از گوشه تلاقی مینماید و فاصله x تابع مقدار H نمیباشد و در هر حال ثابت است. فاصله x را زهندسه قاب به مقدار زیر میتوان محاسبه نمود:

$$(19) \quad x = \frac{Lh}{2f}$$

بامعین کردن نقطه E میتوان به روش ترسیمی زیر را پیدا کرد ن مکانیزم واقعی آزمون و خطای:

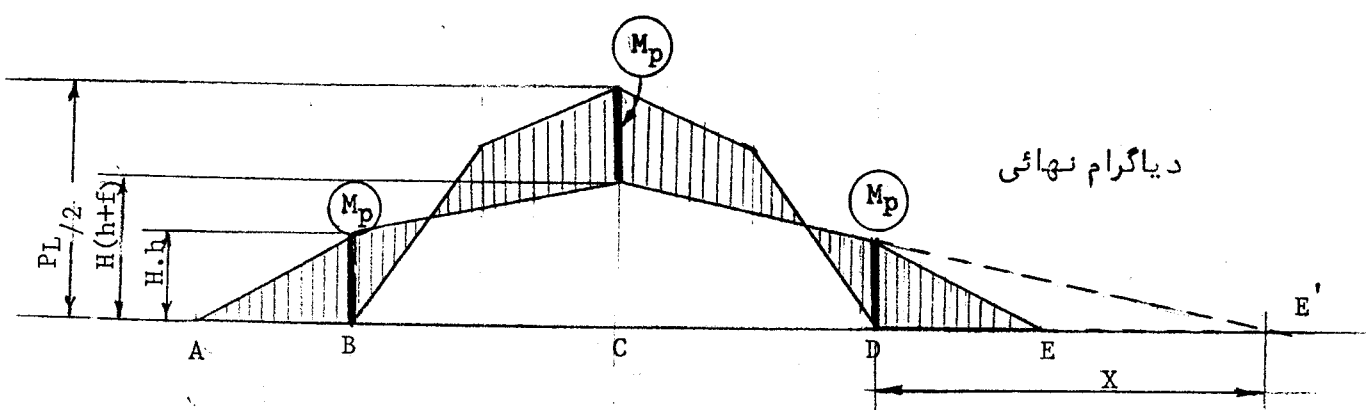
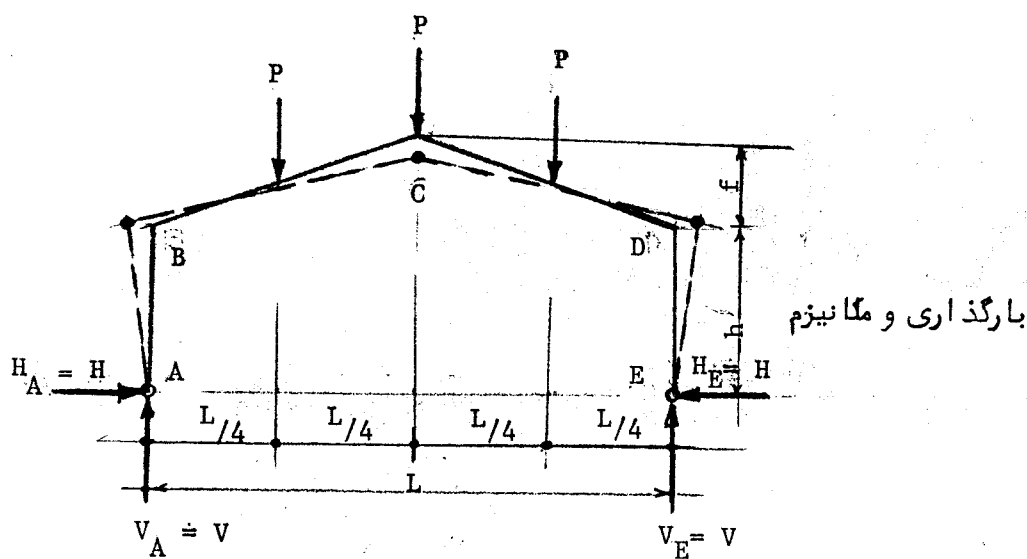
دیاگرام لنگرها معین را با مقیاس مناسبی رسم مینماییم. خطی را زنقطه E گذراند و آنرا بادوران حول نقطه E آنقدر پایین و بالا میبریم تا ارد ونه لنگر مربوط به نقطه احتمالی مفصل پلاستیک روی پایه با ارد ونه لنگرحد اکثرداختر دهانه (نسبت به این خط) برابر گردد لنگر  $M_p$  مربوط از روی شکل اندازه گیری میشود در مورد نقطه احتمالی دیگری همین عمل تکرار میشود تا  $M_p$  مربوط به مکانیزم واقعی بدست آید.

1 - Equilibrium Method

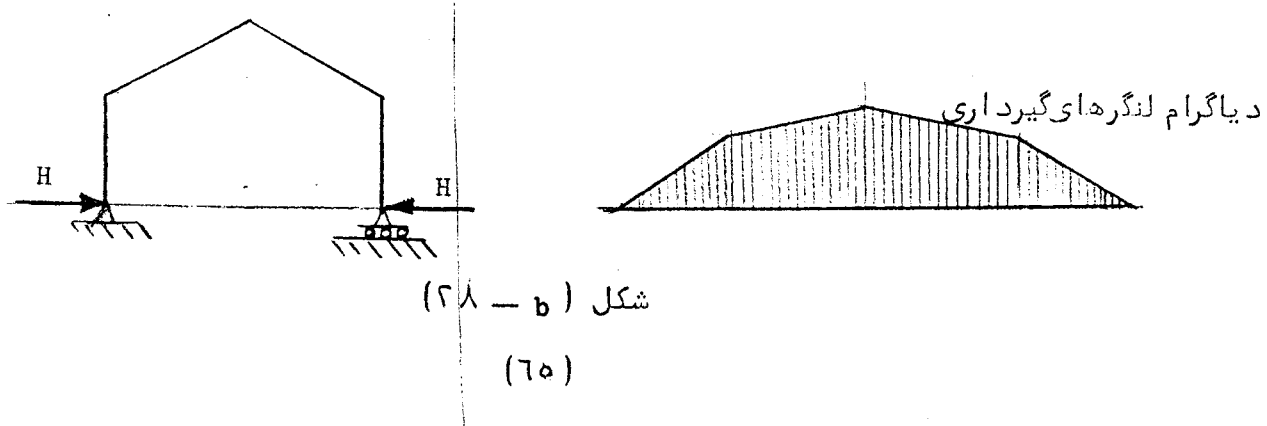
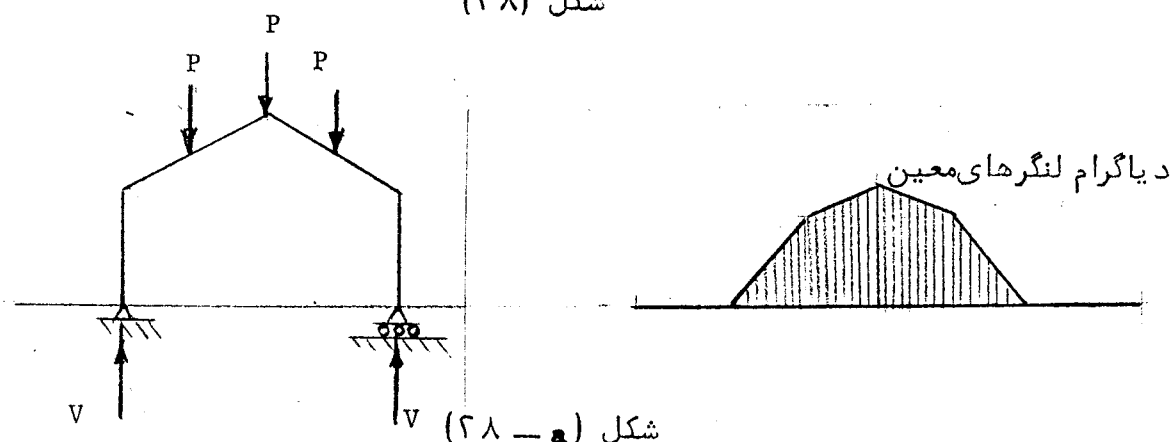
2- Trial and Error

3- Determinate Moment Diagram

4- Restraining Moments



شکل (۲۸)



## ۱۹- تنشیات مقطع در طرح و محاسبه پلاستیک

ابعاد مقطع باید طوری انتخاب شوند که تنشیات عرض به ضخامت حداقل، نیز را برابر آورد و کنند:

مطابق اشکال (۲۹)

$$\frac{b}{t} \cdot \frac{s}{t} \leq 8 \frac{1}{2} \quad \text{یا}$$

$$\frac{B}{t} \leq 32$$

در حالتی که نیروی محوری در عرض مصروف است  $\frac{d_w}{t_w} \leq 70$   
و در حالتی که نیروی محوری برابر  $P$  تواام بالنگر پلاستیک تاثیر مینماید باید:

$$\frac{d_w}{t_w} \leq 70 - 100 \frac{P_y}{P} \geq 40$$

$P_y$  عبارتست از نیروی محوری جاری شدن یعنی حاصل ضرب سطح مقطع در تنشیات جاری شدن مصالح میباشد

### ۰- اثر بار محوری در مقاومت خمش

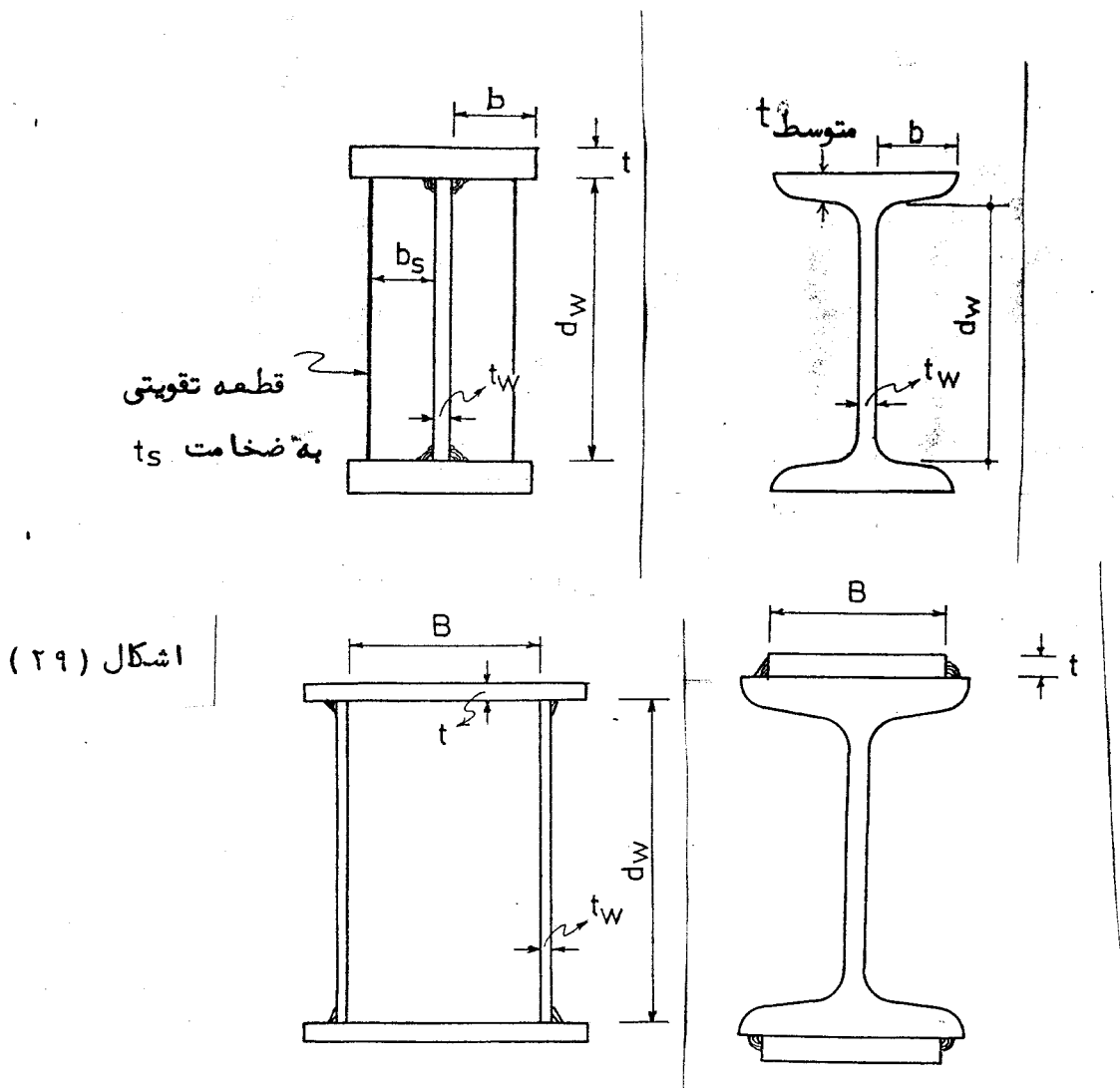
قطعات تیروپیا یه قاب تحت اثر نیروی محیزی تواام بالنگر خمشی قرار میگیرند و بنا براین باید مقاومت خمش پلاستیک قطعات با توجه به مقدار نیروی محوری کا هش داده شود.

دیده شد که در رفتار الاستیک این نوع قطعات - که تحت اثر لنگر  $M$  و بار محوری  $P$  قرار گیرند - در صورتی که مقطع نسبت به محور خمش متقارن باشد میتوان دیاگرا م تنشها را مرکب از دو دیاگرام مطابق شکل (۳۰-a) دانست.

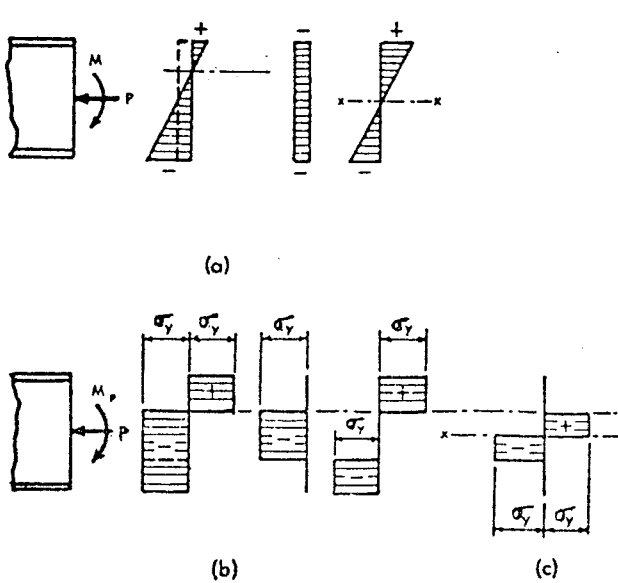
همین عمل را در خمش پلاستیک نیز - در مورد مقاطع متقارن - میتوان انجام داد. با این تفاوت که در این حالت فرض میشود که بار محوری  $P$

بوسیله یک جزء میانی از کل سطح مقطع تحمل میگردد و این جزء میانی تاحد جاری شدن در فشار را میگیرد و تنشها را مربوط به لنگر خمشی توسط بقیه مقطع تحمل میگردد. که البته باقیمانده مقطع در طلا و پائین تارخنشی تاحد جاری شدن مصالح تحت کشش و فشار حاصل از لنگر خمشی قرار میگیرد. شکل (۳۰-b)

أشكال (٢٩)

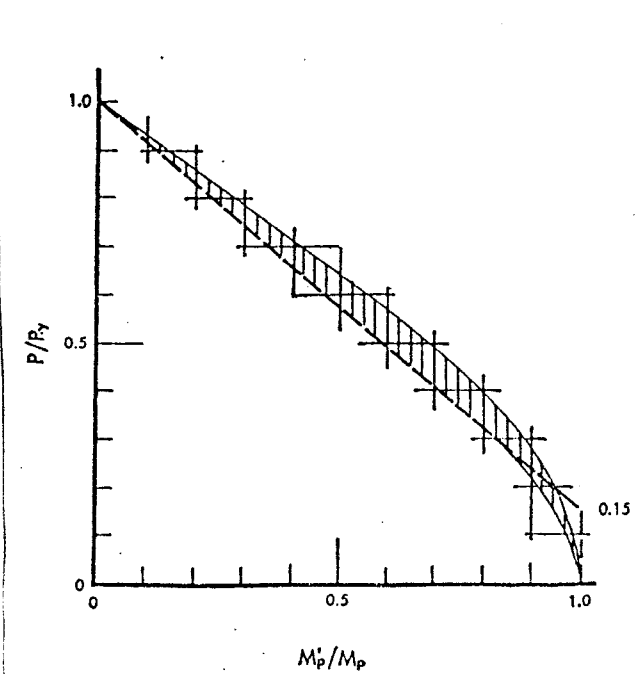


شكل (٣٠)



(٧٤)

شكل (٣١)



با مقایسه دیاگرام اخیر با دیاگرام تنشهای پلاستیک در حالت خمش تنها، دیده میشود که مقاومت خمشی در حالت اخیر به اندازه لنگری برابر کوچک نظیر دیاگرام شکل (۳۰) کاسته شده است.

هر قدر نیروی محوری بزرگتر باشد بهمان نسبت کا هش د رلنگر پلاستیک مقطع افزوده میشود و اگر در یک حالت حدی سیار محوری آنقدر بزرگ باشد که در تمام سطح مقطع، جاری شدن بوجود آورد یعنی  $P_y = P = A \cdot \sigma$  باشد در این صورت قطعه مقاومتی در خمش نخواهد داشت.

اگر لنگر پلاستیک کا هش یافته توام با نیروی محوری  $P$ ، با  $\frac{M}{P}$  نشان داده شود نسبت  $\frac{M}{M_p}$  را میتوان بر حسب  $\frac{P}{P_y}$  و شکل هندسی مقطع مشخص نمود. منحنی های شکل (۳۱) مطالعه ببروی این بستگی را برای نیمرخهای نورد شد نشان میدهد. منحنی زیرین مقادیر حداقل ومنحنی بالائی مقادیر حد اکثر است و در واقع انحراف از مقدار واقعی، با بتارگرفتن چنین بستگی (در مورد نیمرخهای نورد شده) با سطح هاشور خورد و بین دو منحنی مشخص میشود.

تفاوت مقدار  $\frac{M}{M_p}$  برای هر مقدار  $\frac{P}{P_y}$  در واقع حاصل از تفاوت طرز توزیع سطح کلی مقطع، درین جا و بال نیمرخ است هر قدر رجا ضخیم تر باشد (با فرض ثابت بودن بقیه ابعاد مقطع) بطور نسبی کا هش لنگر پلاستیک بعلت نیروی محوری کمتر خواهد بود.

نتیجه چنین مطالعه ای را میتوان با تقریب بسیار کم با معادله خط نقطه چین در شکل (۳۱) نمایش داد.

دیده میشود که در مورد مقادیر  $0.15 < \frac{P}{P_y} < 0.20$  نسبت  $\frac{M}{M_p}$  نزدیک به واحد و عملای کا هش د رلنگر پلاستیک صفر است.

بنابراین محدودیتها در قطعات تحت اثر لنگر خمش و نیروی محوری در طرح و محاسبه پلاستیک بشرح زیر در نظر گرفته خواهد شد:

۱- اگر  $0.15 < \frac{P}{P_y} < 0.20$  است در این صورت  $\frac{M}{M_p} = 1$  در نظر گرفته میشود.

۲- اگر  $0.15 < \frac{P}{P_y} < 1.18 - 1.18 = \frac{P}{P_y} = 1.18$  است در این صورت باید باشد

همچنین در این حالت قطعه معروض به لنگر خمشی و نیروی محوری، باید تمامی محدودیتها مربوط به حالت الاستیک را نیز مطابق بند (۱۰-۱) برآورد نماید.

۳- حد اکثراً غری  $(\frac{L}{r})$  قطعات نباید از ۱۲۰ تجاوز نماید که در آن ۱ فاصله دو تکیه گاه متوالی جانبی برقطعه است.

۴- در قابهای که نیروهای جانبی و پارهای رگزینتیف نامتقاض قائم، را توسط عمل قاب مقابله مینمایند و برای جلوگیری از انتقال جانبی در امدادهای قاب، مهاریندی بخصوص وجود ندارد (حالتن که اکثراً "برای قابهای شیبدار وجود دارد") لازم است که برای جلوگیری از کمانش حاصل از انتقال جانبی پایه‌ها  $(1)$ ، لاغری پایه‌های قاب محدود گردد. هرچند در محاسبه کلی قاب بعلت وجود لنگرهای نسبتاً "بزرگ در پایه‌ها، لاغری پایه نسبت به جهت مورد بحث، خود بخود بقدار کوچکی بدست می‌آید، ولی برای تامین اطمینان کافی در مقابل این نوع کمانش لازمست لاغری پایه در صفحه قاب، رابطه تجربی  $(20)$  را برآورد نماید:

$$(20) \quad \frac{\frac{L}{r}}{c} \leq 70 \left( 1 - \frac{2p}{p_y} \right)$$

در این رابطه  $\frac{L}{r}$  طول موثر پایه در صفحه قاب،  $c$  شعاع ژیراسیون مقطع پایه نسبت به محور نظیر خمش،  $p$  با رمحوری بر پایه تحت اثر حد اکثراً رگزینتیف و  $p_y$  بار حدی در فشار یعنی  $A \cdot p_y$  (مسطح مقطع پایه) می‌باشد.

#### ۱- نکات مربوط به مهاریندی $(2)$

محدودیتها مربوط به مهاریندی قطعاتی از قاب که در آنها مفصل پلاستیک تشکیل می‌گردند بیش از مهاریندی نظیر در طرح و محاسبه الاستیک است. زیرا این قطعات عملاً باید پس از خمیری شدن مقطع، مقداری هم در منطقه پلاستیک دوران نمایند تا قاب بحالت مکانیزم برسد و در طول این عمل، مهاریندی جانبی باید از ناپایداری و کمانش زود رس در این قطعات جلوگیری نماید.

در اینصورت احتیاج هست یک ردیف مهاریندی در محاذات مفصلهای پلاستیک قرارداده شود و طول آزاد چنین قطعاتی مطابق محدودیتهایی که خواهد آمد کوتا در نظر گرفته شود.

ولی در قطعاتی از قاب که در آنها مفصل پلاستیک ایجاد نمی‌شود و یا در مورد قطعه‌ای که آخرین مفصل پلاستیک مربوط به مکانیزم در آن تشکیل می‌شود

( واحتیاجی به دوران اضافی ندارد ) مهاربندی مربوط عیناً " مطابق اصول طرح و محاسبه الاستیک و با توجه به کلیات بند ۱۶ انجام میگیرد .

تحقیقات و آزمایشات دریمیرخهای بشکل I - در مرور قطعات حاوی مفصل پلاستیک - نشان داده است که حد اکثر طول آزاد مجاز ( فاصله بین نقطه مهاربندی در محل مفصل پلاستیک و تکیه گاه جانبی بعدی ) تابع تعدادی عوامل مختلف است که مهمتر از همه تغییرات لنگر خمشی - یعنی گرادیان لنگر خمشی - در این طول میباشد .

اگر  $L'_{cr}$  حد اکثر مجاز فاصله مفصل پلاستیک تا نقطه مهاربندی بعدی باشد ، روابط زیر برقرار خواهد بود :

$$(21) \quad L'_{cr} = (60-40 \cdot \frac{M}{M_p}) r_y \quad \leftarrow -1.0 < \frac{M}{M_p} < 0.625 \quad \text{الف - برای}$$

$$(22) \quad L'_{cr} = 35 r_y \quad \leftarrow 0.625 < \frac{M}{M_p} < +1.0 \quad \text{ب - "}$$

که در این روابط  $\frac{M}{M_p}$  نسبت لنگر در اولین مهاربندی بعد از مفصل پلاستیک به لنگرد ر مفصل پلاستیک و  $r_y$  شعاع ثیرا سیون قطعه نسبت به محور ضعیف خود میباشد .

## ۶۳- نکات مربوط به طرح و محاسبات اتصال تیروپایه

اتصال تیروپایه مهمترین قسمت قاب است و در طرح و محاسبه آن باید دقت شود که در مقابل لنگرخمش، نیروی برشی و نیروی محوری وارد مقاومت کافی داشته باشد تا قطعات بتوانند تا حد لنگریلاستیک تحت تنش قرار گیرند بدون آنکه در هیچ نقطه‌ای (۱) حالت کمانش و لهییدگی در فشار اتفاق افتد.

یکی از عواملی که باید کنترل شود مقاومت اتصال در مقابل نیروی برشی و نیروی فشاری قطری (۲) حاصل از برش است که بر جان پدید می‌آید شکل (۲۱)، و اغلب احتیاج هست که گوشه اتصال را با قطعات تقویتی قائم وافقی و قطری، در مقابل خرابی موضعی مقاوم کرد.

### ۶۴- اتصال گوشه ساده

در شکل (۳۶) نیروهای حاصل در بالهای ازلنگرخمشی ( $M_p$ )، در گوشه بصورت برش به جان منتقل می‌گردد اضافه براین مقداری هم برش مستقیم در تیر ( $V_b$ ) و درستون ( $V_c$ ) وجود دارد که به این جان تحمیل می‌گردد. ولی بطور کلی مقادیر برش مستقیم  $V_b$  و  $V_c$  در مقابل برشی که ازلنگر  $M_p$  حاصل می‌گردد ناچیز است و دراین محاسبه از اثر آنها صرف نظر می‌شود.

نیروی برشی در فصل مشترک جان و بال عبارتست از

$$V = \frac{M}{\frac{p}{d_b}}$$

و تنش برشی دراین فصل مشترک بازه واحد طول برابر خواهد بود با:

$$\tau = \frac{V}{d_c} = \frac{M}{d_b d_c}$$

تنش برشی بازه واحد سطح فصل مشترک بصورت زیرنوشته خواهد شد:

$$\tau = \frac{M}{t \frac{p}{d_b d_c}} \quad (۳)$$

در صورتی که تنش جاری شد ن در برش مطابق فرضیه انرژی بیچیدگی در برش د رنظر گرفته شود بافرض تنشهای اصلی  $\sigma_1$  و  $\sigma_2$  خواهیم داشت:

$$\sigma_{cr} = \sqrt{\sigma_1^2 + \sigma_2^2 + \sigma_3^2 + 3\sigma_{xy}^2}$$

در حالت پرش خالص،  $\sigma_1$  و  $\sigma_2$  صفراند و با برابر قراردادن  $\sigma$  با  $\sigma_y$  نتیجه خواهد شد: ( $\sigma_y$  حد جاری شدن مصالح است)

$$\sigma_{xy} = \frac{\sigma_y}{\sqrt{3}}$$

بنابراین حداقل ضخامت جان در اتصال تیروپیا یه از رابطه (۲۳) بدست خواهد آمد:

$$(23) \quad t = \frac{\sqrt{3} \cdot \frac{M}{P}}{d_c d_b \sigma_y}$$

اگر فرض گردد که ارتفاع واقعی جان در مقطع، ۰.۹۵ ارتفاع کلی مقطع تیروپیاستون است ضخامت لازم برای جان از رابطه (۲۴) محاسبه خواهد شد.

$$(24) \quad t = \frac{1.92 \cdot \frac{M}{P}}{d_c d_b \sigma_y}$$

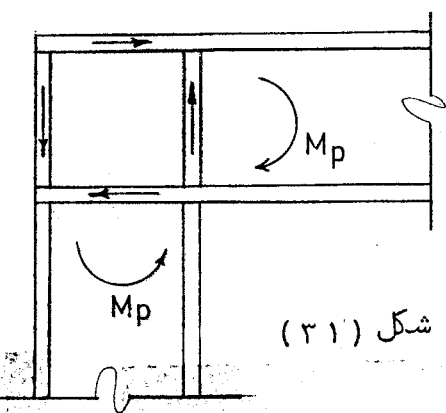
در صورتیکه ضخامت موجود جان از مقدار رابطه (۲۴) کمتر باشد کمبود مقاومت را باید با تقویت گوشه جبران نمود.

### ۱-۱-۱- تقویت گوشه

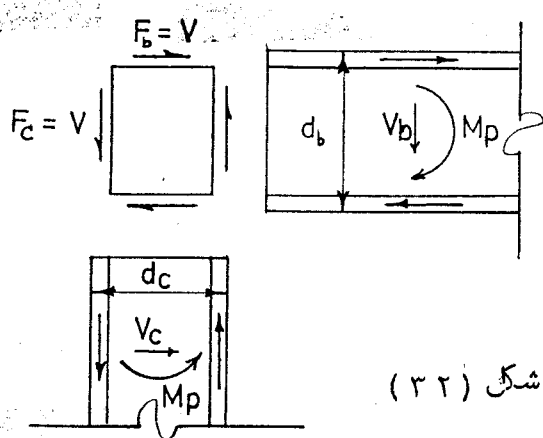
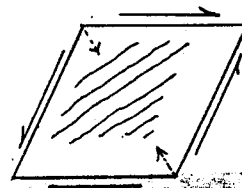
تقویت گوشه به دو طریق انجام میشود یکی اتصال صفحات تقویتی (۱) بر روی جان در گوشه و اضافه نمودن ضخامت آن و دیگری اتصال تیغه های تقویتی قطری

الف - صفحات تقویتی (۱): صفحات تقویتی به اندازه سطح جان در گوشه انتخاب میگردند بنحوی که جوش در محیط آن مستقیماً "به بالها و به دو عضو" تقویتی قائم متصل گردند شکل (۲۳) مجموع ضخامت صفحات تقویتی حداقل برابر تفاوت رقم محاسبه از رابطه (۲۴) و ضخامت موجود جان خواهد بود.

### ۱- Doubler Plates



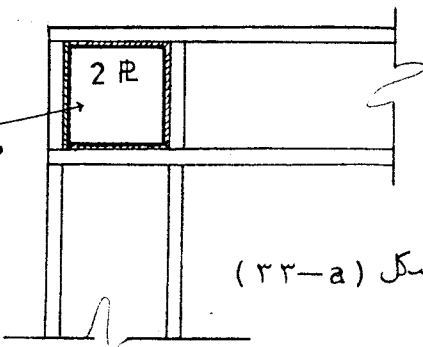
شک (۲۱)



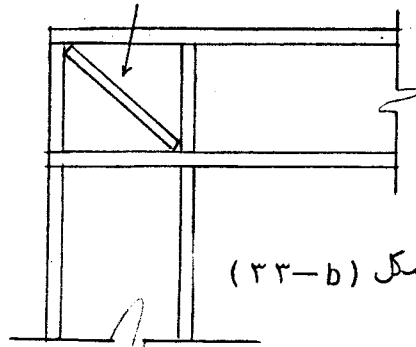
شک (۲۲)

### تیله های تقویتی

صفحات تقویتی

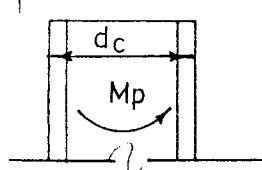
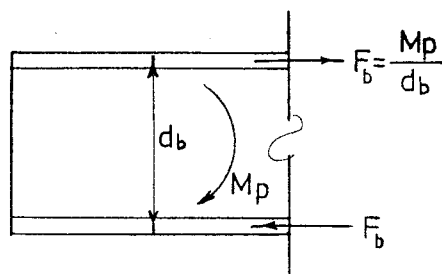
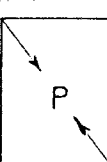
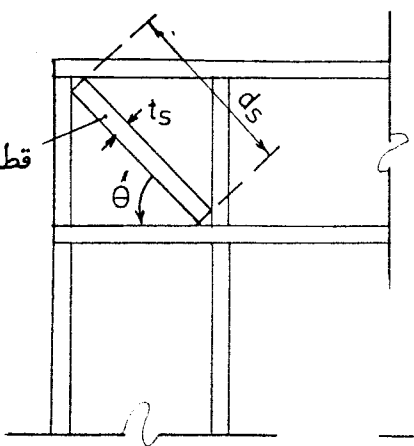


شک (۲۳-۳)



شک (۲۳-۴)

قطعه تقویتی قطری



شک (۲۴)

ب - تیغه های تقویتی قطری (۲) ممکنست یک جفت قطعات تقویتی قطری به جان

اضافه شود بلحوی که مقداری از نیروی حاصل از لنگرخمشی در بالهارا جذب نماید و پرش نظیر باقیماند هاین نیرویه اندازه ای تقلیل یابد تا مقاومت جان برای تحمل آن کافی باشد . شکل (۳۲-۶)

ضخامت این قطعات تقویتی بشرح زیر محاسبه میشود :

فرض کنیم مطابق شکل (۳۴) نیروی  $F$  در بالهای تیرتوسط عمل مشترک برش  $V$  در جان و نیروی  $P$  در قطعه تقویتی مقابله میشود .

$$F = V + P \cos \theta'$$

پس

$$V = t_w d_c \sigma_y = t_w d_c \frac{\sigma_y}{\sqrt{3}}$$

$$F = \frac{M_p}{d_b}$$

$$\frac{M_p}{d_b} = t_w d_c \frac{\sigma_y}{\sqrt{3}} + P \cos \theta'$$

$$(۵۰) \quad P = \frac{1}{\cos \theta'} \left[ \frac{M_p}{d_b} - \frac{t_w d_c \sigma_y}{\sqrt{3}} \right] \quad \text{ویا با منظور نمودن } P = A_s \sigma_y$$

$$(۵۱) \quad A_s = \frac{1}{\cos \theta'} \left[ \frac{M_p}{d_b \sigma_y} - \frac{t_w d_c}{\sqrt{3}} \right]$$

که در آن  $\theta'$  زاویه قطعه تقویتی با بال تیر است .

$$\theta' = \tan^{-1} \left( \frac{d_b}{d_c} \right)$$

$A_s = 2b_s \cdot t_s$  سطح یک جفت قطعه تقویتی قطری میباشد یعنی  $A_s$  و

باتلفیق دورابطه (۲۳) و (۲۶) وقراردادن ۹۵٪ مقدار معادل بعنوان مقدار  $t_c$

مربوطه خواهیم داشت

$$(۷۲) \quad A_s = \frac{d_c (t - t_w)}{1.824 \cos \theta}$$

و مطابق تناسباتی که ذکر شد در هر حال باید :

$$\frac{2b}{t_s} \leq 17$$

باشد

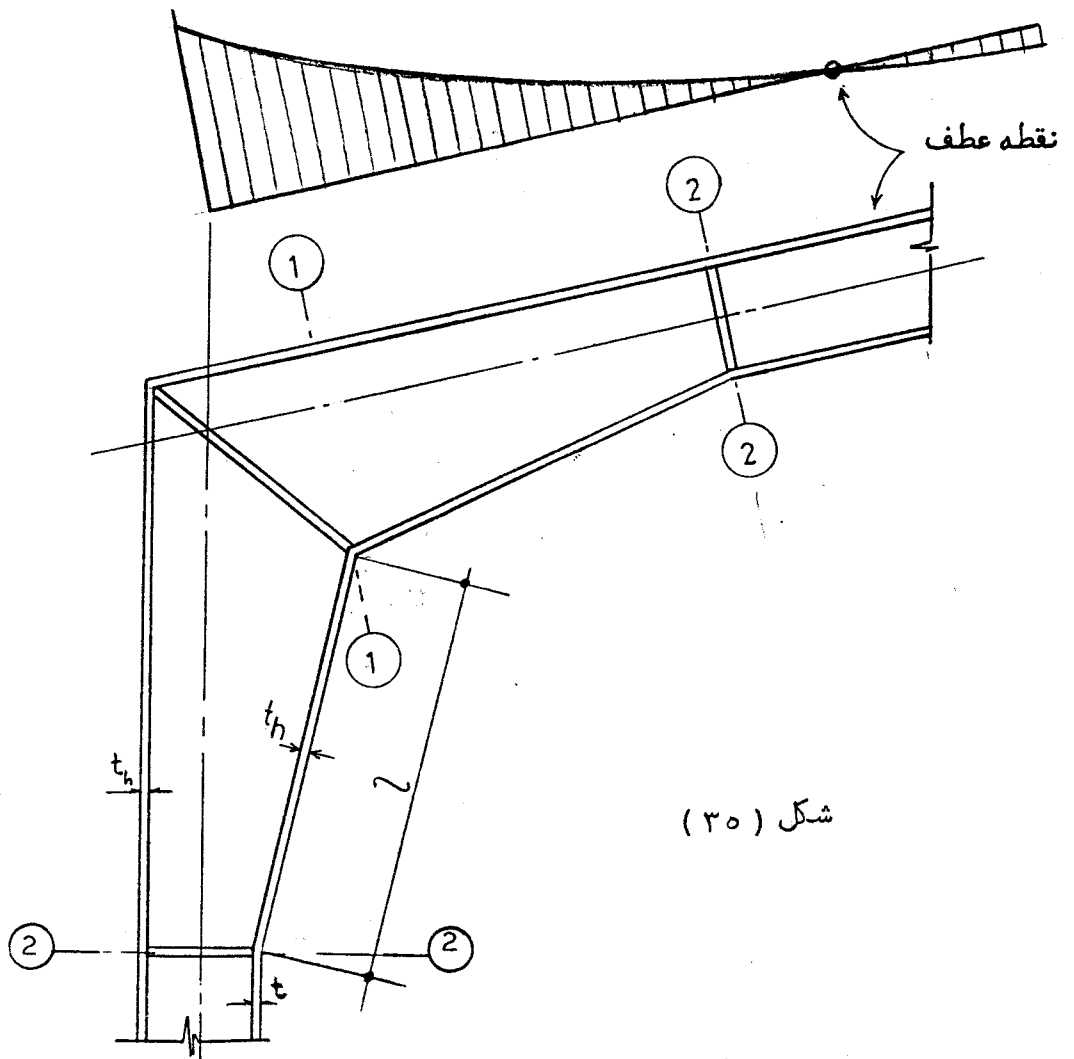
قطعات تقویتی باید در طول خود به جان جوش شوند و در وانتها نیز با اتصال جوش به بالها متصل گردند.

## ۲-۶- زانوئی با اتصالات ما هیچه ای (۱)

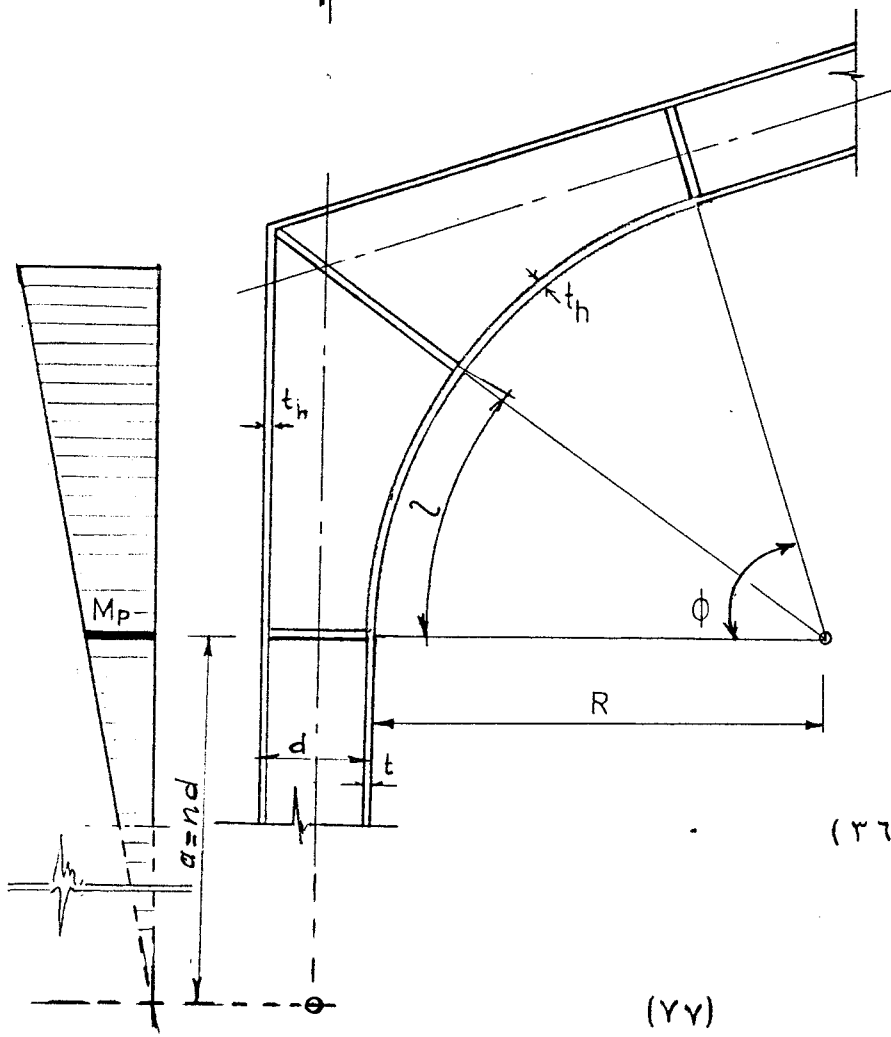
در زانوئی قابهای که دارای ما هیچه میباشد باید حتماً "تکیه گاههای جانبی کافی درد و انتهای در راسته ما هیچه قرار داد.  
در ما هیچه های منحنی، این تکیه گاهها باید حداقل، در نقطه تماس منحنی با تیروپایه قاب و در راسته منحنی در نظر گرفته شود.  
در ما هیچه های خطی این تکیه گاهها در نقطه شروع ما هیچه در فصل مشترک با تیروپایه و در نقطه تلاقی دو ما هیچه خطی تیروپایه قرارداده میشود.  
به این ما هیچه ها طوری ابعاد داده میشود که تاحدامکان از جاری شدن پلاستیک در داخل ما هیچه جلوگیری شود و محل مفصل های پلاستیک و در وران مربوطه در خارج از زانوئی و در قسمت تیروپایه با ارتفاع مقطع ثابت، اتفاق افتد.  
در طرح ما هیچه های زانوئی، قوانین زیر را هنمائی برای رسیدن به منظور های بالا خواهد بود:

### الف - ما هیچه خطی، شکل (۳۵)

- ۱- ضخامت جان در ما هیچه کمتر از ضخامت جان تیروپایه نباشد.
- ۲- ابعاد بال ما هیچه طوری انتخاب گردد که حاصل تقسیم لنگرخمشی در هر نقطه (مربوط به بارهای حدی) به اساس مقطع پلاستیک در آن نقطه (یعنی  $\frac{M}{Z}$  که Z مربوط به مقاطع عمود بر محور تیر یا پایه است) از حد جاری شدن مصالح یعنی 2300 کیلوگرم بر سانتیمتر مربع تجاوز ننماید.
- معمولاً "این محسنه در مردم و مقطع دو انتهای ما هیچه یعنی مقاطع (۱)-(۱) و (۲)-(۲) در شکل (۳۵) انجام میشود.
- ۳- اگر شبیه ما هیچه چنان است که حاصل محسنه تنش بشرح ردیف ۲، در هر دو سرما هیچه در حدود تنش جاری شدن مصالح است، در این صورت طول آزاد در ما هیچه یعنی ۱ را حد اکثره شش برابر عرض بال ما هیچه (۶) محدود ننماید.



شكل (٣٥)



شكل (٣٦)

ویا در صورتی که نتوان طول آزاد را به این مقدار محدود کرد — بجای آن — ضخامت بال ما هیچه (مربوط به محاسبه قبلی) را با ضرب کردن در ضریب

$$1+0.1 \left( \frac{1}{b} - 6 \right)$$

افزایش دهید.

۴— اگر تناسبات ما هیچه طوری است که تنفس دریک انتهای آن، با بکار بردن اساس مقطع پلاستیک ( $Z$ ) در محاسبه، نزدیک به حد جاری شدن ( $Z_u$ ) مصالح و در سردیگر تنفس  $\tilde{Z}$  با بکار بردن اساس مقطع الاستیک ( $W$ ) در محاسبه، کمتر از حد جاری شدن است در این صورت طول آزاد را مطابق رابطه (۲۸) محدود نمایید:

$$(28) \quad 1 \leq \frac{b}{(17.5 - 5.7)}$$

ولی در هر حال ۱ کمتر از  $b$  در نظر گرفته نمی شود. در این روابط  $\tilde{Z}$  تنفس موجود در انتهای که تنفس آن کم است بر حسب تن برسانی مترمربع و  $b$  پهنه ای بال ما هیچه است.

۵— اگر تنفس حاصل از لنج خمی (که با بکار بردن اساس مقطع الاستیک محاسبه شود) در تمام مقاطع ما هیچه از (۱) تا (۲) کمتر از حد جاری شدن مصالح ( $Z_u$ ) باشد، بررسی نمایید که حد اکثر مقدار این تنفس در ما هیچه از بزرگترین یکی از دو مقدار:

$$F_{b_1} = \frac{840000 \times 1.67}{\frac{1d}{bt}} \quad \text{و} \quad F_{b_2} = \left[ 1 - \frac{\left( \frac{1}{r} \right)^2}{2c_c^2 c_b} \right] \cdot \tilde{Z}$$

تجاو زنی نمایید که در آن ۱ طول آزاد ما هیچه در بین نقاط مهارندی و  $d$  بزرگترین ارتفاع مقطع در بین این نقاط است و  $r$  و  $c_c$  و  $c_b$  معانی مندرج دریند ۱-۲-۸ را دارند.

۶— قطعات تقویتی تیغه ای در هر دو سر ما هیچه قرار دهید و مقطع حداقل هرجفت از این قطعات تقویتی را از  $\frac{3}{4}$  مقطع بال کمتر نگیرید.

ب - ما هیچه منحنی شکل (۳۶)

۱- ضخامت جان در ما هیچه کمتر از ضخامت جان تیروپایه در نظر گرفته نشود .

۲- ضخامت بال در ما هیچه از مقدار  $\frac{t}{b}$  در رابطه (۲۹) کمتر نگردد

$$(29) \quad t_h = (1+m)t$$

که در این رابطه  $m$  ضریبی است که از منحنی پیوست شماره (۲۸) تعیین میگردد و  $t$  ضخامت بال قسمتی از قاب (تیریا پایه) است که در آن مفصل پلاستیک بوجود میآید .

۳- اگر طول آزاد بال که برابر  $\frac{\phi}{R}$  است ( $\phi$  بر حسب رادیان) بزرگتر از ۶b میباشد (b پهنای بال) در این صورت ضخامت  $t_h$  که بر حسب محاسبه ردیف ۲ بدست آمد باید با ضرب کردن در ضریب :

$$\left[ 1 + 0.1 \left( \frac{l}{b} - 6 \right) \right]$$

افزایش یابد

بهای این عمل میتوان بال ما هیچه را با ابعاد  $b \times t_h$  انتخاب نمود  
شرط برآنکه  $\frac{l}{b} \geqslant \frac{t}{t_h} \geqslant (1+m)t$  باشد .

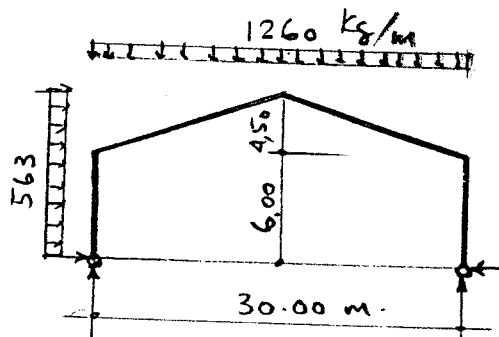
۴- نسبت عرض به ضخامت  $\frac{b}{t_h}$  در مردم بال منحنی داخلی ما هیچه را حد اکثری کوچکترین یکی آزاد و مقدار  $\frac{2R}{b}$  و با عدد ۱۷ محدود نمائید .

۵- در دوازدها در رو سطح ما هیچه قطعات تقویتی تیغه ای قرار دهد مقطع حد اقل هرجفت قطعه تقویتی از  $\frac{3}{4}$  مقطع بال منحنی ما هیچه کمتر اختیار نگردد .

## مثالهای عددی برای طرح و محاسبه بروش پلاستیک

## طرح و محاسبه شماره ۴ محاسبه قاب شیبد اریوش پلاستیک

مثال — قاب با ممان اینرسی ثابت و بد ون ما هیچه درگوشه



از آنجاییکه یکی از مفصلهای پلاستیک باید در فصل مشترک تیروپیا یه تشکیل گردد، بنابراین در طرح و محاسبه پلاستیک، قابهاییکه مقاومت آنها در طول تیروپیا یه ثابت است مقرن بصرفه خواهند بود. البته بافرض اینکه دراینگونه قابها اثر نیروی محوری نسبت به لنگرخمشی خیلی کوچک است و تنشهای در قاب در درجه اول، حاصل از لنگر خمشی است. در مثالهای بعدی حد جاری شدن و ضریب ارجاع مصالح فولادی بترتیب برابر  $2300 \text{ کیلوگرم بر سانتیمتر مربع}$  و ضریب شکل پلاستیک بطور متوسط  $1.013$  در نظر گرفته شده است.

### مشخصات قاب

- ۱— ابعاد مطابق شکل بالا
- ۲— فاصله مرکز به مرکز قابها ۶ متر
- ۳— مقطع در طول قاب ثابت وزنیمrix بال پهن I P B وورق ساخته میشود.
- ۴— بار قائم  $210 \text{ کیلوگرم بر متر مربع}$
- ۵— بارافقی  $1.025 \times 75 \text{ کیلوگرم بر متر مربع}$
- ۶— زانوئی قاب بدون ما هیچه وقا ب در طول خود ممان اینرسی ثابت دارد

### بارهای حدی

لنگرو ایگونی نیروی باد :

$$1.4 \times 563 \times \frac{10.5^2}{2} = 43450 \text{ m.kg.}$$

بار منفرد معادل درگوشه :

$$T_u = \frac{43450}{6.0} = 7242 \rightarrow 7.25 T.$$

بار حدی قائم وقتیکه توام با باد بکار رود :

$$W_u = 1.4 \times 1.260 = 1.764 \text{ kg/m}$$

$$W_u = 1.764 \times 30 = 52.920 \text{ T}$$

بار حدی قائم وقتیکه بدون باد بکار رود :

$$W_u = 1.85 \times 1.260 = 2.331$$

$$W_u = 2.331 \times 30 = 69.93 \text{ T.}$$

### محاسبه مقطع

با مراجعه به نمودارهای پیوست (۲۷) و با فرض مقطع ثابت در تمام طول قاب :

$$Q = \frac{4.5}{6} = 0.75$$

برای حالت بار قائم توام با اثرباد

$$C = \frac{2 \times 7.25 \times 6}{52.92 \times 30} = 0.055$$

### بارگذاری فوق العاده

با مراجعه به نمودار مربوط به نسبت  $\frac{M_p}{WL^2}$  برای قاب با پایه های مفصلی دیده می شود که با زاویه  $Q = 0.75$  و  $C = 0.055$  تقاطع مربوطه در زیر منحنی نقطه چین قرار می گیرد بنابراین بارگذاری فوق العاده تعیین کنند و نمی باشد.

### بارگذاری عادی (بدون اثرباد)

در مورد بارگذاری عادی با زاویه  $Q = 0.75$  و  $C = 0$  نسبت  $\frac{M_p}{WL^2}$  با تقریبی بصورت زیر قرائت می شود :

$$\frac{M_p}{WL^2} = 0.0465$$

$$M_p = 0.0465 \times 2.331 \times 30^2 = 97.55 \quad \text{بنابراین}$$

وازنودار زیرین بازا<sup>\*</sup>  $Q = 0.75$  و  $C = 0.43$  مقدار استخراج میشود  
مقادیری را که از نمودارها استخراج گردید میتوان پادقت بیشتر از روابط (۱۶) و (۱۷) محاسبه نمود مثلاً :

$$\alpha = \frac{1}{0.75} \left[ \sqrt{1.75} - 1 \right] = 0.431$$

$$M = \frac{2.331 \times 30^2}{4} \left[ \frac{0.431(1-0.431)}{\sqrt{1.75}} \right] = 97.23$$

برای حالت بحرانی (بارگذاری عادی) بارمحوری ستون برابر ۳۴.۹۶۵ تن

خواهد بود \*

با قرائین موجود از مثالهای قبلی، مقطع بال پهن IPB - 26 با ورق درجه

با ارتفاع مقطع ۷۰ سانتیمتر را امتحان مینماییم

$$\text{نُكْرِمَاقُومُ} \underset{p}{M} = 1.13 \times 2300 \times 3870 = 100.58 \text{ T.m.}$$

$$P_y = \sigma_y A = 2.3 \times 162 = 372.60 \text{ T.}$$

$$r_y = 5.63 \text{ cm.}$$

$$\frac{P}{P_y} = \frac{34.965}{372.6} = 0.094 < 0.15 \quad \text{کنترل پایه}$$

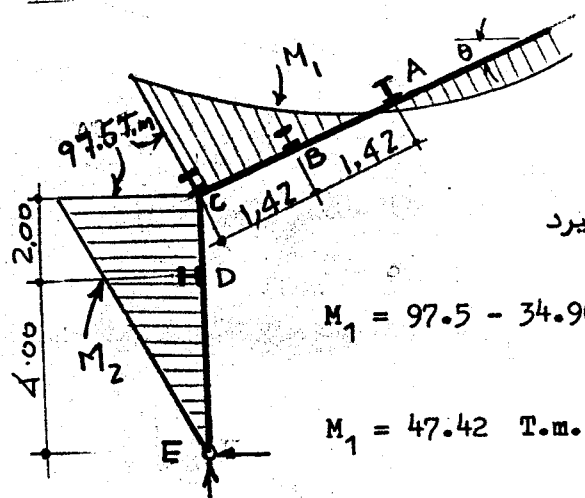
بنابراین کاهش دادن لنگر پلاستیک لازم نمیباشد  
با فرض اینکه تکیه گاههای جانبی ستون در محل مهاربندی ستون در  $\frac{2}{3}$  ارتفاع آن در نظر گرفته شود :

$$\frac{1}{r_y} = \frac{200}{5.63} \approx 36 < 120$$

که قابل قبول است

\* در این محاسبه ضریب شکل پلاستیک مقطع I بطور متوسط برابر ۱/۱۳ در

نظر گرفته شده است \*



کنترل فاصل ۱.۴۲ مربوط به لاپه ها :

طول AB الاستیک است و بحران نمیباشد

طول BC محل تشکیل مفصل پلاستیک را در میگیرد

$$M_1 = 97.5 - 34.965 \times (1.42 \cdot \cos \theta) - 2.331 \times \frac{(1.42 \cdot \cos \theta)^2}{2}$$

$$M_1 = 47.42 \text{ T.m.}$$

$$L_{cr} = (60 - 40 \cdot \frac{47.42}{97.5}) \times 5.63 = 228 > 142$$

که قابل قبول است

کنترل فاصله CD مربوط به تکیه ایا جانبی پایه :

طول CD حاوی مفصل پلاستیک است :

$$\frac{\frac{M_2}{M_p}}{= 0.66 > 0.625}$$

بنابراین

$$L_{cr} = 35 \times 5.63 = 197 \approx 200$$

که با مقایسه با طول آزاد موجود ۲ متر، تقریباً "قابل قبول است"

طول DE الاستیک است و روابط کمانش جانبی برای آن کنترل میشود

$$\frac{Ld}{bt} = \frac{400 \times 70}{26 \times 1.75} = 616 > 600$$

پس مسئله کمانش جانبی در خمن مطرح است

$$F_{b1} = 1.67 \times \frac{840000}{616} = 2278$$

$$M_2 = 2/3 \times 97.5 = 65 \text{ T.m.}$$

$$\left\{ \begin{array}{l} I_y = 1.75 \times \frac{26^3}{12} = 2563 \\ A = 26 \times 1.75 + 11.08 \times 1 = 56.33 \\ r_o = \sqrt{\frac{2563}{56.33}} = 6.75 \\ F_{b2} = \left[ 1 - \frac{\left( \frac{400}{6.75} \right)^2}{2 \times 18000 \times 1.75} \right] 2300 \\ = 2172 \end{array} \right.$$

$$f_b = \frac{65 \times 10^5}{3870} = 1680 \text{ kg/cm}^2$$

$$\lambda = \frac{l}{r_y} = \frac{400}{5.63} = 71$$

$$F_a = 1.67 \times 1072 = 1790 \quad \text{با استفاده از جدول پیوست (۲۳)}$$

$$f_a = \frac{34965}{162} = 216 \text{ Kg/cm}^2$$

$$\frac{216}{1790} + \frac{1680}{2278} = 0.121 + 0.737 = 0.858 < 1 \quad \text{که قابل قبول است}$$

### کنترل برش

حداقل ضخامت لازم در جان در محل اتصال تیروپایه:

$$t = \frac{1.92 M_p}{\sigma_y d_c d_b} = \frac{1.92 \times 975 \times 10^5}{2300 \times 70 \times 70} = 1.66 \text{ cm}$$

ضخامت جان برابر 10 mm است و

$$t_w = 10.0 < 16.6 \text{ mm.}$$

که ضعیف است و باید قطعات تقویتی قطری بكار رود

$$1.66 - 1.0 = 0.66 \text{ cm.}$$

تفاوت

جمع تنش بال تیرقاپ، که باید با قطعه تقویتی قطری منتقل شود با فرض

اینکه تمام لنگرخمشی توسط بالها تحمل میشود خواهد بود:

$$F = \frac{0.66}{1.66} \times \frac{97.5}{95\% \times 0.70} = 58.29 \text{ T.}$$

نیروی مربوطه در قطعه تقویتی

$$F_1 = 58.29 \times \frac{87.26}{52.08} = 97.67 \text{ T.}$$

### قطع لازم برای قطعه تقویتی

$$A_s = \frac{97.67}{2.3} = 42.46 \text{ cm}^2$$

تمام خواهد شد که توسط دو عدد تسمه

همین نتیجه را با بکار بردن رابطه (۲۷) نیز میتوان بدست آورد

$$\cos \theta' = \frac{5208}{87.26} = 0.5968$$

$$A_s = \frac{70(1.66 - 1)}{1.824 \times 0.5968} = 42.44$$

### محاسبه شالوده

شالوده قاب با مقاومت مجاز زمین برای بار قائمی برابر  $\frac{34.965}{1.85} = 18.9 \text{ T.}$  محاسبه میشود.

رانش افقی حدی دریای ستون و در شالوده عبارتست از:

$$H = \frac{97.5}{6} = 16.25 \text{ T.}$$

که ممکنست با میل مهارهای با سطح قطعه:

$$A = \frac{16.25}{2.3} = 7.06 \text{ cm}^2$$

## طرح ومحاسبه شماره ۵ (روش پلاستیک)

مشخصات مانند طرح ومحاسبه شماره (۴) است با این تفاوت که در زانوئی قاب ماهیچه دایره‌ای شکل بسا شعاع  $R = 2.20\text{m}$  ایجاد می‌شود، شکل (۳۷) بارگذاری عادی (بدون اثرباد) حالت بحرانی است برای تعیین مکانیزم ازروشن ترسیمی بند (۱۸) استفاده مینماییم دیاگرام پارabolیک لنگرهای معین را رسم می‌کنیم اردونه وسط دهانه برابر لنگر دهانه ساده یعنی:

$$M_o = 69.93 \times \frac{30}{8} = 262.24 \text{ T.m}$$

است

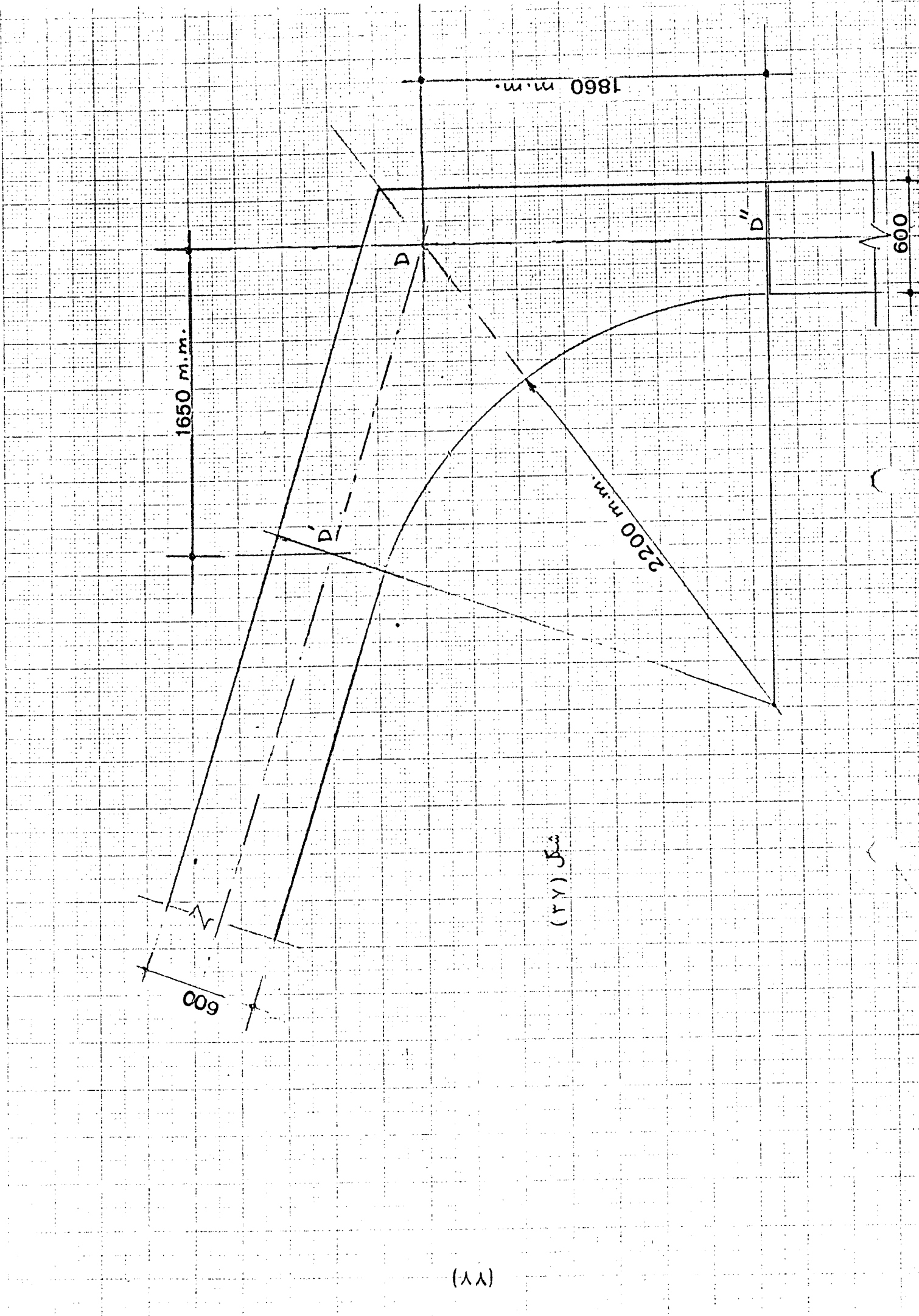
بین دو نقطه تعاس  $D'$  و  $D$  در روی قاب، ماهیچه منحنی باید چنان مقاوم باشد که در مکانیزم خرابی، مفصل پلاستیک در نقطه  $D$  تشکیل نگردد بلکه این مفصل پلاستیک در یکی از دو نقطه  $D'$  و یا  $D$  بوجود آید. دیاگرام لنگرهای معین را برای بدست آوردن  $M_p$  درد و مکانیزم (مفصل در  $D$  یا  $D'$ ) نامبرد و بکار می‌بریم. این دیاگرام برای درد و مکانیزم یکسان است فقط دیاگرام لنگرهای گیرداری حاصل از عمل قاب با عوض شدن محل مفصل پلاستیک دو دیاگرام تفاوت خواهد بود. برای بدست آوردن  $M_p$  از مکانیزمی که مفصل پلاستیک آن در  $D'$  است خطی را از مرکز دوران  $E$  که در فاصله

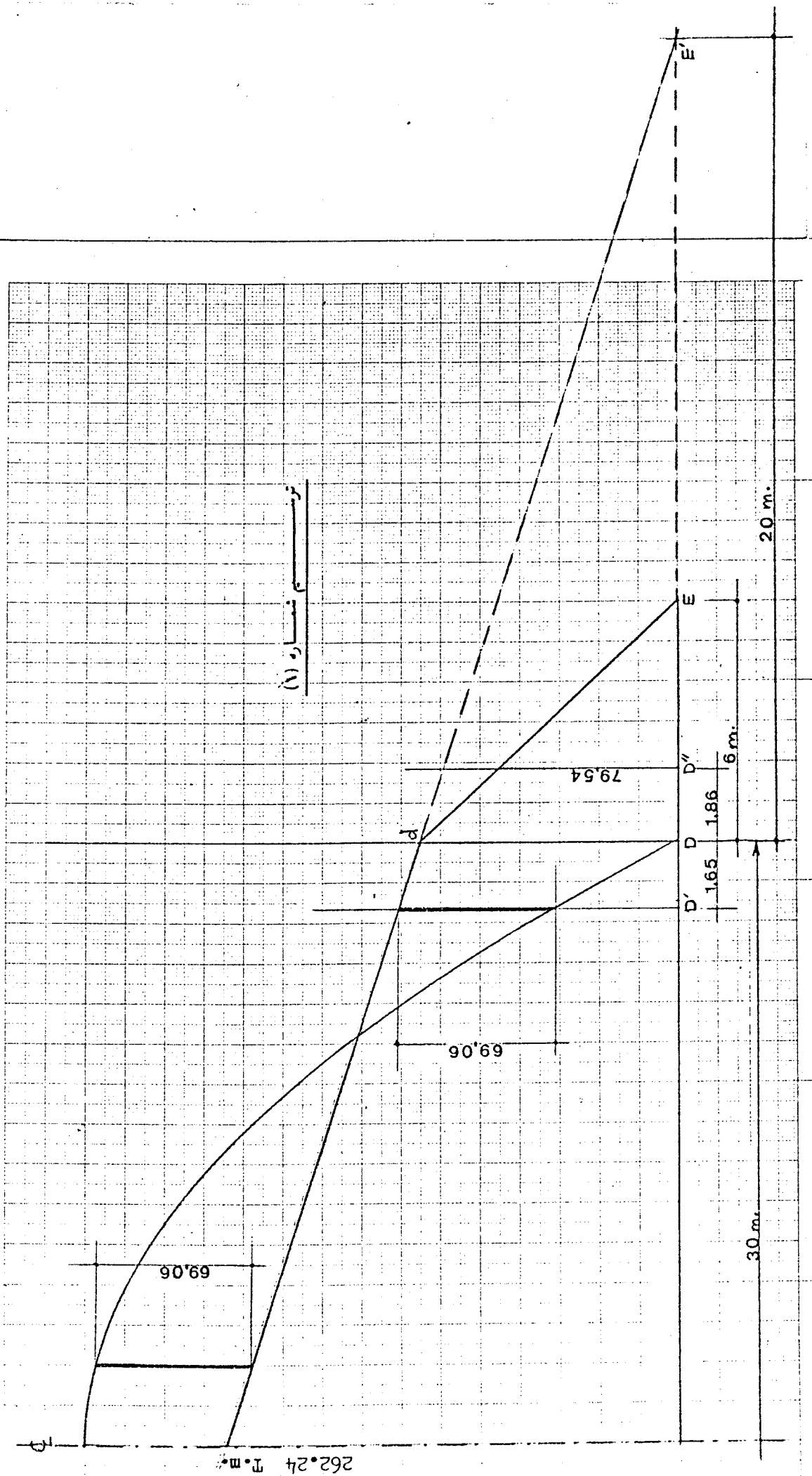
$$\frac{Lh}{2f} = \frac{30 \times 6}{2 \times 4.5} = 20 \text{ m.}$$

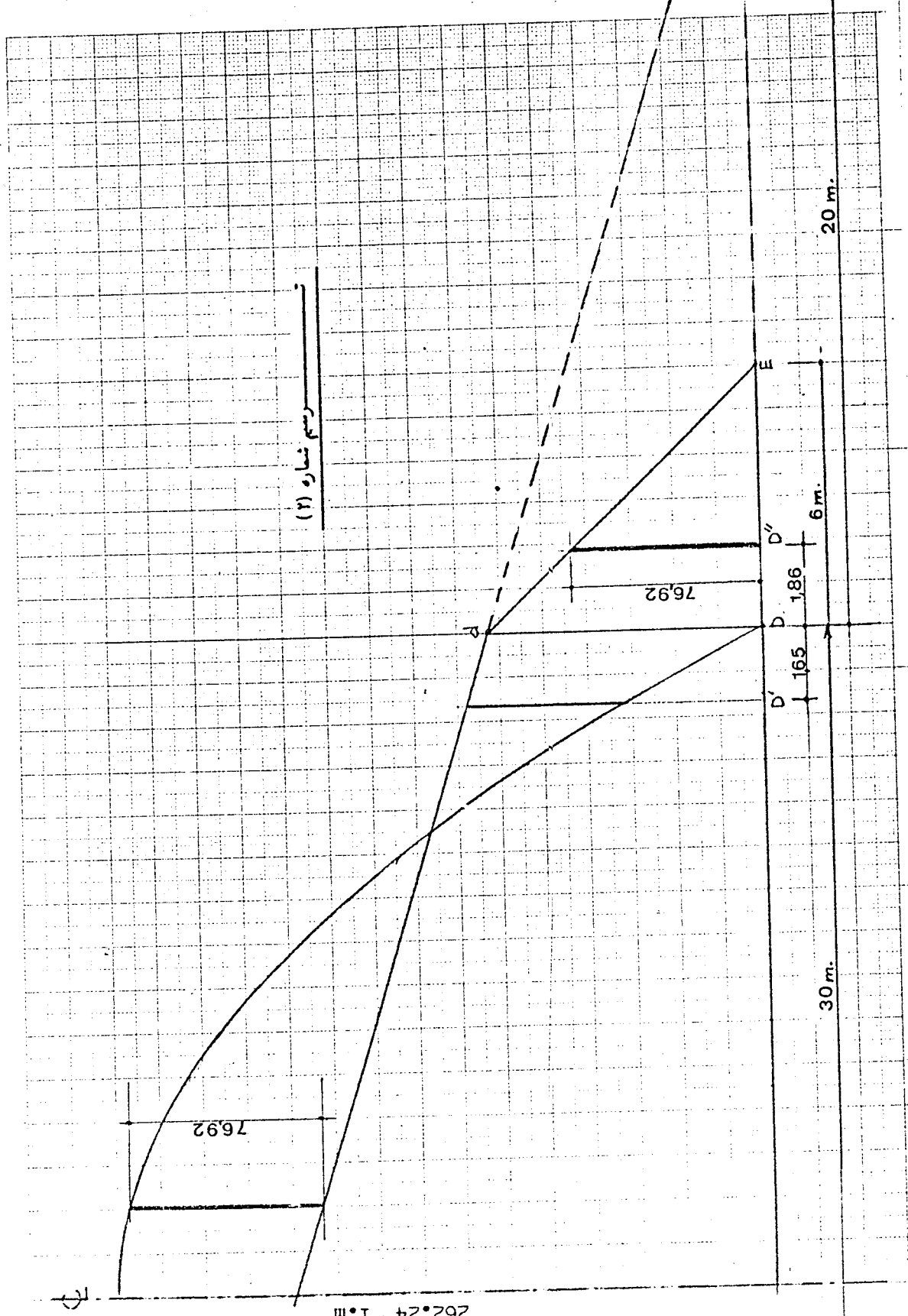
است می‌گذرانیم بنحوی که لنگر منتجه در  $D'$  برابر لنگر منتجه حد اکثر در داخل دهانه باشد و این خط  $M_p = 69.06\text{T.m}$  را بدست مید هد (از روی شکل ترسیم شماره (۱) اندازه گیری می‌شود).

این خط، خط قائم مار بر نقطه  $D$  را در نقطه  $d$  قطع می‌کند با اتصال خط  $DE$  لنگر در نقطه  $D''$  به مقدار  $T.m = 79.54$  قرائت می‌شود که نشان مید هد این مکانیزم واقعی نیست و مفصل پلاستیک باید در  $D''$  تشکیل شود نه در  $D'$ .

با تکرار عملیات ترسیمی فوق در مردم نقطه  $D''$  دیده می‌شود که لنگر پلاستیک در محل  $D''$  و در داخل دهانه به مقدار  $M_p = 76.92$  بدست می‌آید. ترسیم شماره (۲).







قطع لازم برای تیروپایه بصورت زیر محاسبه میشود :

$$Z = \frac{76.92 \times 10^5}{2300} = 3344 \quad \rightarrow \quad W = 2960$$

که برای آن یک IPB 26 با ارتفاع کلی قطع  $d = 60 \text{ cm.}$  انتخاب میشود که  $W = 3190 \text{ cm}^3$  است.

باتوجه به مطالب مربوط به زانوئی با ما هیچه دایره‌ای (بند ۲۰) :

در نقاط D و D' و D'' مهاربندی بیش‌بینی میشود

ورق جان زانوئی با ضخامت ۰.۱ میلی‌متر انتخاب میشود که مطابق I.P.B-26 است  
بال زانوئی برابر بال نیمرخ در نظر گرفته میشود یعنی :

$$\text{IPB } 260 \times 18 \text{ mm.}$$

شیب تیر برابر  $0.3 = \frac{4.5}{15}$  است وزاویه مربوطه :

$$\theta = \tan^{-1} 0.3 = 16^\circ - 42'$$

بنابراین

$$\phi = 90 - \theta = 73^\circ - 18' = 1.279 \text{ Radian}$$

$$\frac{\phi}{2} = 0.639 \text{ Radian}$$

$$l = R \frac{\phi}{2} = 220 \times 0.639 = 140.58 \text{ cm.}$$

$$\frac{l}{b} = \frac{140.58}{26} = 5.4 < 6$$

که قابل قبول است

$$n = \frac{4.14}{0.6} = 6.9$$

از منحنی پیوست شماره (۶۸) دیده میشود که بازا  $n = 6.9$

$$m = 0.09$$

پس

$$t_h = (1 + 0.09) \times 1.75 = 1.91 \text{ cm}$$

PL 260 × 20 mm

که

بکارخواهد رفت

$$\frac{b}{t} = \frac{260}{20} = 13$$

مقدار مجاز  $\frac{b}{t}$  عبارتست از :

$$\frac{b}{t} = \frac{2R}{b} = \frac{2 \times 220}{26} = 16.92 > 13^{\circ K}$$

قطعات تقویتی را جفت جفت قرار میدهیم " سطح مقطع تقریباً آنها خواهد شد :

$$\frac{3}{4} \times 26 \times 2 = 39 \text{ cm}^2$$

2 PL.s 120 × 16 mm

که با تسمه های

که کلا" دارای سطح مقطع 38.4 سانتیمترمربع میباشد تامین خواهد شد .

## طرح و محاسبه شماره ۶ (روش پلاستیک)

میخواهیم قاب مثالهای قبلی را با ما هیچه خطی محاسبه نمائیم بترتیبی که ما هیچه خطی فقط در روی تیر قاب قرارداده و در مقطع اتصال با پایه ارتفاع مقطع بزرگ شود و اتصال گوشه با پیچهای با مقاومت زیاد انجام گیرد.

فرض کنیم ابعاد انتخاب شده مطابق شکل (۳۸) است (البتہ چنین ابعادی بعد از چند بار آزمون و خطا بدست خواهد آمد).

با استفاده از روش ترسیمی تعادل (بند ۱۸) دیده میشود که  $\frac{W}{M}$  برای مقطع ثابت تیروپایه در مکانیزمی که مفصلهای پلاستیک نزدیک به راس قاب و در بالای پایه تشکیل شود برابر  $82.17 \text{ T.m}^{-3}$  بدست میآید. ترسیمهای شماره (۲) و (۴) بنابراین:

$$Z = \frac{82.17 \times 10^5}{2300} = 3572 \rightarrow W = 3161 < 3190$$

که با ارتفاع کل مقطع  $60 \text{ cm}$ . IPB-26 + ۳۴ تامین خواهد شد.

## طرح و محاسبه ما هیچه خطی

با توجه به مطالب (بند ۲۲) :

ورق جان با ضخامت ۱۰ میلیمتر انتخاب میشود که مطابق جان IPB-26 است.

بال تیر به ابعاد  $260 \times 17.5 \text{ mm}$  امتحان میشود.

اساس مقطع ال استیک در انتهای ما هیچه روی تیر  $W_1 = 3190 \text{ cm}^2$

اساس مقطع ال استیک در بتدای ما هیچه در محل تلاقی با پایه  $W_2 = 10905$

شکل (۱۳۸) و محاسبات صفحه (۹۶) محاسبه اساس مقطع دوم را نشان

میدهد:

$$2A = 290.89 \times 340.81 \times \sin \phi' = 112.68 \times 278.62$$

$$\sin \phi' = 0.31668 \rightarrow \phi' = 18^\circ - 28'$$

$$290.89 \times \tan(18^\circ - 28') = 97.12 \text{ cm.}$$

$$d-30 = 97.12 \times \frac{144}{112.68}$$

$$d = 154.12 \text{ cm.}$$

محاسبه اساس مقطع :

با توجه به آنکه ممان استاتیک نصف IPB-26 نسبت به میانتار برابر  $641 \text{ cm}^3$  میباشد، (جدول نیمرخ استاندارد)، فاصله مرکز ثقل این نصف IPB تا انتهای تیغه T برابر خواهد بود با :

$$\frac{2 \times 641}{118.4} = 10.83 \text{ cm.}$$

ممان اینرسی مقطع کل بشرح زیر محاسبه میشود :

$$I_{x_{10}} = 14920$$

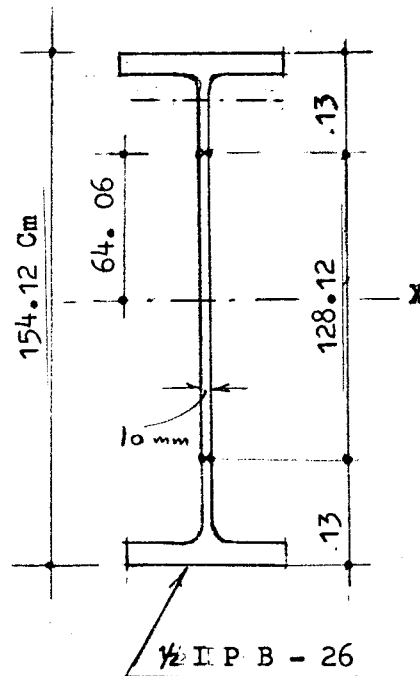
$$118.4(10.83 + 164.06)^2 = 664048$$

$$-118.4 \times (10.83)^2 = -13887$$

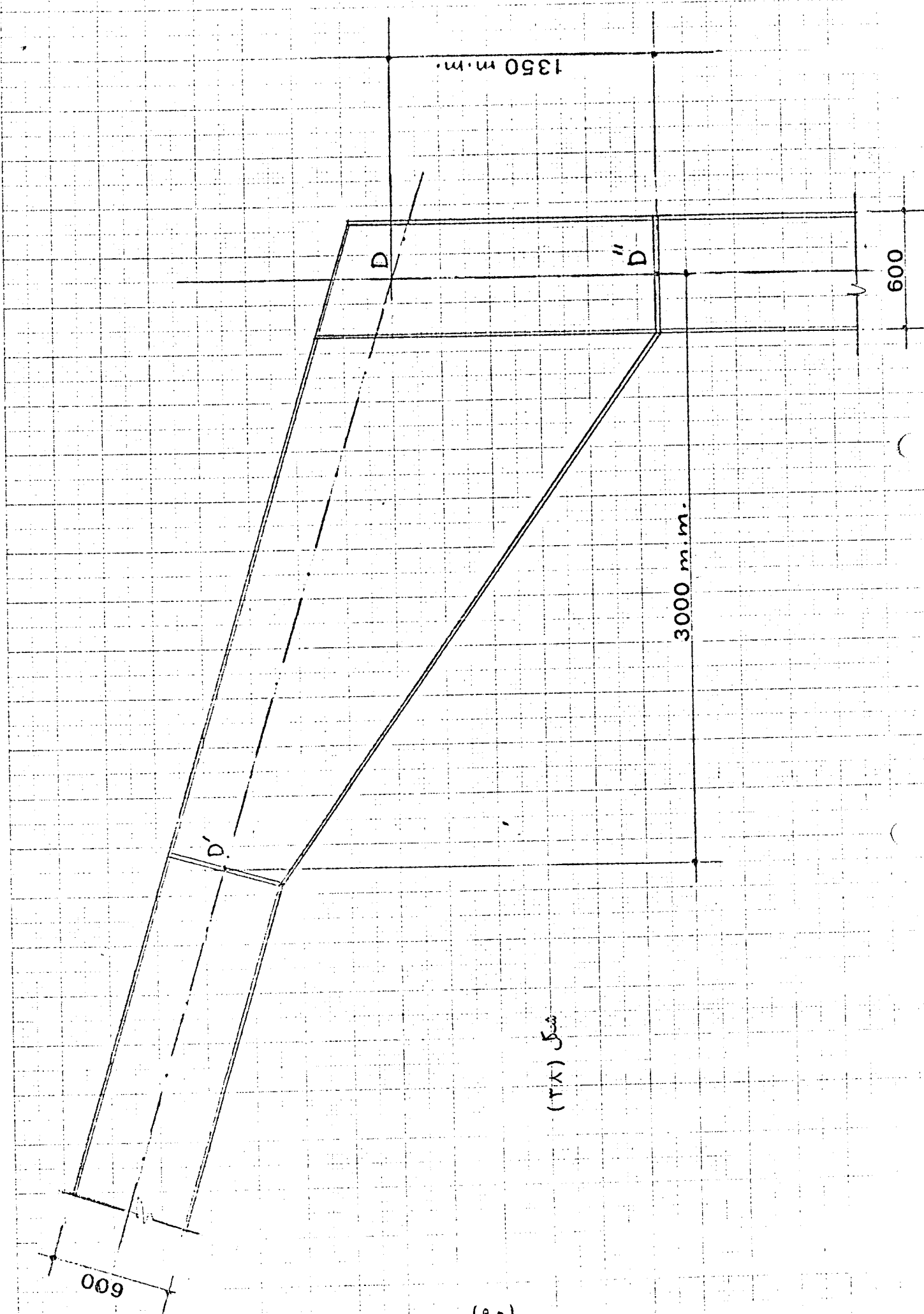
$$1 \times \frac{(128.12)^3}{12} = 175254$$

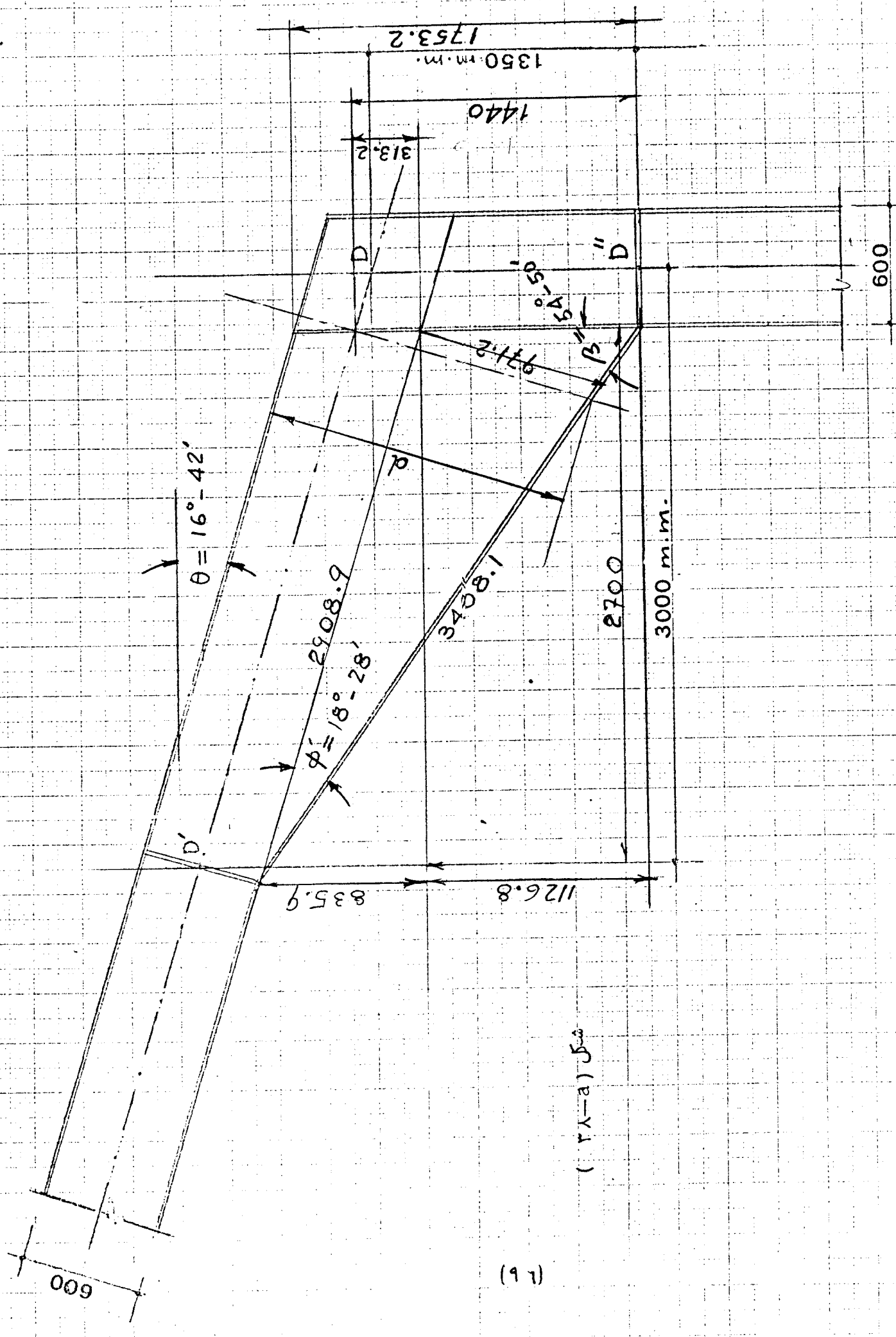
$$I = 840335 \text{ cm}^4$$

$$W = \frac{840335}{77.06} = 10905 \text{ cm}^3$$



شکل (۴۴)





(16)

مك (x-y)

باقرائیت لنگرهای دوانتهای ما هیچه از ترسیم شماره (۴)

$$M_1 = 26.22 \text{ T.m.}$$

$$M_2 = 97.03 \text{ T.m.}$$

و تنشهای الاستیک حاصل از خمش نظیر بارهای حدی خواهد بود :

$$\sigma_1 = \frac{26.22 \times 10^5}{3190} = 822 \text{ Kg/cm}^2$$

$$\sigma_2 = \frac{97.03 \times 10^5}{10905} = 890 \text{ Kg/cm}^2$$

مطابق آنچه که در بند (۲۶-۲۷) گفته شد این تنشهای را کنترل مینماییم :

$$\frac{Ld}{bt} = \frac{\frac{300}{\sin 30} \times 154.12}{26 \times 1.75} = 1238$$

$$F_{b1} = 1.67 \frac{840000}{1238} = 1133 \text{ Kg/cm}^2$$

:  $F_{b2}$  محاسبه

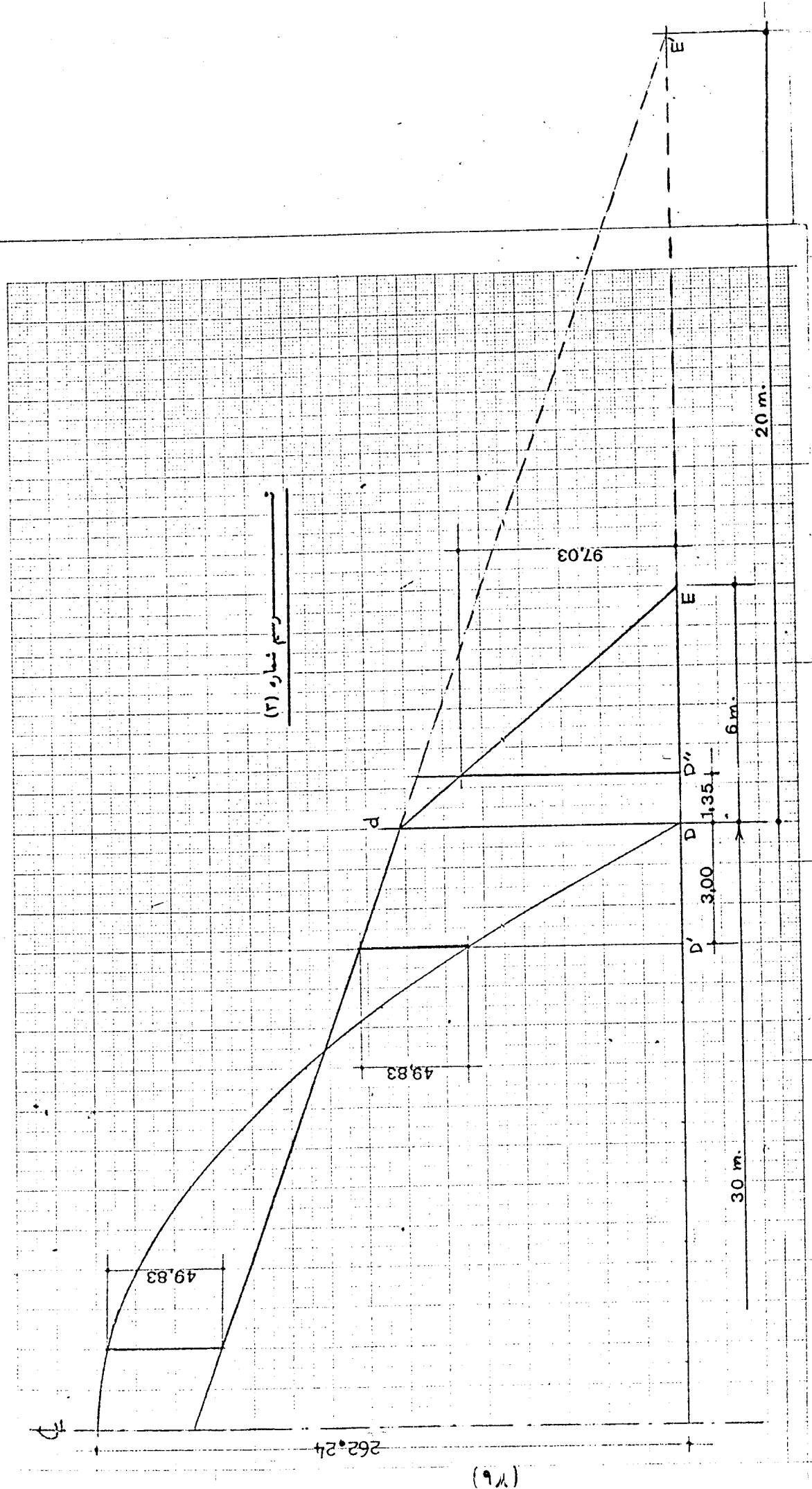
$$I_{yo} = 1.75 \times \frac{26^3}{12} = 2563$$

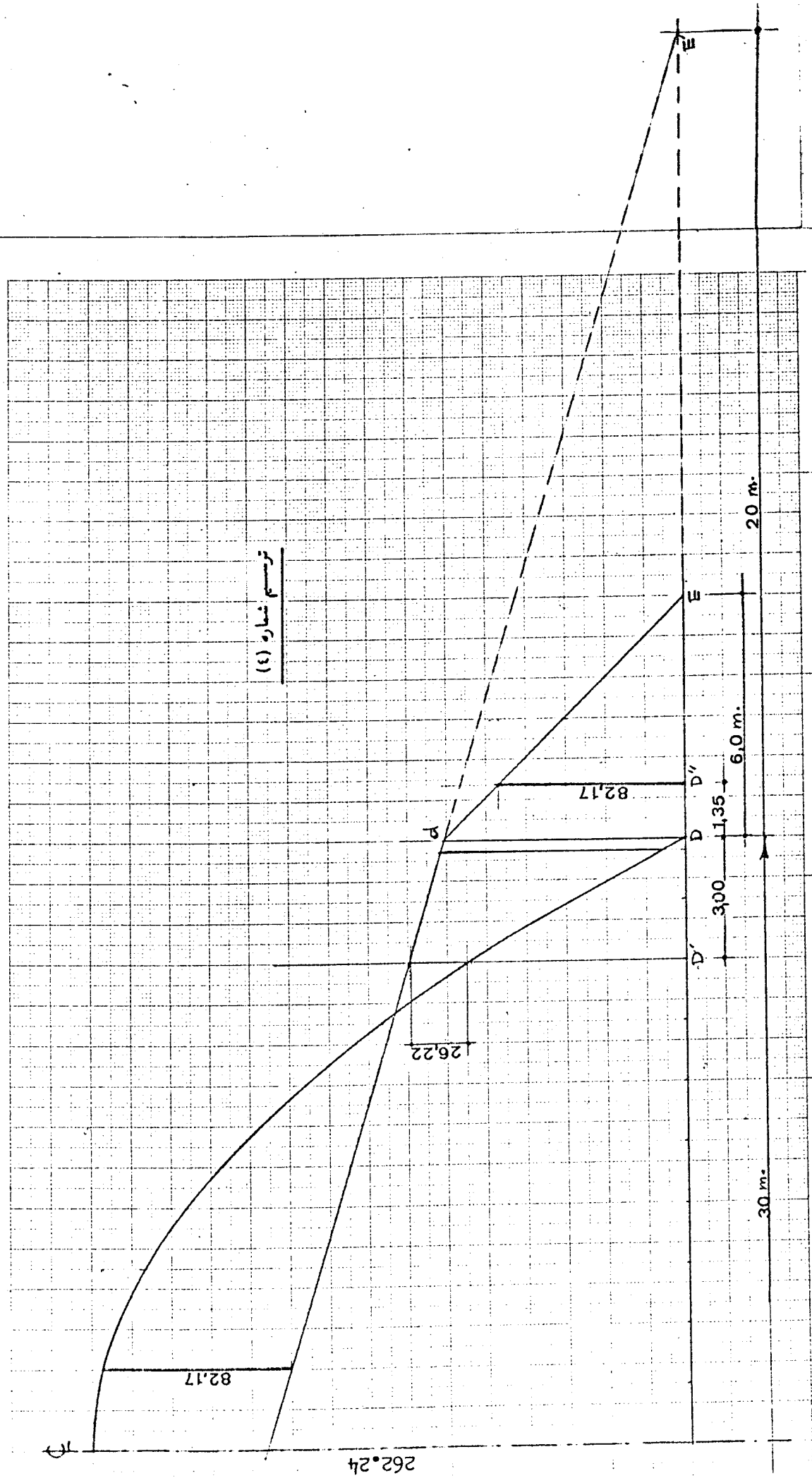
$$A = 1.75 \times 26 + 1 \times 150.62 \times \frac{1}{6} = 70.60$$

$$r = \sqrt{\frac{2563}{70.60}} = 6.05 \text{ cm.}$$

$$c_b = 1.75 - 1.05 \frac{26.22}{97.03} + 0.3 \left( \frac{26.22}{97.03} \right)^2 = 1.49$$

$$F_{b2} = \left[ 1 - \frac{\left( \frac{300}{\sin 30} \times \frac{1}{6.05} \right)^2}{2 \times 1.49 \times 18000} \right] \times 2300 = 2143$$

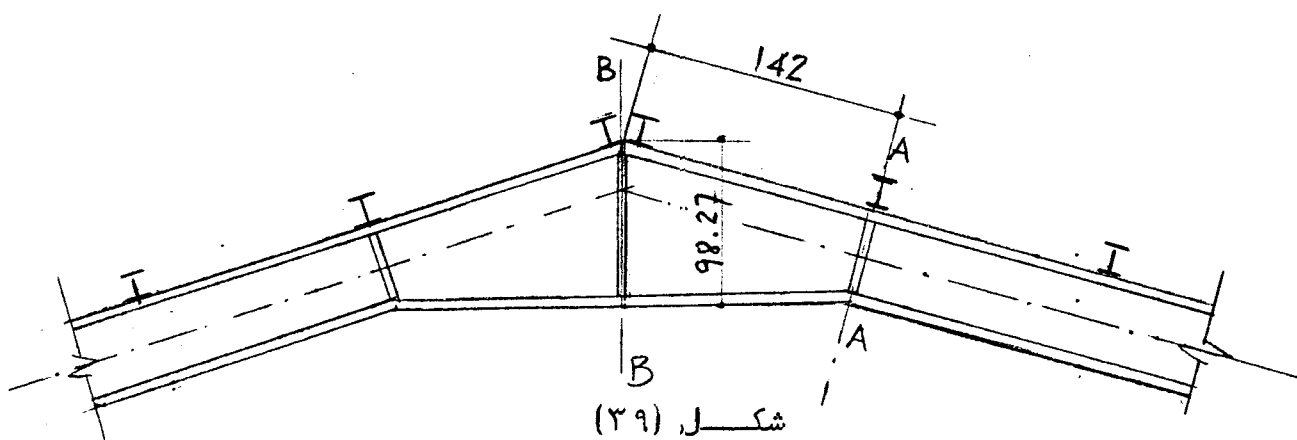




که تنش  $2143 \text{ Kg/cm}^2$  تعیین کنند « است و با مقایسه با تنش موجود، ابعاد بال موجود تایید می‌شود »

برای بوجود آوردن ما هیچه - همانطورکه اشاره شده کافیست جان تیر را در امتداد طول برید « و با خم و اضافه » کرد ن ورق پختامت 10 میلیمتر را آن « به شکل مطلوب درآورد »

### محاسبه ما هیچه در راس



ورق جان پختامت 10 میلیمتر در نظر گرفته می‌شود

$$Z_A = 3604 \text{ cm}^3$$

اساس مقطع پلاستیک در مقطع A - A

$$W_B = 5780 \text{ cm}^3$$

اساس مقطع الاستیک در مقطع B - B

تنش حاصل از خمش بین دو مقدار زیر تغییر مینماید: ( با قرائت لنگرهای زد یا گرام لنگر )

$$\frac{80.42 \times 10^5}{3604} = 2231 \text{ Kg/cm}^2 \quad \text{در شروع ما هیچه}$$

$$\frac{75.17 \times 10^5}{5780} = 1301 \text{ Kg/cm}^2 \quad \text{در راس}$$

که مطابق بند ( ۲ - ۲۲ )

$$l = (17.5 - 5.7 \times 1.301) \times 26 = 262 > 142$$

که قابل قبول است

محاسبه اتصال تیر به پایه با بکاربردن پیچ در کارگاه شکل (۴۰)

$$M = 97.03 \text{ T.m.}$$

لنگردمحل اتصال

$$V = \frac{82.17}{(6-1.35)} = 17.67 \text{ T.}$$

برش درستون

فرض شود که از بیچهای با مقاومت زیاد (H.T)

نوع 325 A بقطر 7/8 استفاده شود

بارنهای هر پیچ عبارتست از 16.3 تن.

فرض شود که طرح شکل (۴۱) را برای

دستگاه اتصال پیچ در نظر گرفته ایم

در مقطع اتصال، لنگر مقاوم، عبارتست از

کوپل نیروی کششی مجموع پیچها و فشار دار ر سطح  
تماس یعنی سطح هاشمور خورد در شکل (۴۱)

برای محاسبه از فرض مطمئن و محافظه کارانه

زیرا استفاده مینماییم:

فرض مینماییم که حد اکثر کشش نظیر بارنهای  
پیچ، در همه پیچها بوجود می آید و نیروی فشاری  
متقابل، در سطح تولید می گردد که حاصل ضرب  
مساحت این سطح در تنش جاری شدن برابر نیروی  
کششی مجموع پیچها است:

کشش حد اکثر در مجموع پیچها:

$$T = 6 \times 16.3 = 97.8 \text{ T.}$$

سطح فشاری نظیر:

$$A_c = \frac{97.8}{2.3} = 42.52 \text{ cm}^2$$

$$A = 26 \times 1.75 = 45.5$$

مقطع موجود بال:

لنگر مقاوم با محاسبه بازوی کوپل به مقدار تقریبی ۱.۵۴ متر:

$$M_R = 97.8 \times 1.54 = 150.6 \text{ T.m}$$

شکل (۴۱)

که کافی است

حد اکثر لب‌گرخمشی در صفحه اتصال حاصل از کشش پیچ (باتقریبی)

$$\frac{12}{4} \times 16.3 = 48.9 \text{ T.Cm.}$$

اساس مقطع لازم برای صفحه

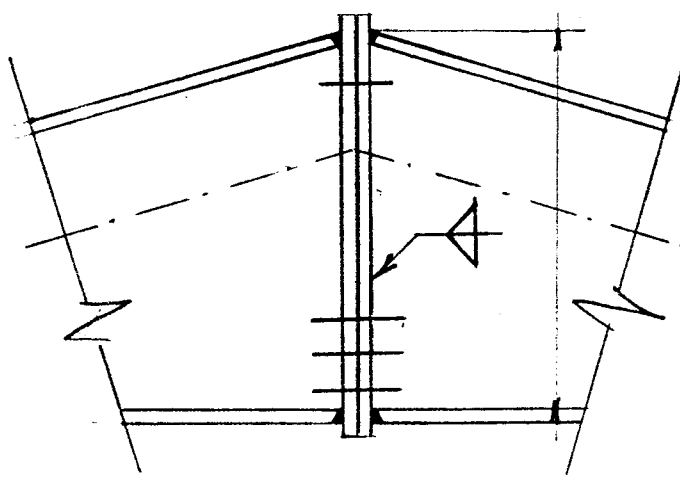
$$W = \frac{48.9}{2.3} = 21.26 \text{ Cm}^3$$

گرفته شود  
که باید با  $\frac{12}{6} t^2$   
که از آنجا بدست می‌آید :

$$t = 32 \text{ mm}$$

در این گوشه باید جان پایه را هم با گذارد ن قطعه تقویتی (مطابق شکل) مقاوم نمود.

اتصال پیچی در راس شکل (۴۲).



شکل (۴۲)

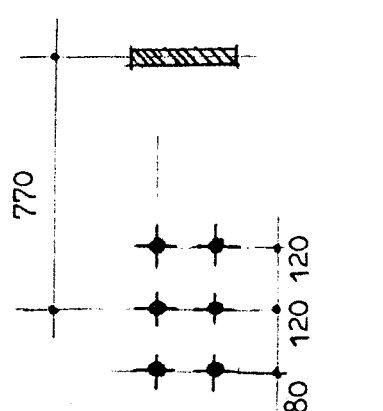
لنگرد ربارهای حدی ۷۵.۱۷ T.m.  
پیچهای اتصال را مطابق شکل (۴۳)  
در نظر می‌گیریم

کشش حد اکثر درمجموع ۶ پیچ

$$T = 6 \times 16.3 = 97.8 \text{ T.}$$

$$A_c = \frac{97.8}{2.3} = 42.52 \text{ cm}^2$$

سطح فشار



شکل (۴۳)

$$A = 26 \times 1.75 = 45.5 \text{ سطح بال موجود}$$

لنگر مقاوم (باتقریبی)

$$M_R = 97.8 \times 0.77 = 75.3 > 75.17$$

پیوست‌ها  
(جداول و نمودارها)

پیوست (۱۱) تا پیوست (۷) فرمولها و نمودارهای آماده برای قابهای شبید ارقوسی  
پیوست (۸) تا پیوست (۱۹) ضرائب مربوط به روش توزیع لنگرد رمان اینرسی متغیر

پیوست ۲۰ منحنی تعیین شعاع زانوئی

پیوست ۲۱ نمودار تعیین طول موشرستون

پیوست ۲۲ ضریب تصحیح کنند  $\beta$  درستون با ممان اینرسی متغیر

پیوست ۲۳ جدول تنشهای مجاز فشاری

پیوست ۲۴ تاثیر نسبت  $\frac{I_2}{I_1}$  در توزیع لنگرها (بار قائم)

پیوست ۲۵ تاثیر نسبت  $\frac{I_2}{I_1}$  در توزیع لنگرها (بارافقی)

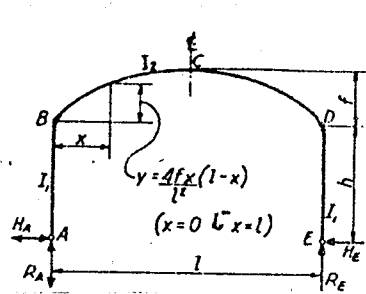
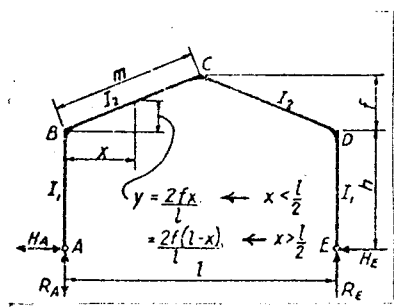
پیوست ۲۶ لنگرهای خمسی و عکس العملها در بارنهایی

پیوست ۲۷ مقادیر  $M_p$  و  $\alpha$

پیوست ۲۸ منحنی رابطه  $m$  و  $n$  در زانوئی

پیوست ۲۹ طول سقف در قابهای با سقف شبید اروم منحنی

## فرمولهای آمده برای قابهای با مقاطع ثابت



$$K = \frac{I_2 h}{I_1 m} \quad Q = \frac{f}{h}$$

$$N = 4(K + 3 + 3Q + Q^2)$$

$$K = \frac{I_2 h}{I_1 l} \quad Q = \frac{f}{h}$$

$$N = 2(10K + 15 + 20Q + 8Q^2)$$

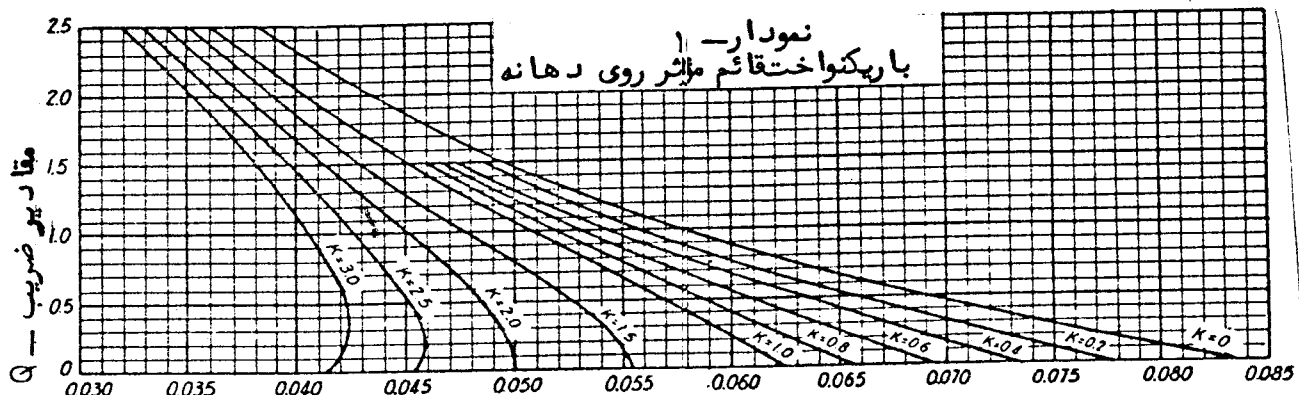
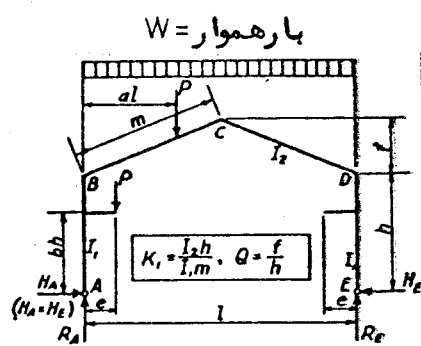
فرمولهای کمی:

در این فرمولها مقدار  $x$  در رابطه  $M_x$  همیشه از مبدأ نقطه B در نظر گرفته میشود.

علامت مثبت (+) مربوط است به لنگرهایی که در سطح رو بداخل قاب تولید کشش میکند، وقتیکه بارهای قائم از بالا به پائین وبارهای افقی از چپ به راست عمل مینطا پند. جهت عکس العملها وقسمتهاي تشکيل دهنده فرمولهای لنگر مطابق شکل میباشد. وقتیکه جهت بارها بر عکس شود ( بدون آنکه وضعیت آنها تغییر تمايد ) ممکن است جهت عکس العملها تغییر کند و علائم کیه لنگرها عوض خواهد شد.

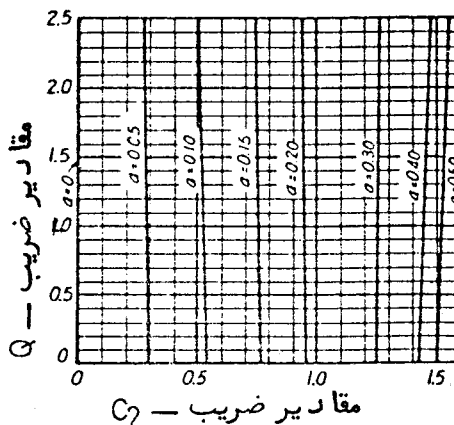
قبهای شیدار و مستطیل شکل (وقتی  $Q=0$  است قاب مستطیلی است)

ضرایب تعیین عکس العمل - برای قبهای با پای مفصلی



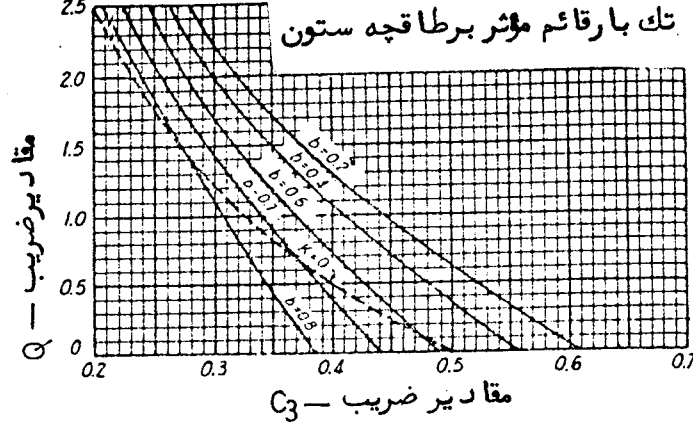
نمودار - ۲

تک بار قائم مؤثر روی دهانه



مقادیر ضریب -  $C_1$

نمودار - ۴  
تک بار قائم مؤثر بر سقف



خطوط پر در نمودار - ۳ بازه  $a$  مقادیر مختلف (b) است وقتی  $K=3$  میباشد، و خط چین بازه

تمام مقادیر (b) است وقتی  $K=0$  میباشد.

فرمولهای عکس العمل های قائم: بارهموار در تمام دهانه  
بارهموار در نیمه چپ دهانه

$$R_A = \frac{w l}{2}$$

$$R_A = \frac{3 w l}{8}$$

بارهموار در تمام دهانه

بارهموار در نیمه چپ دهانه

$$R_A = P(1-a)$$

$$R_A = \frac{P(l-e)}{l}$$

$$R_E = P a$$

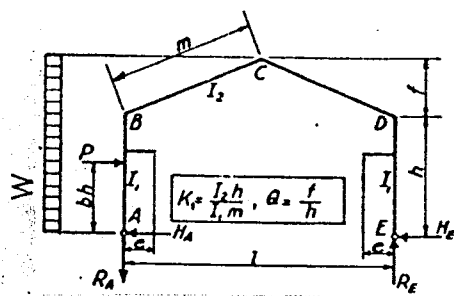
$$R_E = \frac{P e}{l}$$

تک بار قائم  $P$  مؤثر بر سقف

تک بار قائم  $P$  مؤثر بر طاقچه ستون

قابهای شیدار و مستطیل شکل (وقتی  $Q=0$  قاب مستطیل شکل است)

ضرایب تعیین عکس العمل - برای قابهای با پای مفصلی



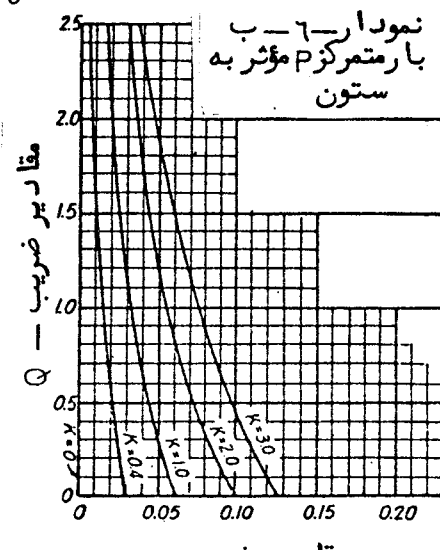
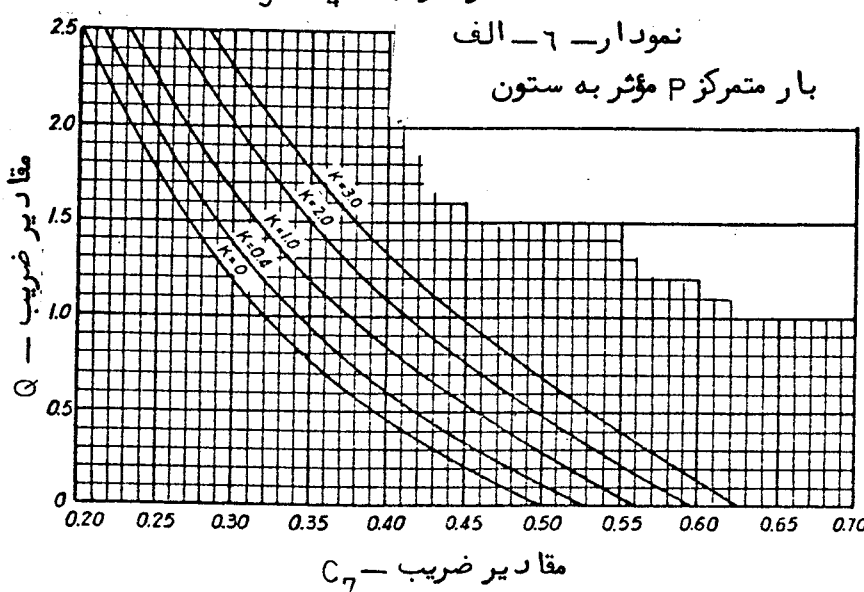
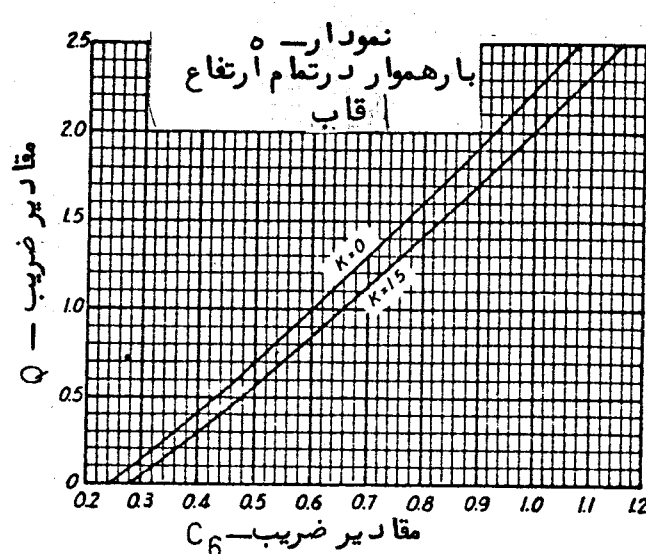
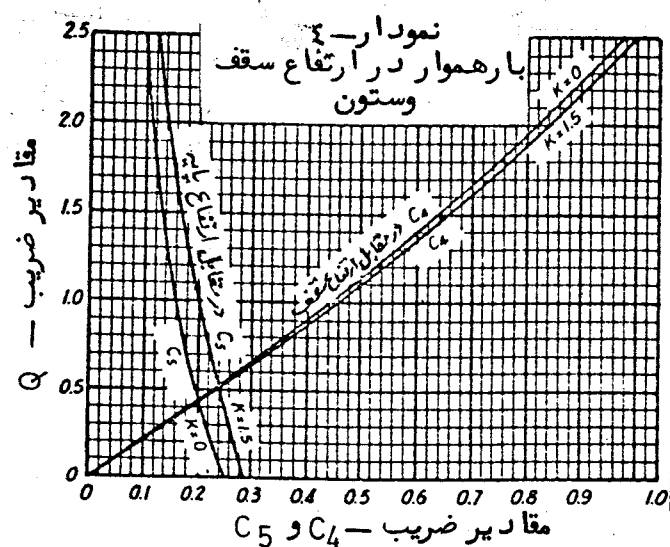
$$-\text{۴} \quad \text{برای بارهموار افقی مؤثر به سقف قاب} \quad H_0 = C_6 W h$$

$$-\text{۵} \quad \text{برای بارهموار افقی مؤثر به ستون قاب} \quad H_0 = C_5 W h$$

$$-\text{۶} \quad \text{برای بارهموار افقی مؤثر به تمام ارتفاع قاب} \quad H_0 = C_6 W h$$

$$-\text{۷} \quad \text{برای بار متغیر} P \text{ مؤثر به یک ستون قاب} \quad H_0 = Pb / (C_5 - b^2 C_6)$$

$$-\text{۸} \quad \text{برای دوبار متغیر} P \text{ مؤثر به هر دو ستون قاب دریک سطح} \quad H_0 = P$$



فرمولهای عکس العملهای قائم:

بار متغیر افقی  $P$

$$R_A = R_E = \frac{Pbh}{l}$$

$$R_A = R_E = \frac{wf(2h+l)}{2l}$$

بارهموار افقی مؤثر به سقف

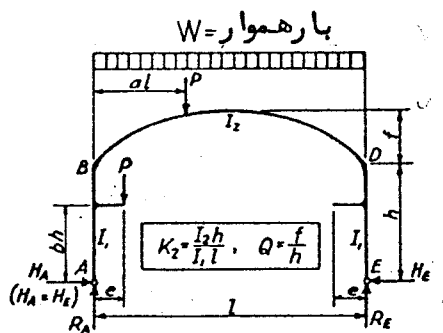
$$R_A = R_E = \frac{wh^2}{2l}$$

$$R_A = R_E = \frac{w(h+f)^2}{2l}$$

بارهموار افقی مؤثر به ستون

بارهموار افقی در تمام ارتفاع قاب

ضرایب عکس العمل - برای آثارهای با پای مفصلی



$$H_e = C_{\text{eff}} I^2 / H_0$$

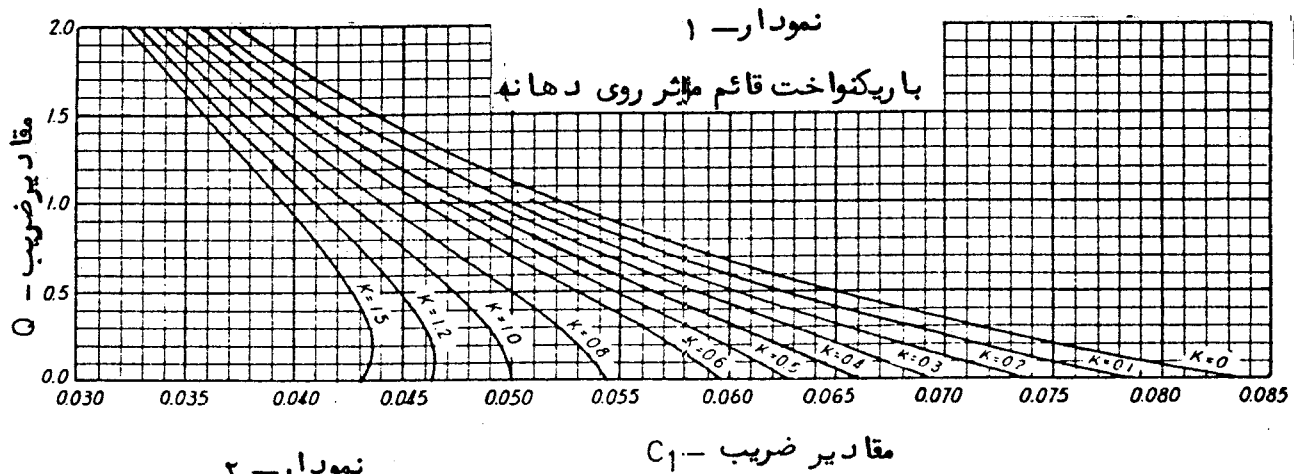
( $H_E = C_w l^3 / 2H$ ) وقتیکه فقط نصف دهانه بارشد ه است)

۲- قاب انتهایی آزیک (al) بفاصله  $P_L$  برای تک بار  $H_c = C_s C_p P_L / H$

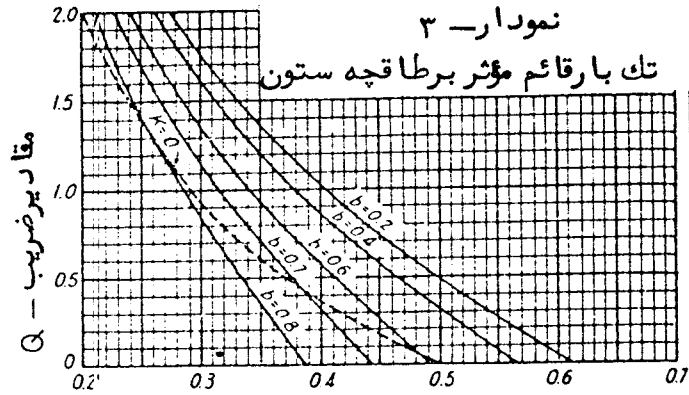
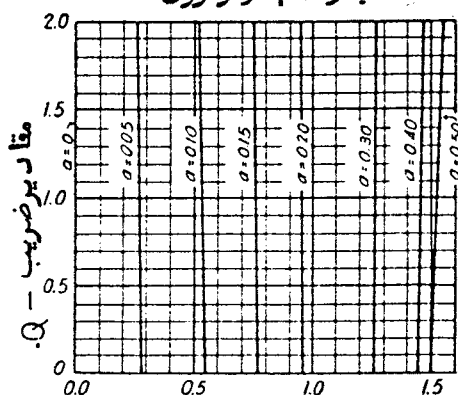
وقتیکه دو تک بار برابر با میانگین بفاصله  $\Delta t$  زهرات ها اشترکند )

<sup>۳</sup>  $H_e = C_3 Pe / h$

وقتیکه دوتک بار برابر  $P$  برانتهای هر طاقچه اثرکند)



تک بار قائم مؤثر روی دهانه



## مقادیر ضریب - C<sub>j</sub>

خطوط پر رنودار - ۳ بازاء مقادیر مختلف (b) است وقتی  $K = 3$  می‌باشد، و خط چین بازاء تمام

مقدار پیر(b) است وقتی  $K=0$  میباشد.

$$R_A = \frac{wl}{2}$$

$$R_A = \frac{3wl}{8}$$

$$R_E = \frac{w}{\pi}$$

$$R_e = \frac{wL}{8}$$

فرمولهای عکس المعلماتی قائم: باریکواخت در تام رهانه

## باره‌هوار در نیمه چپ راهانه

$$\beta_1 = P(1-q)$$

$$R_A = \frac{P}{(1-e)}$$

$$R_t \cdot Pe$$

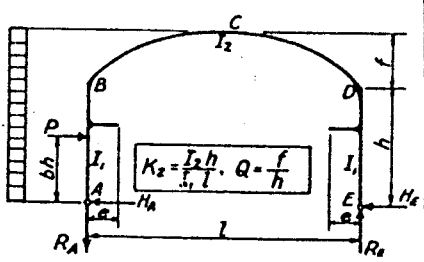
$$R_e = \frac{P_e}{T}$$

تک بار قائم P مؤثر بر سقف

تک بار قائم پ مؤثربر طاقچه ستون

قابهای سه‌میس و مستطیل شکل (وقتی  $Q = 0$  = قاب مستطیل شکل است)

ضرایب تعیین عکس العمل - برای قابهای با پای مفصلی



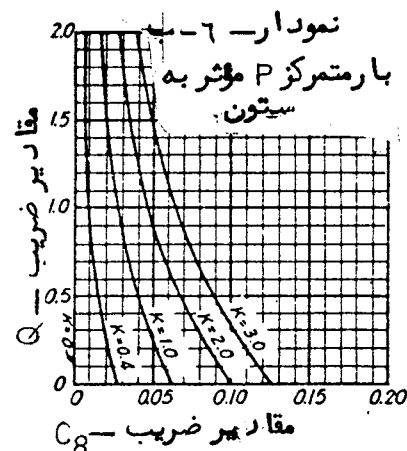
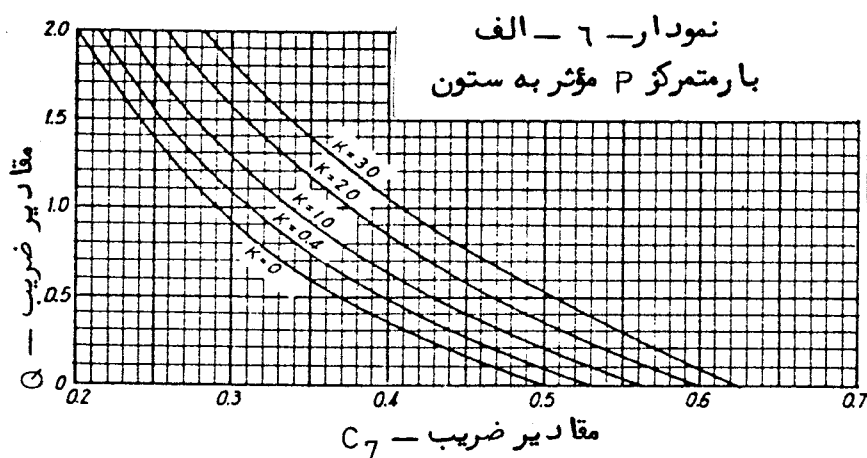
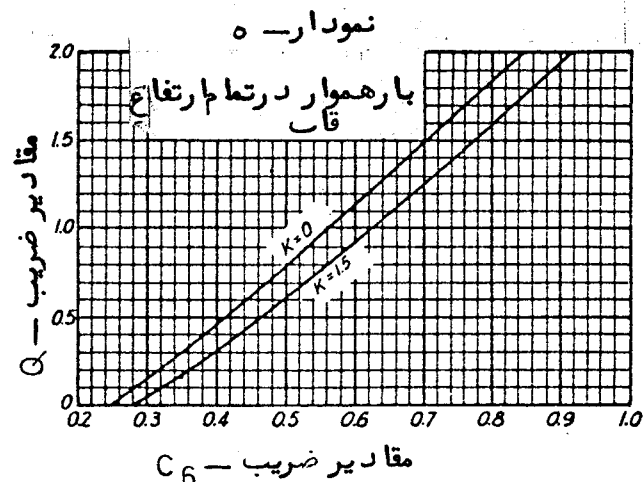
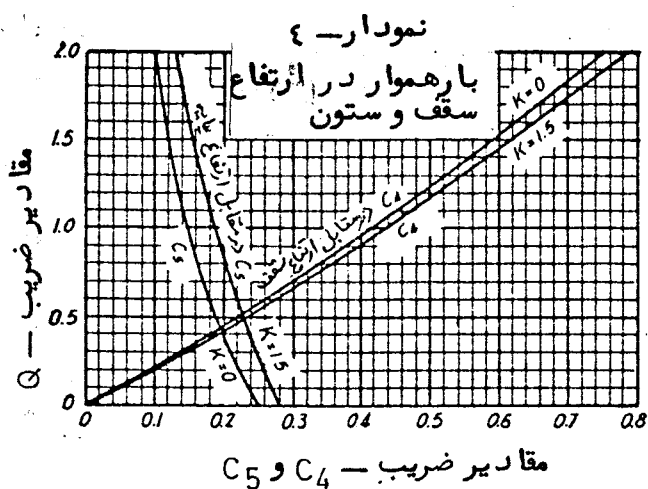
برای بارهموار افقی مؤثر به سقف قاب — ۴

برای بارهموار افقی مؤثر به ستون قاب — ۴

برای بارهموار افقی مؤثر به تطم ارتفاع قاب — ۵

برای بار متغیر  $P$  مؤثر به هر دو ستون قاب ( $b \leq 1.0$ ) — ۶

برای دوبار متغیر  $P$  مؤثر به هر دو ستون قاب در پل سطح — ۷



فرمولهای عکس العملهای قائم:

بار متغیر افقی  $P$

بارهموار افقی مؤثر به سقف

بارهموار افقی مؤثر به ستون

بارهموار افقی در تطم ارتفاع قاب

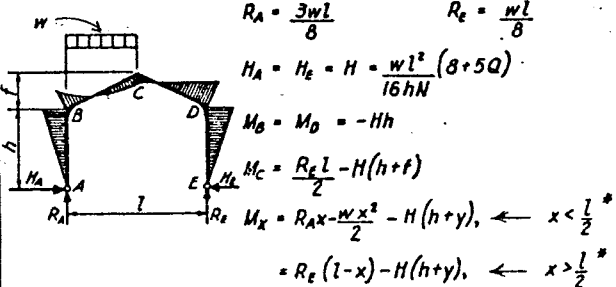
$$R_A = R_E = Pbh$$

$$R_A = R_E = \frac{wf(2h+f)}{2l}$$

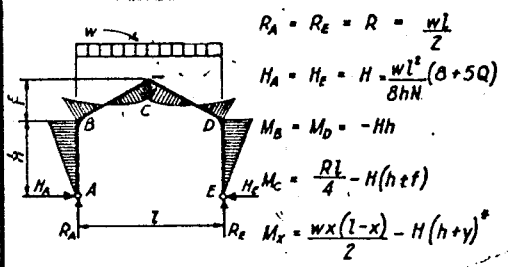
$$R_A = R_E = \frac{wh^2}{2l}$$

$$R_A = R_E = \frac{w(h+f)^2}{2l}$$

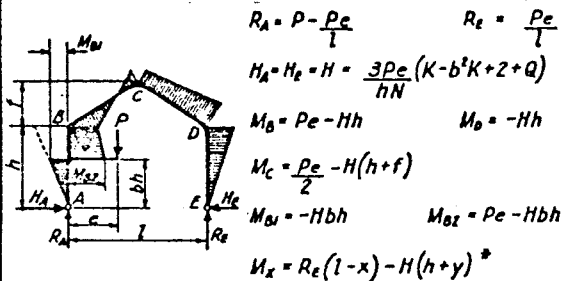
### الف - بار قائم یکنواخت در نصف رهانه



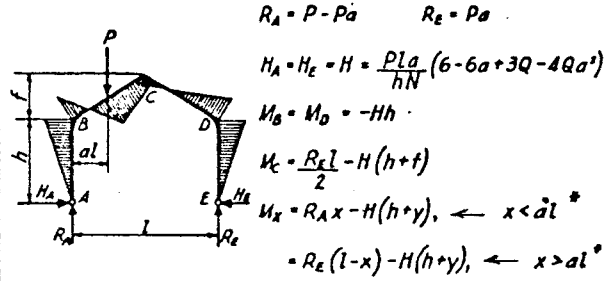
### حالت ۱ - بارگسترده یکنواخت قائم در تمام رهانه



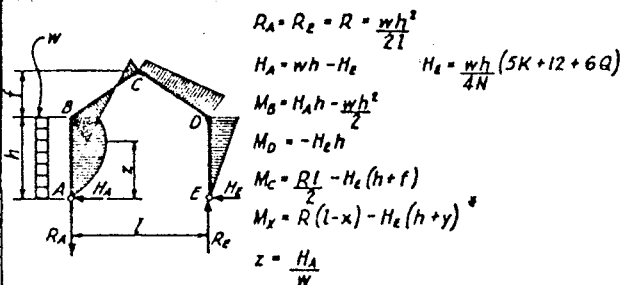
### حالت ۲ - تک بار مؤثر بر طاقجه ستون سمت چپ



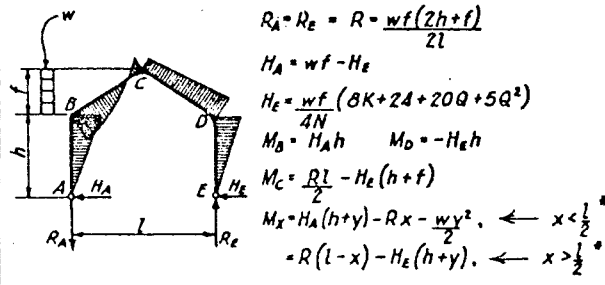
### حالت ۳ - تک بار مؤثر بر هر نقطه از تیرقاب



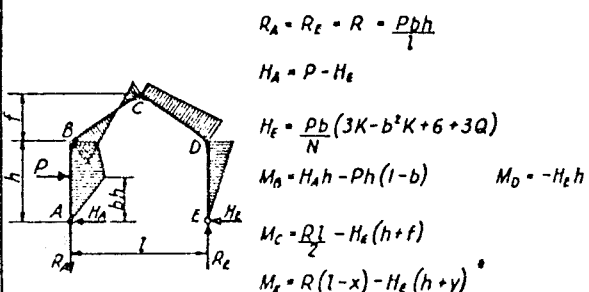
### حالت ۴ - بار یکنواخت افقی مؤثر بر ستون تنها



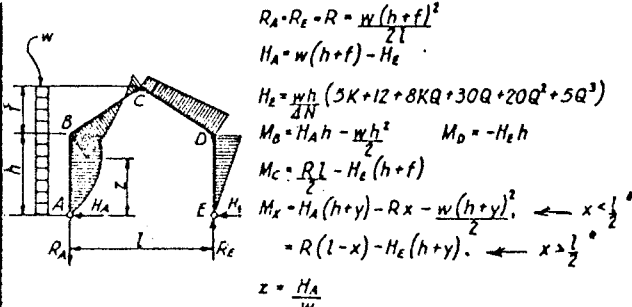
### حالت ۴ - الف - بار یکنواخت افقی مؤثر بر سقف تنها



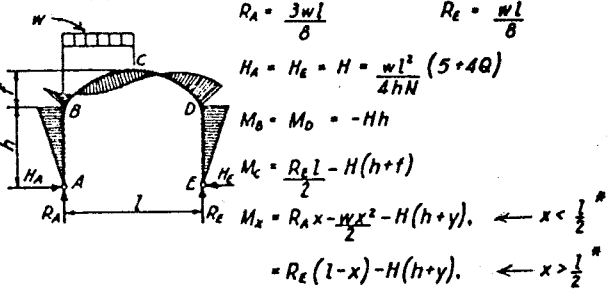
### حالت ۵ - تک بار افقی مؤثر به سقف و ستون



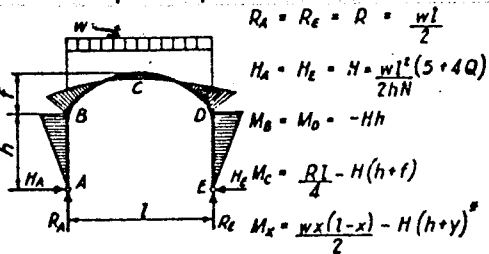
### حالت ۵ - بار یکنواخت افقی مؤثر به سقف و ستون



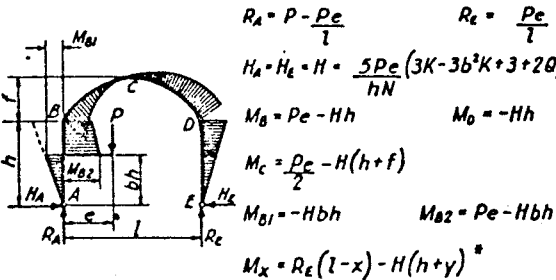
### الف - بار قائم پکواخت در نصف دهانه



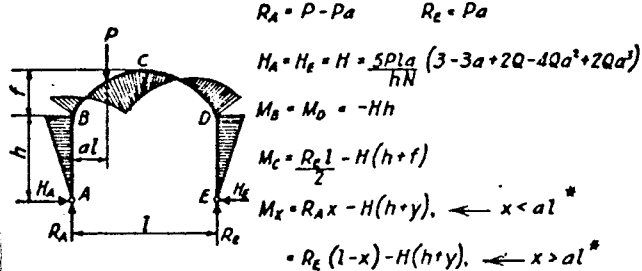
### حالت ۱ - بارگشت و یکپاخت قاعده رطام دهانه



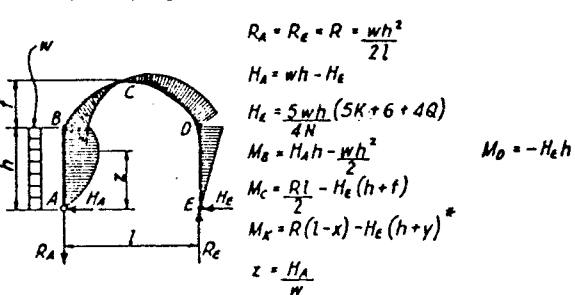
### حالت ۲ - تک بار مؤثر بر طاقچه ستون سمت جیب



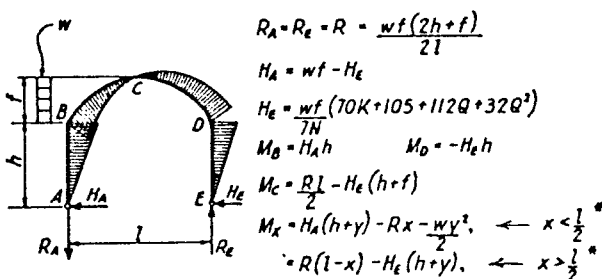
### حالت ۲ - تک بار قائم مؤثر در هر نقطه از تیر قاب



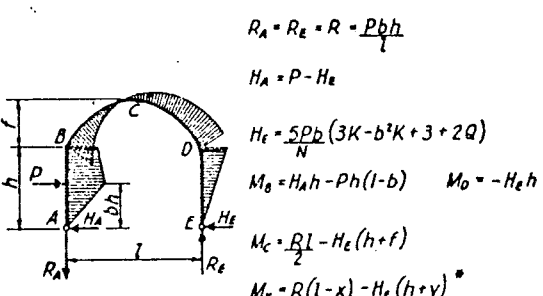
### حالت ۳ - باریکپاخت افقی مؤثر بر ستون تنها



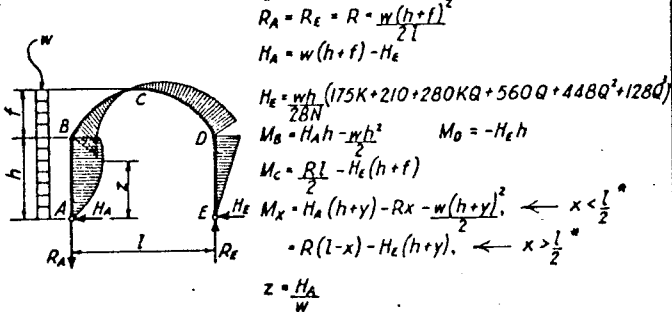
### حالت ۴ - الف - باریکپاخت افقی مؤثر به سقف تنها



### حالت ۵ - تک بار افقی مؤثر به هر نقطه از ستون



### حالت ۵ - باریکپاخت افقی مؤثر به سقف و ستون



پیوست (۸)

فهرست و توضیحات مربوط به :

ضرایب توزیع لنگر برای تیرهای بامان اینرسی متغیر

پیوست (۹) ضریب شکل  $n$

پیوست (۱۰) ضرایب سختی (یا صلبیت چرخشی)  $K_{ab}^n$  برای حالتی که تکیه گاه دیگر گیردار است

پیوست (۱۱) ضرایب سختی (یا صلبیت چرخشی)  $K_{ab}^n$  برای حالتی که تکیه گاه دیگر آزاد است

پیوست (۱۲) ضرایب سختی (یا صلبیت چرخشی)  $K_{ba}^n$  برای حالتی که تکیه گاه دیگر گیردار است

پیوست (۱۳) ضرایب سختی (یا صلبیت چرخشی)  $K_{ba}^n$  برای حالتی که تکیه گاه دیگر آزاد است

پیوست (۱۴) ضرایب انتقال لنگر  $COF_{ab}$

پیوست (۱۵) ضرایب انتقال لنگر  $COF_{ab}$  ولنگرهای گیرداری تکیه گاه (بارهوارگسترده)

پیوست (۱۶) و (۱۷) و (۱۸) لنگرهای گیرداری تکیه گاه (بار مرکزی)

پیوست (۱۹) لنگرهای گیرداری تکیه گاه (انتقال گره)

توضیحات :

۱— منظور از ضریب شکل ( $n$ ) ضریبی است که عامل شکل هندسی تیر را در حالت ممان اینرسی

متغیر، در نتیجه محاسبه منعکس مینماید. ضریب شکل  $n$  از ۲ تا ۳ متغیر است.

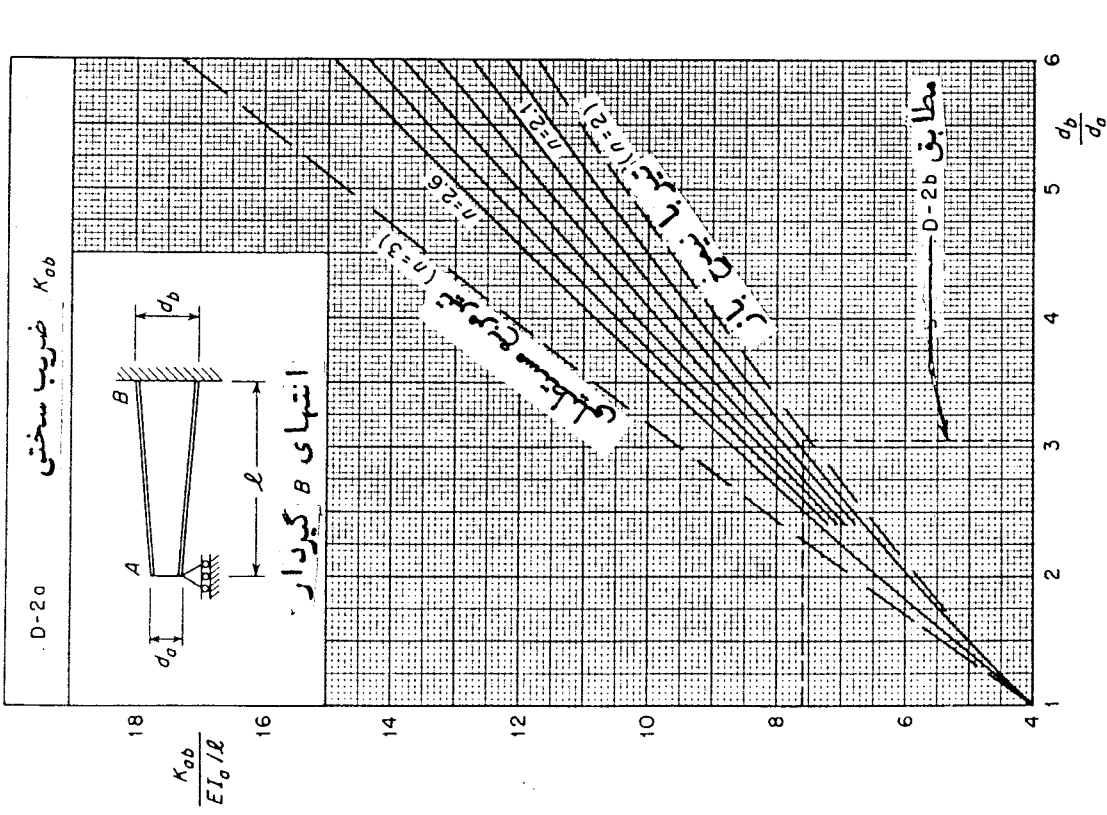
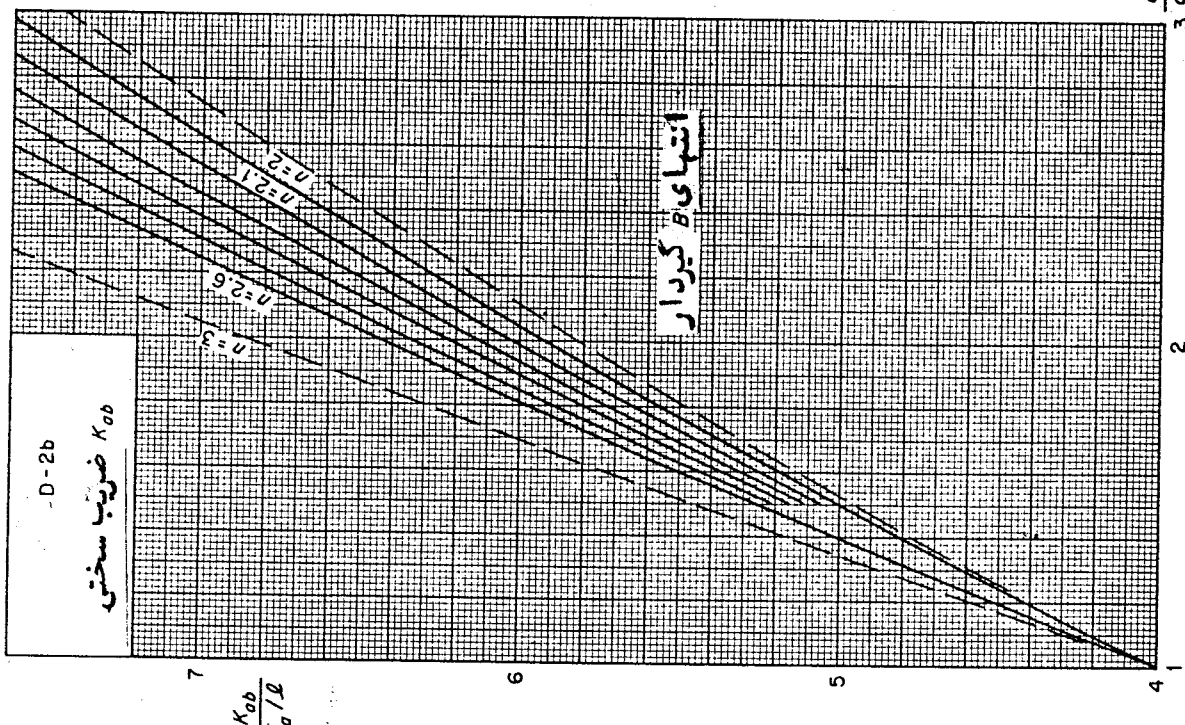
۲— در تیرهای با مقاطع I و تا مقاطع قوطی شکل، ضریب  $n$  از ۲.۰۱ تا ۲.۰۶ تغییر مینماید.

۳— منظور از تیر مربع مستطیلی، تیری است که مقطع آن بشکل مربع مستطیل پرداشده رایین

تیرها  $3 = n$  است.

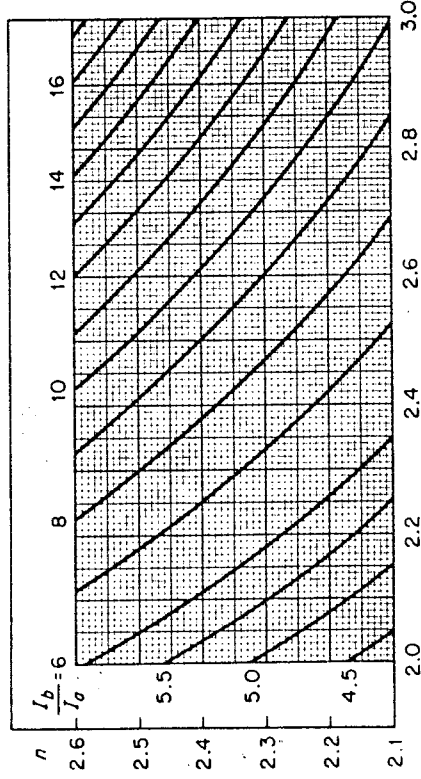
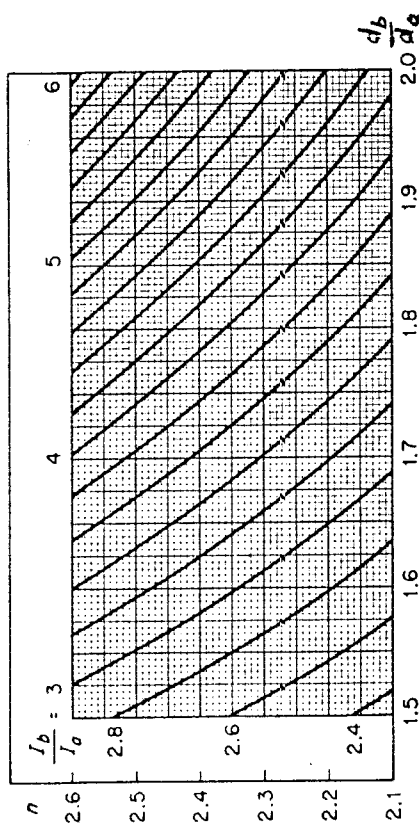
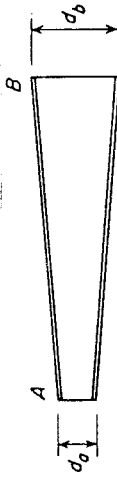
۴— منظور از تیر بانیمrix باز، تیری است که نیمrix آن با جان سوراخ داریا مشبك باشد و

بطورکلی دارای جان پرنباشد. در این تیرها  $2 = n$  است.



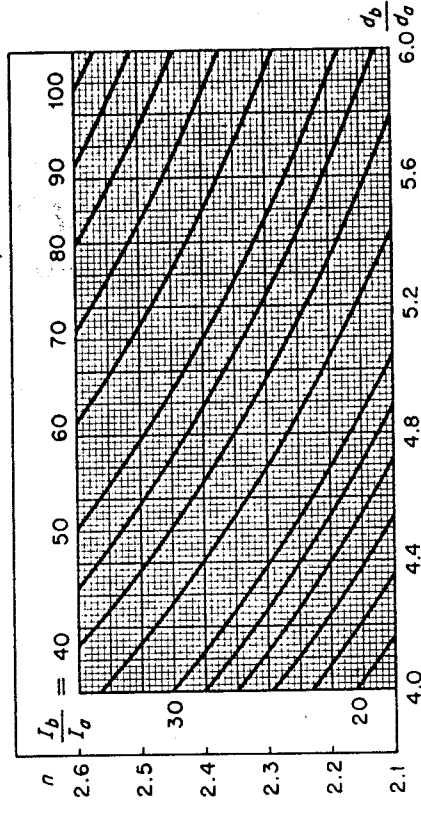
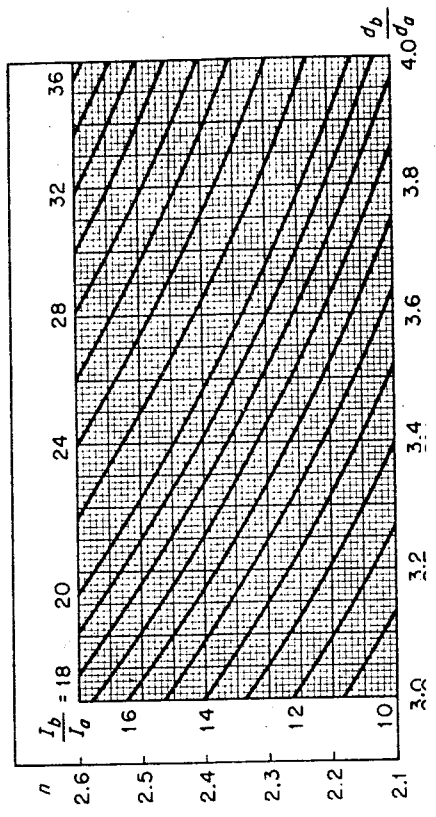
پیوست (۹)

٦٣ ضریب شکل . ۰ - ۱۰

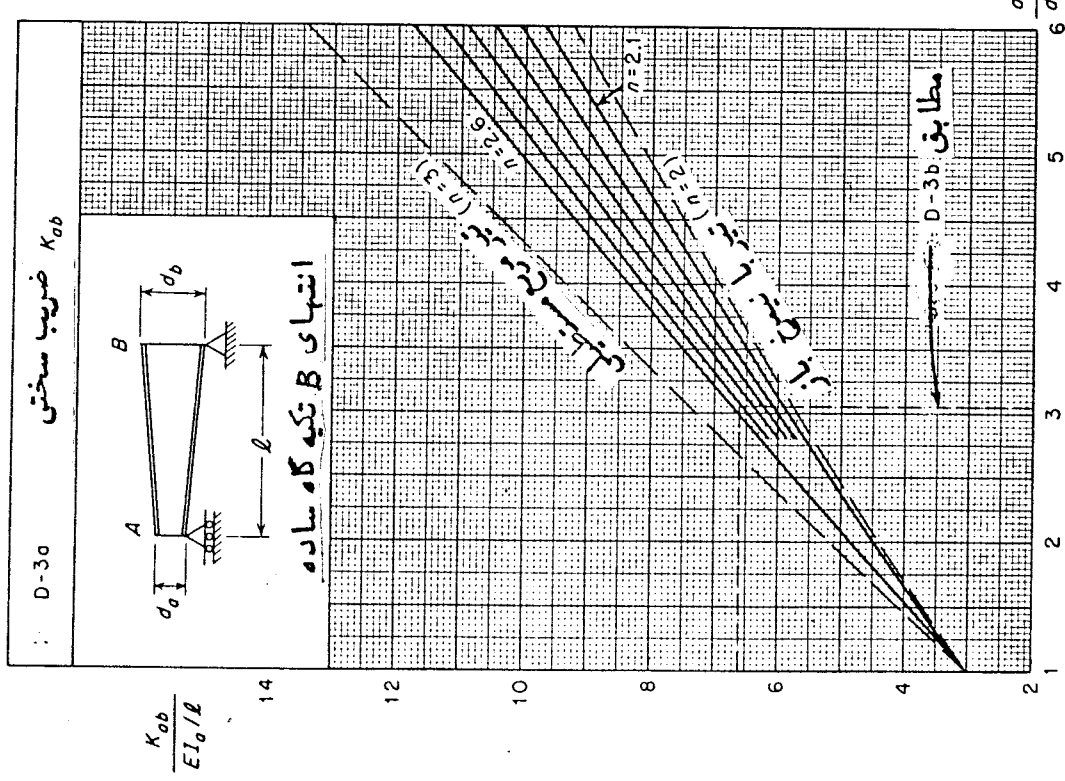
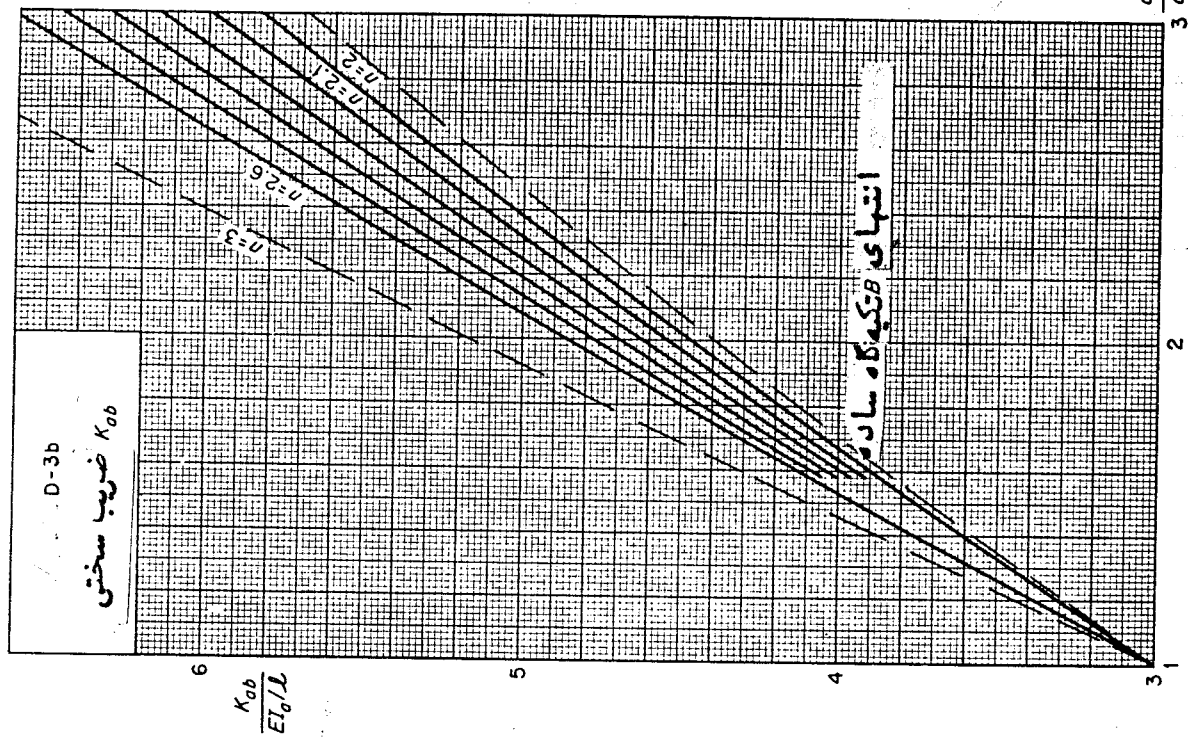


( ۱۱۲ )

D-1b SHA - n

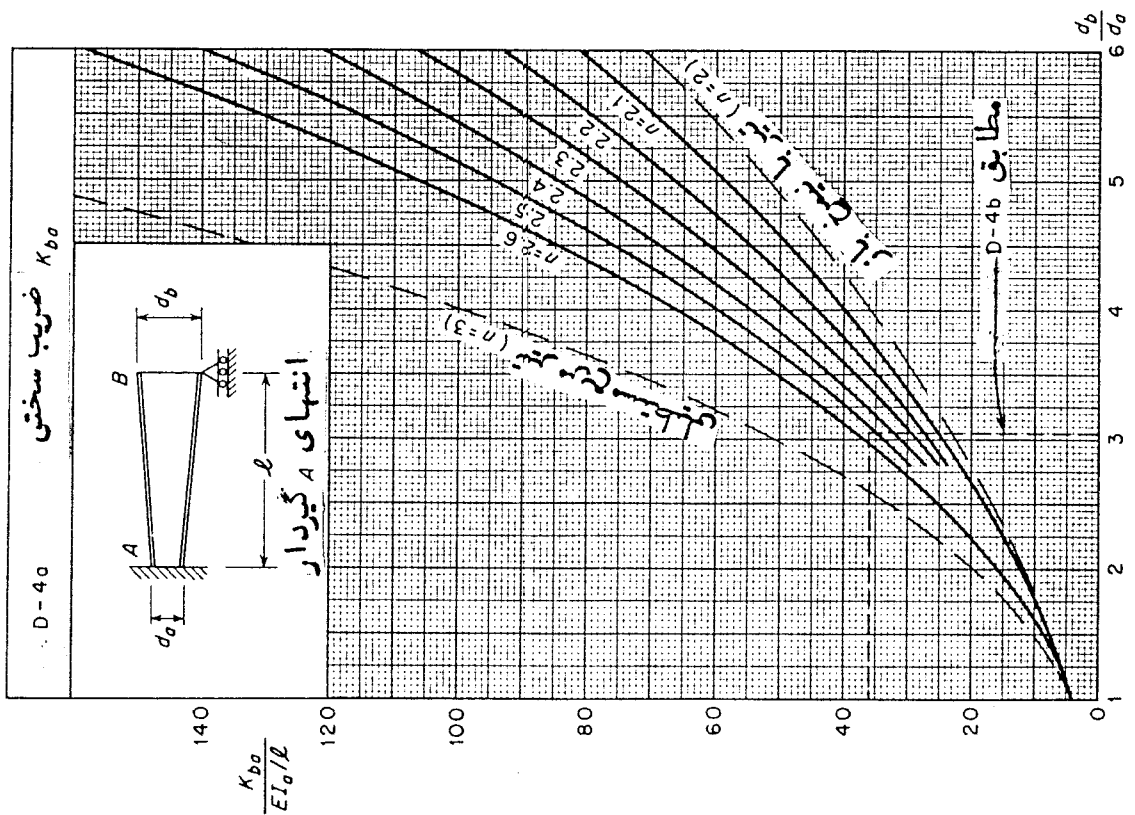
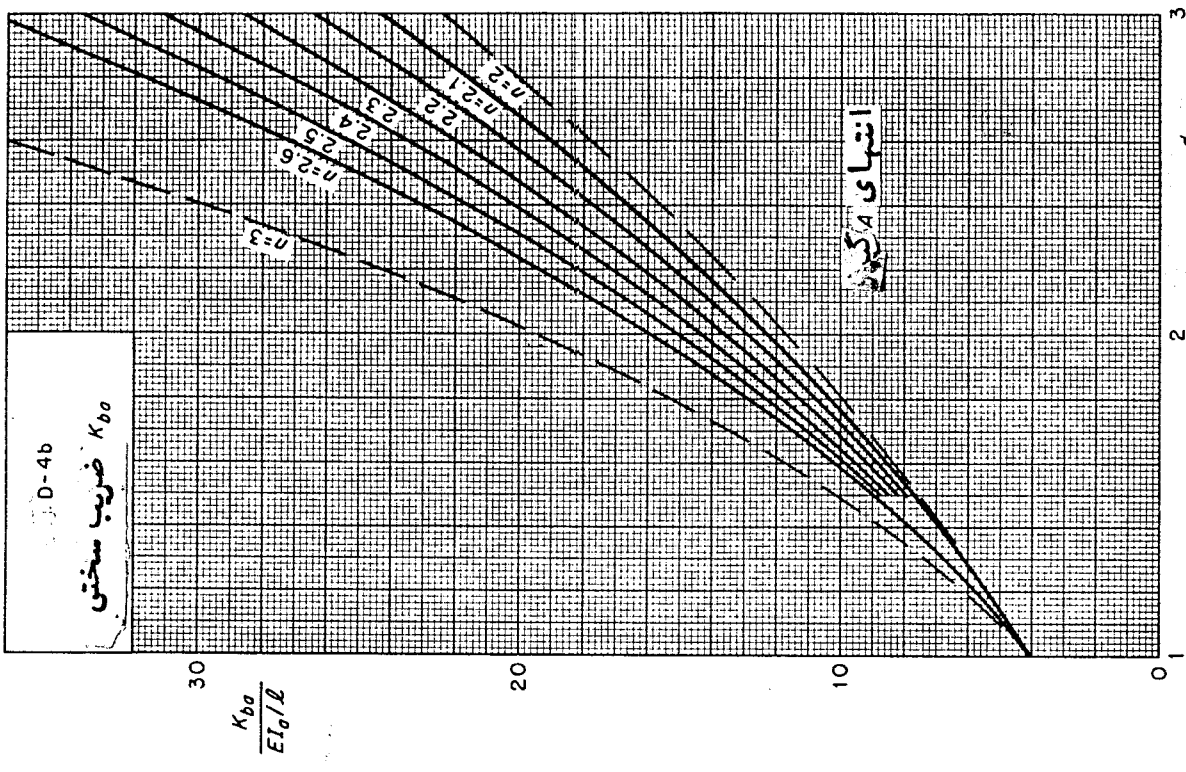


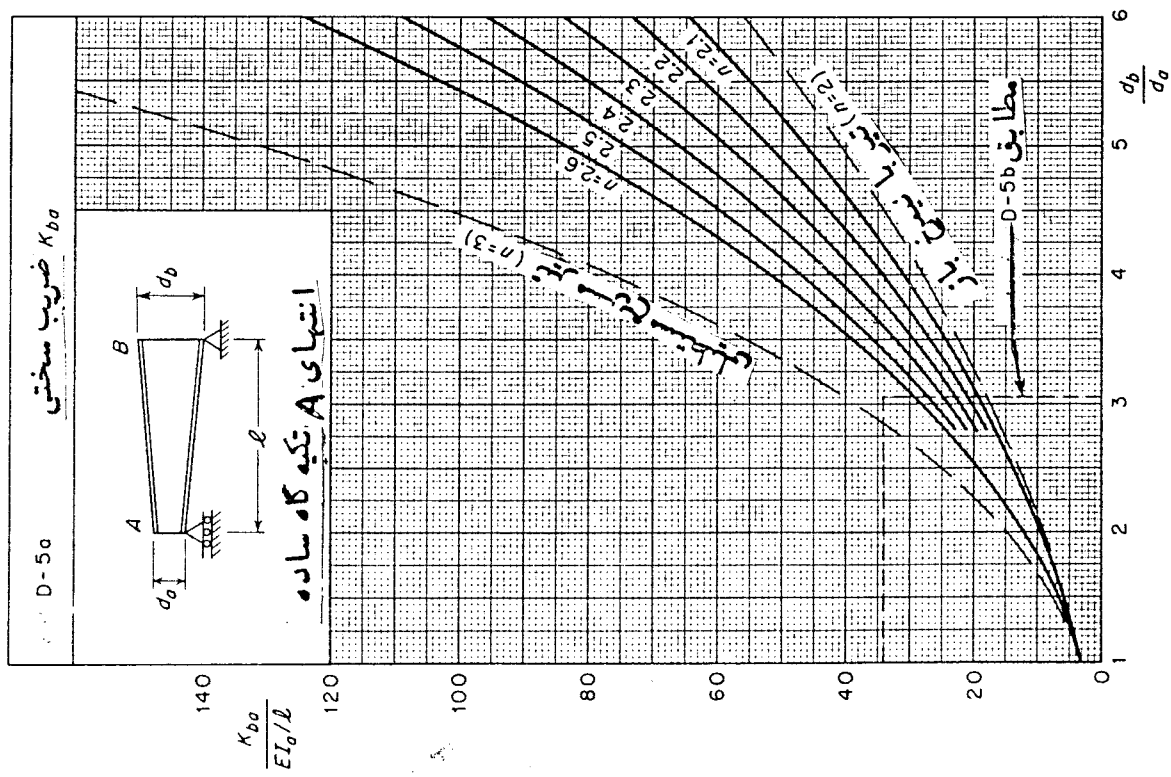
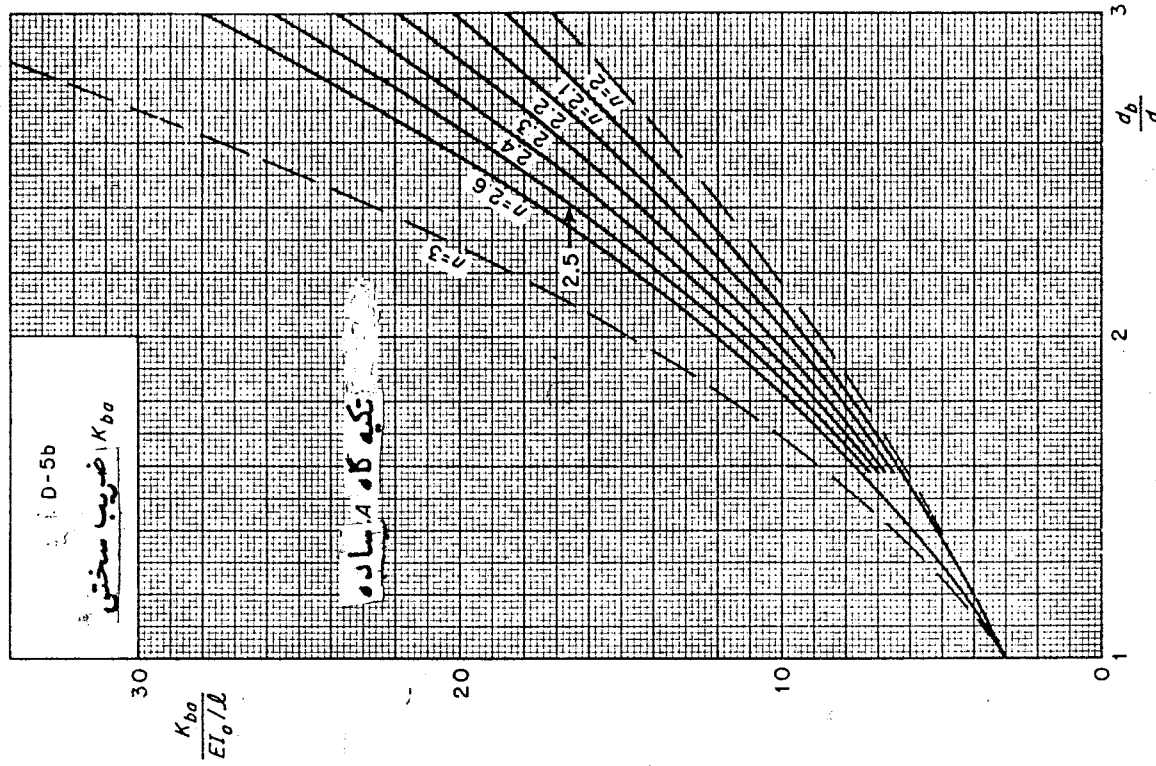
پیوست (۱۱)

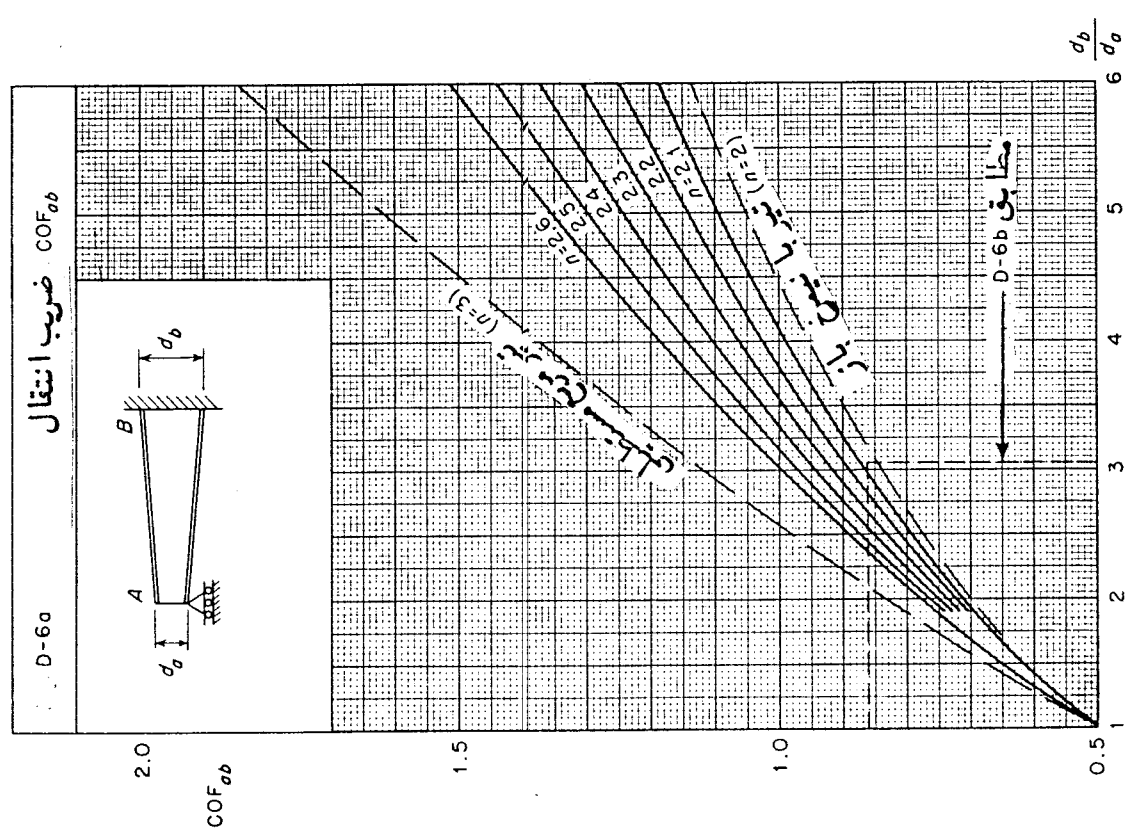
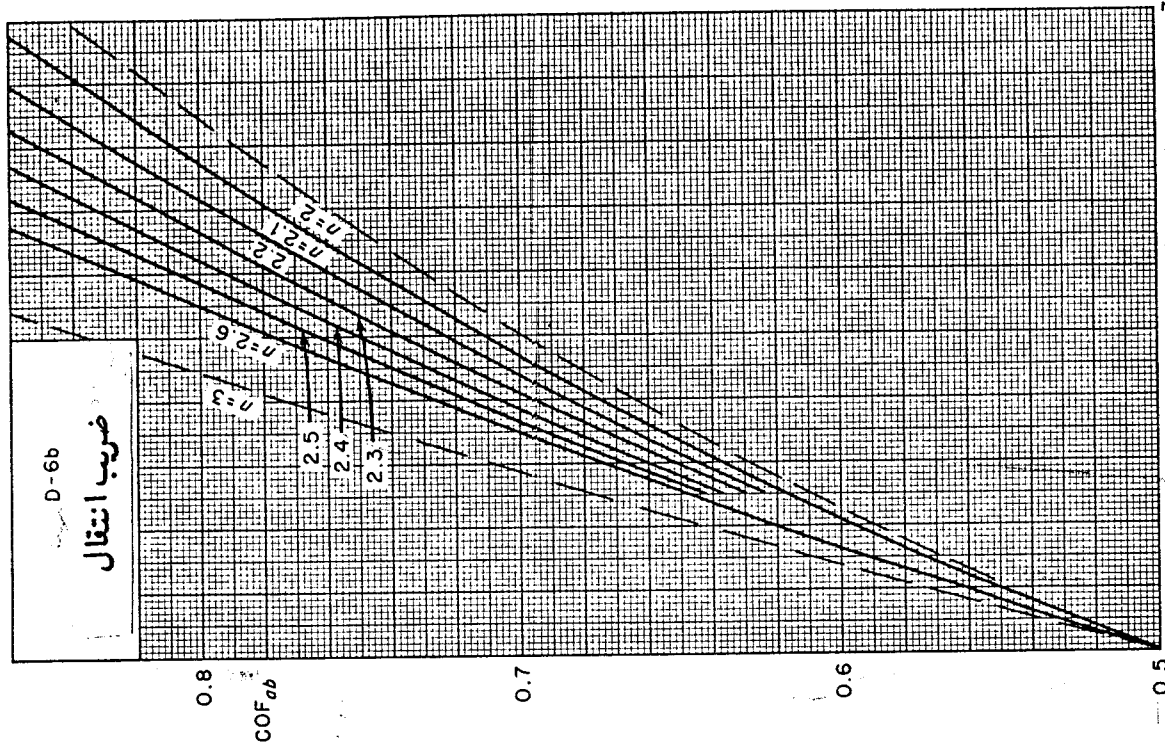


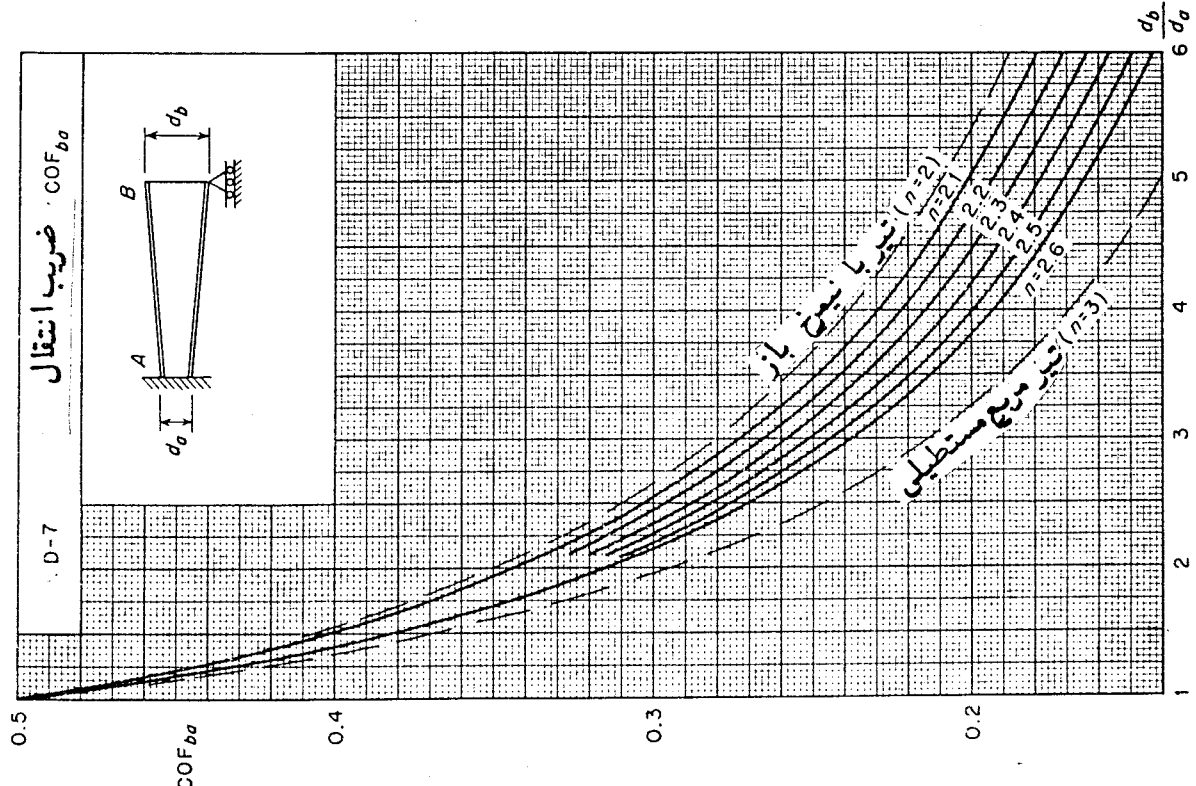
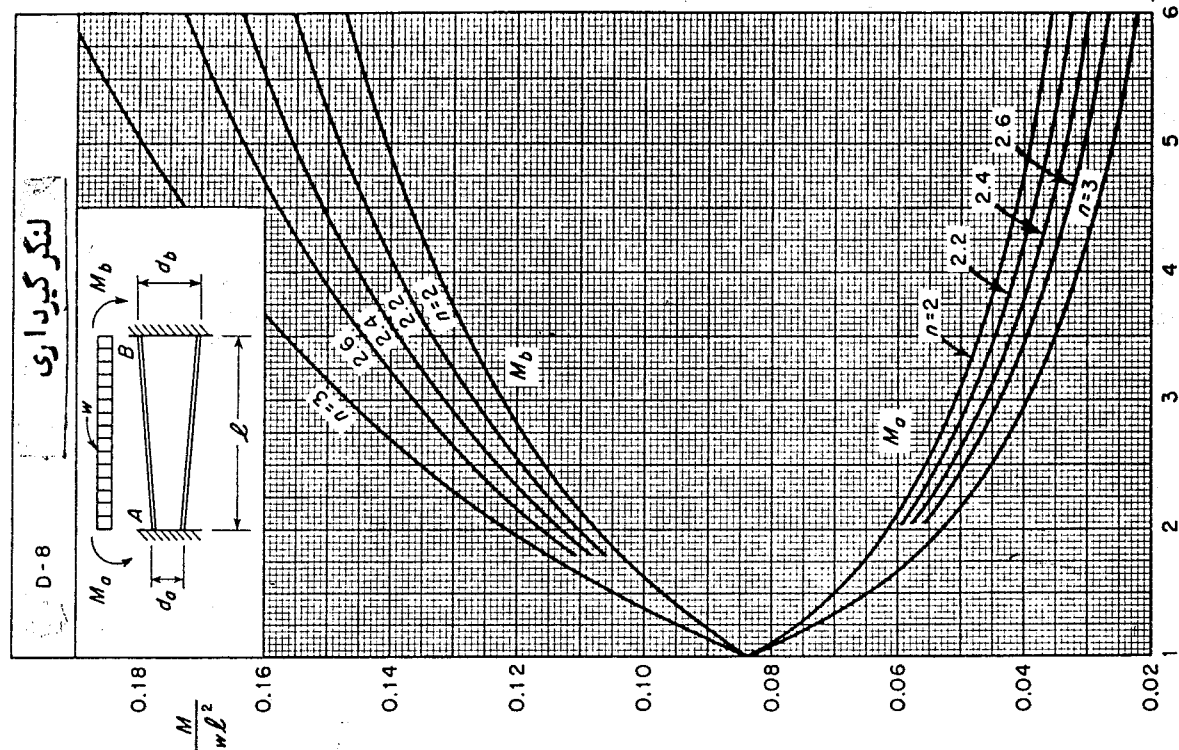
(۱۱۰)

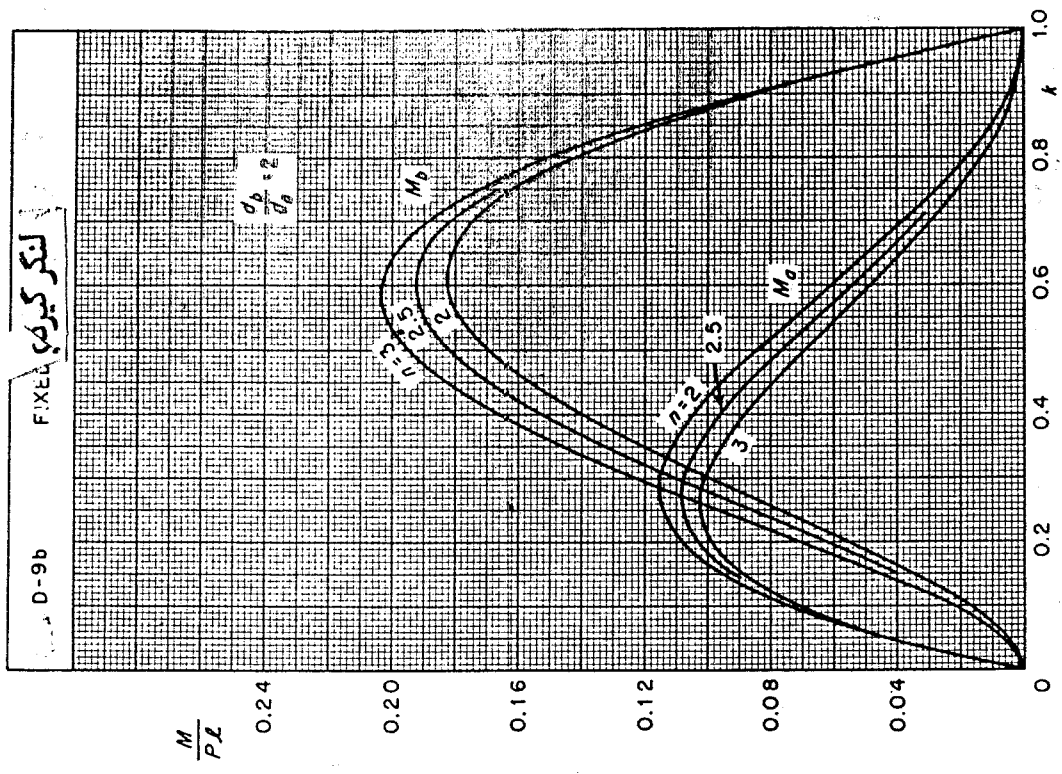
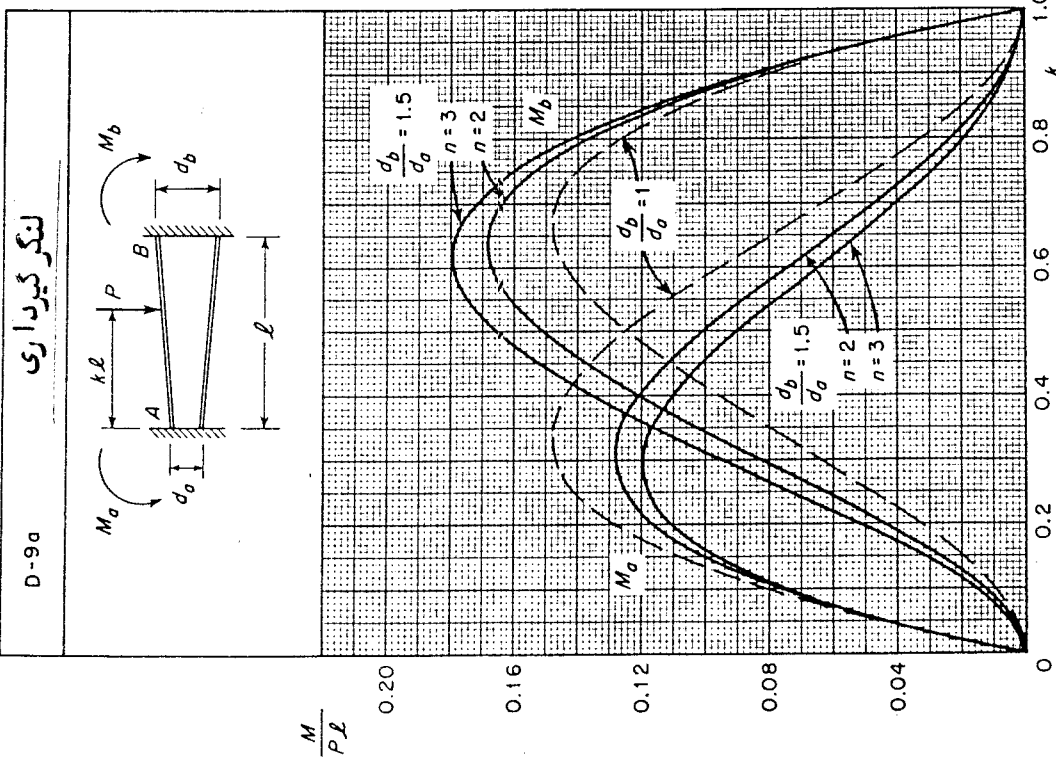
$$\frac{d_b}{d_0} = \frac{3}{3 - \frac{K_{ab}}{EI_b/l}}$$

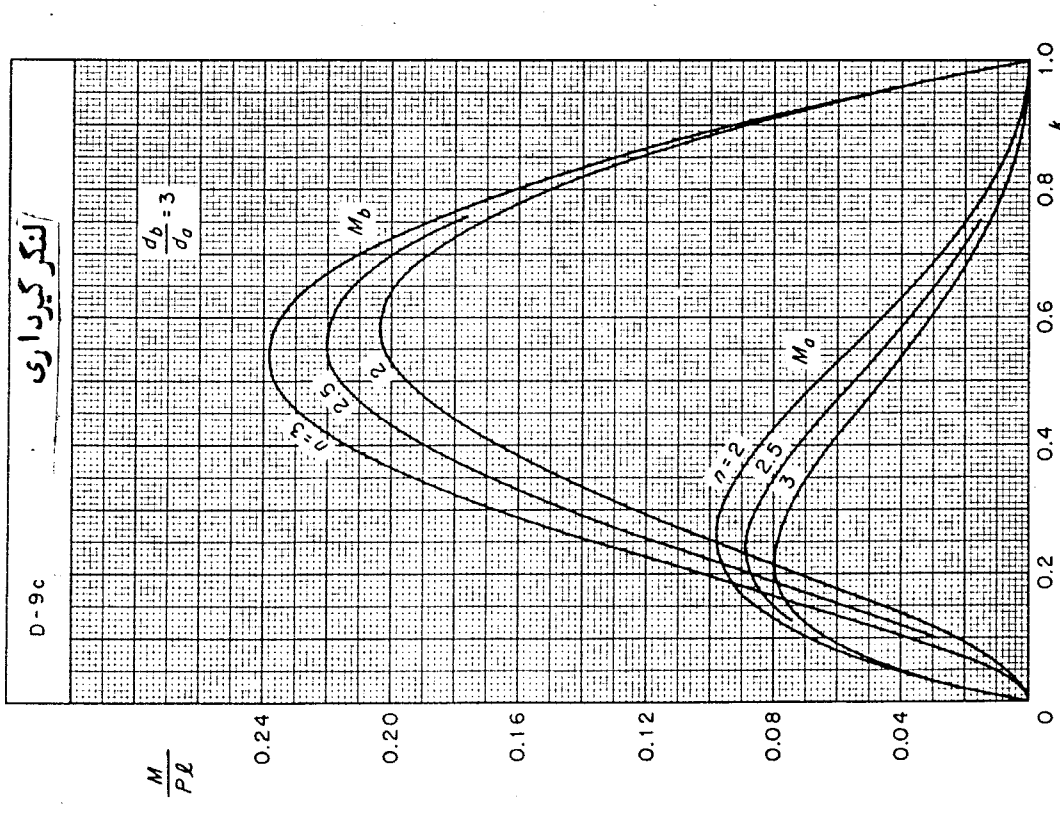
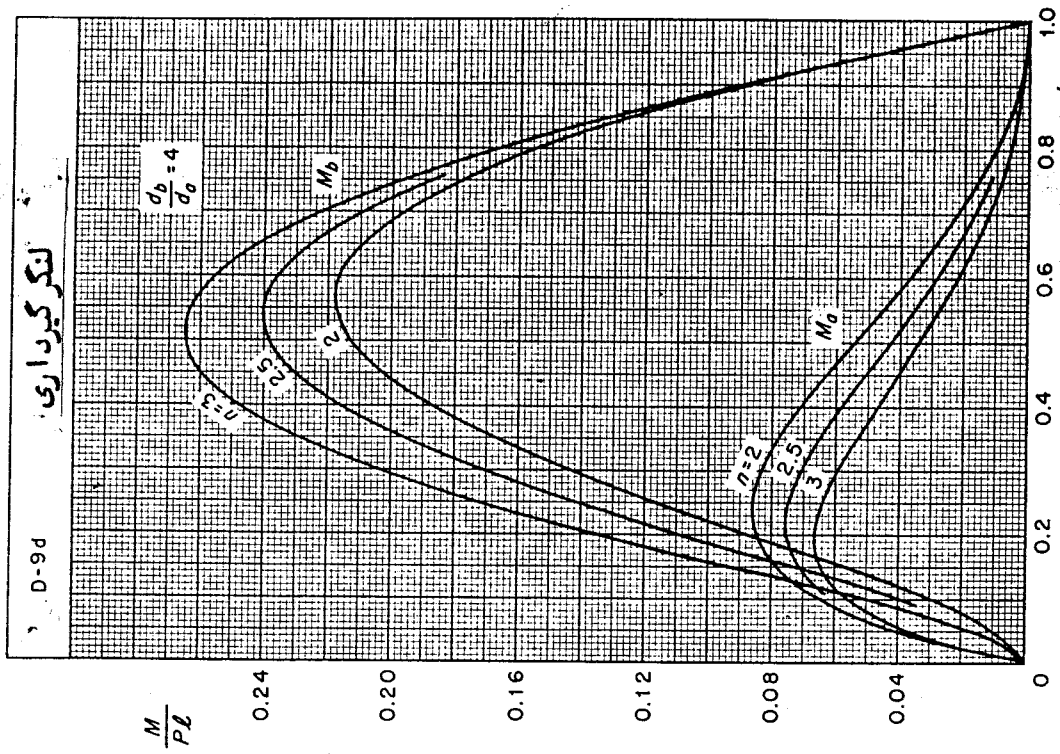


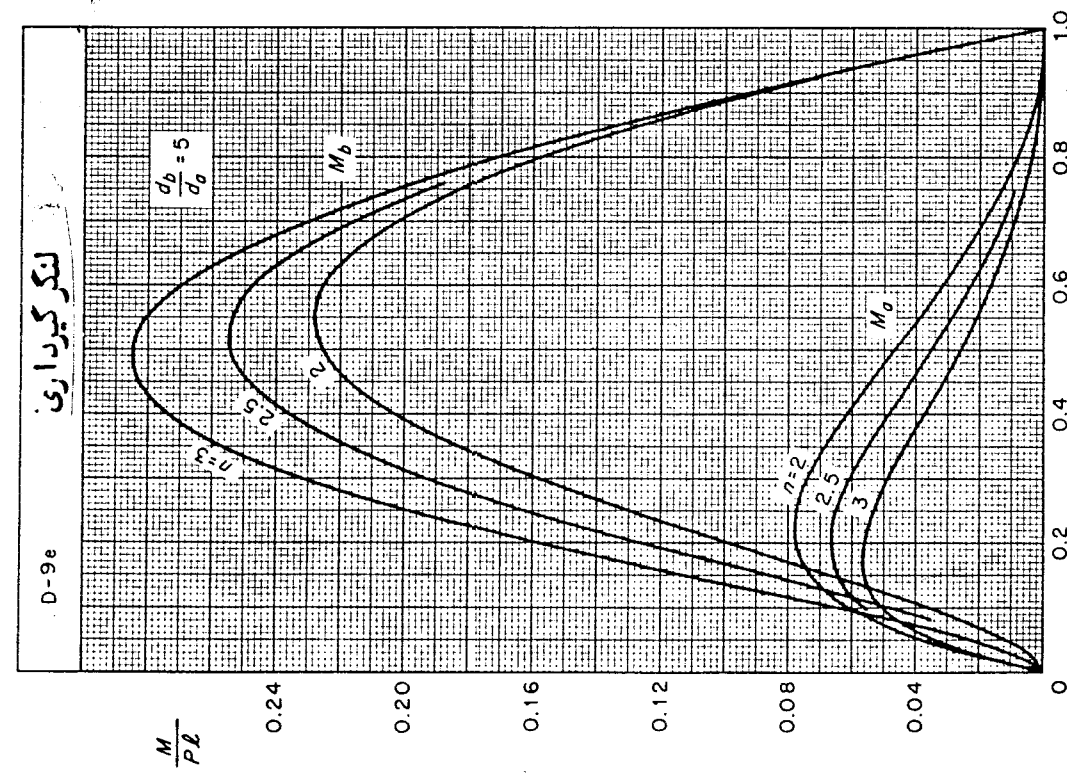
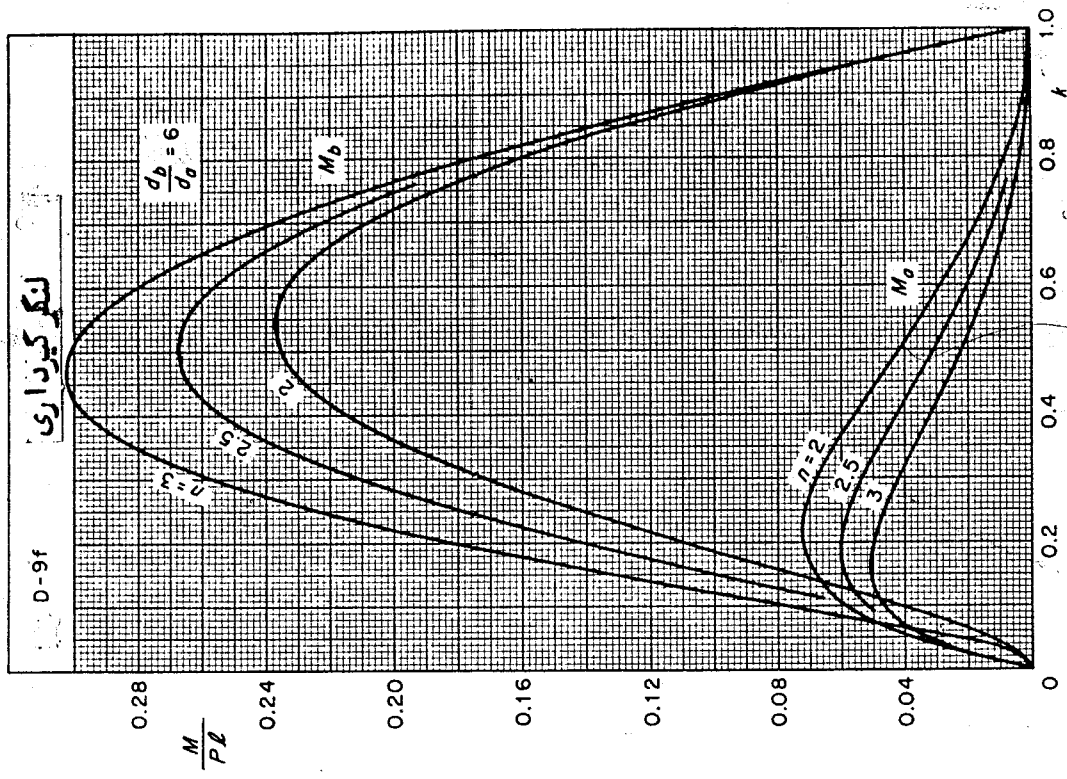


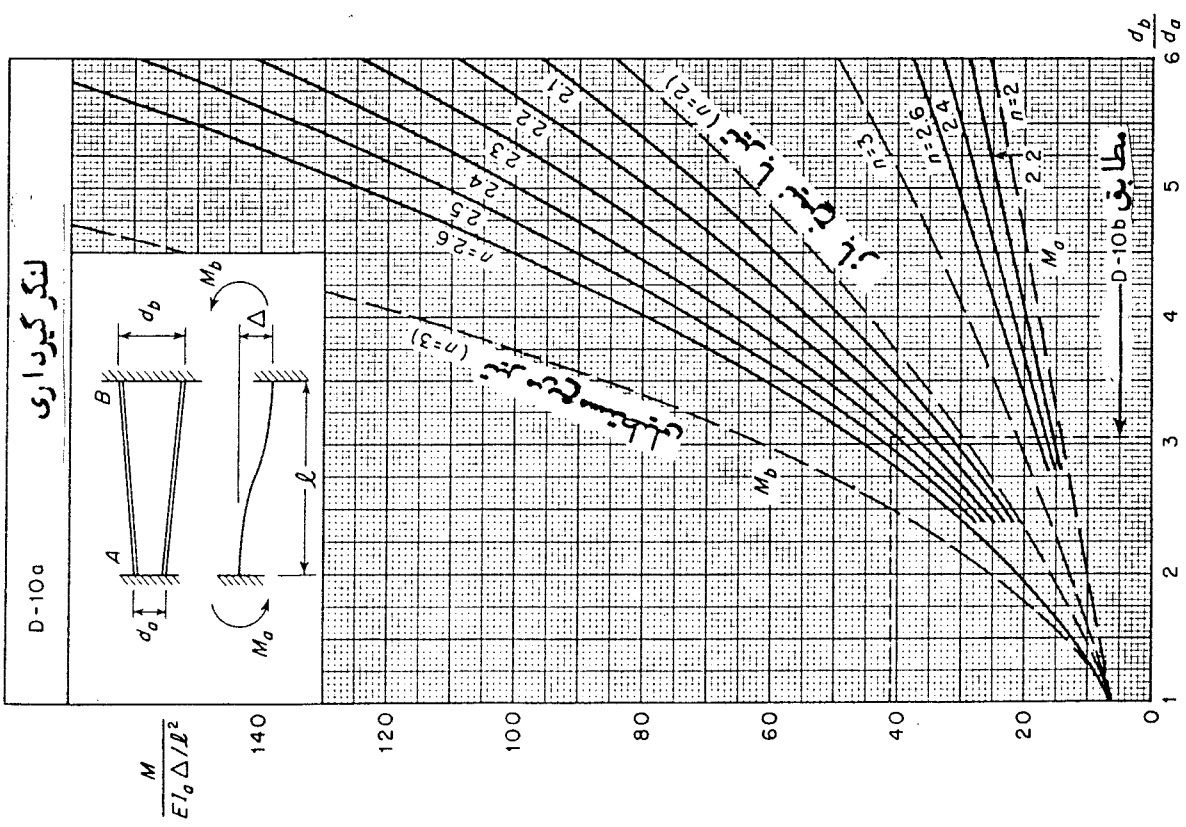
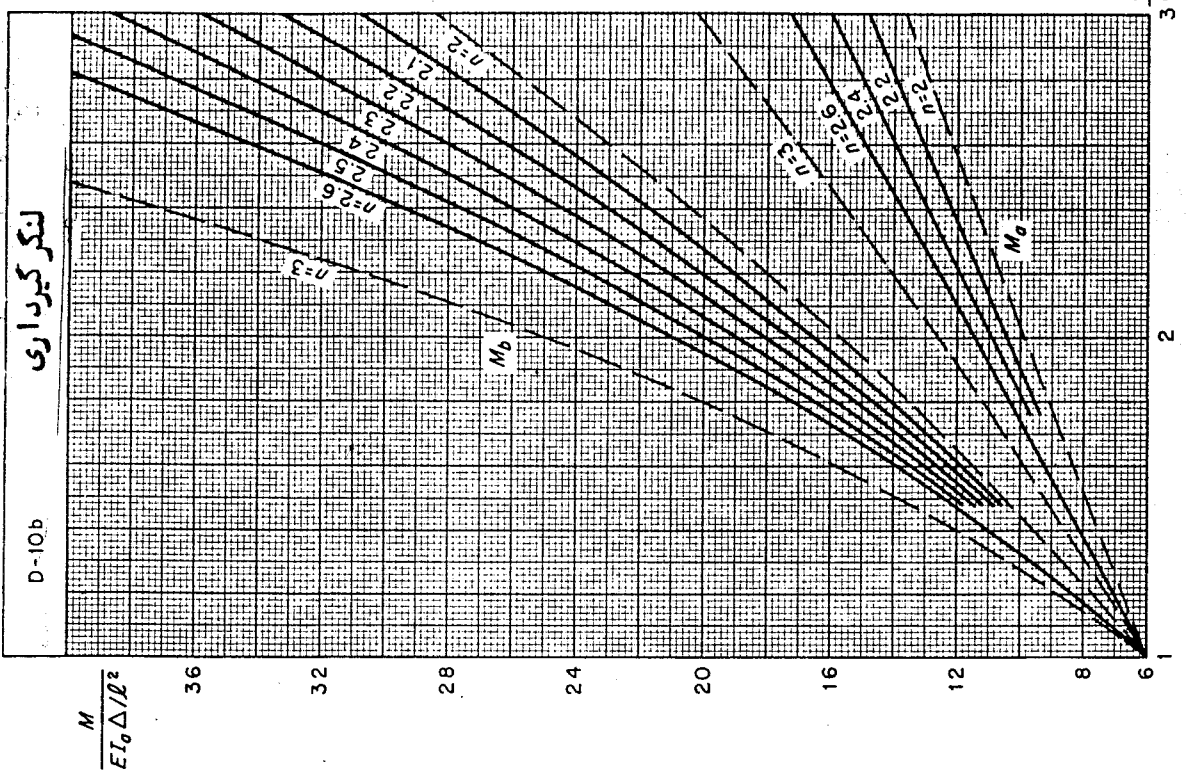




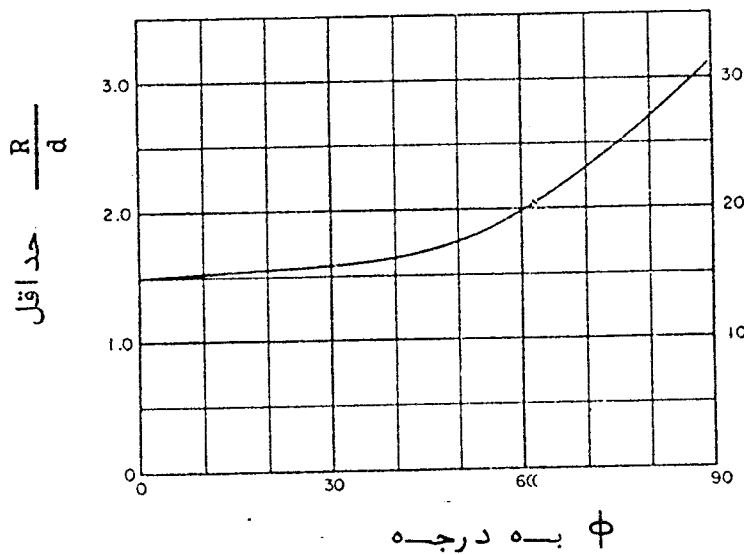
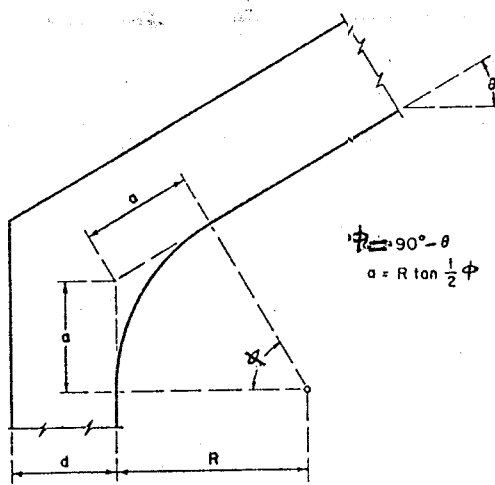






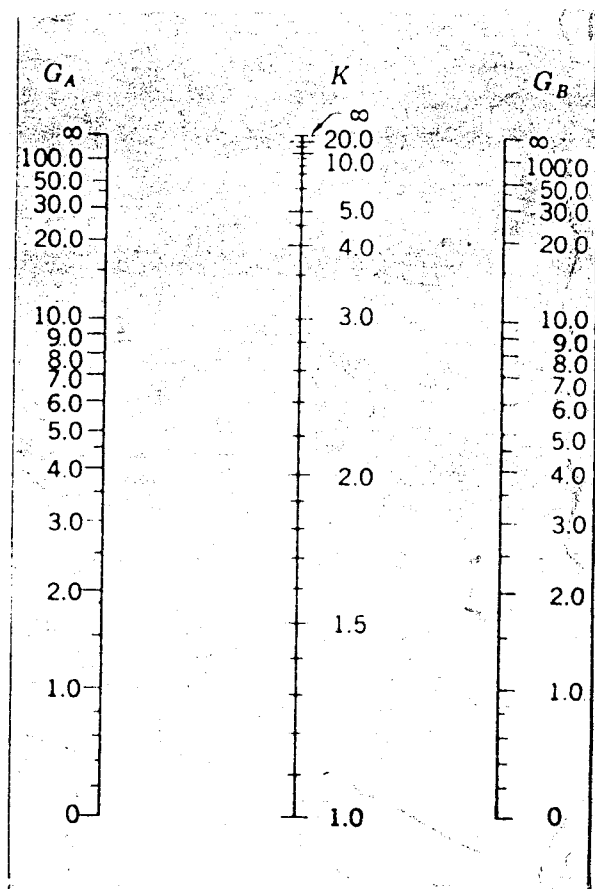


پیوسٹ (۲۰)



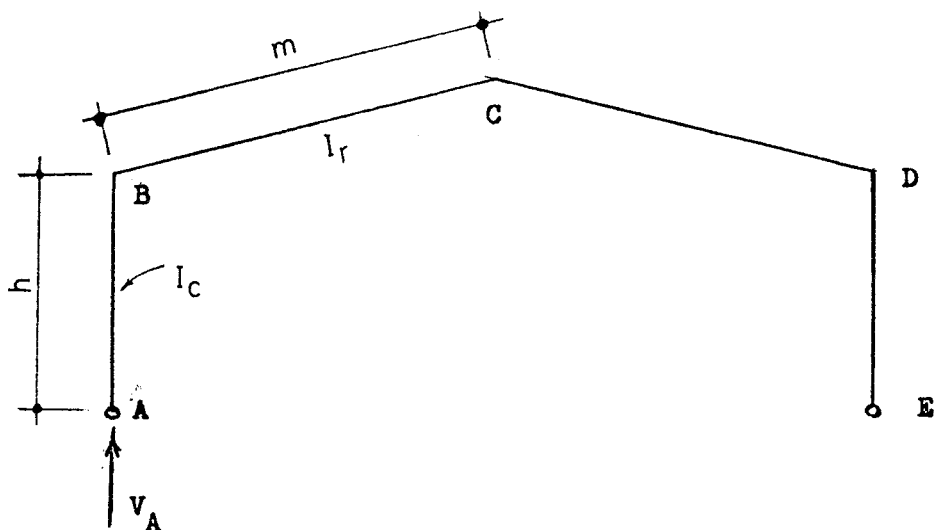
منحنی تعیین شعاع زانوئی

پیوست (۲۱)



نمودار تعیین طول موشرستون

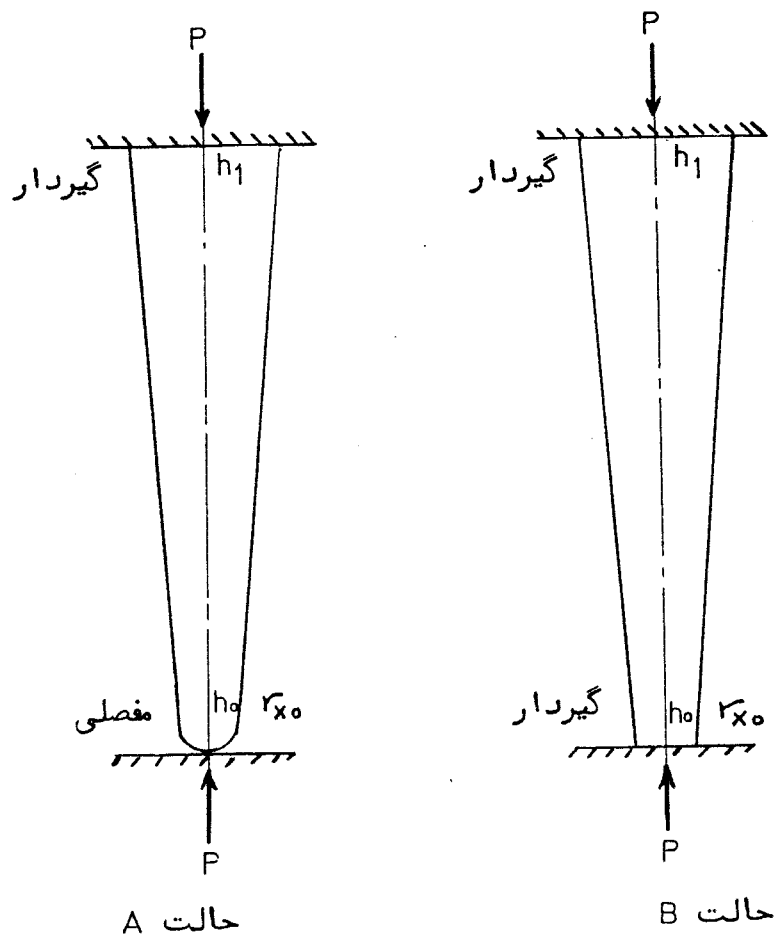
(انتقال جانبی آزاد است)



(۳۷) بیوست

حالات	$\frac{h_1}{h_0}$					
ستون	1	2	3	4	5	6
A	1	2.0	3.3	4.7	6.2	7.9
B	1	2.0	3.3	4.6	6.0	7.6

مقدار ضریب تصحیح کنند  $\cdot$  (مل) برای لاغری معادل ستون، با اینرسی متغیر



## AISC مجاز طبق

برای

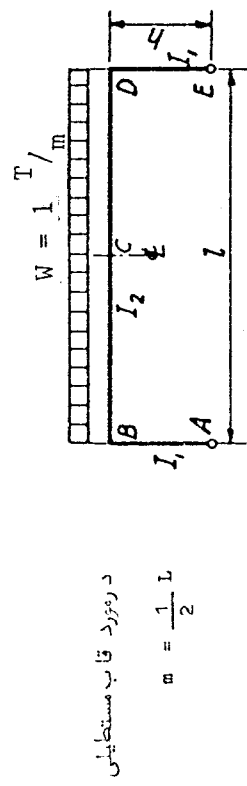
قطعات فشاری با حد جاری شدن فولاد (33 KSI) معادل 2320 kg/cm<sup>2</sup>

قطعات اصلی درجه دوم													
$\frac{KL}{r}$	قطعات اصلی درجه دوم			قطعات اصلی			قطعات درجه دوم						
	$\frac{KL}{r} \leq 120$			$121 \leq \frac{KL}{r} \leq 200$			$121 \leq \frac{KL}{r} \leq 200$						
	$(1) F_{cr} = \frac{[1 - (\frac{KL}{r})^2]}{2Cc^4} F_y$	$F.S.$	$C_c = \sqrt{\frac{2\pi^2 E}{F_y}}$	$(1) F_o = \frac{149,000,000}{(KL/r)^2}$	P.S.I.	$(2) F_o = \frac{10473,000}{(KL/r)^2}$	$kg/cm^2$	$F_{as} = \frac{F_o \text{ by FORMULA (1) or (2)}}{1.6 - \frac{L}{200r}}$	$kg/cm^2$				
1	1390	41	1240	81	1006	121	700	161	404	121	703	161	509
2	1377	42	1235	82	1000	122	691	162	400	122	698	162	506
3	1384	43	1230	83	993	123	683	163	395	123	693	163	503
4	1382	44	1225	84	986	124	674	164	390	124	688	164	500
5	1379	45	1220	85	979	125	665	165	385	125	682	165	497
6	1376	46	1215	86	973	126	656	166	381	126	677	166	494
7	1373	47	1210	87	966	127	648	167	376	127	671	167	492
8	1370	48	1205	88	958	128	639	168	371	128	665	168	489
9	1368	49	1200	89	951	129	629	169	367	129	659	169	487
10	1364	50	1194	90	944	130	620	170	363	130	653	170	484
11	1361	51	1189	91	937	131	611	171	359	131	647	171	481
12	1358	52	1183	92	930	132	602	172	355	132	641	172	479
13	1355	53	1178	93	923	133	593	173	350	133	634	173	477
14	1352	54	1172	94	915	134	584	174	346	134	628	174	475
15	1349	55	1167	95	908	135	575	175	343	135	622	175	473
16	1344	56	1161	96	900	136	567	176	338	136	617	176	471
17	1341	57	1155	97	893	137	559	177	335	137	611	177	468
18	1337	58	1150	98	885	138	551	178	331	138	606	178	466
19	1334	59	1144	99	878	139	543	179	327	139	600	179	464
20	1330	60	1138	100	870	140	535	180	324	140	595	180	462
21	1327	61	1133	101	863	141	528	181	320	141	589	181	461
22	1323	62	1127	102	855	142	520	182	317	142	584	182	459
23	1319	63	1121	103	847	143	513	183	313	143	580	183	457
24	1315	64	1115	104	840	144	506	184	310	144	575	184	456
25	1311	65	1109	105	831	145	499	185	306	145	570	185	454
26	1307	66	1103	106	823	146	492	186	303	146	565	186	452
27	1303	67	1097	107	816	147	485	187	300	147	561	187	451
28	1299	68	1091	108	808	148	479	188	297	148	557	188	449
29	1295	69	1084	109	800	149	473	189	293	149	553	189	448
30	1290	70	1078	110	792	150	466	190	291	150	549	190	447
31	1286	71	1072	111	783	151	460	191	287	151	544	191	446
32	1282	72	1056	112	776	152	454	192	284	152	540	192	445
33	1278	73	1059	113	767	153	448	193	281	153	537	193	443
34	1273	74	1053	114	759	154	442	194	279	154	533	194	442
35	1269	75	1046	115	751	155	437	195	276	155	529	195	441
36	1264	76	1040	116	743	156	431	196	273	156	525	196	440
37	1259	77	1033	117	734	157	426	197	270	157	522	197	439
38	1254	78	1027	118	726	158	420	198	267	158	519	198	438
39	1250	79	1020	119	717	159	415	199	265	159	516	199	438
40	1245	80	1013	120	709	160	409	200	262	160	512	200	437

## جدول تنشهای مجاز فشاری

$$\frac{I_2}{I_1} \text{ در توزیع لایکروپر } \leftarrow (\text{بار قائم}\right)$$

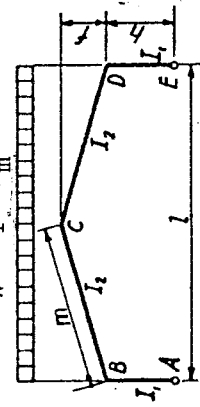
د روپرد قاب مستطیلیں



$$W = 1 \frac{T}{m}$$

بار قائم گستردہ روی سے ف

$$W = 1 \frac{T}{m}$$



تاثیر نسبت  $\frac{I_2}{I_1}$  در توزیع لایکروپر

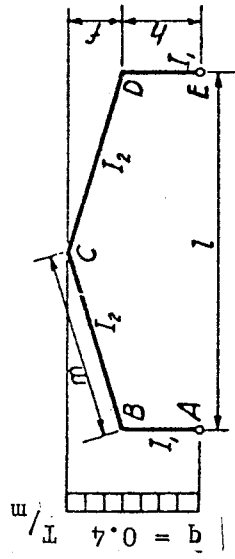
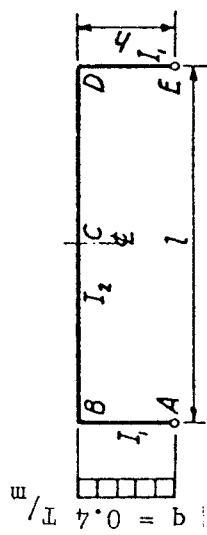
نگاریان دهارہ لایکروپر شوہ									
$\frac{Q}{f}$	$\frac{I_2}{I_1}$	L	f	h	$\frac{I_2}{I_1} \cdot h$	K	$\frac{I_2}{I_1}$	L	f
$\frac{h}{L}$	$\frac{f}{h}$	mt.	mt.	mt.	mt.	mt.	$\frac{h}{L}$	mt.	mt.
0	0.5	24	0	3	0.125	153.6	4.0%	86.40	6.5%
$\frac{1}{3}$	0	1.0	24	0	3	0.25	147.69	1.14	92.31
$\frac{1}{4}$	0	2.0	24	0	3	0.50	137.14	7.2%	102.86
0	0.5	24	0	6	0.25	147.69	7.7%	92.31	10.3%
$\frac{1}{2}$	0	1.0	24	0	6	0.50	137.14	1.14	102.86
$\frac{1}{2}$	0	2.0	24	0	6	1.00	120.0	12.5%	120.0
0	0.5	24	0	12	0.50	137.14	13.4%	102.86	14.3%
$\frac{1}{2}$	0	1.0	24	0	12	1.00	120.0	1.00	120.0
0	0.5	24	0	24	1.00	96.00	20.0%	144.0	20%
0	0.5	24	0	24	1.00	120.0	25%	120.0	16.7%
1	0	1.0	24	0	24	2.00	96.00	144.0	144.0
0	0.5	24	0	48	4.00	68.57	28.5%	171.42	19.0%

نگاریان دهارہ لایکروپر شوہ									
$\frac{Q}{f}$	$\frac{I_2}{I_1}$	L	f	h	$\frac{I_2}{I_1} \cdot h$	K	$\frac{I_2}{I_1}$	L	f
$\frac{h}{L}$	$\frac{f}{h}$	mt.	mt.	mt.	mt.	mt.	$\frac{h}{L}$	mt.	mt.
0	0.5	24	0	3	0.125	153.6	4.0%	86.40	6.5%
$\frac{1}{3}$	0	1.0	24	0	3	0.25	147.69	1.14	92.31
$\frac{1}{4}$	0	2.0	24	0	3	0.50	137.14	7.2%	102.86
0	0.5	24	0	6	0.25	147.69	7.7%	92.31	10.3%
$\frac{1}{2}$	0	1.0	24	0	6	0.50	137.14	1.14	102.86
$\frac{1}{2}$	0	2.0	24	0	6	1.00	120.0	12.5%	120.0
0	0.5	24	0	12	0.50	137.14	13.4%	102.86	14.3%
$\frac{1}{2}$	0	1.0	24	0	12	1.00	120.0	1.00	120.0
0	0.5	24	0	24	1.00	96.00	20.0%	144.0	20%
0	0.5	24	0	48	4.00	68.57	28.5%	171.42	19.0%

نایسون نسبت  $\frac{I_2}{I_1}$  در توزیع لذکرها (بار افقی)

بارهوار افقی گستردہ در ارتفاع قباب

بارهوار افقی گستردہ در ارتفاع قباب



$\frac{L}{h}$	$\frac{f}{h}$	$\frac{I_2}{I_1}$	$\frac{I_2 \cdot h}{I_1 \cdot m}$	$\frac{I_2 \cdot K}{I_1 \cdot m}$	نسبت لذکر میان دارجہ تی.م	لذکر میان دارجہ تی.م	لذکر میان دارجہ تی.م	نسبت لذکر میان دارجہ تی.م	لذکر میان دارجہ تی.م	نسبت لذکر میان دارجہ تی.م
0	0.5	24	0	3	0.125	3.03	-	0.03	-	0.57
0	1.0	24	0	3	0.25	3.06	+	0.06	+	0.57
$\frac{1}{8}$	0	24	0	3	0.50	3.11	1.7%	0.11	-	0.58
0	0.5	24	0	6	0.25	12.23	1.6%	0.23	-	0.60
0	1.0	24	0	6	0.50	12.43	1.6%	0.43	+	0.60
$\frac{1}{4}$	0	24	0	6	1.00	12.75	2.6%	0.75	-	0.60
0	0.5	24	0	12	0.5	49.71	2.5%	1.72	-	0.60
0	1.0	24	0	12	1.00	51.0	1.6%	3.00	+	0.60
$\frac{1}{2}$	0	24	0	12	2.00	52.80	3.5%	4.80	-	0.60
1	0	24	0	24	1.00	204.0	3.4%	12.00	-	0.60
0	0.5	24	0	24	4.00	211.20	1.6%	19.20	+	0.60
0	2.0	24	0	24	4.00	219.43	3.9%	27.43	-	0.60

$\frac{L}{h}$	$\frac{f}{h}$	$\frac{I_2}{I_1}$	$\frac{I_2 \cdot h}{I_1 \cdot m}$	$\frac{I_2 \cdot K}{I_1 \cdot m}$	نسبت لذکر میان دارجہ تی.م	لذکر میان دارجہ تی.م	لذکر میان دارجہ تی.م	نسبت لذکر میان دارجہ تی.م	لذکر میان دارجہ تی.م	نسبت لذکر میان دارجہ تی.م
0	0.5	24	0	3	0.125	3.03	-	0.01	2.0	0.57
0	1.0	24	0	3	0.25	3.06	+	0.02	2.0	0.57
$\frac{1}{8}$	0	24	0	3	0.50	3.11	1.7%	0.03	$\frac{1}{8}$	0.58
0	0.5	24	0	6	0.25	12.23	1.6%	0.02	2.0	0.60
0	1.0	24	0	6	0.50	12.43	1.6%	0.03	1.0	0.60
$\frac{1}{4}$	0	24	0	6	1.00	12.75	2.6%	0.75	-	0.60
0	0.5	24	0	12	0.5	49.71	2.5%	1.72	-	0.60
0	1.0	24	0	12	1.00	51.0	1.6%	3.00	+	0.60
$\frac{1}{2}$	0	24	0	12	2.00	52.80	3.5%	4.80	-	0.60
1	0	24	0	24	1.00	204.0	3.4%	12.00	-	0.60
0	0.5	24	0	24	4.00	211.20	1.6%	19.20	+	0.60
0	2.0	24	0	24	4.00	219.43	3.9%	27.43	-	0.60

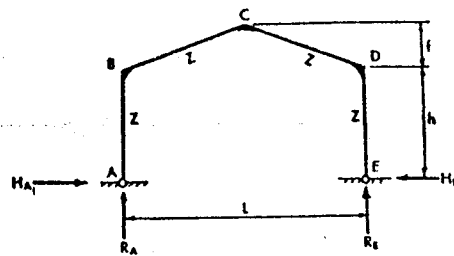
## لنگرهای خشی و عکس العمل ها در بارهای

$$Q = \frac{f}{h}$$

$$C = \frac{2T_0 h}{W_e L}$$

$$W_e = wL$$

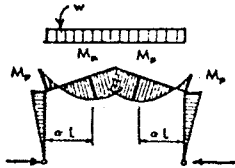
لنگروزانگونی بار  $T_0$  نسبت به  $A$  در طول قاب ثابت است



### بارهموار یکنواخت قائم تنها

پایه گیردار

پایه مفصلی

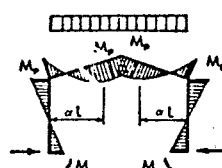


$$R_A = R_E = \frac{wL}{2}$$

$$H_A = H_E = \frac{M_p}{h}$$

$$M_p = \frac{wl^3}{16} \left\{ \begin{array}{l} \dots \leftarrow \alpha = 0 \\ \alpha = \frac{1}{2} \end{array} \right.$$

$$M_p = \frac{wl^3}{4} \left[ \frac{\alpha(1-\alpha)}{\sqrt{1+Q}} \right] \left\{ \begin{array}{l} \dots \leftarrow Q > 0 \\ \alpha = \frac{1}{2} \left[ \sqrt{1+Q}-1 \right] \end{array} \right.$$



$$R_A = R_E = \frac{wl}{2}$$

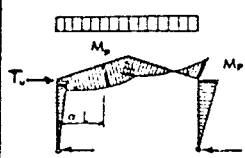
$$H_A = H_E = \frac{2M_p}{h}$$

$$M_p = \frac{wl^3}{16} \left\{ \begin{array}{l} \dots \leftarrow \alpha = 0 \\ \alpha = \frac{1}{2} \end{array} \right.$$

$$M_p = \frac{wl^3}{4} \left[ \frac{\alpha(1-\alpha)}{\sqrt{1+2Q}} \right] \left\{ \begin{array}{l} \dots \leftarrow Q > 0 \\ \alpha = \frac{1}{2Q} \left[ \sqrt{1+2Q}-1 \right] \end{array} \right.$$

### ترکیب بار قائم هموار گسترده با بار جانبه پایه گیردار

پایه مفصلی



$$R_A = \frac{wl}{2} - \frac{T_0 h}{L}$$

$$R_E = \frac{wl}{2} + \frac{T_0 h}{L}$$

$$H_A = T_0 - H_E$$

$$H_E = \frac{M_p}{h}$$

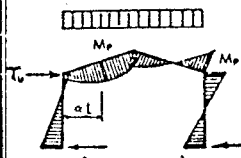
وقتی که  $c > \frac{1}{1+Q}$

$$M_p = \frac{wl^3}{4} c \left\{ \begin{array}{l} \dots \leftarrow Q = 0 \\ \alpha = 0 \end{array} \right.$$

حالات معمولی ... وقتی که  $c < \frac{1}{1+Q}$

$$M_p = \frac{wl^3}{16} (1+C)^4 \left\{ \begin{array}{l} \dots \leftarrow Q = 0 \\ \alpha = \frac{1-C}{2} \end{array} \right.$$

$$M_p = \frac{wl^3}{4} \left[ \frac{(1-\alpha)(C+\alpha)}{\sqrt{(1+Q)(1-Q)}} \right] \left\{ \begin{array}{l} \dots \leftarrow Q > 0 \\ \alpha = \frac{1}{Q} \left[ \sqrt{(1+Q)(1-Q)} - 1 \right] \end{array} \right.$$



$$R_A = \frac{wl}{2} - \frac{T_0 h}{L} + \frac{2M_p}{L}$$

$$R_E = \frac{wl}{2} + \frac{T_0 h}{L} - \frac{2M_p}{L}$$

$$H_A = T_0 - H_E$$

$$H_E = \frac{2M_p}{h}$$

وقتی که  $c > \frac{2}{1+2Q}$

$$M_p = \frac{wl^3}{8} c \left\{ \begin{array}{l} \dots \leftarrow Q = 0 \\ \alpha = 0 \end{array} \right.$$

وقتی که  $c < \frac{2}{1+2Q}$  ...

$$M_p = \frac{wl^3}{4} \left[ 3 + C - 2\sqrt{2+C} \right]^* \left\{ \begin{array}{l} \dots \leftarrow Q = 0 \\ \alpha = 2 - \sqrt{2+C} \end{array} \right.$$

$$M_p = \frac{wl^3}{4} \left[ \frac{(1-\alpha)(C+\alpha)}{\sqrt{2+C-4CQ^2+4Q}} \right]^* \left\{ \begin{array}{l} \dots \leftarrow Q > 0 \\ \alpha = \frac{1}{1-2Q} \left[ 2 - \sqrt{2+C-4CQ^2+4Q} \right] \end{array} \right.$$

\* وقتی که  $c < 0.25$  است بایکار بردن این روابط مقدار  $M_p$  ممکن است کمتر از مقدار مربوط به

بار قائم تنها باشد و درنتیجه مقدار اخیر تعیین کنند  $\alpha$  خواهد بود.

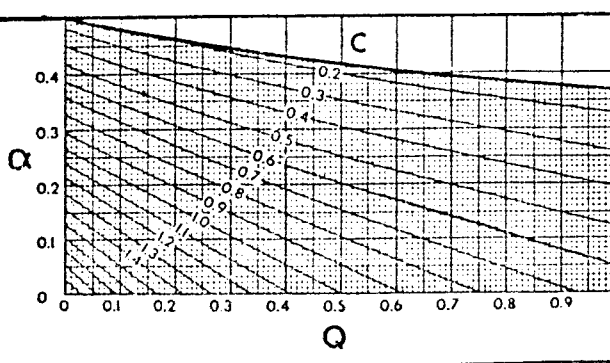
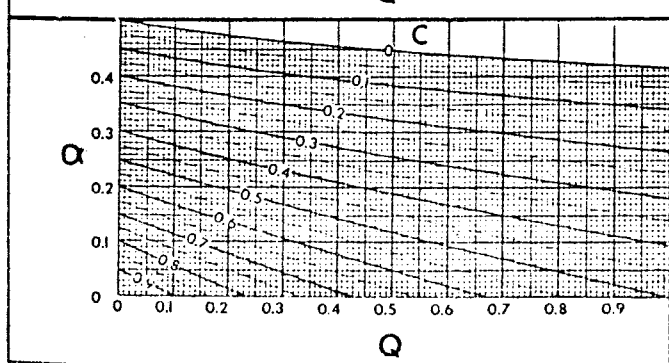
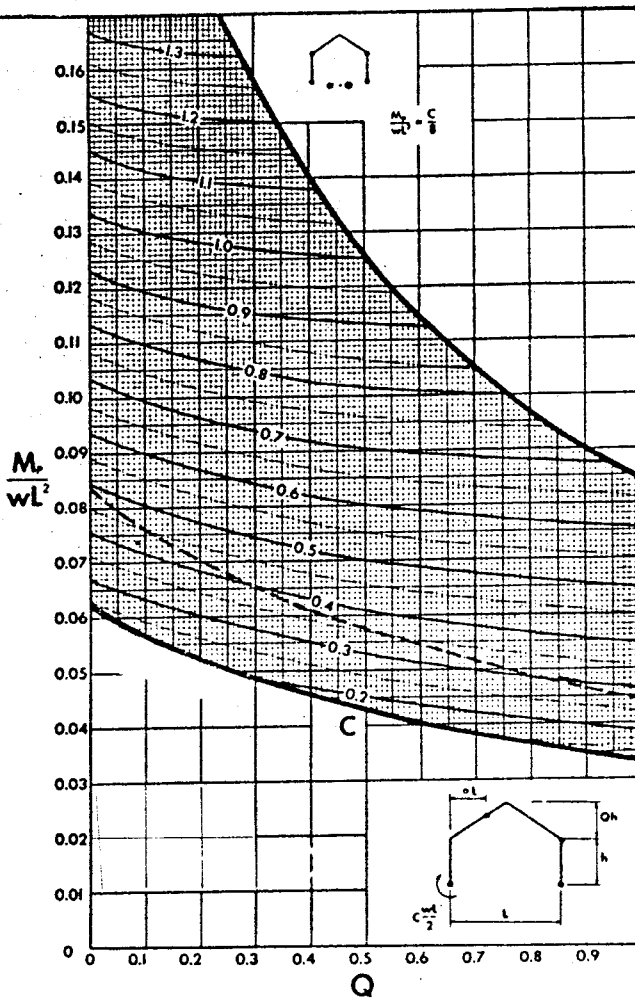
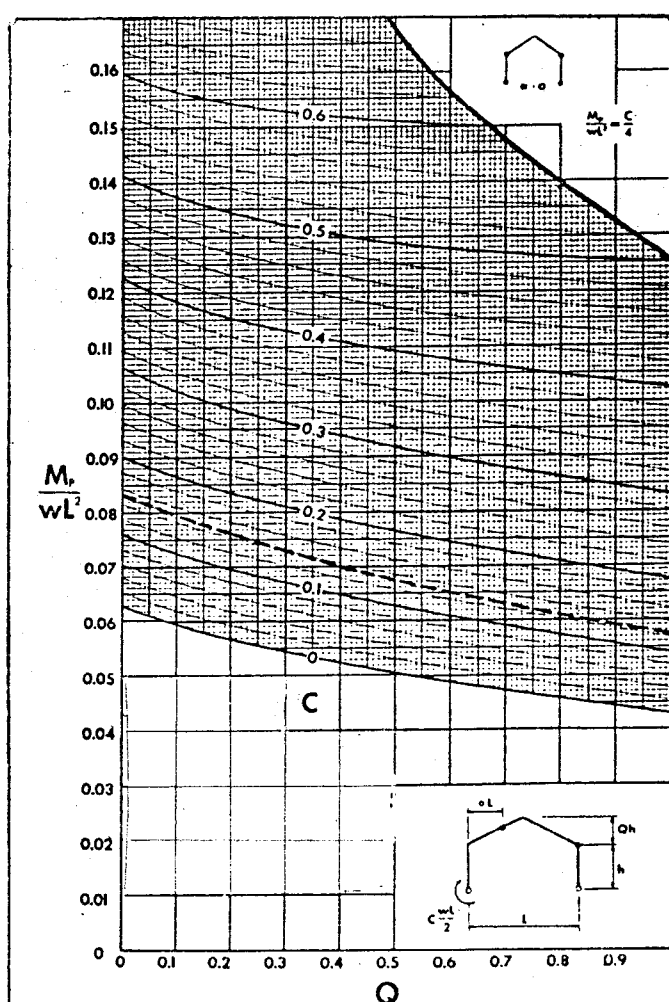
مقادیر  $M_p$  و  $\alpha$

مطابق روایت پیوست شماره (۲۶) و بادردست داشتن  $w$ ,  $L$  بازاء  $Q$ , مقدار  $\frac{M_p}{WL^2}$  را زنمودارهای زیرقرائت کنید، و مقدار  $M_p$  را استخراج نمایید.

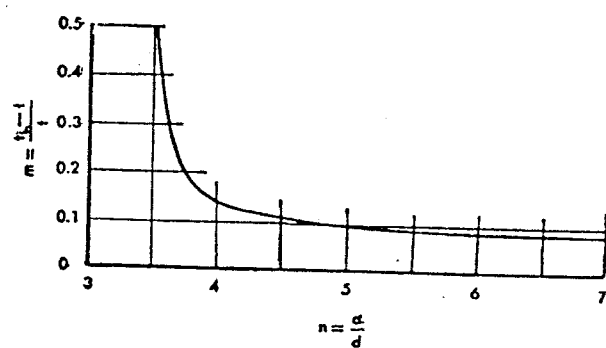
- برای حالت بار قائم تنها  $C = 0$  میباشد.
- در هر دو منحنی برای ضریب بار  $1.4$ ، بار جانبی از خط چین به پائین تعیین گشته.
- تعییا شد.

پایه مفصلی

پایه گیردار



پیوست (۸)



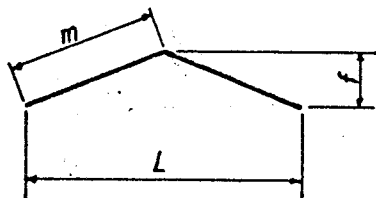
منحنی رابطه  $m$  و  $n$  در زانوئی

(a) و d مطابق شکل ۳۶

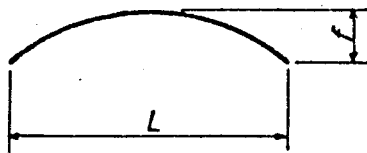
پیوست (۲۹)

### طول سقف در قابهای با سقف شیبدار و منحنی

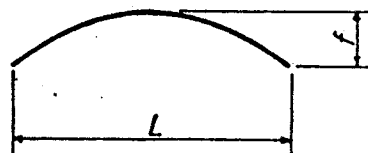
$$L_s = C \cdot L$$



تیپ (۱) سقف شیبدار خطی



تیپ (۲) قوس دایره ای



تیپ (۳) قوس سهمی

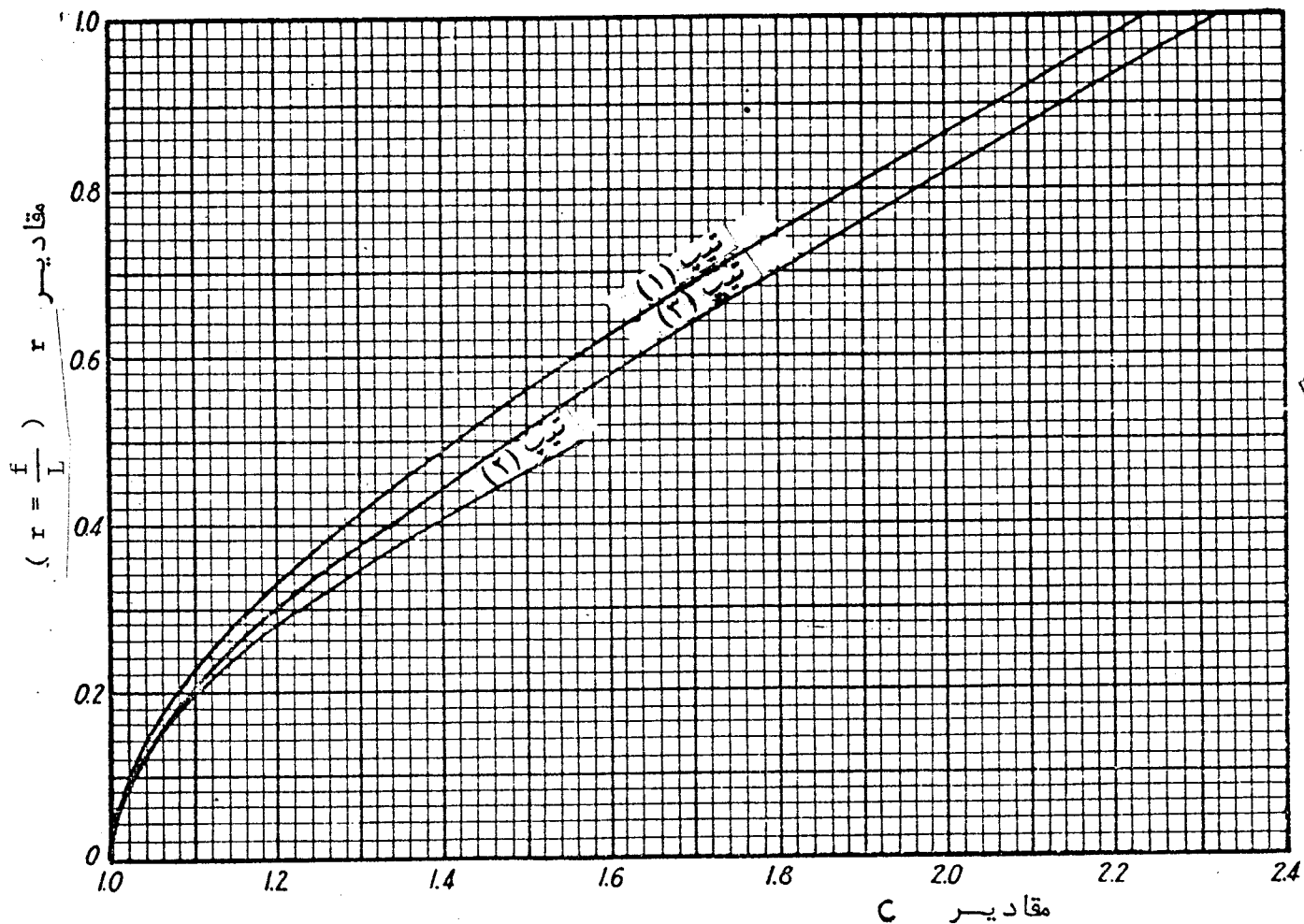
$$c = \sqrt{4r^2 + 1}$$

$$c = \frac{0.01745 \sin^{-1} x}{x}$$

$$x = \frac{4r}{4r^2 + 1}$$

$$c = \frac{1}{2} \left[ Y + \frac{0.5756}{r} \log_{10} (Y + 4r) \right]$$

$$Y = \sqrt{16r^2 + 1}$$



## فهرست منابع و مراجع

- 1- John D. Griffiths: "Single Span Rigid Frames in Steel" American Institute of Steel Construction Inc, 1959
- 2- American Institute of Steel Construction: "Plastic Design in Steel" 1962
- 3- American Institute of Steel Construction : "Steel Gables and Arches" 1963
- 4- American Institute of Steel Construction : "Manual of Steel Construction" 1971
- 5- John E. Lathers: "Advanced Design in Structural Steel" Prentice Hall, Inc, 1960
- 6- V. A. Morgan: "Analysis of Single- Bay Frames, Concrete Publishing Ltd, 1968
- 7- Editorial Board Fritz Engineering Laboratory. Department of Civil Engineering Lehigh University: "Structural Steel Design" The Roland Press Company, N. Y. 1964
- 8- Clifford D. Williams and Ernest C. Harris: "Structural Design in Metals" The Roland Press Company N. Y. 1957
- 9- Omar W. Blodgett: "Design of Welded Structures" The James F. Lincoln Arc Welding Foundation, Cleveland Ohio. 1968
- 10- British Steel Producers Conference and British Iron and Steel Federation: "Steel Designers Manual" 3rd Edition, Fredric Ungar Publishing Co. New-York, 1966
- 11- E. H. Gaylord, Jr. and C. N. Gaylord, Editors: "Structural Engineering Handbook". McGraw-Hill Book Company. N. Y.
- 12- Jack C. McCormac: "Structural Steel Design" International Texbook Company, Scranton Pennsylvania, 1965
- 13- William McGuire: "Steel Structures" Prentice Hall International Series. 1968
- 14- Lynn S. Beedle: "Plastic Design of Steel Frames" John Wiley and Sons Inc, N. Y. 1966
- 15- "Stahl Im Hochbau" 13 Auflage. 1967, Verlag Stahleisen M. B. H. Düsseldorf
- 16- R. Daussy: "Guide Pratique de Charpente Metallique" Société de Diffusion Des Techniques du Bâtiment et des Travaux Publics, Paris
- ۱۷- موسسه استاندارد و تحقیقات صنعتی - استاندارد شماره ۰۱۹ : "حداقل بارهای وارد بر ساختمانها و ابیه غنی"
- ۱۸- آرک مگردیچیان : "طرح و محاسبات استانداری" جلد اول، مبانی محاسباتی، بخش چووارم، نشر توسط مولف، ۱۳۴۹
- ۱۹- آرک مگردیچیان : "طرح و محاسبات استانداری" جلد دوم، ساختمانهای فازی، نشر توسط مولف، ۱۳۰۱
- ۲۰- آرک مگردیچیان : "اتصالات در ساختمانهای فازی" از انتشارات پلی تکنیک توران ۱۳۵۰